

دیلیش چپام

# مقاومت مصالح

فردیناند پی بیر  
ای راسل چافستون  
جان تی دی ولف

بهرام پوستی

## فهرست نمادها

$P_U$	بار نهایی (LRFD)	$a$ ثابت؛ فاصله
$q$	نیروی برشی برای طول واحد؛ جریان برشی	$A, B, C, \dots$ نیروها، واکنشها
$Q$	نیرو	$A, B, C, \dots$ نقاط
$Q$	مان اول سطح	$A, a$ مساحت
$r$	شعاع؛ شعاع زیراسیون	$b$ فاصله؛ عرض
$R$	نیرو، واکنش	$c$ ثابت؛ فاصله؛ شعاع
$R$	شعاع؛ مدول گیختگی	$C$ مرکز هندسی
$s$	طول	$C_U, C_v, \dots$ ثابت‌های انگرال‌گیری
$S$	مدول مقطع الاستیک	$C_p$ ضریب پایداری ستون
$t$	ضخامت؛ فاصله؛ انحراف مماس	$d$ فاصله؛ قطر؛ عمق
$T$	گذار	$D$ قطر
$T$	دما	$e$ فاصله؛ خروج از مرکز؛ اتساع
$u, v$	مختصات قائم	$E$ مدول الاستیته
$u$	چگالی انرژی کرنشی	$f$ فرکانس، تابع
$U$	انرژی کرنشی؛ کار	$F$ نیرو
$v$	سرعت	$F.S.$ ضریب اطمینان
$V$	نیروی برشی	$G$ مدول صلابت؛ مدول برش
$V$	حجم، برش	$h$ فاصله؛ ارتفاع
$w$	عرض؛ فاصله؛ بار برای طول واحد	$H$ نیرو
$W, W'$	وزن، بار	$H, J, K$ نقاط
$x, y, z$	مختصات قائم؛ فاصله؛ تغییر مکان؛ خیزها	$I, I_x, \dots$ ممان اینرسی
$\bar{x}, \bar{y}, \bar{z}$	مختصات مرکز هندسی	$I_{xy}, \dots$ حاصلضرب اینرسی
$Z$	مدول مقطع پلاستیک	$J$ ممان اینرسی قطبی
$\alpha, \beta, \gamma$	زوايا	$k$ ثابت فنر؛ ضریب شکل؛ مدول کهای؛ ثابت
$\alpha$	ضریب انبساط گرمایی؛ ضریب تأثیر	$K$ ضریب تمرکز تنش؛ ثابت فنر پیچشی
$\gamma$	کرنش برشی؛ وزن مخصوص	$l$ طول؛ دهانه
$\gamma_D$	ضریب بار، بار مرده (LRFD)	$L$ طول؛ دهانه
$\gamma_L$	ضریب بار، بار زنده (LRFD)	$L_e$ طول مؤثر
$\delta$	تغییر شکل؛ تغییر مکان	$m$ جرم
$\epsilon$	کرنش قائم	$M$ کوبیل
$\theta$	زاویه، شبیب	$M, M_x, \dots$ لگر خمثی
$\lambda$	کسینوس هادی	$M_D$ لگر خمثی، بار مرده (LRFD)
$\nu$	نسبت پواسون	$M_L$ لگر خمثی، بار زنده (LRFD)
$\mu$	شعاع انحنای، فاصله؛ چگالی	$M_U$ لگر خمثی، بار نهایی (LRFD)
$\sigma$	تش قائم	$n$ عدد؛ نسبت مدول‌های الاستیته؛ جهت قائم
$\tau$	تش برشی	$p$ فشار
$\phi$	زاویه، زاویه پیچش؛ ضریب مقاومت	$P$ نیرو؛ بار متمرکز
$\omega$	سرعت زاویه‌ای	$P_D$ بار مرده (LRFD)
		$P_i$ بار زنده (LRFD)

# فهرست مطالب

## ۱

### مقدمه - مفهوم تنش

۲	.....	مقدمه	۱-۱
۲	.....	مروبروش‌های استاتیک	۲-۱
۴	.....	تنش در عضوهای یک سازه	۲-۱
۵	.....	تحلیل و طراحی	۴-۱
۵	.....	بارگذاری محوری؛ تنش قائم	۵-۱
۷	.....	تنش برشی	۶-۱
۹	.....	تنش تکیه‌گاهی در اتصالات	۷-۱
۹	.....	کاربرد تنش در تحلیل و طراحی سازه‌های ساده	۸-۱
۱۱	.....	روش حل مسائل	۹-۱
۱۲	.....	دقت عددی	۱۰-۱
۱۱	.....	تنش وارد بر صفحه مایلی که تحت بارگذاری محوری است	۱۱-۱
۱۲	.....	تنش تحت شرایط کلی بارگذاری؛ مولفه‌های تنش	۱۲-۱
۲۲	.....	نکات طراحی	۱۳-۱
۳۳	.....	مرور و خلاصه فصل ۱	

## ۲

### تنش و کرنش - بارگذاری محوری

#### ۲۱

۴۲	.....	مقدمه	۱-۲
۴۲	.....	کرنش قائم تحت بارگذاری محوری	۲-۲
۴۴	.....	نمودار تنش-کرنش	۳-۲
۴۸	.....	تنش حقیقی و کرنش حقیقی	۴-۲
۴۸	.....	قانون هوک؛ مدل الاستیسیته	۵-۲
۴۹	.....	مقایسه رفتار الاستیک و پلاستیک ماده	۶-۲
۵۱	.....	بارگذاری‌های تکراری؛ خستگی	۷-۲

= PNUEB =

۵۲	تغییر شکل عضوها تحت بارگذاری محوری	۸-۲
۵۹	مسائل نامعین استاتیکی	۹-۲
۶۲	مسائل مربوط به تغییرات دما	۱۰-۲
۷۲	تسیت پواسون	۱۱-۲
۷۳	بارگذاری چند محوری؛ قانون عمومی هوک	۱۲-۲
۷۴	اتساع؛ مدول کپهای	۱۳-۲
۷۵	کرنش برشی	۱۴-۲
۷۸	توضیح بیشتر درباره تغییر شکل‌های بارگذاری محوری؛ رابطه بین $E$ و $G$	۱۵-۲
۸۰	رابطه‌های تنش-کرنش برای مواد مرکب تقویت شده با تار	۱۶-۲
۸۸	توزيع تنش و کرنش در بارگذاری محوری؛ اصل سنت-ونانست	۱۷-۲
۸۹	تمرکز تنش	۱۸-۲
۹۱	تغییر شکل پلاستیک	۱۹-۲
۹۴	تنش‌های باقیمانده	۲۰-۲
۱۰۲	مرور و خلاصه فصل ۲	

## ۳

## پیچش

۱۱۳

۱۱۴	مقدمه	۱-۳
۱۱۵	مقدمه‌ای درباره تنش در شفت	۲-۳
۱۱۶	تغییر شکل در شفت دایره‌ای	۳-۳
۱۱۹	تنش در ناحیه الاستیک	۴-۳
۱۲۸	زاویه پیچش در ناحیه الاستیک	۵-۳
۱۳۰	شفت‌های نامعین استاتیکی	۶-۳
۱۳۹	طراحی شفت‌های انتقال قدرت	۷-۳
۱۴۱	تمرکز تنش در شفت‌های دایره‌ای	۸-۳
۱۴۵	تغییر شکل پلاستیک در شفت‌های دایره‌ای	۹-۳
۱۴۶	شفت‌های دایره‌ای الاستوپلاستیک	۱۰-۳
۱۴۹	تنش‌های باقیمانده در شفت‌های دایره‌ای	۱۱-۳
۱۵۶	پیچش عضوهای غیردایره‌ای	۱۲-۳
۱۵۸	شفت‌های توخالی جدار نازک	۱۳-۳
۱۶۶	مرور و خلاصه فصل ۳	

## ۴

## خمش خالص

۱۷۵

۱۷۶	مقدمه	۱-۴
۱۷۷	عضو متقارن در خمث خالص	۲-۴
۱۷۸	تغییر شکل عضو متقارن در خمث خالص	۳-۴



۱۸۰	تنش و تغییر شکل در ناحیه الاستیک	۴-۴
۱۸۲	تغییر شکل در مقطع عرضی	۵-۴
۱۹۱	خمش عضوایی که از مواد مختلف ساخته شده‌اند	۶-۴
۱۹۴	تمرکز تنش	۷-۴
۲۰۱	تغییر شکل پلاستیک	۸-۴
۲۰۲	عضوایی الاستیپلاستیک	۹-۴
۲۰۶	تغییر شکل پلاستیک عضوایی که فقط یک صفحه تقارن دارند	۱۰-۴
۲۰۶	تنش‌های باقیمانده	۱۱-۴
۲۱۴	بارگذاری محوری خارج از مرکز در صفحه تقارن	۱۲-۴
۲۲۲	خمش نامتقارن	۱۳-۴
۲۲۶	حالت کلی بارگذاری محوری خارج از مرکز	۱۴-۴
۲۲۵	خمش عضوایی خمیده	۱۵-۴
۲۲۴	مرور و خلاصه فصل ۴	

## ۵

## تحلیل و طراحی تیرهای خممش

۲۵۳

۲۵۴	مقدمه	۱-۵
۲۵۶	نمودار برش و نمودار لنگر خمی	۲-۵
۲۶۵	روابط میان بار، برش، و لنگر خمی	۳-۵
۲۷۲	طراحی تیرهای منشوری تحت خمی	۴-۵
۲۸۰	استفاده از توابع تکینی برای تعیین برش و لنگر خمی در یک تیر	۵-۵
۲۹۰	تیرهای غیر منشوری	۶-۵
۲۹۸	مرور و خلاصه فصل ۵	

## ۶

## تنش برشی در تیرهای عضوای جدار نازک

۳۰۵

۲۰۶	مقدمه	۱-۶
۲۰۷	برش وارد بر وجه افقی یک جزء از تیر	۲-۶
۲۰۹	تعیین تنش برشی در تیرها	۳-۶
۲۱۰	تنش برشی در انواع تیرها	۴-۶
۲۱۱	توضیع بیشتر درباره توزیع تنش در یک تیر باریک مستطیلی	۵-۶
۲۱۸	نیروی برشی طولی وارد بر یک جزء تیر با شکل اختیاری	۶-۶
۳۲۰	تنش برشی در عضوای جبار نازک	۷-۶



۲۲۲	تغییر شکل پلاستیک	۸-۶
۲۲۰	بارگذاری نامتقارن در عضوهای جدار نازک؛ مرکز پرس	۹-۶
۲۴۲	مرور و خلاصه فصل ۶	

## ▼

## تبديلات تنش و کرنش

۲۴۹

۲۵۰	مقدمه	۱-۷
۲۵۲	تبديل تنش صفحه‌ای	۲-۷
۲۵۳	تنش‌های اصلی؛ ماکریم تنش بر Shi	۳-۷
۲۶۱	دایره مور برای تنش صفحه‌ای	۴-۷
۲۶۹	حالت کلی تنش	۵-۷
۲۷۰	کاربرد دایره مور برای تحلیل تنش سه بعدی	۶-۷
۲۷۲	معیارهای تسلیم برای مواد نرم تحت تنش صفحه‌ای	۷-۷
۲۷۵	معیارهای شکست برای مواد شکننده تحت تنش صفحه‌ای	۸-۷
۲۸۲	تنش در مخزن‌های جدار نازک پرفشار	۹-۷
۲۸۹	۱۰-۷ تبدیل کرنش صفحه‌ای	
۲۹۲	۱۱-۷ دایره مور برای کرنش صفحه‌ای	
۲۹۴	۱۲-۷ تحلیل سه بعدی کرنش	
۲۹۷	۱۳-۷ اندازه‌گیری‌های کرنش؛ گلبرگ کرنش	
۴۰۳	مرور و خلاصه فصل ۷	

## ▲

## تنش‌های اصلی در شرایط معین بارگذاری

۲۱۱

۴۱۲	مقدمه	۱-۸
۴۱۲	تنش‌های اصلی در تیر	۲-۸
۴۱۵	طراحی شفتهای انتقال قدرت	۳-۸
۴۲۲	پتنش در بارگذاری ترکیبی	۴-۸
۴۲۶	مرور و خلاصه فصل ۸	

## ❖

## خیز تیرها

۴۴۳

۴۴۴	مقدمه	۱-۹
۴۴۵	تغییر شکل تیر تحت بارگذاری عرضی	۲-۹
۴۴۶	معادله منحنی الاستیک	۳-۹





۴۵۱	تعیین منحنی الاستیک از توزیع بار	۴-۹
۴۵۲	تیرهای نامعین استاتیکی	۵-۹
۴۶۱	استفاده از توابع تکینی برای تعیین شب و خیز تیر	۶-۹
۴۷۰	روش ترکیب	۷-۹
۴۷۱	کاربرد اصل ترکیب برای تیرهای نامعین استاتیکی	۸-۹
۴۷۹	قضایی لنگر مساحت	۹-۹
۴۸۰	کاربرد قضایی لنگر مساحت برای تیرهای طردای و تیر با بارگذاری متقارن	۱۰-۹
۴۸۳	نمودارهای جزء به جزء لنگر خمی	۱۱-۹
۴۹۰	کاربرد قضایی لنگر مساحت برای تیر با بارگذاری نامتقارن	۱۲-۹
۴۹۲	خیز ماکریم	۱۲-۹
۴۹۴	استفاده از قضایی لنگر مساحت برای تیرهای نامعین استاتیکی	۱۴-۹
۵۰۳	مرور و خلاصه فصل ۹	

## ۱۰

### ستون‌ها

۵۱۵

۵۱۶	۱-۱۰ مقدمه	۱-۱۰
۵۱۶	۲-۱۰ پایداری سازدها	۲-۱۰
۵۱۸	۳-۱۰ فرمول اویلر برای ستون‌های دو سر مفصلی	۳-۱۰
۵۲۰	۴-۱۰ تعمیم فرمول اویلر برای ستون‌ها با سایر شرایط انتها	۴-۱۰
۵۲۹	۵-۱۰ بارگذاری خارج از مرکز؛ فرمول سکانت	۵-۱۰
۵۳۷	۶-۱۰ طراحی ستون‌های تحت بار مرکزی	۶-۱۰
۵۴۹	۷-۱۰ طراحی ستون‌های تحت بار خارج از مرکز	۷-۱۰
۵۵۷	مرور و خلاصه فصل ۱۰	

## ۱۱

### روش‌های انرژی

۵۶۵

۵۶۶	۱-۱۱ مقدمه	۱-۱۱
۵۶۶	۲-۱۱ انرژی کرنشی	۲-۱۱
۵۶۷	۳-۱۱ چگالی انرژی کرنشی	۳-۱۱
۵۶۹	۴-۱۱ انرژی کرنشی الاستیک برای تنش‌های قائم	۴-۱۱
۵۷۱	۵-۱۱ انرژی کرنشی الاستیک برای تنش برشی	۵-۱۱
۵۷۲	۶-۱۱ انرژی کرنشی برای حالت کلی تنش	۶-۱۱
۵۸۲	۷-۱۱ بارگذاری ضربه‌ای	۷-۱۱
۵۸۴	۸-۱۱ طراحی در بارهای ضربه‌ای	۸-۱۱
۵۸۵	۹-۱۱ گار و انرژی در یک بار تنها	۹-۱۱

۵۸۷	۱۰-۱۱ خیز تحت یک بار تنها با روشن کار انرژی
۵۹۵	۱۱-۱۱ کار و انرژی تحت چند بار
۵۹۷	۱۲-۱۱ قضیه کاستیلیانو
۵۹۸	۱۳-۱۱ تعیین خیز با استفاده از قضیه کاستیلیانو
۶۰۱	۱۴-۱۱ سازه‌های نامعین استاتیکی
۶۱۱	مرور و خلاصه فصل ۱۱

## پیوست‌ها

۶۱۹

۶۲۱	الف ممان سطوح
۶۲۹	ب خواص نوعی مواد صنعتی
۶۳۱	ج خواص مقاطع فولادی فورد شده
۶۳۷	د خیز و شبیه تیرها

مقاومت مصالح

## مقدمه مفهوم تنش



در این فصل، تنش‌های موجود در اغلب اجزای دستگاه حفاری بالا (مانند عضوهای دوپنجه، اکسل‌ها، پیچ و مهره‌ها و پین‌ها) بررسی می‌شوند.

RuEB

## ۱-۱ مقدمه

در قسمت ۱۱-۱، که در آن مجدداً یک عضو دونبرویی تحت بارگذاری محوری مورد بررسی قرار می‌گیرد، می‌بینیم که تنش‌های وارد بر یک صفحه مابین شامل تنش‌های قائم و برشی است، و در قسمت ۱۲-۱ خواهیم دید که برای توصیف حالت تنش در یک نقطه از جسمی که تحت کلی ترین شرایط بارگذاری است بآر به شش مؤلفه است.

سرانجام، در قسمت ۱۳-۱، استقامت نهایی یک ماده را از نمونه آزمایشی تعیین می‌کنیم و از آن برای محاسبه پارامتر یک عضو ساختمانی استفاده می‌کنیم.

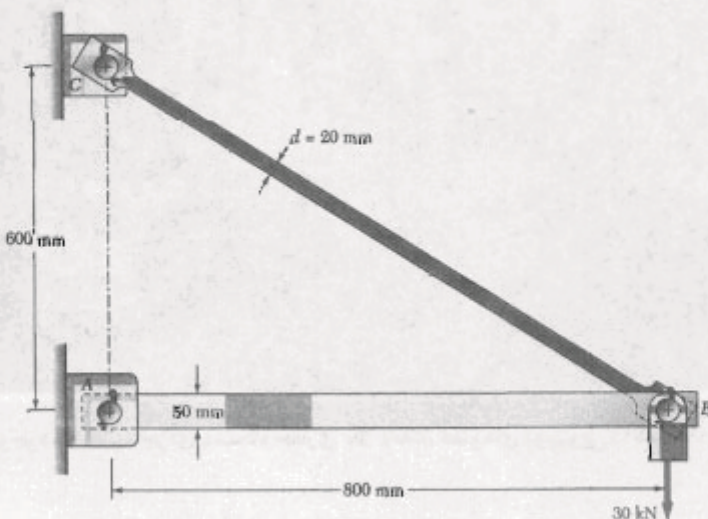
**۱-۲ مرور روش‌های استاتیک**  
در این قسمت، روش‌های بنیادی استاتیک را برای تعیین نیروها در عضوهای یک سازه ساده مرور می‌کنیم.  
سازه نشان داده شده در شکل ۱-۱ را، که برای تحمل بار ۳۰ kN است، در نظر بگیرید. این سازه از بازوی  $AB$  با مقطع عرضی مستطیلی  $50 \times 600 \text{ mm}$  و از میله  $BC$  با مقطع عرضی دایره‌ای به قطر  $20 \text{ mm}$  تشکیل شده است. این بازو و میله توسط مفصل  $B$  بهم متصل شده‌اند و توسط مفصل‌ها و بسته‌ها، به ترتیب، در  $A$  و  $C$  نگه داشته شده‌اند. در گام اول، سازه را از تکیه‌گاه‌های  $A$  و  $C$  جدا می‌کنیم. سپس، با ترسیم نمودار آزاد آن، واکنش‌هایی را که این تکیه‌گاه‌ها بر سازه وارد می‌کنند نشان می‌دهیم (شکل ۱-۱). توجه کنید که با

هدف اصلی از مطالعه مقاومت مصالح این است که مهندسان به ابزار تحلیل و طراحی انواع ماشین‌آلات و سازه‌هایی که تحت بار قرار دارند دست یابند.

در تحلیل و طراحی هر سازه‌ای، باتنش و تغیرشکل سروکار داریم. لذا، در فصل اول، مفهوم تنش را مطالعه می‌کنیم.

در قسمت ۲-۱، روش‌های بنیادی در استاتیک را مرور، و از آنها برای تعیین نیروها در عضوهای مفصلی استفاده می‌کنیم. در قسمت ۳-۱، مفهوم تنش در عضو یک سازه و نحوه تعیین تنش را از نیروی موجود در آن عضو بررسی می‌کنیم. پس از بحث مختصری درباره تحلیل و طراحی مهندسی در قسمت ۴-۱، تنش‌های قائم در یک عضو را که تحت بارگذاری محوری است در قسمت ۵-۱، وقتی‌های برشی ناشی از اعمال نیروهای عرضی مساوی و مخالف را در قسمت ۶-۱، و تنش‌های تکیه‌گاهی ناشی از پیچ و مهره‌ها و مفصل‌ها را در قسمت ۷-۱ مطالعه می‌کنیم. این مفاهیم را برای تعیین تنش در عضوهای سازه‌ای قسمت ۲-۱ به کار می‌بریم.

قسمت اول این فصل را با توصیف روش حل یک مسئله (قسمت ۹-۱) و با بحثی درباره دقت عددی که در محاسبات مهندسی به کار می‌رود (قسمت ۱۰-۱) به پایان می‌بریم.



شکل ۱-۱

با جایگذاری  $A_y$  از  $(-4)$  در  $(3-1)$ ، داریم  $C_y = +30 \text{ kN}$ . با بیان بردازی واکنش‌ها در  $A$  و  $C$ ، نتیجه می‌شود:

$$A = 40 \text{ kN} \rightarrow C_x = 40 \text{ kN} \leftarrow, C_y = 30 \text{ kN} \uparrow$$

توجه کنید که واکنش در  $A$  در امتداد محور بازوی  $AB$  است و در آن عضو ایجاد فشار می‌کند. چون مولفه‌های  $C_x$  و  $C_y$  به ترتیب، با مولفه‌های افقی و عمودی فاصله  $B$  تا  $C$  متناسب‌اند، نتیجه می‌شود واکنش در  $C$  برابر با  $30 \text{ kN}$  است. این واکنش در امتداد میله  $BC$  قرار دارد و در آن ایجاد کشش می‌کند.

نتایج بالا را با توجه به این مطلب نیز می‌توان بدست آورد که  $BC$  و  $AB$  عضوهای دوپیویی هستند؛ یعنی، عضوهایی که فقط از دو نقطه تحت تأثیر نیرو و قرار می‌گیرند ( $A$  و  $B$ ) برای عضو  $BC$  و  $AB$  میله  $BC$  عضو  $C$ ،  $B$  و  $A$  برای  $BC$  عضو  $A$  و  $C$  میله  $AB$  عضو  $B$  و  $A$  میله  $BC$  عضو  $C$  می‌باشد. خطرط اثر برآیندهای نیروهای وارد بر هر یک از این دو نقطه در خلاف جهت هم هستند و از این دو نقطه می‌گذرند. با استفاده از این خاصیت، و با در نظر گرفتن نمودار آزاد مفصل  $B$ ، می‌توان حل ساده‌تری را بدست آورد. نیروهای وارد بر مفصل  $BC$  عبارتند از نیروهای  $F_{AB}$ ،  $F_{BC}$  و  $30 \text{ kN}$  (شکل ۴-۱-الف). با ترسیم مثلث نیروها می‌توان گفت مفصل

در تعادل است (۴-۱-ب).

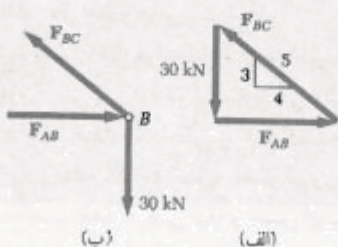
چون نیروی  $F_{BC}$  در امتداد عضو  $BC$  است، شبیه آن با شبیه  $BC$  برابر است. بنابراین،

$$\frac{F_{AB}}{4} = \frac{F_{BC}}{5} = \frac{30 \text{ kN}}{3}$$

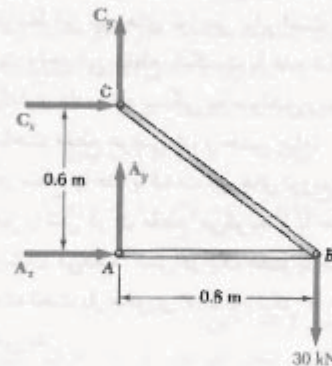
در نتیجه،

$$F_{AB} = 40 \text{ kN} \quad F_{BC} = 50 \text{ kN}$$

نیروهای  $F'_{AB}$  و  $F'_{BC}$  که از مفصل  $B$ ، به ترتیب، بر بازوی  $AB$  و میله  $BC$  وارد می‌شوند مساوی و متضاد با  $F_{AB}$  و  $F_{BC}$  هستند (شکل ۴-۱-ب).



شکل ۴-۱



شکل ۴-۱

حذف جزئیات غیر ضرور می‌توان ترسیم نمودار آزاد را ساده کرد. گفتنی است که  $AB$  و  $BC$  عضوهای دوپیویی هستند. ولی بدون توجه به این مطلب و با در نظر گرفتن جهت‌های فرضی برای واکنش‌های مجهول  $A$  و  $C$ ، تحلیل را پیش می‌بریم. لذا، هر یک از این واکنش‌های را با یک مولفه  $A_y$  و  $A_x$  در  $A$ ، و  $C_y$  و  $C_x$  در  $C$  نشان می‌دهیم و معادله‌های تعادل زیر را می‌نویسیم:

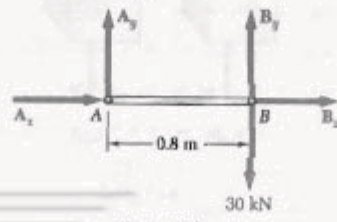
$$+\nabla \sum M_C = 0 : A_x(0.6 \text{ m}) - (30 \text{ kN})(0.8 \text{ m}) = 0 \\ A_x = +40 \text{ kN} \quad (4-1)$$

$$\rightarrow \sum F_x = 0 : A_x + C_x = 0 \\ C_x = -A_x \quad C_x = -40 \text{ kN} \quad (4-1)$$

$$+\uparrow \sum F_y = 0 : A_y + C_y - 30 \text{ kN} = 0 \\ A_y + C_y = +30 \text{ kN} \quad (4-1)$$

دو تاز چهار مجهول را پیدا کرده‌ایم، ولی نمی‌توانیم دو مجهول دیگر را از این معادله‌ها بیابیم. از نمودار آزاد سازه نیز نمی‌توانیم معادله مستقل خاصی بدست آوریم. لذا، سازه را جزء جزء می‌کنیم. با در نظر گرفتن نمودار آزاد بازوی  $AB$  (شکل ۴-۱-ب)، معادله تعادل زیر را می‌نویسیم:

$$+\nabla \sum M_B = 0 : -A_y(0.8 \text{ m}) = 0 \\ A_y = 0 \quad (4-1)$$



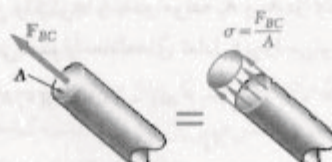
شکل ۴-۱

در تمام مساحت مقطع عرضی توزیع شده‌اند (شکل ۷-۱) و شدت متوسط این نیروهای توزیعی برابر است با نیروی وارد BC بر مساحت واحد این مقطع. شکست یا عدم شکست میله BC تحت بارگذاری داده شده بستگی به عوامل زیر دارد: نیروی عرضی  $A$ ، مساحت مقطع عرضی  $A$ ، و جنس میله.

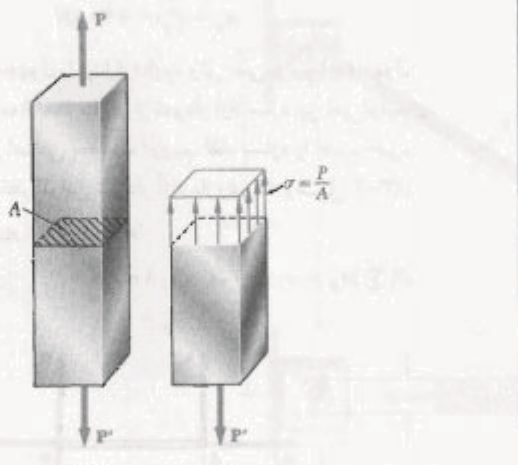
نیرو در سطح واحد، یا شدت نیروهای توزیع شده روی یک مقطع معین را تش در آن مقطع می‌گویند و با حرف یونانی  $\sigma$  (سیگما) نشان می‌دهند. تش در یک عضو با مساحت مقطع عرضی  $A$  که تحت بار محوری  $P$  است (شکل ۸-۱) از رابطه زیر بدست می‌آید:

$$\sigma = \frac{P}{A} \quad (8-1)$$

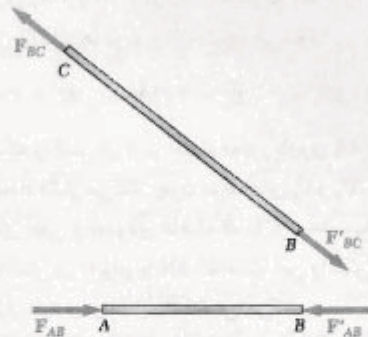
از علامت مثبت برای تش کشش و از علامت منفی برای تش فشاری استفاده می‌شود.



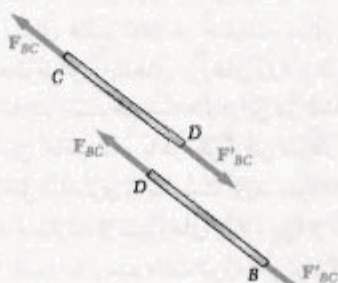
شکل ۷-۱



شکل ۸-۱



شکل ۶-۱



شکل ۶-۲

با معلوم بودن نیروها در دو سر عضوها، می‌توان نیروهای داخلی را در آنها بدست آورد. اگر میله BC را در نقطه اختیاری  $D$  مقطع بزنیم، دو قسمت  $CD$  و  $BD$  خواهیم داشت (شکل ۶-۱). برای تعادل این دو قسمت، نیروهای  $50\text{ kN}$  را باید در  $D$  بر هر دو وارد کرد. لذا، با اعمال بار  $30\text{ kN}$  در نقطه  $B$ ، نیروی داخلی  $50\text{ kN}$  در میله  $BC$  بوجود می‌آید. با توجه به جهت نیروهای  $F_{BC}$  و  $F'_{BC}$  در شکل ۶-۱، می‌توان گفت میله در کشش است. با روش مشابه می‌توان گفت نیروی داخلی در بازوی  $AB$  برابر با  $40\text{ kN}$  است و بازو تحت فشار می‌باشد.

### ۱-۳-۱ تنش در عضوهای یک سازه

گرچه نتایج قسمت قبل در تحلیل سازه‌ها اهمیت دارند، ولی با آنها نمی‌توان پیش‌بینی کرد که آیا سازه می‌تواند بار وارد را تحمل کند یا نه. مثلاً، گیختگی یا عدم گسیختگی میله  $BC$  تحت بارگذاری داده شده نه تنها به مقدار نیروی داخلی  $F_{BC}$  بلکه به مساحت مقطع عرضی میله و جنس آن نیز بستگی دارد. در حقیقت، نیروی داخلی  $F_{BC}$  برایت نیروهای جزئی است که



معادله (۵-۱)،

$$\sigma_{all} = \frac{P}{A} \quad A = \frac{P}{\sigma_{all}} = \frac{50 \times 10^7 \text{ N}}{100 \times 10^9 \text{ Pa}} = 500 \times 10^{-9} \text{ m}^2$$

اما  $A = \pi r^2$ . درنتیجه،

$$r = \sqrt{\frac{A}{\pi}} = \sqrt{\frac{500 \times 10^{-9} \text{ m}^2}{\pi}} = 12,62 \times 10^{-7} \text{ m} = 12,62 \text{ mm}$$

$$d = 2r = 25,2 \text{ mm}$$

یعنی، میله آلومینیمی به قطر ۲۶ mm یا بیشتر مناسب خواهد بود.

**۱-۵ بارگذاری محوری؛ تنش قائم**  
میله BC، که در قسمت قبل به آن اشاره شد، یک عضو دونبرویی است. لذا، نیروهای  $F_{BC}$  و  $F_{BC}$  که در دو سر C آن وارد می‌شوند (شکل ۱-۱) در استداد محور میله قرار دارند. کفته‌می شود میله تحت بارگذاری محوری است. مثلاً، عضوهای خربای پل نشان داده شده در شکل ۱-۹ تحت بارگذاری محوری قرار دارند.

میله BC در شکل ۱-۵ را دوباره در نظر می‌گیریم. قبلاً، برای تعیین نیروی داخلی در میله و تنش متناظر، میله را هر استداد عمود بر محور مقطع زدیم؛ از این رو، نیروی داخلی بر صفحه این مقطع عمود بود (شکل ۱-۷) و تنش متناظر را تنش قائم می‌گویند. تنش قائم در عضوی که تحت بارگذاری محوری است از فرمول ۱-۵ به دست می‌آید:

$$\sigma = \frac{P}{A} \quad (5-1)$$



شکل ۱-۹ خربای این پل از عضوهای دونبرویی کشی یا فشاری تشکیل شده است.

با  $P$  بر حسب نیوتون (N) و  $A$  بر حسب متر مربع ( $\text{m}^2$ )، تنش  $\sigma$  بر حسب  $\text{N/m}^2$  است. این واحد را پاسکال (Pa) می‌گویند. ولی، پاسکال کمیت بسیار کوچکی است و در عمل از ضربهای آن، مانند کیلوپاسکال (kPa)، مگاپاسکال (MPa) و گیگاپاسکال (GPa) استفاده می‌شود:

$$1 \text{ kPa} = 10^3 \text{ Pa} = 10^3 \text{ N/m}^2$$

$$1 \text{ MPa} = 10^6 \text{ Pa} = 10^6 \text{ N/m}^2$$

$$1 \text{ GPa} = 10^9 \text{ Pa} = 10^9 \text{ N/m}^2$$

#### ۱-۴ تحلیل و طراحی

سازه شکل ۱-۱ را مجدداً در نظر بگیرید و فرض کنید میله BC به قطر ۲۰ mm، از فولاد (با ماکریزم تنش مجاز  $\sigma_{all} = 165 \text{ MPa}$ ) ساخته شده است. آیا میله BC می‌تواند بر وارده را تحمل کند؟ قبلاً، مقدار نیروی  $F_{BC}$  در میله BC در شکل ۱-۱، تنش ناشی از این بارگذاری را می‌باییم:

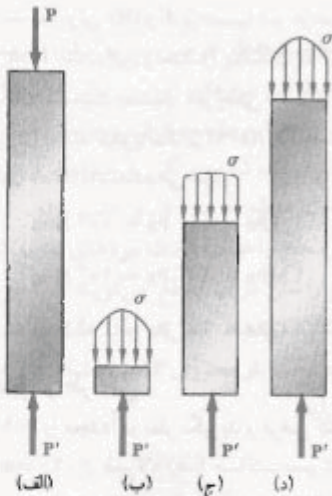
$$P = F_{BC} = +50 \text{ kN} = +50 \times 10^3 \text{ N}$$

$$A = \pi r^2 = \pi \left( \frac{20 \text{ mm}}{2} \right)^2 = \pi (10 \times 10^{-3} \text{ m})^2 = 314 \times 10^{-6} \text{ m}^2$$

$$\sigma = \frac{P}{A} = \frac{+50 \times 10^3 \text{ N}}{314 \times 10^{-6} \text{ m}^2} = +159 \times 10^6 \text{ Pa} = +159 \text{ MPa}$$

چون  $\sigma$  حاصله کوچکتر از مقدار مجاز فولاد است، تنش می‌شود که میله BC با اطمینان می‌تواند بر وارده را تحمل کند. برای تکمیل تحلیل، باید تنش فشاری در بازوی AB را تعیین، و تنش‌های ایجاد شده در مفصل‌ها و یاتاقانها را بیاییم. این کار را بعداً در این فصل انجام می‌دهیم. همچنین باید تعیین کنیم که آیا تغییرشکل‌های ایجاد شده بر اثر بارگذاری وارد قابل قبول‌اند یا نه. مطالعه تغییرشکل‌ها تحت بارهای محوری در فصل ۲ انجام می‌شود. نکته اضافی، که برای عضوهای فشاری باید در نظر گرفت، پایداری عضو است؛ یعنی، قابلیت آن برای تحمل بار وارده بدون اینکه تغییرشکل ناگهانی دهد. این موضوع را در فصل ۱۰ بررسی می‌کنیم.

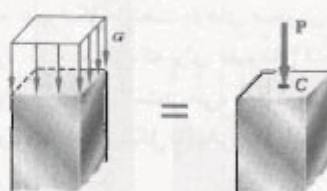
نش مهندس فقط تحلیل تنش در سازه‌ها و ماشین‌آلات موجود نیست، بلکه باید سازه‌ها و ماشین‌آلات جدید را برای انجام عملیات خاصی نیز طراحی نماید. برای مثال، مجدداً به سازه شکل ۱-۱ بر می‌گردیم، و فرض می‌کنیم می‌خواهیم از آلومینیم با تنش مجاز  $\sigma_{all} = 100 \text{ MPa}$  استفاده کنیم. نیرو در میله BC عبارت است از  $P = P_{BC} = 50 \text{ kN}$ .



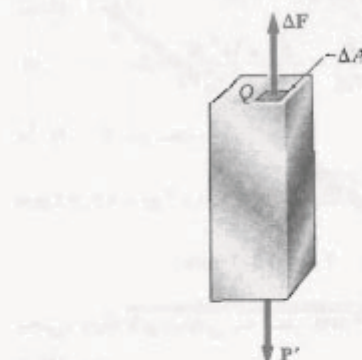
شکل ۱۱-۱

لذا، حجم زیر هر یک از سطوح تنش در شکل ۱۱-۱ با مقدار  $P$  برابر است. البته، این تنها اطلاعاتی است که از استاتیک می‌توان درباره توزیع تنش‌های قائم در مقاطع مختلف میله به دست آورد. توزیع واقعی تنش‌ها در یک مقطع معین، از مسائل نامعین استاتیکی است. برای اطلاعات بیشتر درباره این توزیع، باید تغییر شکل‌های ناشی از حالات‌های خاص اعمال بارها در دو سر میله را در نظر بگیریم. این را در فصل ۲ بررسی می‌کنیم.

در عمل، فرض می‌کنیم که توزیع تنش‌های قائم در عضوی که به طور محوری بارگذاری شده است یکنواخت می‌باشد، به جز در مجاورت نقاط اثر بارها که یکنواخت نیست. در این حالت، مقدار  $\sigma$  تنش با  $\sigma_{ave}$  برابر است و آن را از فرمول (۵-۱) می‌توان بدست آورد. با فرض توزیع یکنواخت تنش در مقطع عرضی، از استاتیک<sup>\*</sup> تیجه می‌گیریم برابر  $P$  نیروهای داخلی



شکل ۱۲-۱



شکل ۱۰-۱

گفتنی است که  $\Delta F$  در فرمول (۵-۱)، مقدار متوسط تنش را روی مقطع عرضی نشان می‌دهد، نه تشن در یک نقطه خاص از مقطع عرضی را.

برای تعریف تنش در نقطه معین  $Q$  از مقطع عرضی، باید مساحت کوچک  $\Delta A$  را در نظر بگیریم (شکل ۱۰-۱). از تقسیم مقدار  $\Delta F$  بر  $\Delta A$ ، مقدار متوسط تنش را روی  $\Delta A$  می‌یابیم. با میل دادن  $\Delta A$  به سمت صفر، تنش در نقطه  $Q$  بدست می‌آید:

$$\sigma = \lim_{\Delta A \rightarrow 0} \frac{\Delta F}{\Delta A} \quad (6-1)$$

به طور کلی، مقدار تنش  $\sigma$  در نقطه معین  $Q$  از مقطع عرضی با مقدار تنش متوسطی که فرمول (۵-۱) می‌دهد متفاوت است، و در هر مقطع تغییر می‌کند. در میله باریکی که تحت بارهای مستمرکز مساوی و متضاد  $P$  و  $P'$  قرار دارد (شکل ۱۱-۱ الف)، این تغییر در مقاطع دور از نقاط اثر بارهای مستمرکز کوچک است (شکل ۱۱-۱ اج)، اما در مجاورت این نقاط قابل توجه می‌باشد (شکل ۱۱-۱ ب، و د).

از معادله (۶-۱) تیجه می‌شود که مقدار برابر  $\int_A \sigma dA$  نیروهای داخلی توزیعی چنین است:

$$\int dF = \int_A \sigma dA$$

اما تعادل هر یک از قسمت‌های میله شکل ۱۱-۱ نشان می‌دهد که این مقدار برابر است با مقدار بارهای مستمرکز. یعنی،

$$P = \int dF = \int_A \sigma dA \quad (7-1)$$

\* نگاه کنید به Ferdinand P. Beer and E. Russell Johnston, Jr., Mechanics for Engineers, 4th ed., McGraw-Hill, New York, 1987, or Vector Mechanics for Engineers, 6th ed., McGraw-Hill, New York, 1996, secs. 5.2 and 5.3.

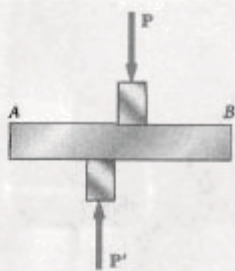


لنگر<sup>\*</sup>  $M = Pd$ . در این حالت، توزیع نیروها و توزیع تنش‌های متناظر سنی تو اندیکتوخت یا متفاوت باشند (شکل ۱۱-۱). این مطلب را در فصل ۴ به تفصیل بررسی می‌کنیم.

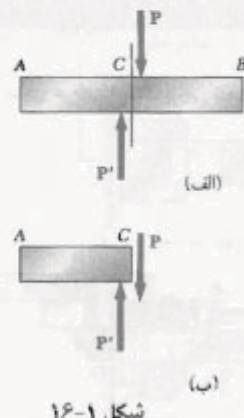
#### ۱-۶ تنش برشی

در قسمت‌های ۲-۱ و ۳-۳، نیروهای داخلی و تنش‌های متناظر بر مقطع تحت بررسی عمود بودند. با اعمال نیروهای عرضی  $P$  و  $P'$  بر عضو  $AB$  (شکل ۱۵-۱)، تنش کاملاً متفاوتی به وجود می‌آید. با عبور یک مقطع در  $C$  بین نقاط اثر دو نیرو (شکل ۱۶-۱الف)، نمودار قسمت  $AC$  به دست می‌آید (شکل ۱۶-۱ب)، از تعادل این قسمت نتیجه می‌شود که در صفحه مقطع عرضی نیروهای داخلی وجود دارد، و برآیند آنها است. این نیروهای جزئی داخلی را نیروهای برشی، و برآیند آنها را برش در آن مقطع می‌گویند. از تقسیم برش  $P$  بر مساحت  $A$  مقطع عرضی، تنش برشی متوسط بدست می‌آید:

$$\tau_{ave} = \frac{P}{A} \quad (۱۶-۱)$$



شکل ۱۵-۱

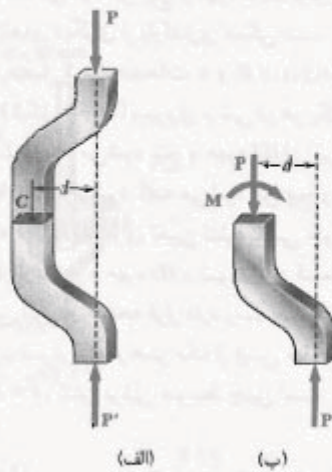


شکل ۱۶-۱

در مرکزوار مقطع عرضی ( نقطه  $C$  در شکل ۱۶-۱ ) وارد می‌شود. یعنی، توزیع بکواخت تنش فقط وقی امکان پذیر است که خط اثر بارهای مرکز  $P$  و  $P'$  از مرکزوار مقطع عرضی تحت بررسی بگذرد (شکل ۱۳-۱). این نوع بارگذاری را بارگذاری مرکزی می‌گویند و فرض می‌شود که در تمام عضوهای دونیرویی مستقیم، که در خربها و سازه‌های مفصلی وجود دارند (مانند عضو شکل ۱-۱)، روی می‌دهد. اگر یک عضو دونیرویی به طور محوری بارگذاری شود و بار دارای خروج از مرکز باشد (شکل ۱۴-۱الف)، از شرایط تعادل قسمتی از عضو که در شکل ۱۴-۱ب نشان داده شده است نتیجه می‌شود که نیروهای داخلی وجود دارد، و برآیند آنها است با نیرویی  $P$  وارد در مرکزوار آن مقطع و کوبل  $M$  با

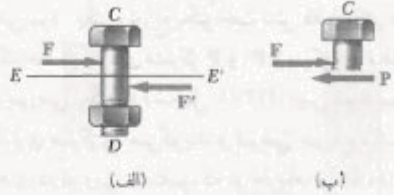


شکل ۱۳-۱

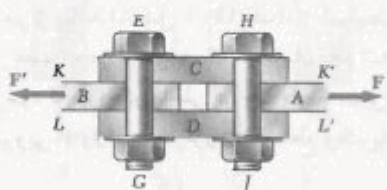


شکل ۱۴-۱

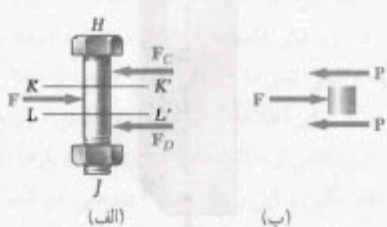
\* به آن گشتاور نیز می‌گویند - مترجم



شکل ۱۹-۱



شکل ۲۰-۱



شکل ۲۱-۱

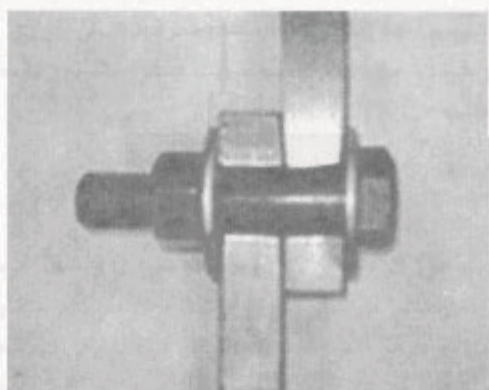
گفته می‌شود این پیچ و مهره تحت برش تنها قرار دارد، البته، حالت‌های دیگری از بارگذاری ممکن است روی دهد. مثلاً اگر برای متصل کردن صفحات *A* و *B* از ورق‌های *D* و *C* استفاده شود (شکل ۲۰-۱)، نیروی برشی در هر یک از دو صفحه *KK'* (شکل ۲۰-۱)، نیروی برشی در هر یک از پیچ و مهره *(EG)* و *(LL')* باعث می‌شود پیچ و مهره *HJ* (و نیز پیچ و مهره *DL*) تحت برش قرار گیرد. گفته می‌شود این پیچ و مهره‌ها تحت برش دوگانه قرار دارند. برای تعیین تنش برشی متوسط در هر صفحه، نمودار آزاد پیچ و مهره *HJ* و نمودار آزاد آزاد قسمتی از پیچ و مهره را که بین این دو صفحه قرار دارد رسم می‌کنیم (شکل ۲۱-۱). چون برش *P* در هر یک از این مقاطع عبارت است از  $P = F/2$ ، تنش برشی متوسط چنین است:

$$\tau_{\text{ave}} = \frac{P}{A} = \frac{F/2}{A} = \frac{F}{2A} \quad (10-1)$$

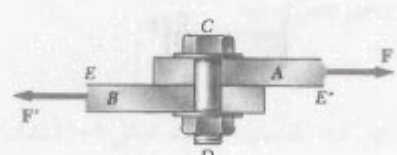
برخلاف آنچه که قبله برای تنش‌های قائم گفتیم، توزیع تنش‌های برشی در عرض مقطع رائی تو ان یکنواخت فرض کرد. همانطور که در فصل ۶ خواهید دید، مقدار واقعی تنش برشی از صفر در سطح عضو تا مقدار ماکزیمم  $\tau_{\text{max}}$ ، که می‌تواند بزرگتر از مقدار متوسط  $\tau_{\text{ave}}$  باشد، تغییر می‌کند.

تش‌های برشی معمولاً در پیچ و مهره‌ها، مفصل‌ها و پرچها روی می‌دهد (شکل ۱۷-۱). دو صفحه *A* و *B* را که با پیچ و مهره *CD* بهم متصل شده‌اند در نظر بگیرید (شکل ۱۸-۱). اگر این صفحات تحت نیروهای کششی *F* قرار گیرند، تنش‌هایی در صفحه *EE'* به وجود می‌آید با ترسیم نمودارهای پیچ و مهره و قسمت وافع در بالای صفحه *EE'* (شکل ۱۹-۱)، نتیجه می‌شود که برش *P* در این مقطع با *F* برابر است. تنش برشی متوسط در این مقطع چنین است:

$$\tau_{\text{ave}} = \frac{P}{A} = \frac{F}{A} \quad (4-1)$$



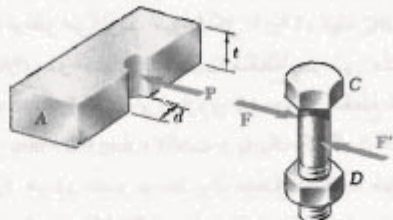
شکل ۱۷-۱ نمای عرضی اتصال پیچی تحت برش



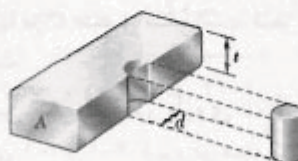
شکل ۱۸-۱



### ۷-۱ تنش تکیه‌گاهی در اتصالات



شکل ۲۲-۱

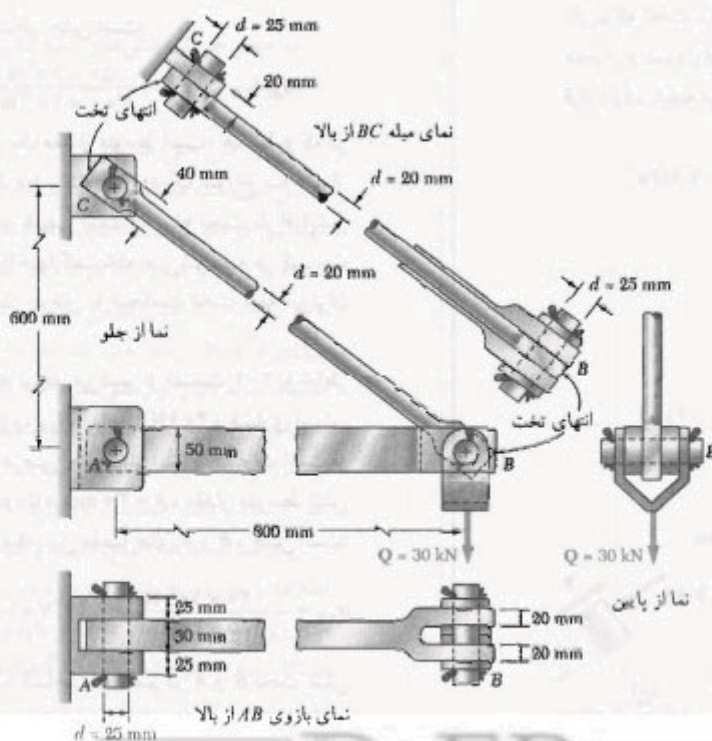


شکل ۲۳-۱

بیج و مهره، مفصل‌ها و پرچ‌ها، تنش‌هایی را در امتداد سطح تماس عضوهای متصله به وجود می‌آورند. مثلاً، دو صفحه A و B را که توسط بیج و مهره CD به هم متصل‌اند (شکل ۱۸-۱) در نظر بگیرید. بیج و مهره، نیروی P را بر صفحه A وارد می‌کند که برابر و متناسب با نیروی F وارده از صفحه بر بیج و مهره است (شکل ۲۲-۱)؛ نیروی P برایند نیروهای جزیی توزیع شده روی سطح داخلی نیم استوانه‌ای به قطر  $d$  و به طول  $t$  است (ضخامت صفحه است). چون توزیع این نیروهای توزیع تنش‌های متاظر-کاملاً پیچیده است، در عمل از مقدار متطلبی نامی تنش،  $\sigma_h$ ، که آن را تنش تکیه‌گاهی می‌گویند استفاده می‌شود. این تنش، از تقسیم بار P بر مساحت متطلبی تصویر بیج و مهره روی مقطع صفحه بدست می‌آید (شکل ۲۳-۱). این مساحت برابر است با  $td$ . که در آن  $\sigma_h$  ضخامت صفحه و  $d$  قطر بیج و مهره است. در نتیجه،

$$\sigma_h = \frac{P}{A} = \frac{P}{td} \quad (11-1)$$

۱-۸ کاربرد تنش در تحلیل و طراحی سازه‌های ساده حال، می‌خواهیم تنش در عضوهای اتصالات سازه‌های ساده دو بعدی مختلف را تعیین، و این سازه‌ها را طراحی کنیم.



شکل ۲۴-۱

ب- تعیین تنش برشی در اتصالات مختلف. برای تعیین تنش برشی در اتصالاتی مانند پیچ و مهره، مفصل یا برج، ابتدا نیروهای واردہ از عضوهای مختلفی را که توسط این اتصالات به هم متصل شده‌اند نشان می‌دهیم. مثلاً، برای مفصل C در شکل ۲۵-۱ الف، شکل ۲۵-۱ ب را رسم می‌کنیم، در این شکل، نیروی  $50\text{ kN}$  وارد، از عضو BC بر مفصل C و نیروی مساوی و متساوی با آن را که از براکت وارد می‌شود نشان می‌دهیم. با ترسیم قسمتی از مفصل واقع در زیر صفحه DD' که تنش‌های برشی در آنجا به وجود آیدن (شکل ۲۵-۱ ج)، نتیجه می‌شود برش در آن صفحه عبارت است از  $N = 50\text{ kN}$ . مساحت مقطع عرضی مفصل

برابر است با:

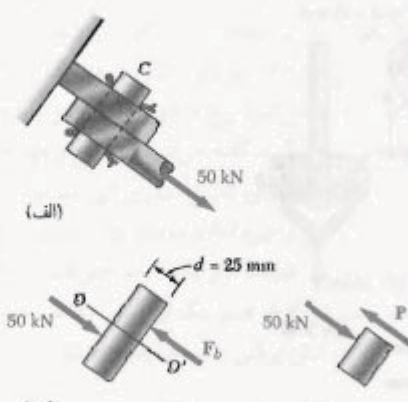
$$A = \pi r^2 = \pi \left(\frac{75\text{ mm}}{2}\right)^2 = \pi (12,5 \times 10^{-3}\text{ m})^2 = 491 \times 10^{-6}\text{ m}^2$$

لذا، مقدار متوسط تنش برشی در مفصل C چنین است:

$$\tau_{ave} = \frac{P}{A} = \frac{50 \times 10^3\text{ N}}{491 \times 10^{-6}\text{ m}^2} = 102\text{ MPa}$$

حال، مفصل A، را در نظر می‌گیریم (شکل ۲۶-۱) و توجه داریم که تحت برش دوگانه است. با ترسیم نمودار آزاد این مفصل و نمودار آزاد قسمتی از آن که بین صفحات DD' و EE' قرار دارد، نتیجه می‌شود که  $P = 20\text{ kN}$ . یعنی،

$$\tau_{ave} = \frac{P}{A} = \frac{20\text{ kN}}{491 \times 10^{-6}\text{ m}^2} = 40,8\text{ MPa}$$



شکل ۱ ۲۵

به سازه شکل ۱-۱ بر می‌گردیم و نکته‌گاهها و اتصالات A و C و B را در نظر می‌گیریم. طبق شکل ۲۴-۱، میله BC به قطر  $20\text{ mm}$  دارای دو انتهای تخت با مقطع عرضی مستطیلی  $20\text{ mm} \times 40\text{ mm}$  است، و برازوی AB دارای مقطع عرضی مستطیلی  $20\text{ mm} \times 50\text{ mm}$  است و با یک رکابک در انتهای B متصل دارد. هر دو عضو توسط یک مفصل در B به هم متصل شده‌اند. در B، بار  $20\text{ kN}$  توسط براکت U شکل وارد شده است. برازوی AB توسط پیشی که در یک براکت دوگانه جا زده شده است در A نگه داشته شده است، و میله BC توسط یک براکت تنها در C متصل شده است. قطر تمام مفصل‌ها  $25\text{ mm}$  است.

الف- تعیین تنش قائم در برازوی AB و میله BC. طبق قسمت‌های ۲-۱ و ۴-۱، نیرو در میله BC برابر است با  $F_{BC} = 50\text{ kN}$  و مساحت مقطع عرضی دایره‌ای برابر است با  $A = 314 \times 10^{-6}\text{ m}^2$ : تنش متوسط نامی متناظر عبارت است از  $\sigma_{BC} = +159\text{ MPa}$ . ولی، قسمت‌های تحت میله نیز تحت کشش‌اند و در باریکاترین قسمت، که سوراخی در آنجا قرار دارد،

$$A = (20\text{ mm})(40\text{ mm} - 25\text{ mm}) = 300 \times 10^{-6}\text{ m}^2$$

مقدار متوسط تنش متناظر چنین است:

$$(\sigma_{BC})_{dr} = \frac{P}{A} = \frac{50 \times 10^3\text{ N}}{300 \times 10^{-6}\text{ m}^2} = 167\text{ MPa}$$

توجه کنید که این یک مقدار متوسط است؛ همانطور که در قسمت ۱۸-۲ خواهید دید، تنش در نزدیک سوراخ به مقدار خیلی بیشتری می‌رسد. بدینهی است که میله تحت بار افزایشی در نزدیک یکی از سوراخها گذشته می‌شود نه در قسمت استوانه‌ای؛ لذا، با افزایش عرض یا ضخامت تخت میله می‌توان طراحی آن را بهبود داد.

حال، به برازوی AB توجه می‌کنیم. از قسمت ۲-۱ به خاطر داریم که نیرو در این برازو،  $F_{AB}$ ، برابر با  $40\text{ kN}$  و فشاری است. چون مساحت مقطع عرضی مستطیلی برازو متناظر است از  $A = 20\text{ mm} \times 50\text{ mm} = 1,0 \times 10^{-5}\text{ m}^2$ ، مقدار متوسط تنش قائم در قسمت اصلی میله، بین مفصل‌های A و B، چنین است:

$$\sigma_{AB} = -\frac{40 \times 10^3\text{ N}}{1,0 \times 10^{-5}\text{ m}^2} = -40,0 \times 10^7\text{ Pa} = -40,0\text{ MPa}$$

توجه کنید که مقاطع با مساحت مینیمم در A و B تحت تنش نیستند، زیرا بازو تحت فشار است و مفصل‌ها را هل می‌دهد (در حالی که میله BC مفصل‌ها را می‌کند).

قسمت‌های  $DE$  (شکل ۱-۲۷-ب) و  $DG$  (شکل ۱-۲۷-ج)، نتیجه می‌شود برش در مقاطع  $E$  و  $G$ ، به ترتیب، عبارت از متقابله است، ماکزیمم مقدار برش در مفصل  $B$  عبارت است از  $P_G = 25 \text{ kN}$  و بیشترین تنش‌های برشی در مقاطع  $G$  و  $H$  روی می‌دهند؛ در این مقاطع،

$$\tau_{ave} = \frac{P_G}{A} = \frac{25 \text{ kN}}{\pi \times 10^{-4} \text{ m}^2} = 50 / 4 \text{ MPa}$$

ج - تعیین تنش‌های تکیه‌گاهی: برای تعیین تنش تکیه‌گاهی نامی در  $A$  از عضو  $AB$ ، از فرمول (۱۱-۱) استفاده می‌کنیم. از شکل ۱-۲۴-۱،  $t = 30 \text{ mm}$ ،  $d = 25 \text{ mm}$ . چون  $P = F_{AB} = 40 \text{ kN}$

$$\sigma_b = \frac{P}{td} = \frac{40 \text{ kN}}{(30 \text{ mm})(25 \text{ mm})} = 53 / 3 \text{ MPa}$$

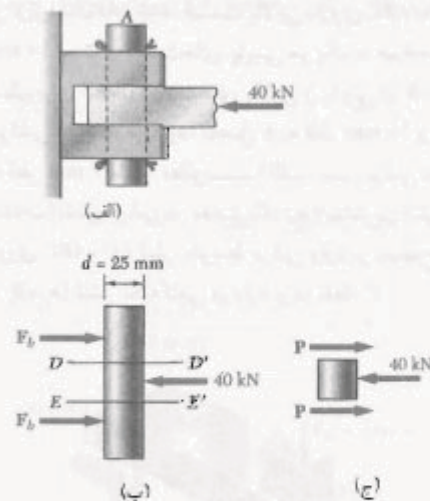
برای تعیین تنش تکیه‌گاهی در براکت  $A$ ، از  $d = 25 \text{ mm}$  و  $t = 2(25 \text{ mm}) = 50 \text{ mm}$  استفاده می‌کنیم:

$$\sigma_b = \frac{P}{td} = \frac{40 \text{ kN}}{(50 \text{ mm})(25 \text{ mm})} = 32 / 0 \text{ MPa}$$

به همین طریق، تنش‌های تکیه‌گاهی در  $B$  از عضو  $AB$ ، در  $C$  از عضو  $BC$ ، و در براکت  $C$  را می‌یابیم.

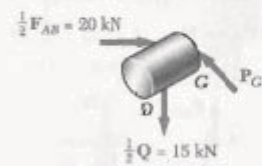
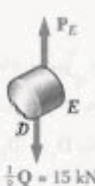
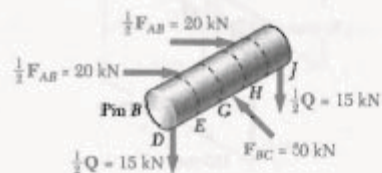
### ۹-۱ روش حل مسائل

مسائل مقاومت مصالح را باید به عنوان یک مسئله واقعی مهندسی در نظر گرفت. با تجربه و ابتکار، به سهولت می‌توان مسئله را درک و فرمول‌بندی کرد؛ در این رابطه، بیان مسئله به طور واضح نیز نقش مهمی دارد. مسئله را باید با کاربرد اصول بنیادی استاتیک و مقاومت مصالح حل کرد. پس از تعیین پاسخ مسئله، باید آن را وارسی کرد. در اینجا مجدداً می‌توان از احساس و تجربه بهره گرفت. اگر نتیجه حاصل رضایت‌بخش نباشد، فرمول‌بندی مسئله، صحت روش‌های مورد استفاده در حل مسئله و دقت محاسبات را باید به دقت وارسی کرد. یا مسئله باید واضح، دقیق، و شامل اطلاعات داده شده و اطلاعات مورد نیاز باشد. طرحواره ساده‌ای که تمام کمیت‌های ضروری موجود را نشان دهد نیز باید رسم کرد. برای حل اغلب مسائل، ابتدا بایدواکش در تکیه‌گاهها، لذگرها و نیروهای داخلی را تعیین کرد. برای این منظور، باید یک یا چند نمودار آزاد را رسم کرد (در قسمت ۱-۲-۱)، و با نوشتن معادله‌های تعادل به



شکل ۱-۲۶

B. L.

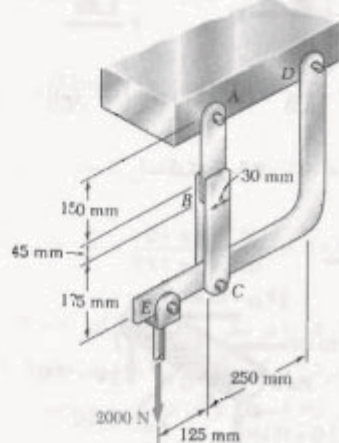


شکل ۱-۲۷

اکنون، مفصل  $B$  را در نظر می‌گیریم (شکل ۱-۲۷-الف). این مفصل را می‌توان به چنج قسّت تقسیم کرد، که هر کدام تحت نیروهای وارده از بازو، میله، و براکت قرار دارند. با در نظر گرفتن

### مسئله نمونه ۱-۱

در آویز نشان داده شده، قسمت بالایی بازوی  $ABC$  به ضخامت  $6\text{ mm}$   $10\text{ mm}$  است و قسمت های پایینی هر یک به ضخامت  $6\text{ mm}$  است. برای اتصال قسمت های بالایی و پایینی در  $B$ ، از چسب اپوکسی استفاده می شود. مفصل  $A$  به قطر  $10\text{ mm}$  و مفصل  $C$  به قطر  $6\text{ mm}$  است. مطلوب است: (الف) تنش برشی در مفصل  $A$ ، (ب) تنش برشی در مفصل  $C$ ، (ج) بیشترین تنش قائم در بازوی  $ABC$ ، (د) تنش متوسط برشی وارد بر سطوح چسبی در  $B$ ، (ه) تنش تکیه گاهی در بازو و در نقطه  $C$ .



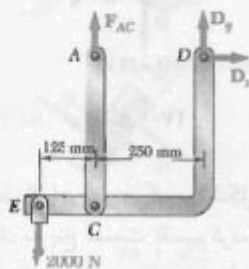
### حل

جسم آزاد تمام آویز. چون بازوی  $ABC$  یک عضو دوپیویی است، واکنش در  $A$  به صورت عمودی است؛ واکنش در  $D$  را با مؤلفه های  $D_x$  و  $D_y$  نشان می دهیم و می نویسیم:

$$+\sum M_D = 0 :$$

$$(2000\text{ N})(375\text{ mm}) - F_{AC}(250\text{ mm}) = 0$$

$$F_{AC} = +4000\text{ N} \quad (\text{کشی})$$



حل تیرهای مجھول پرداخت. سپس، تنش ها و تغییر شکل های مورد نیاز را محاسبه کرد.

پس از تعیین پاسخ، باید آن را به دقت وارسی کرد. با رعایت آحاد در محاسبات و وارسی آحاد پاسخ می توان به علت اشتباهاست پی برد. مثلاً، در طراحی میله ای که در قسمت ۴-۱ برسی شد، پس از کاربرد آحاد در محاسبات، دیدیم که قطر مورد نیاز میله بر حسب میلیمتر بیان شده واحد درست است! اگر واحد دیگری بعدست می آوردیم، در جایی اشتباها روی داده بود.

با جایگذاری مقادیر عددی حاصل در معادله ای که هنوز مورد استفاده قرار نگرفته است، معمولاً خطای محاسبه پیامد می شود.

### ۱-۱ دقت عددی

دقت حل مسئله بستگی به دو مورد زیر دارد: (۱) دقت داده ها، (۲) دقت محاسبات.

دقت حل نباید بیشتر از دقت دو مورد بالا باشد. مثلاً، اگر بار وارد بر یک تیر  $300\text{ kN}$  و خطای ممکن آن  $400\text{ N}$  باشد، خطای نسبی که میزان دقت داده ها را می سنجد چنین است:

$$\frac{400\text{ N}}{300\text{ kN}} = 0,13\%.$$

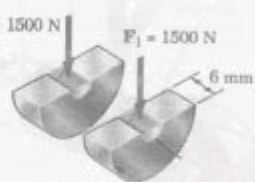
لذا، هنگام محاسبه واکنش در یکی از تکیه گاه های تیر نمی توان آن را به صورت  $57288\text{ N}$  بیان کرد. دقت محاسبات هر چه باشد، دقت حل نمی تواند بیشتر از  $13\%$  درصد باشد و خطای ممکن پاسخ می تواند به اندازه  $74\text{ N} = \frac{13}{100}(57288\text{ N})$  باشد. پاسخ صحیح به صورت  $5728\pm 74\text{ N}$  است.

در مسائل مهندسی، دقت داده ها به ندرت بیشتر از  $2\%$  درصد است. بنابراین، پاسخ این مسائل را به ندرت با دقت بیش از  $2\%$  درصد می نویسند. به عنوان یک قاعده عملی، برای ثبت اعدادی که با  $1$  شروع می شوند از  $4$  رقم، و برای سایر اعداد از  $3$  رقم استفاده می شود. در یک مسئله، دقت داده ها باید با هم قابل مقایسه باشند مگر اینکه خلاف آن ذکر شده باشد. مثلاً، نیروی  $160\text{ N}$  به صورت  $160\pm 16\text{ N}$  و نیروی  $60\text{ N}$  به صورت  $60\pm 6\text{ N}$  نوشته می شود.

مهندسان و دانشجویان از ماشین حساب و کامپیوتر بخیل استفاده می کنند. سرعت و دقت این وسایل باعث سهولت محاسبات عددی در حل اغلب مسائل می شود. ولی، دانشجویان نباید تعداد ارقام با معنی را که ثبت می کنند بیشتر از تعداد مورد نیاز باشد. همانطور که در بالا گفته شد، دقت بیش از  $2\%$  درصد در حل مسائل مهندسی به ندرت مورد نیاز است.

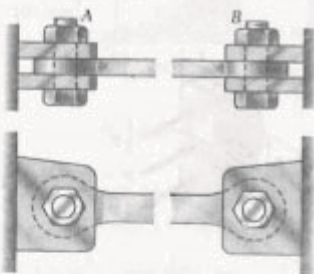
ه تنش تکیه‌گاهی در بازو در نقطه C. برای هر قسمت بازو،  
 $F_1 = 1500 \text{ N}$  و مساحت نامی تکیه‌گاهی برابر است با  
 $(6 \text{ mm})(6 \text{ mm}) = 36 \text{ mm}^2$ . می‌نویسیم:

$$\sigma_b = \frac{F_1}{A} = \frac{1500 \text{ N}}{36 \text{ mm}^2} \Rightarrow \sigma_b = 41.7 \text{ MPa} \quad \blacktriangleleft$$



### مسئله نمونه ۲-۱

یک میله مهار فولادی برای تحمل نیروی کششی  $P = 120 \text{ kN}$  طراحی شده است. این میله بین برآکت‌های دوتایی A و B پیچ شده است. میله از یک ورق به ضخامت  $20 \text{ mm}$  ساخته شده است. ماکریم تنش‌های مجاز برای فولاد به کار رفته عارتنداز: (الف) قطر  $d$  پیچ و مهره، (ب) اندازه  $b$  در هر انتهای میله، (ج) اندازه  $h$  میله.



### حل

الف. قطر پیچ و مهره. چون پیچ و مهره تحت برش دوگانه است،  
 $F_1 = \frac{1}{4}P = 60 \text{ kN}$

$$\tau = \frac{F_1}{A} = \frac{60 \text{ kN}}{\frac{1}{4}\pi d^3} \Rightarrow 100 \text{ MPa} = \frac{60 \text{ kN}}{\frac{1}{4}\pi d^3}$$

$$\Rightarrow d = 47.6 \text{ mm}$$

از  $d = 28 \text{ mm}$  استفاده می‌کنیم.

حال، تنش تکیه‌گاهی بین ورق به ضخامت  $20 \text{ mm}$  و پیچ و مهره به قطر  $28 \text{ mm}$  را وارسی می‌کنیم:

$$\tau_b = \frac{P}{td} = \frac{120 \text{ kN}}{(0.02 \text{ m})(0.028 \text{ m})} = 111.1 \text{ MPa} < 100 \text{ MPa}$$

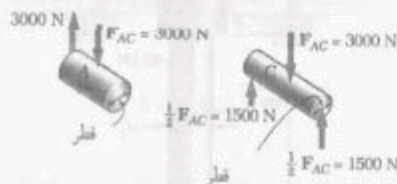
(درست است)

الف. تنش برشی در مفصل A. چون این مفصل تحت برش تنهاست،

$$\tau_A = \frac{F_{AC}}{A} = \frac{3000 \text{ N}}{\frac{1}{4}\pi (10 \text{ mm})^2} \quad \tau_A = 38.1 \text{ MPa} \quad \blacktriangleleft$$

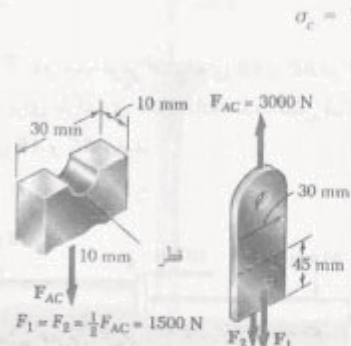
ب. تنش برشی در مفصل C. چون این مفصل تحت برش دوگانه است،

$$\tau_C = \frac{\frac{1}{4}F_{AC}}{A} = \frac{1500 \text{ N}}{\frac{1}{4}\pi (6 \text{ mm})^2} \quad \tau_C = 53.1 \text{ MPa} \quad \blacktriangleleft$$



ج. بیشترین تنش قائم در بازوی ABC. بیشترین تنش در کمترین مساحت بوجود می‌آید؛ مساحت مینیمم نیز در مقطع A است، یعنی جایی که سوراخ  $10 \text{ mm}$  قرار دارد. می‌نویسیم:

$$\sigma_c = \frac{F_{AC}}{A_{\text{net}}} = \frac{3000 \text{ N}}{(10 \text{ mm})(20 \text{ mm} - 10 \text{ mm})} = \frac{3000 \text{ N}}{200 \text{ mm}^2} \quad \sigma_c = 15 \text{ MPa} \quad \blacktriangleleft$$



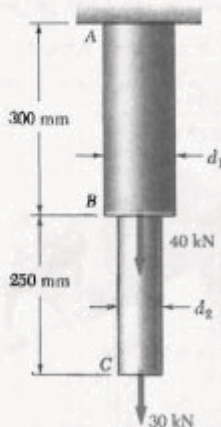
د. تنش متوسط برشی در B. توجه کنید که هر دو طرف قسمت بالایی باز پیچ خورده است و نیروی برشی وارد به هر طرف برابر است با  $F_1 = (3000 \text{ N})/2 = 1500 \text{ N}$ . تنش متوسط برشی وارد بر هر سطح چنین است:

$$\tau_B = \frac{F_1}{A} = \frac{1500 \text{ N}}{(10 \text{ mm})(10 \text{ mm})} \quad \tau_B = 15 \text{ MPa} \quad \blacktriangleleft$$

RNUEB

## مسائل

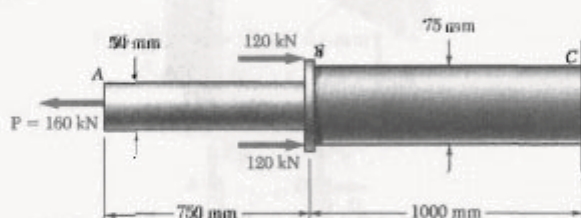
۱-۱ دو میله توپر استوانه‌ای  $AB$  و  $BC$  در  $B$  بهم جوش شده‌اند.  $d_1 = 30 \text{ mm}$  و  $d_2 = 50 \text{ mm}$ . تنش قائم متوسط در وسط میله‌های  $AB$  و  $BC$  را بباید.



شکل ۱-۱ و ۲-۱

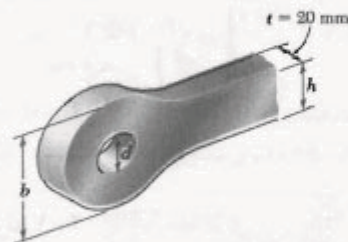
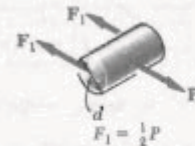
۲-۱ دو میله توپر استوانه‌ای  $AB$  و  $BC$  در  $B$  بهم جوش شده‌اند. تنش قائم متوسط در هر یک از دو میله باید از  $140 \text{ MPa}$  بیشتر شود. کمترین مقدار محاز قطرهای  $d_1$  و  $d_2$  را بباید.

۳-۱ دو میله توپر استوانه‌ای  $AB$  و  $BC$  در  $B$  بهم جوش شده‌اند. برای بارگذاری نشان داده شده، تنش قائم را در وسط میله‌های  $AB$  و  $BC$  بباید.



شکل ۳-۱

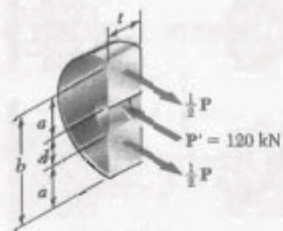
۴-۱ در مسئله ۳-۱، مطلوبست مقدار  $P$  به طوری که مقدار تنش کششی در میله  $AB$  با مقدار تنش فشاری در میله  $BC$  برابر باشد.



ب. اندازه  $b$ ، یکی از قسمت‌های انتهایی میله را در نظر می‌گیریم. با توجه به اینکه ضخامت ورق  $20 \text{ mm}$  است و تنش متوسط کششی باید از  $175 \text{ MPa}$  بیشتر شود، می‌نویسیم

$$\sigma = \frac{\frac{1}{4}P}{ta} \Rightarrow 175 \text{ MPa} = \frac{\frac{1}{4} \times 40 \text{ kN}}{(0.02 \times 2 \text{ m})a} \Rightarrow a = 14.14 \text{ mm}$$

$$b = d + 2\sigma = 14 \text{ mm} + 2(14.14 \text{ mm}) \Rightarrow b = 38.28 \text{ mm}$$

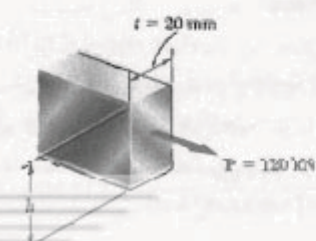


ج. اندازه  $h$ . با توجه به اینکه ضخامت ورق  $20 \text{ mm}$  است،

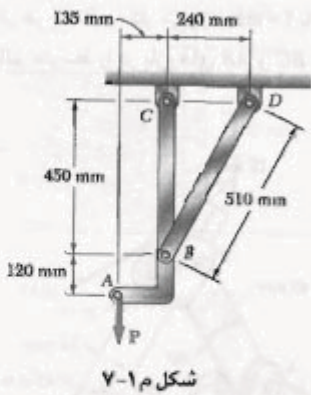
$$\sigma = \frac{P}{th} \Rightarrow 175 \text{ MPa} = \frac{120 \text{ kN}}{(0.02 \times 2 \text{ m})h}$$

$$\Rightarrow h = 34.2 \text{ mm}$$

از  $h = 35 \text{ mm}$  استفاده می‌کنیم. ◀

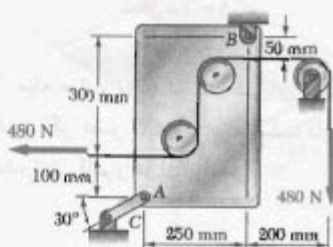


RNUEB



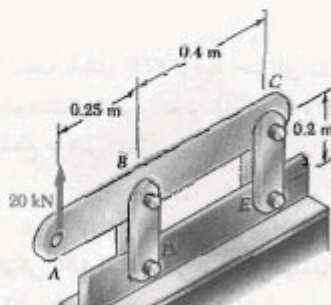
شکل ۷-۱م

۸-۱ رابط  $AC$  داری مقطع عرضی یکنواخت مستطیلی به ضخامت  $3\text{ mm}$  و به عرض  $25\text{ mm}$  است. تنش قائم را در قسمت مرکزی این رابط باید.



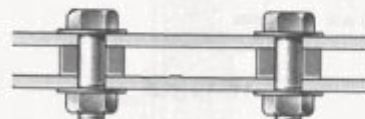
شکل ۸-۱م

۹-۱ هر یک از چهار میله عمودی درای مقطع عرضی یکنواخت مستطیلی  $8\text{ mm} \times 36\text{ mm}$  است و قطر هر یک از مفصلها  $16\text{ mm}$  است. مطلوبست ماتریس مقدار تنش قائم متوسط: (الف) در رابط  $BD$ ، (ب) در رابط  $CE$ .



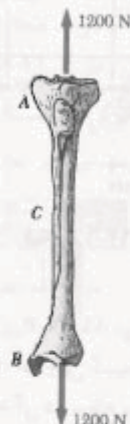
شکل ۹-۱م

۵-۱ دو ورق فولادی توسط پیچ و مهره‌های فولادی پراستحکام به قطر  $16\text{ mm}$  به هم متصل شده‌اند. این پیچ و مهره‌ها در داخل فاصله‌اندازهای برنجی استوانه‌ای به طور محکم جازده شده‌اند. با توجه به اینکه تنش قائم متوسط در پیچ و مهره‌ها باید از  $20\text{ MPa}$  و در فاصله‌اندازها باید از  $12\text{ MPa}$  بیشتر شود، قطر خارجی فاصله‌اندازها را برای انتخابی ترین و مطمئن‌ترین طرح باید.



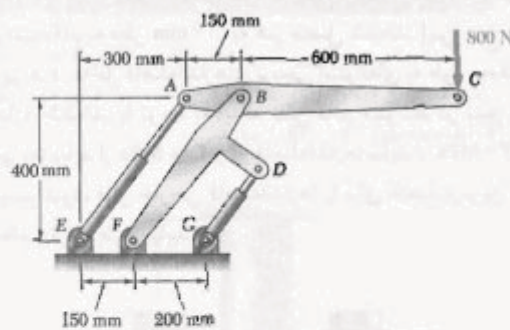
شکل ۵-۱م

۶-۱ کرنش سنجی که در نقطه  $C$  روی سطح استخوان  $AB$  قرار دارد نشان می‌دهد که وقتی استخوان تحت تأثیر دو نیروی  $1200\text{ N}$  قرار می‌گیرد، تنش قائم متوسط در آن  $2\text{ MPa}$  است. با فرض اینکه مقطع عرضی استخوان در  $C$  به صورت حلقه‌ای است و قطر خارجی آن  $25\text{ mm}$  است، قطر داخلی مقطع عرضی استخوان را در  $C$  بایابد.



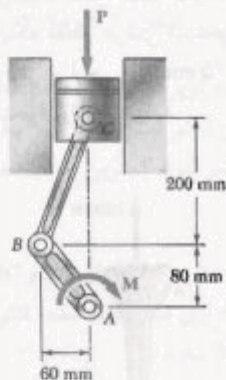
شکل ۶-۱م

۷-۱ اگر لست مرکزی میله  $BD$  دارای مقطع عرضی یکنواخت  $800\text{ mm}^2$  باشد، مطلوبست عقدار  $P$  به طوری که تنش قائم در قسمت  $BD$  برابر با  $5\text{ MPa}$  باشد.



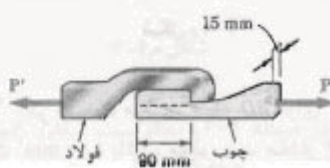
شکل ۱۳-۱

۱۴-۱ کوپل  $M$  با مقدار  $1500 \text{ N.m}$  بر یک لنگ وارد شده است. برای وضعیت نشان داده شده، مطلوب است: (الف) نیروی مورد نیاز برای اینکه مجموعه در تعادل باشد، (ب) تنش قائم متوسط در شاتون  $BC$ ، با مساحت مقطع عرضی یکنواخت  $450 \text{ mm}^2$



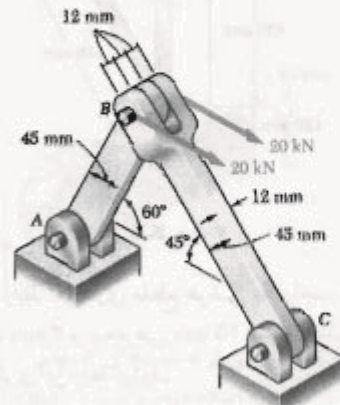
شکل ۱۴-۱

۱۵-۱ وقتی نیروی  $P$  به  $8 \text{ kN}$  می‌رسد، نموده چوبی بر اثر نیروی برشی در امتداد خط‌چین گسیخته می‌شود. تنش برشی متوسط را هنگام گسیختگی در سطح برش بیابید.



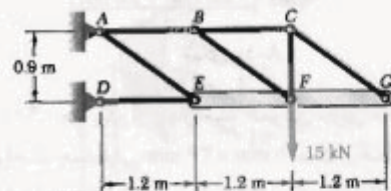
شکل ۱۵-۱

۱۰-۱ دو نیروی افقی  $20 \text{ kN}$  بر مفصل  $B$  اثر می‌کنند. اگر قطر پیشی که در هر اتصال به کار می‌رود  $20 \text{ mm}$  باشد، ماکریم مقدار تنش قائم متوسط را در بازویهای  $AB$  و  $BC$  بیابید.



شکل ۱۰-۱

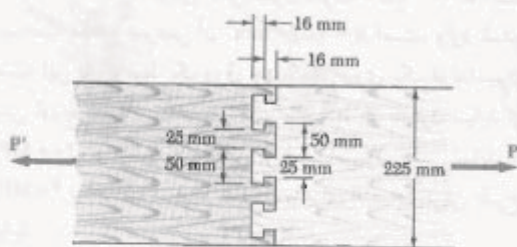
۱۱-۱ میله صلب  $EFG$  توسط خربای نشان داده شده تحمل می‌شود. اگر عضو  $CG$  یک میله صلب دایره‌ای به قطر  $18 \text{ mm}$  باشد، تنش قائم را در آن بیابید.



شکل ۱۱-۱ و ۱۲-۱

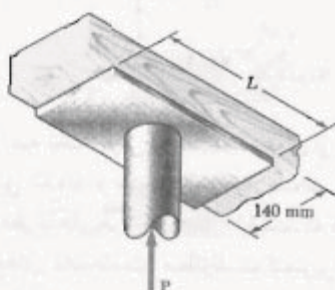
۱۲-۱ میله صلب  $EFG$  توسط خربای نشان داده شده تحمل می‌شود. تنش قائم در عضو  $AE$  برابر با  $105 \text{ MPa}$  است. مساحت مقطع عرضی آن را بیابید.

۱۳-۱ از دو سیلندر هیدرولیکی برای کترل وضعیت بازوی مکانیکی  $ABC$  استفاده می‌شود. اگر میله‌های  $DG$  و  $AE$ ، هر یک به قطر  $20 \text{ mm}$ ، در وضعیت نشان داده شده موازی باشند، تنش قائم متوسط را در آنها بیابید.



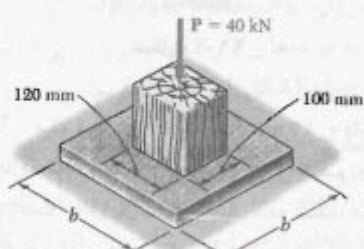
شکل ۱۸-۱

۱۹-۱ نیروی محوری  $P$  وارد بر سطون است. تنش تکیه‌گاهی در پایه چوبی نگهدار ستون نباید از  $70 \text{ MPa}$  بیشتر شود. کمترین طول مجاز  $L$  پایه چوبی را باید.



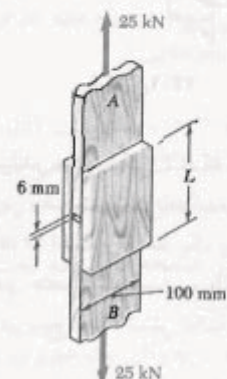
شکل ۱۹-۱

۲۰-۱ بار محوری  $40 \text{ kN}$  بر یک تیر چوبی کوتاه وارد شده است. این تیر روی پایه پتنی قرار دارد، مطلوبست: (الف) ماکریزم تنش تکیه‌گاهی وارد بر پایه پتنی، (ب) اندازه پایه، به طوری که تنش متوسط تکیه‌گاهی در خاک  $145 \text{ kPa}$  شود.



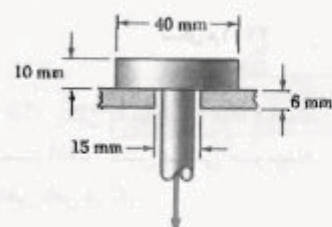
شکل ۲۰-۱

۱۶-۱ عضوهای چوبی  $A$  و  $B$ ، که توسط تخته‌های خورده‌اند، در تمام سطوح تماس چسب فاصله آزاد دو انتهای عضوها  $8 \text{ mm}$  است. کمترین طول مجاز  $L$  را باید در حصور تیکه بدانیم تشن متوسط برشی نباید از  $84 \text{ kPa}$  بیشتر شود.



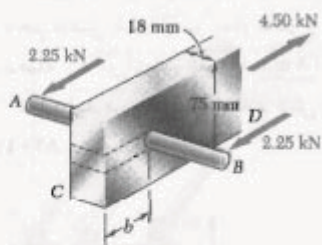
شکل ۱۶-۱

۱۷-۱ بار  $P$  بر میله فولادی نشان داده شده وارد می‌شود. این میله در داخل سوراخی به قطر  $15 \text{ mm}$ ، که در یک ورق آلمینیمی تعبیه شده است، قرار دارد. تشن برشی در میله فولادی نباید از  $126 \text{ MPa}$  و در صفحه آلمینیمی نباید از  $70 \text{ MPa}$  بیشتر شود. بیشترین بار  $P$  را که می‌توان بر میله وارد کرد باید.



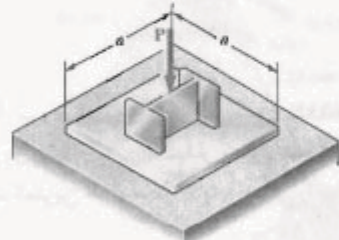
شکل ۱۷-۱

۱۸-۱ دو تخته چوبی، هر یک به ضخامت  $12 \text{ mm}$  و به عرض  $225 \text{ mm}$ ، با چسب به هم متصل شده‌اند. اگر تشن متوسط برشی برای خراب کردن چسب  $8 \text{ MPa}$  بشود، مقدار بار محوری  $P$  را که باعث خرابی چسب می‌شود باید.



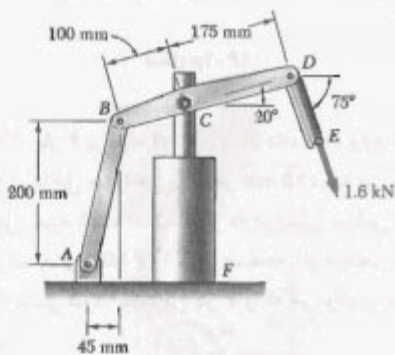
شکل ۲۳-۱

۲۱-۱ بار محوری  $P$  بر ستون کوتاه  $W_{200} \times 59$ ، که مساحت مقطع عرضی آن  $A = 7560 \text{ mm}^2$  است، وارد شده است. این بار توسط یک ورق چهارگوش روی یک فونداسیون بتنی توزیع شده است. تنش قائم متوسط در ستون نباید از  $200 \text{ MPa}$ ، و تنش تکه‌گاهی بر فونداسیون بتنی نباید از  $20 \text{ MPa}$  بیشتر شود. ضلع  $a$  ورق را برای اقتصادی ترین طرح باید.



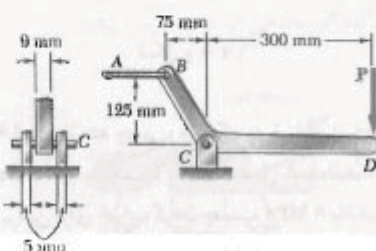
شکل ۲۱-۱

۲۲-۱ سیلندر هیدرولیکی  $CF$ ، که وضعیت میله  $DE$  را کنترل می‌کند، در وضعیت نشان داده شده قفل است. عضو  $BD$  به ضخامت  $16 \text{ mm}$  است و توسط یک پیچ به قطر  $10 \text{ mm}$  به یک میله عمودی متصل شده است. مطلوب است: (الف) تنش برشی متوسط در پیچ، (ب) تنش تکه‌گاهی در نقطه  $C$  از عضو  $BD$ .



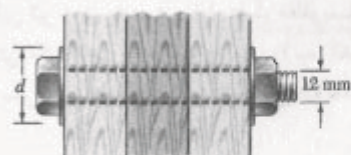
شکل ۲۴-۱

۲۳-۱ پین  $C$  به قطر  $6 \text{ mm}$  است. اگر  $P = 500 \text{ N}$  باشد، (الف) تنش برشی متوسط در پین، (ب) تنش تکه‌گاهی تامی در  $C$ .



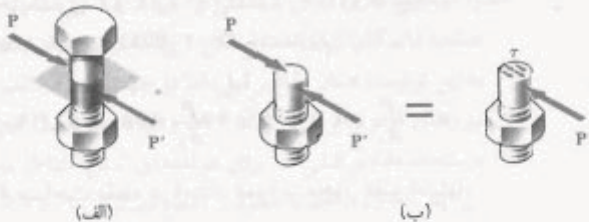
شکل ۲۴-۲

۲۴-۱ سه تخته چوبی متوسط مجموعه‌ای از پیچ و مهره‌ها به هم متصل شده‌اند و ستونی را تشکیل داده‌اند. قطر هر پیچ  $12 \text{ mm}$  و قطر داخلی هر واشر  $16 \text{ mm}$  است، که کمی بزرگتر از قطر سوراخ‌های تخته‌هاست. مطلوب است کمترین قطر مجاز خارجی  $d$  واشرها، در صورتی که بدائیم تنش قائم متوسط در پیچ و مهره‌ها  $35 \text{ MPa}$  است و تنش تکه‌گاهی بین واشرها و تخته‌ها نباید از  $8 \text{ MPa}$  بیشتر شود.

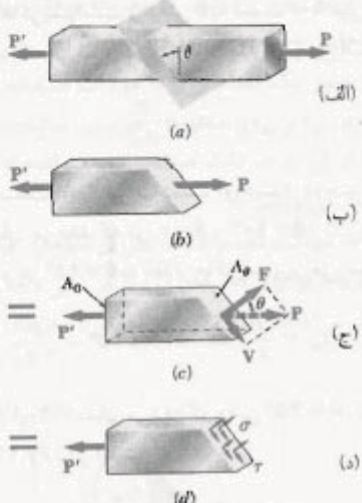


شکل ۲۴-۱

۲۵-۱ میله فولادی  $AB$  به قطر  $12 \text{ mm}$ ، داخل سوراخ دایره‌ای جازده شده است. این سوراخ داخل عضو چوبی  $CD$  تعبیه شده است. برای بارگذاری نشان داده شده، مطلوب است: (الف) ماکریتم تنش قائم متوسط در چوب، (ب) فاصله  $b$  به طوری که تنش برشی متوسط در سطح خط‌چین  $620 \text{ kPa}$  باشد، (ج) تنش تکه‌گاهی متوسط در چوب.



شکل ۲۹-۱



شکل ۳۰-۱

عضو دونبرویی شکل ۲۸-۱ را که تحت تأثیر نیروهای محوری  $P$  و  $P'$  قرار دارد در نظر بگیرید. اگر این عضو را تحت زاویه  $\theta$  با عمود مقطع بزنیم (شکل ۳۰-۱(الف)) و نمودار آزاد قسمتی از عضو را که در سمت چپ آن مقطع است رسم کنیم (شکل ۳۰-۱(ب)), از شرایط تعادل جسم آزاد دیده می‌شود که نیروهای توزیعی وارد بر آن مقطع با نیروی  $P$  معادل‌اند. با تجزیه  $P$  به مولفه‌های  $F$  و  $V$  که، به ترتیب، بر آن مقطع عمود و مماس هستند (شکل ۳۰-۱(ج)), داریم:

$$F = P \cos \theta \quad V = P \sin \theta \quad (۱۲-۱)$$

نیروی  $F$  برایند نیروهای عمودی توزیع شده روی آن مقطع، و نیروی  $V$  برایند نیروهای برشی است (شکل ۳۰-۱(د)). از تقسیم  $F$  و  $V$  بر مساحت  $A_\theta$  آن مقطع، به ترتیب، مقدار متوسط تنش قائم و تنش برشی بدست می‌آید:

$$\sigma = \frac{F}{A_\theta} \quad \tau = \frac{V}{A_\theta} \quad (۱۲-۱)$$

۲۶-۱ اگر  $P = 750 \text{ N}$ , مطلوبست: (الف) قطر پین  $C$

به طوری که تنش برشی متوسط در آن  $40 \text{ MPa}$  باشد، (ب) تنش تکیه‌گاهی متاظر در  $C$ .

۲۷-۱ در متنه ۹-۱، مطلوبست: (الف) تنش برشی

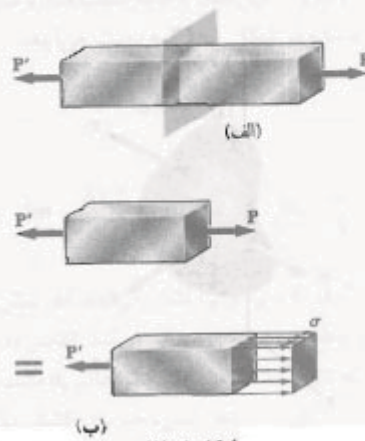
متوسط در مفصل  $B$ , (ب) تنش تکیه‌گاهی متوسط در  $B$  از بازوی  $BD$ , (ج) تنش تکیه‌گاهی متوسط در  $B$  از عضو  $ABC$ , در صورتی که بداتیم این عضو دارای مقطع عرضی مستطیلی یکنواخت  $10 \text{ mm} \times 50 \text{ mm}$  باشد.

۲۸-۱ در متنه ۱۰-۱، مطلوبست: (الف) تنش برشی

متوسط در مفصل  $C$ , (ب) تنش تکیه‌گاهی متوسط در  $C$  از عضو  $BC$ , (ج) تنش تکیه‌گاهی متوسط در  $B$  از عضو  $BC$ .

۱۱-۱ تنش وارد بر صفحه مایلی که تحت بارگذاری محوری است

در قسمت‌های قبل دیدیم که وقتی یک عضو دو نیرویی تحت نیروی محوری قرار می‌گیرد (شکل ۲۸-۱(الف)), فقط تنش قائم در آن به وجود می‌آید (شکل ۲۸-۱(ب)). همچنین، دیدیم که نیروهای عرضی وارد بر پیچ و مهره‌ها و مفصل‌ها (شکل ۲۹-۱(الف)) فقط تنش برشی در آن اتصالات ایجاد می‌کنند (شکل ۲۹-۱(ب)). در این فصل خواهیم دید که نیروهای محوری در صفحاتی که بر محور عضو عمود نباشند تنش‌های قائم و برشی را با هم به وجود می‌آورند. به طور مشابه، نیروهای عرضی وارد بر یک پیچ و مهره نیز در صفحاتی که بر محور پیچ و مهره عمود نباشند تنش‌های قائم و برشی را با هم ایجاد می‌کنند.



شکل ۲۸-۱

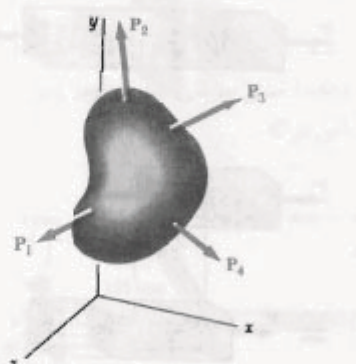
JNUEB

نایج حاصل در معادله‌های (۱۵-۱)، (۱۶-۱) و (۱۷-۱) در شکل ۳۱-۱ نشان داده شده‌اند. گفتنی است که، بر حسب وضعیت مقطع تحت بارگذاری، ممکن است فقط تنش قائم  $\sigma_m = P/A_0$  (شکل ۳۱-۱ب)، یا یک تنش قائم و یک تنش برشی با مقدار یکسان  $\tau_m = P/2A_0$  (شکل ۳۱-۱ج و د) فرآن مقطع به وجود آید.

۱۲-۱ تنش تحت شرایط کلی بارگذاری: مولفه‌های تنش تا به حال، عضوها تحت بارگذاری محوری و اتصالات تحت بارگذاری عرضی قرار داشتند. ولی، اغلب عضوهای ساختمانی و اجزای ماشین آلات تحت شرایط بارگذاری پیچیده‌تری داشتند.

جسمی را در نظر بگیرید که تحت چند بار  $P_1$ ،  $P_2$ ، و ... قرار دارد (شکل ۳۲-۱). برای بررسی تنش حاصل از این بارها در نقطه  $Q$  از جسم، ابتدا این جسم را توسط صفحه‌ای به موازات صفحه  $yz$  در نقطه  $Q$  مقطع می‌زنیم. قسمتی از جسم در سمت چپ این مقطع تحت تأثیر چند بار اولیه، و نیروهای قائم و برشی توزیعی قرار دارد.

نیروهای قائم و برشی را که در مساحت کوچک  $\Delta A$  پیرامون نقطه  $Q$  اثر می‌کنند، به ترتیب، با  $\Delta F^x$  و  $\Delta V^x$  نشان می‌دهیم (شکل ۳۳-۱الف). توجه کنید که برای نشان دادن نیروهای  $\Delta F^x$  و  $\Delta V^x$ ، که بر یک سطح عمود بر محور  $x$  اثر می‌کنند، از اندیس  $x$  استفاده می‌شود. در حالی که نیروی قائم  $\Delta F^x$  دارای جهت کاملاً مشخص است، نیروی برشی  $\Delta V^x$  می‌تواند هر جهتی را در صفحه مقطع دارا باشد. بنابراین،  $\Delta V^x$  را به دو مولفه  $\Delta V_y^x$  و  $\Delta V_z^x$  در جهت‌های موازی با محورهای  $y$  و  $z$



شکل ۳۲-۱

با جایگذاری  $F$  و  $V$  از (۱۲-۱) در (۱۳-۱) و با توجه به اینکه  $A_\theta = A_0 / \cos \theta$  (شکل ۳۰-۱ج)، داریم:

$$\sigma = \frac{P}{A_0} \cos^2 \theta \quad \tau = \frac{P}{A_0} \sin \theta \cos \theta \quad (۱۴-۱)$$

(۱۴) مساحت مقطع در امتداد عمود بر محور عضو است).

از اولین معادله (۱۴-۱) دیده می‌شود که در  $\theta = 0^\circ$ ، یعنی وقتی صفحه مقطع بر محور عضو عمود است، تنش قائم  $\sigma$  دارای مقدار ماقریم است و وقتی  $\theta$  به سمت  $90^\circ$  می‌کند،  $\tau$  به صفر نزدیک می‌شود. در  $\theta = 90^\circ$ ، مقدار  $\sigma$  چنین است:

$$\sigma_m = \frac{P}{A_0} \quad (۱۵-۱)$$

(این را در قسمت ۳-۱ نیز به دست آوردیم). دو میان معادله (۱۴-۱) نشان می‌دهد که در  $\theta = 90^\circ$  و  $\theta = 0^\circ$ ، تنش برشی  $\tau$  صفر است، و در  $\theta = 45^\circ$  به مقدار ماقریم زیر می‌رسد:

$$\tau_m = \frac{P}{A_0} \sin 45^\circ \cos 45^\circ = \frac{P}{2A_0} \quad (۱۶-۱)$$

معادله اول (۱۴-۱) نشان می‌دهد که وقتی  $\theta = 45^\circ$ ، تنش قائم  $\sigma'$  نیز با  $P/2A_0$  برابر است:

$$\sigma' = \frac{P}{A_0} \cos^2 45^\circ = \frac{P}{2A_0} \quad (۱۷-۱)$$



(الف) بارگذاری محوری



(ب) تنش‌های برای



(ج) تنش‌های برای



(د) تنش‌های برای

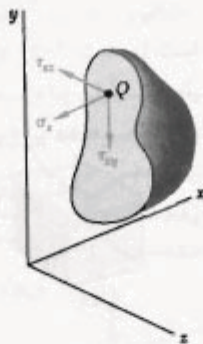
شکل ۳۱-۱



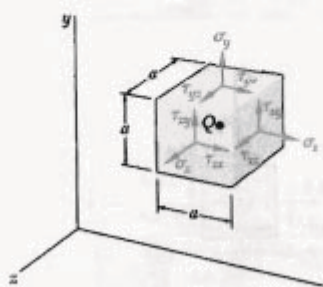
تحلیل بالا را برای قسمتی از جسم که در سمت راست صفحه قائم گلزار از  $Q$  است (شکل ۳۵-۱) نیز می‌توان به کار برد. به این ترتیب، همان مقادیر قبل، اما در جهت‌های مخالف، برای نیروهای قائم و برشی  $\Delta F^x$ ،  $\Delta V_y^x$  و  $\Delta V_z^x$  به دست می‌آید. درنتیجه، مقادیر قبلی نیز برای مولفه‌های تنش متضاد به دست می‌آیند. اما چون جهت عمود بر مقطع در شکل ۳۵-۱ به طرف خارج در جهت  $+z$  است، علامت مثبت برای  $\tau_{yz}$  نشان می‌دهد که پیکان آن در جهت  $-z$  است. به طور مشابه، علامت‌های مثبت برای  $\tau_{xz}$  و  $\tau_{xy}$  نیز می‌دهد که پیکان آنها، به ترتیب، در جهت‌های  $-y$  و  $-x$  است (شکل ۳۵-۱).

با عبور یک مقطع از  $Q$  به موازات صفحه  $xy$ ، مولفه‌های تنش  $\sigma_x$ ،  $\sigma_y$  و  $\sigma_z$  را مشخص می‌کنیم. سرانجام، با عبور یک مقطع از  $Q$  به موازات صفحه  $xy$ ، مولفه‌های  $\tau_{xy}$ ،  $\tau_{xz}$  و  $\tau_{yz}$  را به دست می‌آوریم.

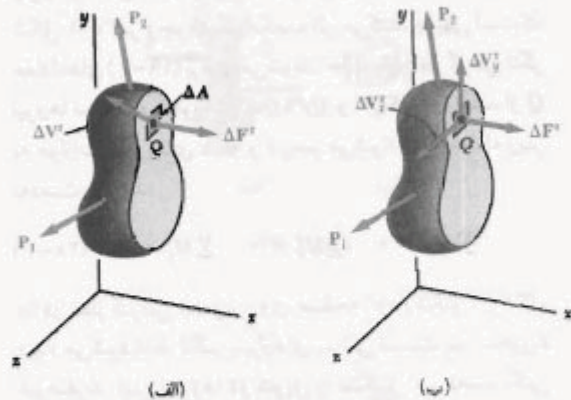
برای سهولت تجسم حالت تنش در نقطه  $Q$ ، مکعب کوچکی به ضلع  $a$  با مرکز  $Q$  و تنش‌های ولاد بر هر شش وجه مکعب را در نظر می‌گیریم (شکل ۳۶-۱). مولفه‌های نشان داده شده در شکل



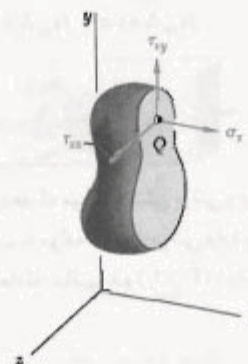
شکل ۳۵-۱



شکل ۳۶-۱



شکل ۳۳-۱



شکل ۳۴-۱

تجزیه می‌کنیم (شکل ۳۳-۱ ب). از تقسیم مقدار هر نیرو بر مساحت  $\Delta A$  و با میل دادن  $\Delta A$  به سمت صفر، سه مولفه تنش نشان داده شده در شکل ۳۴-۱ به دست می‌آیند:

$$\sigma_x = \lim_{\Delta A \rightarrow 0} \frac{\Delta F^x}{\Delta A} \quad (18-1)$$

$$\tau_{xy} = \lim_{\Delta A \rightarrow 0} \frac{\Delta V_y^x}{\Delta A} \quad \tau_{xz} = \lim_{\Delta A \rightarrow 0} \frac{\Delta V_z^x}{\Delta A}$$

اندیس اول در  $\sigma_x$ ،  $\tau_{xy}$  و  $\tau_{xz}$  نشان می‌دهد که تنش‌های تحت برقی بر سطح عمود بر محور  $x$  اثر می‌کند. اندیس دوم در  $\tau_{xy}$  و  $\tau_{xz}$  جهت مولفه تنش را نشان می‌دهد. تنش قائم  $\sigma_z$  مثبت است هرگاه پیکان آن در سوی  $+z$  باشد؛ یعنی، جسم در کشش باشد. در غیر اینصورت، منفی است. به طور مشابه، مولفه‌ای تنش برشی  $\tau_{yz}$  و  $\tau_{xy}$  مثبت‌اند هرگاه پیکان آنها، به ترتیب، در سوی  $+z$  و  $+y$  باشد.

چون نیروهای مساوی و متصاد با نیروهای نشان داده شده در شکل ۳۷-۱ بر وجود دیگر مکعب اثر می‌کنند، بدینه است که معادله‌های (۱۹-۱) برقرار می‌شوند. حال با در نظر گرفتن لذگر نیروها نسبت به محورهای  $Q_x$ ،  $Q_y$  و  $Q_z$  که، به ترتیب، از  $Q$  به موازات محورهای  $x$ ،  $y$  و  $z$  رسم می‌شوند، سه معادله زیر بدست می‌آیند:

$$\sum M_x = 0 \quad \sum M_y = 0 \quad \sum M_z = 0 \quad (20-1)$$

با در نظر گرفتن تصویر روی صفحه  $x$ - $y$  (شکل ۳۸-۱)، دیده می‌شود فقط لذگر نیروهای برشی نسبت به محور  $z$  غیر صفرند. این نیروها در کوپل را تشکیل می‌دهند، یکی لذگر مشت پاد ساعتگرد  $\alpha$  ( $\tau_{xy} \Delta A$ )، و دیگری لذگر منی ساعتگرد  $\alpha$  ( $\tau_{yz} \Delta A$ ). لذا، از آخرین معادله (۲۰-۱)،

$$\sum M_z = 0 : \quad (\tau_{xy} \Delta A) \alpha - (\tau_{yz} \Delta A) \alpha = 0$$

در نتیجه،

$$\tau_{xy} = \tau_{yz} \quad (21-1)$$

رابطه بالا نشان می‌دهد که مولفه  $\alpha$  تنش برشی وارد بر وجه عمود بر محور  $z$  برابر است با مولفه  $x$  تنش برشی وارد بر وجه عمود بر محور  $y$ . از دو معادله باقیمانده (۲۰-۱)، رابطه‌های زیر را می‌یابیم:

$$\tau_{xz} = \tau_{zy} \quad \tau_{zx} = \tau_{yx} \quad (22-1)$$

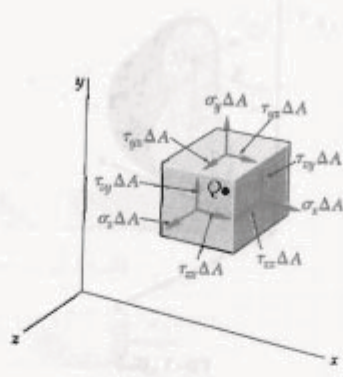
از معادله‌های (۲۱-۱) و (۲۲-۱) نتیجه می‌شود که برای تعریف حالت تنش در نقطه داده شده  $Q$ ، به جای نه مولفه تنش، فقط شش مولفه تنش صورت تبازند. این شش مولفه عبارتند از  $\sigma_x$ ،  $\sigma_y$ ،  $\sigma_z$ ،  $\tau_{xy}$ ،  $\tau_{yz}$  و  $\tau_{zx}$ . ضمناً، در يك نقطه داده شده، بوش نمی‌تواند فقط در يك صفحه دیگری که بر صفحه اول تنش برشی مساوی با آن بر صفحه دیگری که بر صفحه اول عمود است وارد می‌شود. مثلاً، پیچ و مهره شکل ۲۹-۱ و مکعب کوچکی را در مرکز  $Q$  پیچ و مهره در نظر می‌گیریم (شکل ۳۹-۱الف). دیده می‌شود تنش‌های برشی با مقدار مساوی بر دو وجه افقی مکعب و بر دو وجهی که بر نیروهای  $P$  و  $P'$  عمودند وارد می‌شوند (شکل ۳۹-۱ب).

قبل از خاتمه این بحث، مجددأ عضوی را که تحت بارگذاری محوری است در نظر می‌گیریم را مکعب کوچک را که وجوده آن

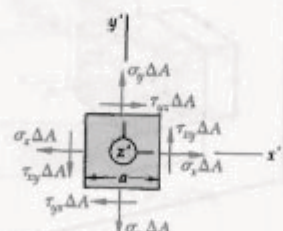
عبارتند از  $\sigma_x$ ،  $\sigma_y$  و  $\sigma_z$  (تشهای قائم وارد بر وجوده عمود بر محورهای  $x$ ،  $y$  و  $z$ ) و شش مولفه تنش برشی  $\tau_{xy}$ ،  $\tau_{xz}$  و  $\tau_{yz}$  وغیره، طبق تعریف،  $\tau_{xy}$  مولفه  $x$  تنش برشی وارد بر وجه عمود بر محور  $x$  است، و  $\tau_{yz}$  مولفه  $y$  تنش برشی وارد بر وجه عمود بر محور  $z$  است. توجه کنید که در شکل ۳۶-۱ فقط تنش‌های وارد بر سه وجه مکعب نشان داده شده‌اند. بر وجوده دیگر نیز تنش‌های مساوی و مخالف با تنش‌های نشان داده شده اثر می‌کنند. گرچه تنش‌های وارد بر وجوده مکعب با تنش‌های موجود در  $Q$  کمی تفاوت دارند، ولی خطای موجود کم است و وقتی ضلع  $a$  مکعب به سمت صفر میل می‌کند، این خطای از بین می‌روند.

حال، رابطه‌های مهم بین مولفه‌های تنش برشی را بدست می‌آوریم. نمودار آزاد مکعب کوچکی را با مرکز  $Q$  در نظر می‌گیریم (شکل ۳۷-۱). با ضرب کردن مولفه‌های تنش مناظر در مساحت  $\Delta A$  هر وجه، نیروهای قائم و برشی وارد بر وجوده مختلف مکعب را می‌یابیم. ابتدا، سه معادله تعادل زیر را می‌نویسیم:

$$\sum F_x = 0 \quad \sum F_y = 0 \quad \sum F_z = 0 \quad (19-1)$$



شکل ۳۷-۱



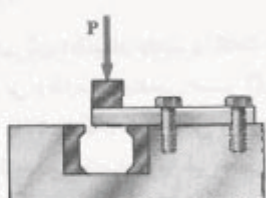
شکل ۳۸-۱

برای طراحی سازه‌ها و ماشین‌آلاتی که عمل خاصی را به طور مطمئن و اقتصادی انجام می‌دهند استفاده کنند.

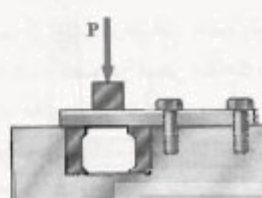
الف- تعیین استقامت نهایی یک ماده. تکه مهمی که طراح باید در نظر گیرد این است که ماده انتخاب شده تحت یک نیرو چه رفتاری دارد. این کار، با آزمایش روی نمونه‌هایی از آن ماده انجام می‌شود. مثلاً، نمونه فولادی را می‌توان در ماشین آزمایشگاهی تحت نیروی کشش محوری مرکزی معلوم قرار داد (قسمت ۳-۲). با افزایش مقدار نیرو، تغییرات حاصل در نمونه، مانند تغییر طول و قطر، اندازه‌گیری می‌شود. وقتی نیروی وارد از حد تحمل نمونه بیشتر می‌شود، نمونه گسیخته می‌شود یا تحمل بار کمتری را شروع می‌کند. این بزرگترین نیرو را بار نهایی نمونه می‌گویند و با آن  $P_u$  نشان داده می‌شود. چون بار وارد از مرکز می‌گذرد، از تقسیم بار نهایی بر مساحت مقطع عرضی اولیه نمونه، تنش قائم نهایی: یا استقامت نهایی گذشتی ماده، بدست می‌آید:

$$\sigma_u = \frac{P_u}{A} \quad (23-1)$$

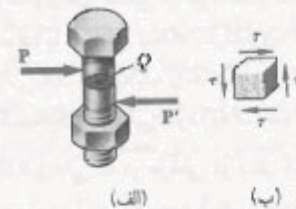
برای تعیین تنش برشی نهایی، یا استقامت نهایی برشی یک ماده، روش‌های آزمایشی مختلفی وجود دارد. یکی از رایج‌ترین آنها، پیچش لوله دایره‌ای است (قسمت ۵-۳). در روشی که دقت کمتری دارد، یک میله مستطیلی یا دایره‌ای را مطابق (شکل ۴۱-۱) در وسیله‌ای قرار می‌دهند. با افزایش بار  $P$ ، بار نهایی  $P_u$  برای برش تنها بدست می‌آید. اگر انتهای آزاد نمونه روی هر دو طرف قالب‌های آبدیده‌ای قرار گیرد



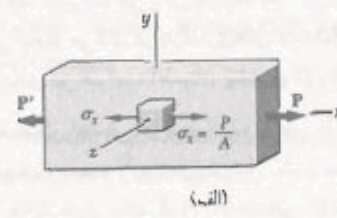
شکل ۴۱-۱



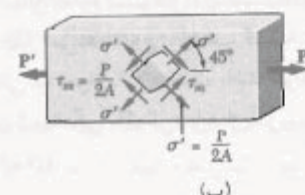
شکل ۴۲-۱



شکل ۳۹-۱



(الف)



(ب)

شکل ۴۰-۱

به موازات وجود این عضو هستند انتخاب می‌کنیم. با توجه به نتایج قسمت ۱۱-۱، فقط تنش‌های قائم  $\sigma_x$  بر وجودی از مکعب که بر محور  $x$  عمودند وارد می‌شوند (شکل ۴۰-۱الف). ولی، اگر مکعب حول محور  $x$  به اندازه ۴۵° بچرخد به طوری که بر مقاطع شکل‌های ۳۱-۱ و ۳۱-۲ مطبیق شود، تنش‌های قائم و برشی با مقدار مساوی بر چهار وجه از آن وارد می‌شوند (شکل ۴۰-۱ب). لذا، بررسی وضعیت جزو تحت بارگذاری، حالت‌های مختلف تنش در آن به وجود می‌آید. در فصل ۷، در این باره بیشتر بحث می‌شود.

### ۱۳-۱ نکات طراحی

در قسمت‌های قبل، نحوه تعیین تنش در میله‌ها، پیچ و مهره‌ها، و مفصل‌ها را تحت شرایط بارگذاری ساده آموختیم. در فصل‌های بعد، تنش‌های را در حالت‌های پیچیده‌تر تعیین می‌کنیم. ولی، در کاربردهای مهندسی، به ندرت بیش می‌آید که تعیین تنش تنها هدف باشد. بلکه، مهندسان من خواهند از این موضوع

۲. تعداد بارگذاری‌های ممکن در طول عمر سازه یا ماشین. در اغلب مواد، با افزایش تعداد بارگذاری، استقامت نهایی کاهش می‌یابد. این پدیده را خستگی می‌گویند و می‌تواند باعث گسیختگی ناگهانی شود (به قسمت ۷-۲ نگاه کنید).

۳. نوع بارگذاری‌هایی که در طراحی در نظر گرفته می‌شوند، یا ممکن است در آینده به وجود آیند. تعداد بیمار اندکی از بارگذاری‌ها را می‌توان با دقت کامل پیش‌بینی کرد - اغلب بارگذاری‌های طراحی دارای تخمین‌های صنعتی‌اند. به علاوه، تغییرات آتی برای کاربرد، تغییراتی را در بارگذاری واقعی ایجاد می‌کند. در بارگذاری‌های دینامیکی، چرخه‌های یا ضربه‌ای نیز ضرایب اطمینان پیشتری لازم است.

۴ نوع گسیختگی احتمالی. مواد شکننده به طور ناگهانی گسیخته می‌شوند، و معمولاً علامتی از قبیل نشان نمی‌دهند. ولی، مواد چکش خوار مانند فولاد ساختمنی، با نشان دادن یک تغییر شکل به نام تسلیم قبل از شکست، درباره وجود اضافه بار اخطار می‌دهند. ولی، اغلب گسیختگی‌های کمانشی ناگهانی‌اند، خواه ماده شکننده باشد خواه نباشد. در صورت امکان گسیختگی ناگهانی، باید از ضریب اطمینان بزرگتری استفاده کرد.

۵. خطای ناشی از روش‌های تحلیل. در تمام روش‌های طراحی، از فرض‌های ساده‌کننده استفاده می‌شود. لذا، تنش‌های واقعی با مقدار تقریبی محاسبه می‌شوند.

خرابی ایجاد شده در آینده بر اثر تعمیر و نگهداری ضعیف یا بر اثر عوامل طبیعی غیر قابل اجتناب. در نقاطی که کنترل شرایطی چون خوردگی و افت کیفیت کار مشکلی است، از ضریب اطمینان بزرگتر باید استفاده کرد.

۷. اهمیت یک عضو برای یکپارچگی کل سازه. عضوهای مهار کننده را در بیماری از موارد می‌توان با ضریب اطمینان کمتر از ضرایب اطمینان عضوهای اصلی طراحی کرد.

علاوه بر نکات بالا، خطر جانی و مالی را که گسیختگی در پی دارد باید در نظر گرفت. وقتی گسیختگی خطر جانی ندارد و فقط اندکی خطر مالی دارد، می‌توان از ضریب اطمینان کمتری استفاده کرد. گفتنی است که با استفاده از ضریب اطمینان بیش از اندازه، ماشین ممکن است در شرایط طراحی کار نکند. مثلاً ضرایب اطمینان بزرگ تأثیر نامطلوبی بر وزن یک هوایپما دارد.

\* در اغلب رشته‌های مهندسی، به خصوص مهندسی هوافضا، به جای ضریب اطمینان از حالت اطمینان استفاده می‌شود، که برابر است با ضریب اطمینان نهایی ۱: یعنی،  $F.S. = 1$ .

(شکل ۱-۲۴)، بار نهایی عرای، برش دوگانه یعدست می‌آید. در هر حالت، از تقسیم بار نهایی بر مساحت کلی که تحت برش قرار دارد، تنش برشی نهایی را بدست می‌آید. در حالت برش تنها، این مساحت عبارت است از مساحت مقطع عرضی  $A$  نمونه، و در تنش دوگانه برابر است با دو برابر مساحت مقطع عرضی آن.

ب- بار مجاز و تنش مجاز؛ ضریب اطمینان. ماکریم باری که یک عضو ساختمنی یا یک قطعه ماسیونی مجاز است تحت شرایط معمولی تحمل کند خیلی کمتر از بار نهایی است، و آن را بار مجاز و، گاهی، بار کاری یا بار طراحی می‌گویند. لذا، برای اطمینان از عملکرد عضو، فقط بار مجاز که کسری از بار نهایی عضو است مورد استفاده قرار می‌گیرد. نسبت بار نهایی به بار مجاز را ضریب اطمینان<sup>\*</sup> می‌گویند:

$$\frac{\text{بار نهایی}}{\text{بار مجاز}} = F.S. \quad (\text{ضریب اطمینان})$$

یک تعریف دیگر برای ضریب اطمینان چنین است:

$$\frac{\text{تش نهایی}}{\text{تش مجاز}} = F.S. \quad (\text{ضریب اطمینان})$$

اگر یک رابطه خطی بین بار و تنش وجود داشته باشد، دو عبارت داده شده برای ضریب اطمینان در معادلهای (۱-۲۴) و (۱-۲۵) همسانند. ولی، در اغلب کاربردهای مهندسی، وقتی بار به مقدار نهایی اش نزدیک می‌شود، این رابطه خطی از بین می‌رود و ضریب اطمینان حاصل از معادله (۱-۲۵)، یک ارزیابی واقعی برای ضریب اطمینان طراحی نیست. با وجود این، از روش تنش مجاز طراحی (معادله ۱-۲۵) خیلی استفاده می‌شود.

ج- انتخاب ضریب اطمینان مناسب. انتخاب ضریب اطمینان یکی از مهم‌ترین وظایف مهندسی است. اگر ضریب اطمینان خیلی کوچک باشد، امکان گسیختگی وجود دارد و اگر خیلی بزرگ باشد، طرح غیر اقتصادی یا غیر عملی می‌شود. انتخاب ضریب اطمینان مناسب نیاز به قضاوت مهندسی دارد، و این قضاوت به عوامل بسیاری بستگی دارد که در زیر چند نمونه آورده شده‌اند:

۱. تغییراتی که ممکن است در خواص عضو روی دهد. ترکیب، استقامت و ابعاد عضو در صحن ساخت، تغییرات کوچکی می‌دهند. به علاوه، خواص ماده ممکن است تغییر کنند. مثلاً، بر اثر گرمایش، ممکن است تنش‌های باقیمانده در عضو به وجود آید. در هنگام ساخت، انبار کردن یا انتقال، ممکن است عضو دستخوش تغییر شکل شود.

بزرگتر است. در این کتاب، از روش طراحی بر مبنای تنش مجاز استفاده شده است. ولی، در این فصل و فصل‌های ۵ و ۱۰، چند مسئله نیز با استفاده از روش LRFD حل شده‌اند.

در اغلب کاربردها، ضرایب اطمینان توسط آیین‌نامه‌ها تعیین می‌شوند. این آیین‌نامه‌ها توسط کمیته‌های مشکل از مهندسان مهندسی نوشته می‌شود. در زیر، چند نمونه از آیین‌نامه‌های ساختمانی را برای بعضی مواد آورده‌ایم.

#### ۱. فولاد:

American Institute of Steel Construction, Specifications for Structural Steel Buildings

#### ۲. بتن:

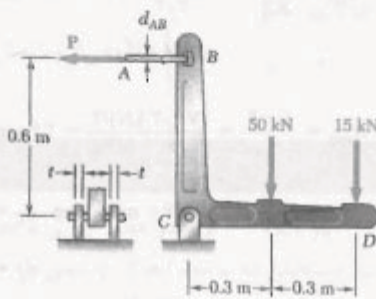
American Concrete Institute, Building Code Requirements for Structural Concrete

#### ۳. چوب:

American Forest and Paper Association, National Design Specification for Wood Construction

#### ۴. پل‌ها:

American Association of State Highway Officials, Standard Specifications for Highway Bridges



#### حل

جسم آزاد تمام براکت. واکنش در C با مولفه‌های  $C_x$  و  $C_y$  نشان داده شده است.

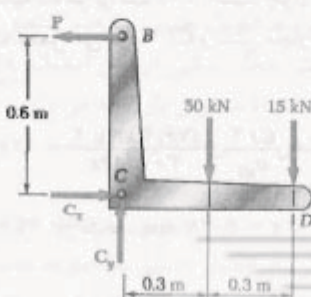
$$\sum M_C = 0 :$$

$$P(0, \frac{2}{3}m) - (50\text{ kN})(0, \frac{2}{3}m) - (15\text{ kN})(0, \frac{2}{3}m) = 0 \\ P = 40\text{ kN}$$

$$\sum F_x = 0 : C_x = 40\text{ kN}$$

$$\sum F_y = 0 : C_y = 65\text{ kN}$$

$$\Rightarrow C = \sqrt{C_x^2 + C_y^2} = 76.3\text{ kN}$$

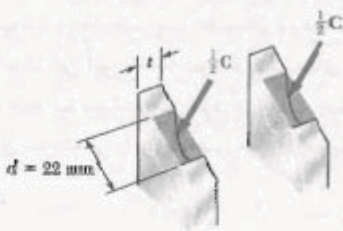


د. طراحی بر مبنای ضریب بار و مقاومت. گفتیم که در طراحی مبنی بر تنش مجاز، تمام عدم قطعیت‌ها در طراحی یک عضو ساختمانی یا قطعه مکانیکی را می‌توان با ضریب اطمینان از بین برداشت. در روش دیگری که مقبولیت زیادی در بین مهندسان ساختمان دارد، برای تفکیک بین عدم قطعیت‌های سازه و باری که سازه برای تحمل آن طرح می‌شود می‌توان از سه ضریب مختلف استفاده کرد. این روش، که آن را طراحی بر مبنای ضریب بار و مقاومت (LRFD) می‌گویند به طراحی این امکان را نیز می‌دهد که بین عدم قطعیت‌های بار زنده  $P_L$ ، یعنی باری که توسط سازه تحمل می‌شود، و بار مرده  $P_D$ ، یعنی وزن قسمتی از سازه که در بار کل سهم دارد، تمایز قابل شود.

هنگام استفاده از این روش، ابتدا باید بار نهایی  $P_U$  سازه، یعنی باری که تحت آن سازه غیر قابل استفاده می‌شود، تعیین کرد. اگر نامساوی زیر برقرار باشد، طرح پیشنهادی قابل قبول است:

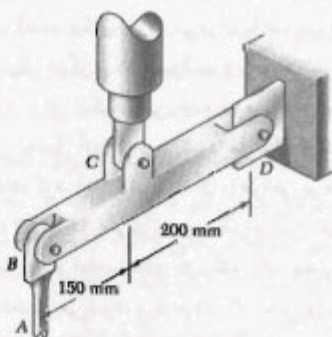
$$\gamma_D P_D + \gamma_L P_L \leq \phi P_U \quad (26-1)$$

ضریب  $\phi$  را ضریب مقاومت می‌گویند؛ این ضریب، عدم قطعیت‌های مربوط به سازه را در نظر می‌گیرد و معمولاً کمتر از ۱ است. ضرایب  $\gamma_D$  و  $\gamma_L$  را ضرایب بار می‌گویند. این ضرایب، به ترتیب، عدم قطعیت‌های بار مرده و بار زنده را در نظر می‌گیرند و معمولاً از ۱ بزرگترند. نهایتاً معمولاً از  $\gamma_D > \gamma_L$



## مسئله نمونه ۴-۱

تیر صلب  $BCD$  در  $B$  توسط پیچ و مهره به یک میله کترل، در  $C$  به یک سیلندر هیدرولیکی، و در  $D$  به یک تکیه گاه ثابت متصل شده است. قطر پیچ و مهره ها عبارتند از:  $d_B = 10 \text{ mm}$ ,  $d_C = 12 \text{ mm}$ . هر پیچ و مهره تحت برش دوگانه است و از فولاد با تنش برخی نهایی  $\sigma_U = 240 \text{ MPa}$  ساخته شده است. میله کترل  $AB$  به قطر  $d_A = 11 \text{ mm}$  است و از فولاد با تنش گذشته نهایی  $\sigma_U = 420 \text{ MPa}$  ساخته شده است. اگر مینیمم ضریب اطمینان این مجموعه  $= 3/2$  باشد، مطلوب است پیشترین نیرویی که سیلندر هیدرولیکی می نواند در  $C$  وارد گردید.



## حل

ضریب اطمینان، در اینجا با گسیختگی، در هر سه پیچ و مهره و در میله کترل باید  $3/2$  یا بیشتر باشد. این چهار معیار مستقل رابط طور جداگانه بررسی می کنیم.

جسم آزاد: تیر  $BCD$ . ابتدا نیرو در  $C$  را بر حسب نیروهای وارد در  $B$  و  $D$  می باییم.

$$+\sum M_D = 0 :$$

$$B(350 \text{ mm}) - C(150 \text{ mm}) = 0 \Rightarrow C = 1,750 B \quad (1)$$

$$+\sum M_B = 0 :$$

$$-D(350 \text{ mm}) + C(150 \text{ mm}) = 0 \Rightarrow C = 1,333 D \quad (2)$$

الف- میله کترل  $AB$ . چون ضریب اطمینان  $3/2$  است، تنش مجاز برابر است با:

$$\sigma_{all} = \frac{\sigma_U}{F.S.} = \frac{420 \text{ MPa}}{3/2} = 181.8 \text{ MPa}$$

برای  $P = 40 \text{ kN}$ ، مساحت مقطع عرضی مورد نیاز عبارت است از:

$$A_{req} = \frac{P}{\sigma_{all}} = \frac{40 \text{ kN}}{181.8 \text{ MPa}} = 220 \times 10^{-4} \text{ m}^2$$

$$A_{req} = \frac{\pi}{4} d_{AB}^2 = 220 \times 10^{-4} \text{ m}^2 \Rightarrow d_{AB} = 16.74 \text{ mm} \quad \square$$

ب- برش در مفصل  $C$ . برای ضریب اطمینان  $3/2$  داریم

$$\tau_{all} = \frac{\tau_U}{F.S.} = \frac{240 \text{ MPa}}{3/2} = 160 \text{ MPa}$$

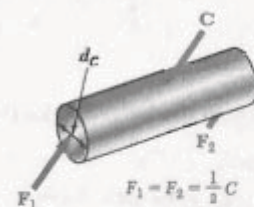
چون مفصل تحت برش دوگانه است،

$$A_{req} = \frac{C/\tau}{\tau_{all}} = \frac{(V6/3 \text{ kN})/\tau}{160 \text{ MPa}} = 360 \text{ mm}^2$$

$$A_{req} = \frac{\pi}{4} d_C^2 = 360 \text{ mm}^2 \Rightarrow d_C = 21.4 \text{ mm}$$

$$d_C = 22 \text{ mm} \quad \square$$

از قطر  $22 \text{ mm}$  برای مفصل استفاده می شود.



ج- تنش تکیه گاهی در  $C$ . یا استفاده از  $d = 22 \text{ mm}$  مساحت نامی تکیه گاه هر برآکت  $22 \text{ mm}$  است. چون نیرویی که توسط هر برآکت تحمل می شود  $= C/2$  و تنش مجاز تکیه گاهی  $300 \text{ MPa}$  است،

$$A_{req} = \frac{C/\tau}{\sigma_{all}} = \frac{(V6/3 \text{ kN})/\tau}{300 \text{ MPa}} = 127.2 \text{ mm}^2$$

لذا،  $2 - 127.2 = 221$  در نتیجه، از  $t = 5.78 \text{ mm}$  استفاده می شود.

پیچ و مهره.

چون این پیچ و مهره مانند  $B$  است، نیروی مجاز چنین است:  
 $D = B = 14,66 \text{ kN}$   
 از معادله (۲):

$$C = 2,33 D = 2,33(14,66 \text{ kN}) \Rightarrow C = 34,16 \text{ kN} \quad \square$$

پیچ و مهره.

محدوداً،  $C_{\text{all}} = 93,33 \text{ MPa}$  و می‌نویسیم:

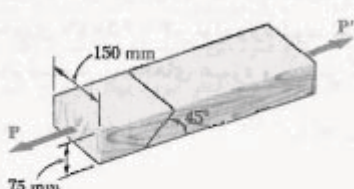
$$C = 2 F_i = 2 (\tau_{\text{all}} A) = 2 (93,33 \text{ MPa}) \left(\frac{1}{4} \pi\right) (12 \times 10^{-3} \text{ m})^2 \\ \Rightarrow C = 21,11 \text{ kN} \quad \square$$

خلاصه. چهار مقدار ماکریم مجاز را برای نیرو در  $C$  تعیین کردیم. برای برقراری تمام این معیارها، کوچکترین مقدار را انتخاب می‌کیم؛ یعنی،

$$C = 21,11 \text{ kN} \quad \square$$

### مسائل

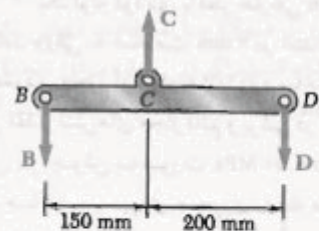
۳۰-۱ ۱۱ kN بار دو عضو چوبی با مقطع عرضی یکنواخت مستطیلی که توسط اتصال چسبی به هم متصل شده‌اند، وارد شده است. تش‌های قائم و برشی در این اتصال را بیابید.



شکل ۳۰-۱

۳۰-۲ دو عضو چوبی با مقطع عرضی یکنواخت مستطیلی توسط اتصال چسبی به هم متصل شده‌اند. اگر ماکریم تنش مجاز برشی در این اتصال  $62 \text{ MPa}$  باشد، مطلوبست: (الف) بیشترین بار  $P$  که می‌توان با اطمینان وارد کرد، (ب) تنش کششی متناظر در وصله.

۳۱-۱ دو عضو چوبی با مقطع عرضی یکنواخت مستطیلی توسط اتصال چسبی به هم متصل شده‌اند. اگر  $P = 5,6 \text{ kN}$ ، تش‌های قائم و برشی در این اتصال را بیابید.

میله کتربل. برای ضریب اطمینان  $\gamma = 3$ :

$$\sigma_{\text{all}} = \frac{\sigma_U}{F.S.} = \frac{420 \text{ MPa}}{3} = 140 \text{ MPa}$$

نیروی مجاز در میله کتربل چنین است:

$$B = \sigma_{\text{all}} (A) = (140 \text{ MPa}) \frac{1}{4} \pi (11 \times 10^{-3} \text{ m})^2 = 13,3 \text{ kN}$$

با استفاده از معادله (۱)، بیشترین مقدار مجاز  $C$  برابر است با:

$$C = 1,75 B = 1,75 (13,3 \text{ kN}) \Rightarrow C = 23,5 \text{ kN} \quad \square$$

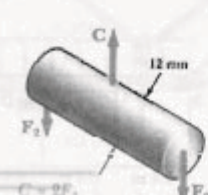
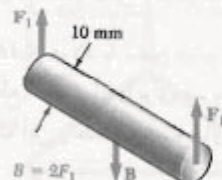
پیچ و مهره.

۳۰-۲  $\tau_{\text{all}} = \tau_U / F.S. = (280 \text{ MPa}) / 3 = 93,33 \text{ MPa}$  مهره تحت برش دوگانه است، مقدار مجاز نیروی  $B$  وارد بر پیچ و مهره عبارت است از:

$$B = 2 F_i = 2 (\tau_{\text{all}} A) = 2 (93,33 \text{ MPa}) \left(\frac{1}{4} \pi\right) (10 \times 10^{-3} \text{ m})^2 \\ = 14,66 \text{ kN}$$

از معادله (۱):

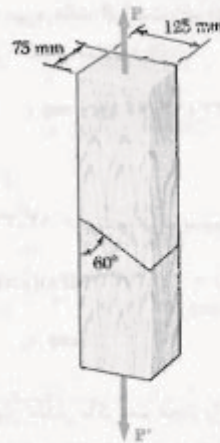
$$C = 1,75 B = 1,75 (14,66 \text{ kN}) \Rightarrow C = 25,66 \text{ kN} \quad \square$$



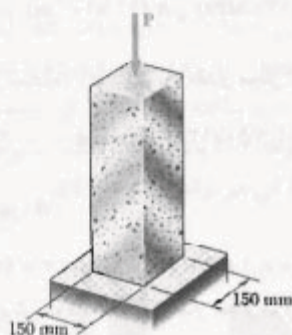
RNUEB

۳۴-۱ یک لوله فولادی با قطر خارجی  $300\text{ mm}$  از طریق جوش دادن ورقی به ضخامت  $6\text{ mm}$  در امتداد مارپیچی که با صفحه عمود بر محور لوله زاویه  $25^\circ$  دارد ساخته شده است. اگر ماکریسم مقدار تنش‌های مجاز قائم و برشی در امتدادهای عمود و مماس بر جوش به صورت  $\sigma = 50\text{ MPa}$  و  $\tau = 30\text{ MPa}$  باشد، ماکریسم نیروی محوری را که می‌توان بر لوله وارد کرد بیابید.

۳۵-۱ بار  $P = 960\text{ kN}$  بر قطعه گرانیتی نشان داده شده اثر می‌کند. ماکریسم مقدار تنش‌های قائم و برشی را بیابید. وضعیت صفحه متناظر با هر یک از این مقادیر ماکریسم را مشخص کنید.



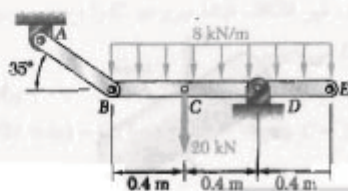
شکل ۳۱-۱ و ۳۱-۲



شکل ۳۵-۱ و ۳۵-۲

۳۶-۱ بار مرکزی  $P$  بر قطعه گرانیتی نشان داده شده اثر می‌کند. اگر ماکریسم مقدار تنش برشی حاصل در قطعه باشد، مطلوبست: (الف) مقدار  $P$ ، (ب) وضعیت سطحی که ماکریسم تنش برشی بر آن وارد می‌شود، (ج) تنش قائم وارد بر آن سطح، (د) ماکریسم مقدار تنش قائم در قطعه.

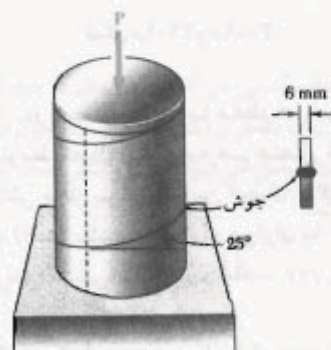
۳۷-۱ رابط  $AB$  از فولاد با تنش قائم نهایی  $450\text{ MPa}$  است. مساحت مقطع عرضی آن را برای ضرب اطمینان  $1.5$  بیابید. فرض کنید که این رابط در مفصل‌های  $A$  و  $B$  به خوبی تقویت شده است.



شکل ۳۷-۱

۳۲-۱ دو عضو چوبی با مقطع عرضی یکنواخت مستطیلی توسط اتصال چسبی به هم متصل شده‌اند. اگر ماکریسم تنش مجاز کششی در این اتصال  $525\text{ kPa}$  باشد، مطلوبست: (الف) بیشترین بار  $P$  که با اطمینان تحمل می‌شود، (ب) تنش برشی متناظر در این اتصال.

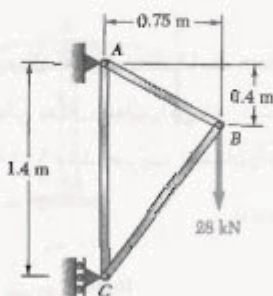
۳۳-۱ یک لوله فولادی با قطر خارجی  $300\text{ mm}$  از طریق جوش دادن ورقی به ضخامت  $6\text{ mm}$  در امتداد مارپیچی که با صفحه عمود بر محور لوله زاویه  $25^\circ$  دارد ساخته شده است. اگر نیروی محوری  $P = 250\text{ kN}$  بر لوله وارد شود، تنش‌های قائم و برشی، به ترتیب، در امتدادهای عمود و مماس بر جوش را بیابید.



شکل ۳۴-۱ و ۳۴-۲

RuEB

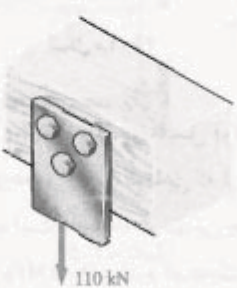
۴۱-۱ عضوهای  $AB$  و  $AC$  از میله‌های هم جنس با مقطع عرضی چهارگوش ساخته شده‌اند. میله چهارگوشی از همان جنس و به ضلع  $20\text{ mm}$  تحت بار  $28\text{ kN}$  در  $20^\circ$  گشته می‌شود. برای ضریب اطمینان  $2$  برای هر دو میله، ابعاد مورد نیاز مقطع عرضی آنها را بیابید.



شکل م-۴۱-۱ و م-۴۲-۱

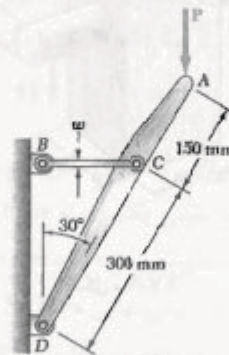
۴۲-۱ عضوهای  $AB$  و  $AC$  از میله‌های هم جنس با مقطع عرضی چهارگوش ساخته شده‌اند. میله چهارگوشی از همان جنس و به ضلع  $20\text{ mm}$  تحت بار  $20\text{ kN}$  در  $20^\circ$  گشته می‌شود. اگر مقطع عرضی میله  $AB$  به ضلع  $15\text{ mm}$  باشد، مطلوب است: (الف) ضریب اطمینان برای میله  $AB$ . (ب) ابعاد مقطع عرضی میله  $AC$  در صورتی که درای ضریب اطمینان میله  $AB$  باشد.

۴۳-۱ برای اتصال ورق فولادی نشان داده شده به یک تیر چوبی، از سه پیچ و مهره فولادی استفاده می‌شود. اگر بار  $110\text{ kN}$  بر این ورق وارد شود، قطر مورد نیاز پیچ و مهره را بیابید. تنش برخی نهایی فولاد  $260\text{ MPa}$  و ضریب اطمینان  $3$  باشد.



شکل م-۴۳-۱ و م-۴۴-۱

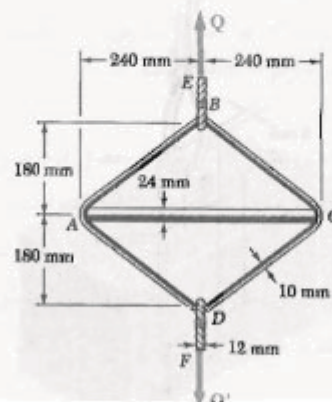
۳۸-۱ بازوی افقی  $BC$  به ضخامت  $6\text{ mm}$  و به عرض  $w = 25\text{ mm}$  است، و از فولاد با استقامت نهایی کششی  $450\text{ MPa}$  ساخته شده است. اگر این سازه برای تحمل بار طرح شده باشد، ضریب اطمینان چقدر است؟



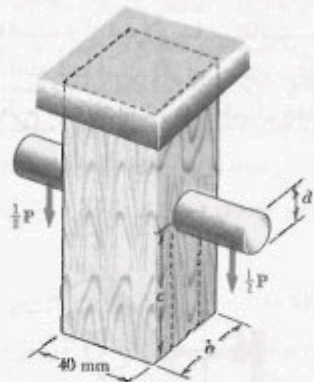
شکل م-۳۸-۱ و م-۳۹-۱

۳۹-۱ بازوی افقی  $BC$  به ضخامت  $6\text{ mm}$  است و از فولاد با استقامت نهایی کششی  $450\text{ MPa}$  ساخته شده است. اگر این سازه برای تحمل بار  $P = 22\text{ kN}$  طرح شده باشد، عرض  $w$  برای ضریب اطمینان  $3$  چقدر است؟

۴۰-۱ حلقه فولادی  $ABCD$  به طول  $1/2\text{ m}$  و به قطر  $10\text{ mm}$ ، مطابق شکل، پیرامون میله آلومینیم  $AC$  به قطر  $24\text{ mm}$  قرار گرفته است. از کابل‌های  $BE$  و  $DF$ ، هر یک به قطر  $12\text{ mm}$  برای اعمال بار  $Q$  استفاده می‌شود. اگر استقامت نهایی میله  $AC$   $260\text{ MPa}$  و استقامت نهایی حلقه و کابل‌ها  $480\text{ MPa}$  باشد، بیشترین بار  $Q$  را برای ضریب اطمینان کلی  $3$  بیابید.



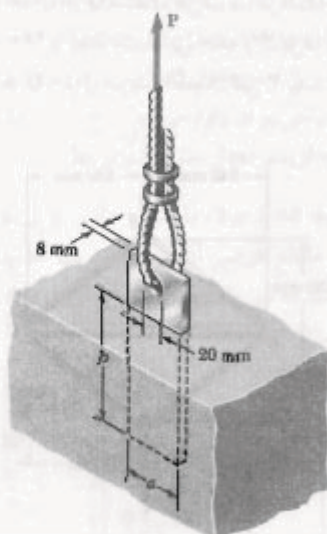
شکل م-۴۰-۱



شکل ۴۷-۱

۴۸-۱ در مسئله ۴۷-۱، اگر  $P = 20 \text{ kN}$  و  $d = 16 \text{ mm}$  مطلوبست: (الف) ضرب اطمینان مفصل، (ب) مقدار  $b$  و  $c$  در صورتی که ضرب اطمینان مفصل  $2/3$  باشد.

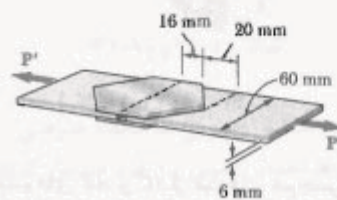
۴۹-۱ یک ورق فولادی به ضخامت  $8 \text{ mm}$  در یک تیغه افقی قرار گرفته است و از آن برای مهار کردن یک کابل عمودی پر مقاومت استفاده شده است. قطر سوراخ داخل ورق  $20 \text{ mm}$  است، استقامت نهایی فولاد به کار رفته  $250 \text{ MPa}$  است، و تنش اتصالی نهایی بین ورق و بتون  $2 \text{ MPa}$  است. اگر ضرب اطمینان برای بار  $P = 10 \text{ kN}$  برابر با  $3/6$  باشد، مطلوبست:



شکل ۴۹-۱

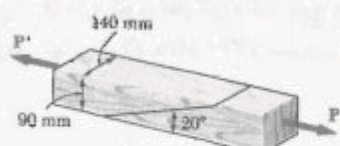
۴۴-۱ از سه پیچ و مهره فولادی به قطر  $18 \text{ mm}$  برای متصل کردن ورق فولادی نشان داده شده به یک تیر چوبی استفاده می‌شود. اگر بار  $110 \text{ kN}$  بر این ورق وارد شود و تنش برشی نهایی این فولاد  $360 \text{ MPa}$  باشد، ضرب اطمینان را بیابید.

۴۵-۱ دو ورق، هر یک به ضخامت  $2 \text{ mm}$  برای اتصال یک نوار پلاستیکی به کار رفته‌اند. اگر تنش برشی نهایی اتصال بین سطوح  $90 \text{ kPa}$  باشد، ضرب اطمینان را در رابطه با برش بیابید.  $P = 1/3 \text{ kN}$



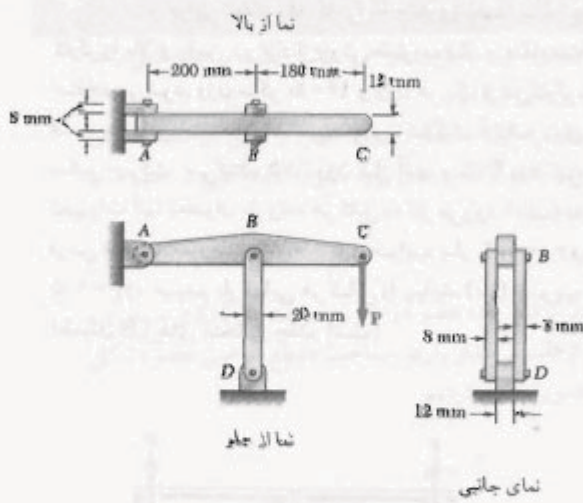
شکل ۴۵-۱

۴۶-۱ دو عضو چوبی با مقطع عرضی یکنواخت مستطیلی  $90 \times 140 \text{ mm}$  توسط اتصال چسبی به هم متصل شده‌اند. اگر ماکریم تنش برشی مجاز در این اتصال  $520 \text{ kPa}$  باشد، ماکریم بار محوری  $P$  را بیابید.



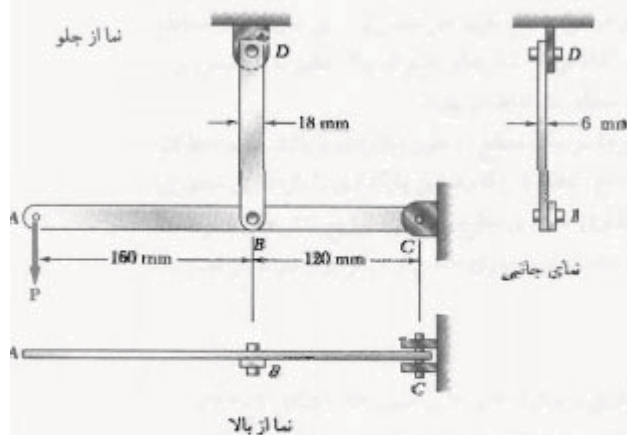
شکل ۴۶-۱

۴۷-۱ بار  $P$ ، مطابق شکل، بر مفصل فولادی وارد شده است. این مفصل در عضو چوبی گوتاهی که از سقف آویزان است جا زده شده است. استقامت نهایی چوب در کشش  $5 \text{ MPa}$  و در برش  $7/5 \text{ MPa}$  است، و استقامت نهایی فولاد در برش  $100 \text{ MPa}$  است.  $c = 55 \text{ mm}$ ،  $b = 40 \text{ mm}$  و  $d = 12 \text{ mm}$ . بار  $P$  را برای ضرب اطمینان کلی  $3/2$  بیابید.



شکل ۵۴-۱ و ۵۴-۲

۵۵-۱ در سازه فولادی نشان داده شده، قطر پین های  $A$ ،  $C$  و  $D$ ، به ترتیب،  $6\text{ mm}$ ،  $6\text{ mm}$  و  $10\text{ mm}$  است. تنش برش نهایی در تمام اتصالات  $150\text{ MPa}$  و تنش قائم نهایی در میله  $BD$  برابر با  $400\text{ MPa}$  است. برای ضریب اطمینان  $3$ ، ماکزیمم بار  $P$  را بیابید. میله  $BD$  در پیرامون سوراخ پین ها تقویت نشده است.



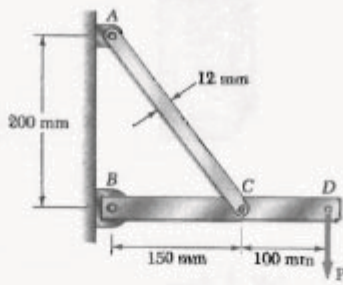
شکل ۵۵-۱

۵۶-۱ مسئله ۵۵-۱ را با این فرض حل کنید که قطر پین های  $B$  و  $D$  برابر با  $12\text{ mm}$  باشد.

(الف) عرض  $a$  مورد نیاز ورق، (ب) مینیمم عمق  $b$  جایگذاری ورق با آن عرض در تیغه بتی، (از تشن های قائم بین و انتهای پایینی ورق صرف نظر کنید).

۵۷-۱ در مسئله ۴۹-۱، اگر  $a = 50\text{ mm}$  و  $P = 12\text{kN}$  و ضریب اطمینان را برای مهار کابل بیابید.

۵۱-۱ میله فولادی  $AC$  دارای تشن قائم نهایی  $450\text{ MPa}$  و مقطع عرضی مستطیلی یکنواخت  $12\text{ mm} \times 6\text{ mm}$  است. قطر پین های  $A$ ،  $B$  و  $C$  به ترتیب،  $8\text{ mm}$ ،  $10\text{ mm}$  و  $10\text{ mm}$  است. پین های از فولاد با تنش برش نهایی  $170\text{ MPa}$  هستند و تحت برش تنها قرار دارند. برای ضریب اطمینان  $3$ ، ماکزیمم بار  $P$  را بیابید. میله  $AC$  در پیرامون سوراخ پین ها تقویت نشده است.



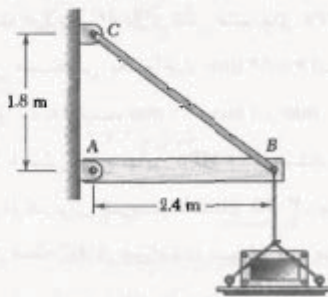
شکل ۵۱-۱

۵۲-۱ مسئله ۵۱-۱ را با این فرض حل کنید که قطر پین های  $A$ ،  $B$  و  $C$  برابر با  $8\text{ mm}$  باشد.

۵۳-۱ در سازه نشان داده شده، از مفصل  $A$  به قطر  $8\text{ mm}$  و مفصل های  $B$  و  $D$  به قطر  $12\text{ mm}$  استفاده شده است. اگر تنش برش نهایی در تمام اتصالات  $100\text{ MPa}$  باشد و تنش قائم نهایی در هر یک از دو عضوی که  $B$  و  $D$  را به هم متصل می کند  $250\text{ MPa}$  باشد، پار مجاز  $P$  را برای ضریب اطمینان کلی  $3$  بیابید.

۵۴-۱ مسئله ۵۳-۱ را با این فرض حل کنید که قطر مفصل  $A$  برابر با  $10\text{ mm}$  باشد.

۵۸-۱<sup>۰</sup> یک سکوی تخت  $40 \text{ kg}$  به انتهای  $B$  تیر چوبی  $50 \text{ kg}$  به جرم  $50 \text{ kg}$  متصل است. این تیر توسط مفصل  $A$  و میله لاغر فولادی  $BC$ , با بار نهایی  $12 \text{ kN}$ , نگه داشته شده است. (الف) با استفاده از طراحی بر مبنای ضریب بار و مقاومت، یشترین بلندی را که می‌توان با اطمینان بر سکو وارد کرد بیابد. (ب) ضریب اطمینان مناظر برای میله  $BC$  چقدر است؟



شکل ۱-م

۵۷-۱<sup>۰</sup> برای انتخاب دو کابلی که سکوی نگهدارنده دو کارگر را بالا و پایین می‌برد از روش ضریب بار و مقاومت استفاده می‌شود. وزن سکو  $160 \text{ lb}$  و وزن هر یک از دو کارگر، همراه با تجهیزات،  $195 \text{ lb}$  است. چون کارگران آزادانه روی سکو حرکت می‌کنند،  $75\%$  وزن کل آنها و  $75\%$  وزن کل تجهیزات آنها به عنوان بار زنده هر کابل به کار می‌رود. (الف) به فرض ضریب مقاومت  $\phi = 0.85$  و ضرایب بار  $\gamma_D = 1/2$  و  $\gamma_L = 1/5$ , مینیمم بار نهایی هر کابل را بساید. (ب) ضریب اطمینان کابل‌های انتخابی چقدر است؟



شکل ۱-م

## مرور و خلاصه فصل ۱

در این فصل، مفهوم تنش در روش‌های تحلیل و طراحی ماشین‌آلات و سازه‌هایی را تحت بارگذاری قرار می‌گیرند بررسی کردیم.

در قسمت ۲-۱، کاربرد روش‌های استاتیک را برای تعیین واکنش در تکیه‌گاههای یک سازه مرور کردیم. از نمودار جسم آزاد نیز برای تعیین نیروهای داخلی در عضوهای مختلف سازه استفاده کردیم.

بارگذاری محوری. تنش قائم

در قسمت ۳-۱، با در نظر گرفتن یک عضو دونیرویی تحت بارگذاری محوری، مفهوم تنش را بررسی کردیم. از تقسیم مقدار بار بر مساحت مقطع عرضی عضو (شکل ۱-۱۸-الف)، تنش قائم در آن عضو را تعیین کردیم:

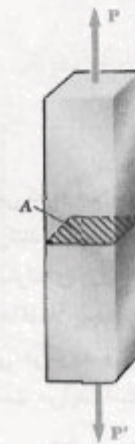
$$\sigma = \frac{P}{A} \quad (۱-۱)$$

در قسمت ۴-۱، درباره تحلیل و طراحی سازه‌ها و ماشین‌آلات بحث کردیم. همانطور که در قسمت ۱-۵ گفته شد، مقدار  $\sigma$  حاصل از معادله (۱-۱) تنش متوسط در مقطع را نشان می‌دهد نه تنش در نقطه خاص  $Q$  از آن مقطع را. با در نظر گرفتن مساحت  $\Delta A$  در پیرامون نقطه  $Q$  و مقدار نیروی وارد  $P$  بر آن، تنش در آن نقطه را به صورت زیر تعریف کردیم:

$$\sigma = \lim_{\Delta A \rightarrow 0} \frac{\Delta F}{\Delta A} \quad (۱-۲)$$

به طور کلی، مقدار حاصله برای  $\sigma$  در نقطه  $Q$  با مقدار تنش متوسط حاصل از فرمول (۱-۱) متفاوت است. تنش  $\sigma$  در عرض مقطع تغییر می‌کند. ولی، این تغییرات در مقاطع دور از نقاط اثر بار کوچک است. لذا، توزیع تنش‌های قائم در یک عضو با بار محوری را یکنواخت فرض می‌کیم مگر در مجاورت نقاط اثر بارها.

البته، برای اینکه توزیع تنش‌ها در یک مقطع به طور یکنواخت باشد، باید خط اثر بارهای  $P$  و  $P'$  از مرکز وار آن مقطع (نقطه  $C$ ) بگذرد. این بارگذاری را بارگذاری محوری مرکزی می‌گویند. در حالت بارگذاری محوری خارج از مرکز، توزیع تنش‌ها یکنواخت نیست. تنش در عضوهایی را که تحت بار محوری خارج از مرکز قرار دارند در فصل ۴ بررسی می‌کنیم.

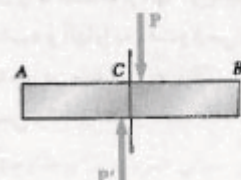


شکل ۱-۱۸-الف

نیروهای عرضی. تنش برشی

با اعمال نیروهای عرضی مساوی و متضاد  $P$  و  $P'$  بر عضو  $AB$  (شکل ۱-۱۶-الف)، تنش برشی ۲ در مقاطع بین نقاط اثر دو نیرو به وجود می‌آید (قسمت ۱-۶). این تنش در عرض مقطع به طور قابل توجه تغییر می‌کند و توزیع آن را نمی‌توان یکنواخت فرض کرد. تنش برشی متوسط در یک مقطع از رابطه زیر بدست می‌آید:

$$\tau_{ave} = \frac{P}{A} \quad (۱-۳)$$

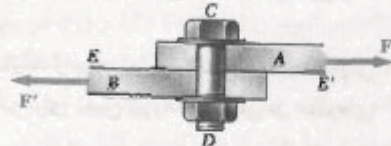


شکل ۱-۱۶-الف

در پیچ و مهره‌ها، مفصل‌ها، یا پرج‌ها نیز تنش برشی به وجود می‌آید. مثلاً در پیچ و مهره CD (شکل ۱۸-۱)، که تحت برش تنها است،

$$\tau_{ave} = \frac{P}{A} = \frac{F}{A} \quad (9-1)$$

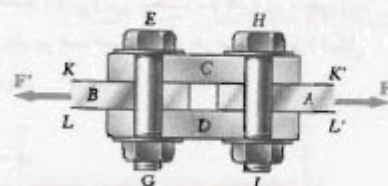
برش تنها و برش دوگانه



شکل ۱۸-۱

ولی، در پیچ و مهره‌های EG و HJ (شکل ۲۰-۱)، که هر دو تحت برش دوگانه‌اند،

$$\tau_{ave} = \frac{P}{A} = \frac{F/2}{A} = \frac{F}{2A} \quad (10-1)$$



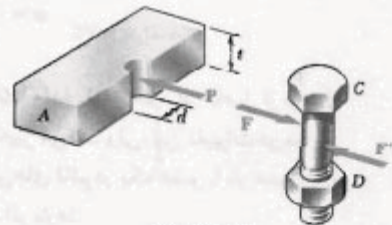
شکل ۲۰-۱

پیچ و مهره‌ها، مفصل‌ها، و پرج‌ها نیز در عضوهایی که به هم متصل می‌کنند در امتداد سطح تکه‌گاهی، یا سطح تماس، ایجاد تنش می‌کنند (قسمت ۷-۱). مثلاً، پیچ و مهره CD در شکل ۱۸-۱، تنش‌هایی را بر سطح نیم استوانه‌ای ورق A که با پیچ تماس دارد وارد می‌کند (شکل ۲۲-۱). چون توزیع این تنش‌ها کاملاً پیچیده است، در عمل از مقادیر نامی تنش متوسط ( $\sigma_b$ )، که آن را تنش تکه‌گاهی می‌گویند و از تقسیم بار P بر مساحت مستطیلی تصویر پیچ و مهره روی ورق بدست می‌آید، استفاده می‌شود. اگر ضخامت ورق را با  $t$  و قطر سوراخ را با  $d$  نشان دهیم،

$$\sigma_b = \frac{P}{A} = \frac{P}{td} \quad (11-1)$$

تش تکه‌گاهی

در قسمت ۸-۱، برای تحلیل یک سازه ساده متشکل از دو عضو با اتصال مفصلی، از مفاهیم قبل استفاده کردیم؛ یعنی، تنش‌های قاتم در این دو عضو، باریکترین مقاطع، تنش‌های برشی در مفصل‌های مختلف و تنش تکه‌گاهی در هر اتصال را بررسی کردیم.



شکل ۲۲-۱

در قسمت ۹-۱، روش حل مسائل مقاومت مصالح را توضیح دادیم، و گفتیم که حل با بدایک بیان واضح و دقیق از مسئله شروع شود. آنگاه، پس از ترسیم چند نمودار آزاد، معادله‌های تعادل را نوشته و نیروهای مجهول را با استفاده از آنها می‌یابیم. با حل این نیروها، تنش‌ها و تغییرشکل‌های موردنیاز را محاسبه و آنها را به دقت و لوسی می‌کنیم. قسمت اول این فصل را با بحث درباره دقت عددی در مهندسی به پایان بردیم، و به این نکته توجه داشتیم که دقت پاسخ هیچوقت نمی‌تواند بیشتر از دقت داده‌ها باشد (قسمت ۱۰-۱).

روش حل

در قسمت ۱۱-۱، تنش‌های ایجاد شده در یک مقطع مایل را در عضو دونبرویس که تحت بارگذاری محوری قرار داشت بررسی کردیم. دیدیم که در این حالت هر دو تنش قائم و تنش برشی بوجود می‌آیند. زاویه مقطع با یک صفحه عمودی را با  $\theta$  (شکل ۱-۲۰-الف) و مساحت مقطع عمود بر محور عضوراً با  $A_0$  نشان دادیم و عبارتهاز زیر را برای تنش قائم  $\sigma$  و تنش برشی  $\tau$  وارد بر یک مقطع مایل بدست آوریم:

$$\sigma = \frac{P}{A_0} \cos^2 \theta \quad \tau = \frac{P}{A_0} \sin \theta \cos \theta \quad (14-1)$$

دیدیم که تنش قائم برای  $\theta = 0^\circ$  دارای مقدار ماقرزیم  $\sigma_m = P/A_0$  است، و برای  $\theta = 45^\circ$  تنش برشی دارای مقدار ماقرزیم  $\tau_m = P/2A_0$  است. همچنین، دیدیم که در  $\theta = 90^\circ$ ،  $\sigma = P/2A_0$ ،  $\theta = 45^\circ$  و در  $\theta = 0^\circ$ ،  $\tau = 0$  مورد نیازند.

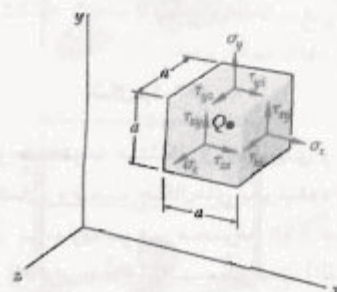
تش در مقطع مایل



شکل ۱-۲۰-الف

درباره حالت تنش در نقطه  $Q$  از جسمی که تحت بارگذاری کلی است نیز بحث کردیم (قسمت ۱۲-۱). مکعب کوچکی با مرکز  $Q$  را در نظر گرفتیم (شکل ۱-۲۶-۱) و تنش قائم وارد بر یک وجه مکعب را در امتداد عمود بر محور  $x$  با  $\sigma_x$  و مولفه‌های لوزی تنش برشی وارد بر همان وجه مکعب را به ترتیب، با  $\tau_{xy}$  و  $\tau_{yz}$  نشان دادیم. این روش را برای دو وجه دیگر مکعب تکرار کردیم و دیدیم که  $\tau_{yx} = \tau_{zy}$ ،  $\tau_{yz} = \tau_{xz}$  و  $\tau_{xy} = \tau_{zx}$ . نتیجه گرفتیم که برای مشخص کردن حالت تنش در نقطه معین  $Q$ ، تنش مولفه تنش، یعنی  $\sigma_x$ ،  $\sigma_y$ ،  $\sigma_z$ ،  $\tau_{xy}$ ،  $\tau_{yz}$  و  $\tau_{zx}$  مورد نیازند.

تش در بارگذاری کلی



شکل ۱-۲۶-۱

در قسمت ۱۳-۱، درباره مفاهیم مختلف در طراحی سازه‌های مهندسی بحث کردیم. دیدیم که بارهایی یک عضو ساختمانی یا یک قطعه مکانیکی، باری است که پیش‌بینی می‌شود عضو یا قطعه تحت آن گشته شود؛ این بار از روی تنش نهایی یا استافت نهایی ماده، که با آزمایش به دست می‌آید، تعیین می‌شود. بارهایی به طور قابل توجه از بار مجاز بیشتر است (بار مجاز باری است که عضو یا قطعه تحت شرایط عادی تحمل می‌کند). نسبت بارهایی به بار مجاز را ضریب اطمینان می‌گویند:

$$\frac{\text{بار نهایی}}{\text{بار مجاز}} = F.S. = \text{ضریب اطمینان} \quad (26-1)$$

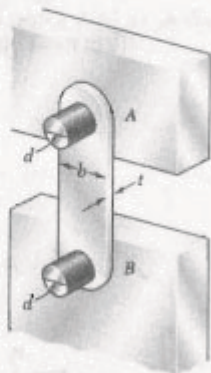
تعیین ضریب اطمینان، که در طراحی یک سازه باید از آن استفاده کرد، بستگی به عوامل گوناگونی دارد که بعضی از آنها در این قسمت فهرست شدند.

ضریب اطمینان

قسمت ۱۳-۱ را با بحث درباره روش دیگر طراحی، به نام طراحی بر مبنای ضریب بار و مقاومت، به تایان بردم. در این روش، مهندس می‌تواند عدم قطعیت‌های مربوط به سازه و بارهایی هم تکییک کند.

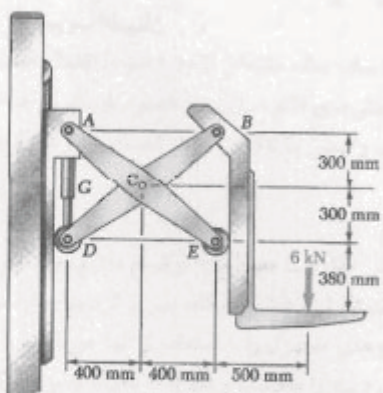
طراحی بر مبنای ضریب بار و مقاومت

۶-۱ رابط AB، به عرض  $b = 50$  mm و ضخامت  $t = 6$  mm، تکیه گاه یک تیر افقی را تشکیل می‌دهد. اگر تنش قائم متوسط در رابط  $MPa = 140$  و تنش برشی متوسط در هر یک از دو پین  $84 MPa$  باشد، مطلوب است: (الف) قطر  $d$  پین‌ها، (ب) متوسط تکیه گاهی در رابط.



شکل ۱-۶۲

۶۳-۱ دو مجموعه مستقل از میله‌بندی و سیلندر هیدرولیک همان، وضعیت چنگال‌های بک لیفت تراک را کنترل می‌کند. بار واردہ بر هر مجموعه  $6\text{ kN}$  است. اگر ضخامت عضو  $BD$  برابر  $16\text{ mm}$  باشد، مطابق است: (الف) تنش پرسی متوسط در بین  $B$  به قطر  $12\text{ mm}$ ، (ب) تنش نکیه گاهی در نقطه  $JB$  از عضو  $BD$ .

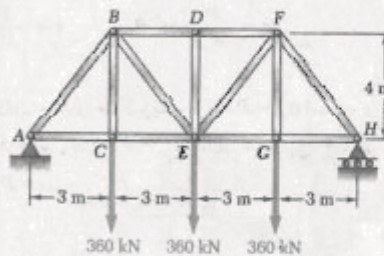


شکل ۱-۶۳

۹۴-۱ تنش برشی متوسط در پین B به قطر  $10\text{ mm}$  نباید از  $120\text{ MPa}$  و تنش تکه‌گاهی متوسط در عضو AB و برآکت B نباید از  $90\text{ MPa}$  بیشتر شود. ماکریم بار P را سایید.

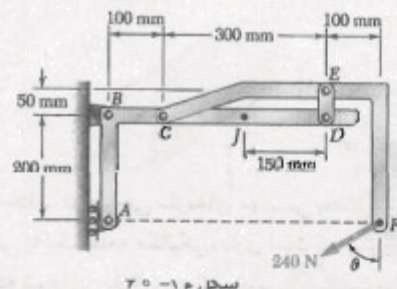
مسائل تكميلي

۵۹-۱ برای خرپا و بارگذاری نشان داده شده، تنش قائم متوسط را در عضو  $BE$  بیابید. مساحت مقطع عرضی این عضو  $375 \text{ mm}^2$  است.



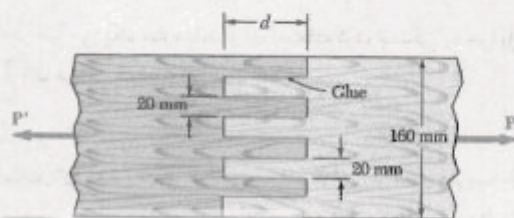
شکل ۱-۵۹

۴۰-۸ اگر عرض و ضخامت رابط  $DE$ ، به ترتیب،  $25\text{ mm}$  و  $3\text{ mm}$  باشد، مطلوبست تنش قائم در قسمت مرکزی آن در صورتی که: (الف)  $\theta = 0^\circ$ ، (ب)  $\theta = 90^\circ$



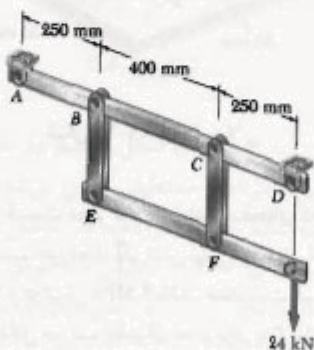
سکل ۱۰

۶۱-۱ دو قطعه چوبی، هر یک به ضخامت ۲۲ mm و به عرض ۱۶۰ mm، توسط اتصال خشک زیمانهای نشان داده شده به هم متصل اند. اگر چوب به دار رفته تحت تنش برش متوسط،  $P = ۷,۶ \text{ kPa}$  در امتداد دانه‌بندی اش بریده شود و  $d = ۸۲ \text{ mm}$  باشد.



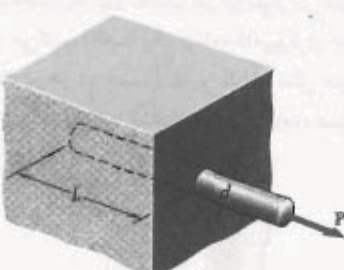
شکا ۱-۶۱

۶۷-۱ هر یک از دو بازوی عمودی  $CF$  که دو بازوی افقی  $AD$  و  $EG$  را به هم متصل می‌کند دارای مقطع عرضی مستطیلی  $10 \text{ mm} \times 40 \text{ mm}$  است و از فولاد با استقامت نهایی کششی  $400 \text{ MPa}$  ساخته شده است. هر یک از مفصل‌های  $C$  و  $F$  به قطر  $20 \text{ mm}$  و از فولاد با استقامت نهایی برشی  $150 \text{ MPa}$  است. ضرب اطمینان کلی بازووهای  $CF$  و مفصل‌هایی که آنها را به عضوهای افقی، مفصل می‌کند پایابد.



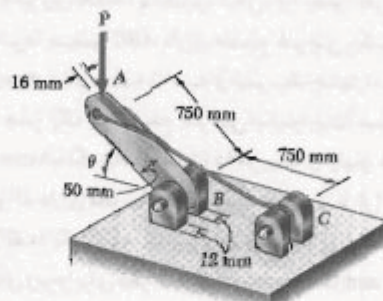
شکل م-۱

۶۸-۱ بار  $\text{P}$  بر میله فولادی وارد شده است. این میله داخل یک قطعه یعنی جازده شده است. مطلوب است کمترین طول  $L$  به طوری که ماکریم تشن قائم مجاز در میله ایجاد شود. توجه را بر حسب قطر  $d$  میله، تشن قائم مجاز  $\sigma_{\text{f}}$  فولاد، و تشن مجاز متوسط اتصال  $\sigma_{\text{m}}$  بین و سطح استوانهای میله بیان کنید. (از تشن قائم:  $\sigma_{\text{f}} = \sigma_{\text{m}}$  انتقام میله صفحه کنید).



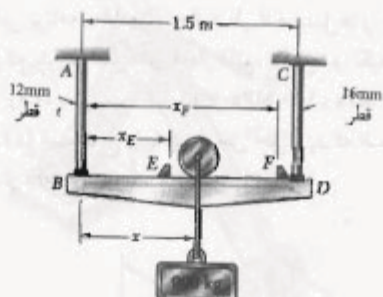
شکل م-۱

۶۹-۱ دو قسمت عضو  $AB$  در امتداد صفحه‌ای که با افق زاویه  $\theta$  دارد به هم چسب خورده‌اند. اگر تنش نهایی اتصال چسبی در کشش  $17 \text{ MPa}$  و در برش  $9 \text{ MPa}$  باشد، مطلوب است: (الف) مقدار  $\theta$  متناظر با ماکزیمم ضرب اطمینان، (ب) مقدار ماکزیمم ضرب اطمینان.



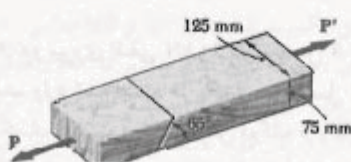
۴۴-۱

۶۵-۱ بار  $kg_{\cdot ۹۰}$  را می توان در امتداد تیر  $BD$  بین موانع  $E$  و  $F$  حرکت داد. اگر  $\sigma_0$  برای مهله های  $AB$  و  $CD$  برابر با باشد، موانع را کجا قرار دهیم تا فاصله حرکت مجاز بار به  $سید$  مقدار  $Muk$  باشد.



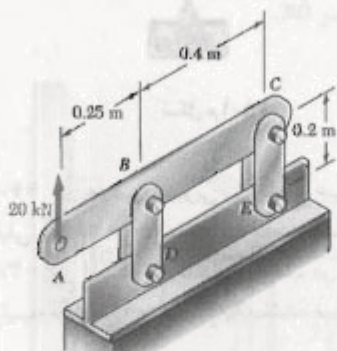
شکارچی

۴۶-۱ دو عضو چوبی با مقطع عرضی یکنواخت  
متصلی  $75 \times 125\text{ mm}$  با چوب بهم متصل شده‌اند. اگر  
 $P = 3,6\text{ kN}$  و استقامت نهایی چوب در کشش و برش،  
به ترتیب،  $1,1\text{ MPa}$  و  $1,4\text{ MPa}$  باشد، ضریب اطمینان را  
سازید.



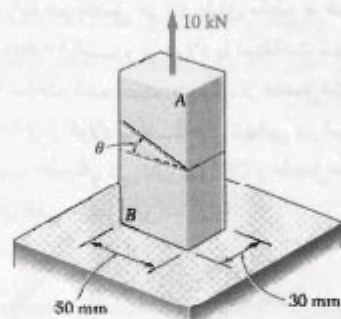
۴۹-۱

۱-ک ۲ نیروی kN، ۲۰°، مطابق شکل، بر عضو افقی  $ABC$  وارد می‌شود. عضو  $ABC$  دارای مقطع عرضی یکنواخت مستطیل  $10\text{ mm} \times 50\text{ mm}$  است و توسط چهار بازوی عمودی، هر یک با مقطع عرضی یکنواخت مستطیلی  $A\text{ mm} \times 36\text{ mm}$ ، نگه داشته می‌شود. هر یک از چهار مفصل در بازوی  $C$  و  $D$  دارای قطر یکسان  $d$  است و تحت برش دوگانه قرار دارد. (الف) یک برنامه کامپیوتری بنویسید و با استفاده از آن کمیت‌های زیر را برای قطر  $d$  در گستره  $10\text{ mm}$  تا  $100\text{ mm}$  با  $1\text{ mm}$  محاسبه کنید: (۱) ماکریم مقدار تنش قائم متوسط در بازوی  $B$  متعلق‌کننده مفصل‌های  $B$  و  $D$ ، (۲) تنش قائم متوسط در بازوی  $C$  متعلق‌کننده مفصل‌های  $C$  و  $E$ ، (۳) تنش برشی متوسط در مفصل  $B$ ، (۴) تنش برشی متوسط در مفصل  $C$ ، (۵) تنش تکیه‌گاهی متوسط در  $B$  از عضو  $ABC$ ، (۶) تنش تکیه‌گاهی متوسط در  $C$  از عضو  $ABC$ . (ب) با مقایسه مقدار حاصل برای  $d = 16\text{ mm}$  با پاسخ‌های بدست آمده در مسائل ۸-۱، ۲۲-۱، ۲۴-۱ و ۲۴-۲، این برنامه را وارسی کنید. (ج) با استفاده از این برنامه، مقادیر مجاز قطر  $d$  مفصل‌ها را باید در صورتی که بدانیم تنش‌های مجاز قائم، برشی، و تکیه‌گاهی فولاد به کار رفته، به ترتیب، عبارتند از  $150\text{ MPa}$ ،  $90\text{ MPa}$ ، و  $230\text{ MPa}$ . (د) قسمت ج را این فرض حل کنید که ضخامت عضو  $ABC$  از  $10\text{ mm}$  به  $8\text{ mm}$  کاهش یابد.



شکل م-۱-ک

۱-ک ۳ دو نیروی افقی  $kN$  بر مفصل  $B$  مجموعه نشان داده شده وارد شده است. هر یک از سه مفصل  $A$  و  $B$ ،  $C$  دارای قطر یکسان  $d$  است و تحت برش دوگان قرار دارد. (الف) یک برنامه کامپیوتری بنویسید و با استفاده از آن کمیت‌های زیر را برای مقادیر  $d$  در گستره  $1, 25\text{ mm}$  تا  $37,5\text{ mm}$  با  $1, 25\text{ mm}$  محاسبه کنید: (۱) ماکریم مقدار تنش قائم



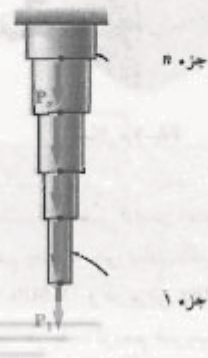
شکل م-۱-م

۱-۱ دو قسمت عضو  $AB$  در انتدا صفحه‌ای که با افق زاویه  $\theta$  دارد به هم چسب خورده‌اند. اگر تنش نهایی برای اتصال چسبی در کش  $17\text{ MPa}$  و در برش  $9\text{ MPa}$  باشد، مطلوبست گستره مقدار  $\theta$  که به ازای آن حداقل ضربی اطمینان عضو برابر با ۳ باشد.

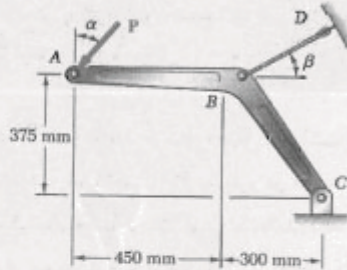
### مسائل کامپیوتری

مسائل زیر برای حل با کامپیوتر طرح شده‌اند.

۱-ک ۱ یک میله تویر فولادی از "جزء استوانه‌ای" که به هم جوش‌اند تشکیل شده است. این میله تحت بارگذاری نشان داده شده قرار دارد. قطر جزء  $A$  را با  $d$  و بار وارد بر انتهای پایینی آن را با  $P$  نشان می‌دهیم. اگر  $P$ ، مطابق شکل، به طرف پایین باشد، مقدار  $P$  آن را مثبت می‌گیریم و در غیر اینصورت منفی فرض می‌کنیم. (الف) یک برنامه کامپیوتری بنویسید و با استفاده از آن، در هر دو سیستم SI و U.S.، تنش متوسط در هر جزء میله را باید. (ب) با استفاده از این برنامه، مسائل ۱-۱ و ۱-۳ حل کنید.

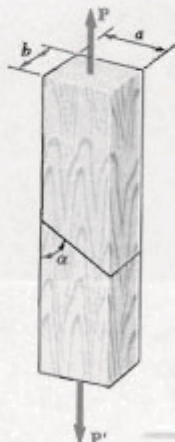


شکل م-۱-ک



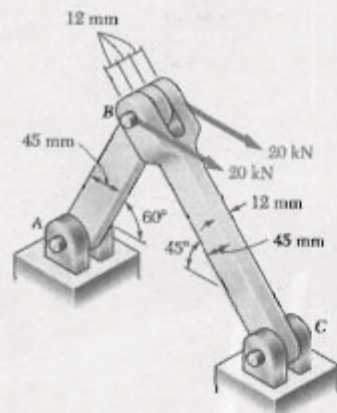
شکل م-۱-ک۴

۱-ک ۵ بار  $P$ ، مطابق شکل، تنش دو عضو چوبی با مقاطع عرضی یکنواخت مستطیلی تحمل می‌شود. این دو عضو تنش وصله ساده چسب خورده به هم متصل شده‌اند. (الف) اگر استقامات نهایی اتصال در کشش و در برش را، به ترتیب، با  $\sigma_U$  و  $\tau_U$  نشان دهیم، یک برنامه کامپیوترا پیوسيد و با استفاده از آن، برای مقادیر داده شده  $a$ ,  $b$ ,  $a$ ,  $P$ ,  $\tau_U$  و  $\sigma_U$  (که در آحاد SI یا U.S. بیان شده‌اند)، و برای مقادیر  $\alpha$  از  $5^\circ$  تا  $85^\circ$  در بازه‌های  $5^\circ$ ، کیفیت‌های زیر را محاسبه کنید: (۱) تنش قائم در اتصال، (۲) تنش برشی در اتصال، (۳) ضرب اطمینان نسبت به گیختگی در کشش، (۴) ضرب اطمینان نسبت به گیختگی در برش، (۵) ضرب اطمینان کلی برای اتصال چسب خورده. (ب) با استفاده از ابعاد و بارگذاری عضوها در مسائل ۱-۲۹، ۱-۲۹-۱، ۱-۲۹-۲ و ۱-۲۹-۳، این برنامه را اجرا کنید، در صورتیکه بدانیم برای چسب به کار رفته در مسئله ۱-۲۹-۱ داریم  $\sigma_U = 1,26 \text{ MPa}$  و  $\tau_U = 1,50 \text{ MPa}$ .



شکل م-۱-ک۵

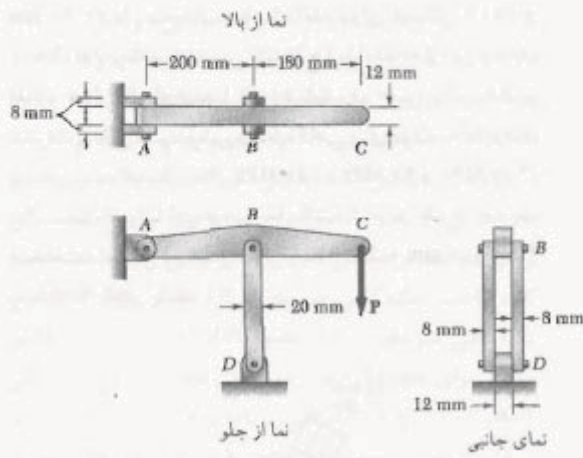
متوسط در عضو  $AB$ ، (۲) تنش قائم متوسط در عضو  $BC$ ، (۳) تنش برشی متوسط در مفصل  $A$ ، (۴) تنش برشی متوسط در مفصل  $C$ ، (۵) تنش تکیه‌گاهی متوسط در  $A$  از عضو  $AB$ ، (۶) تنش تکیه‌گاهی متوسط در  $C$  از عضو  $BC$ ، (۷) تنش تکیه‌گاهی متوسط در  $B$  از عضو  $BC$ . (ب) با مقایسه مقادیر حاصل برای مقادیر مجاز قطر  $d$  مفصل‌ها را بسازید، در صورتیکه بدانیم تنش‌های مجاز قائم، برشی و تکیه‌گاهی برای فولاد به کار رفته، به ترتیب، عبارتند از  $150 \text{ MPa}$ ،  $90 \text{ MPa}$  و  $250 \text{ MPa}$ . (د) فرمت ج را این فرض حل کنید که، در طرح جدید، ضخامت و عرض دو عضو، به ترتیب، از  $12 \text{ mm}$ ، و از  $45 \text{ mm}$  به  $6 \text{ mm}$  تغییر یابند.



شکل م-۱-ک۶

۱-ک ۶ انیروی  $P = 16 \text{ kN}$ ، که با عمود زاویه  $\alpha$  دارد، مطابق شکل بر عضو  $ABC$  وارد می‌شود. این عضو تنش متوسط مفصل  $C$  و کابل  $BD$ ، که با افق زاویه  $\beta$  دارد، نگه داشته می‌شود. (الف) اگر بار نهایی کابل  $100 \text{ kN}$  باشد، یک برنامه کامپیوترا پیوسيد و با آن جدولی از ضرب اطمینان کابل را برای مقادیر  $\alpha$  و  $\beta$  از  $45^\circ$  تا  $45^\circ$  تشکیل دهید. برای این منظور، نمودهای  $\alpha$  و  $\beta$  را طوری بگیرید که  $\tan \alpha = \tan \beta$  و  $\tan \beta = \tan \alpha$  باشد. (ب) تنش دهید که برای تمام مقادیر  $\alpha$ ، مقدار ماکریم ضرب اطمینان برای  $38,66^\circ = \beta = \alpha$  است و علت آن را توضیح دهید. (ج) کمترین مقدار مسكن ضرب اطمینان را برای نیز مقدار متناظر  $\alpha$  را بسازید و نتیجه حاصل را توضیح دهید.

وارسی کنید. (د) با استفاده از این برنامه، بار مجاز  $P_{all}$  و اینکه کدام یک از تنش‌ها بحرانی است را برای معلومات زیر بیابید:  $\sigma_U = 110 \text{ MPa}$ ،  $d_s = d_r = 15 \text{ mm}$ ،  $F.S. = 3/2$  برای مفصل‌های فولادی، و  $2/3$  برای مفصل‌های آلمینیمی.



شکل ۱-۶

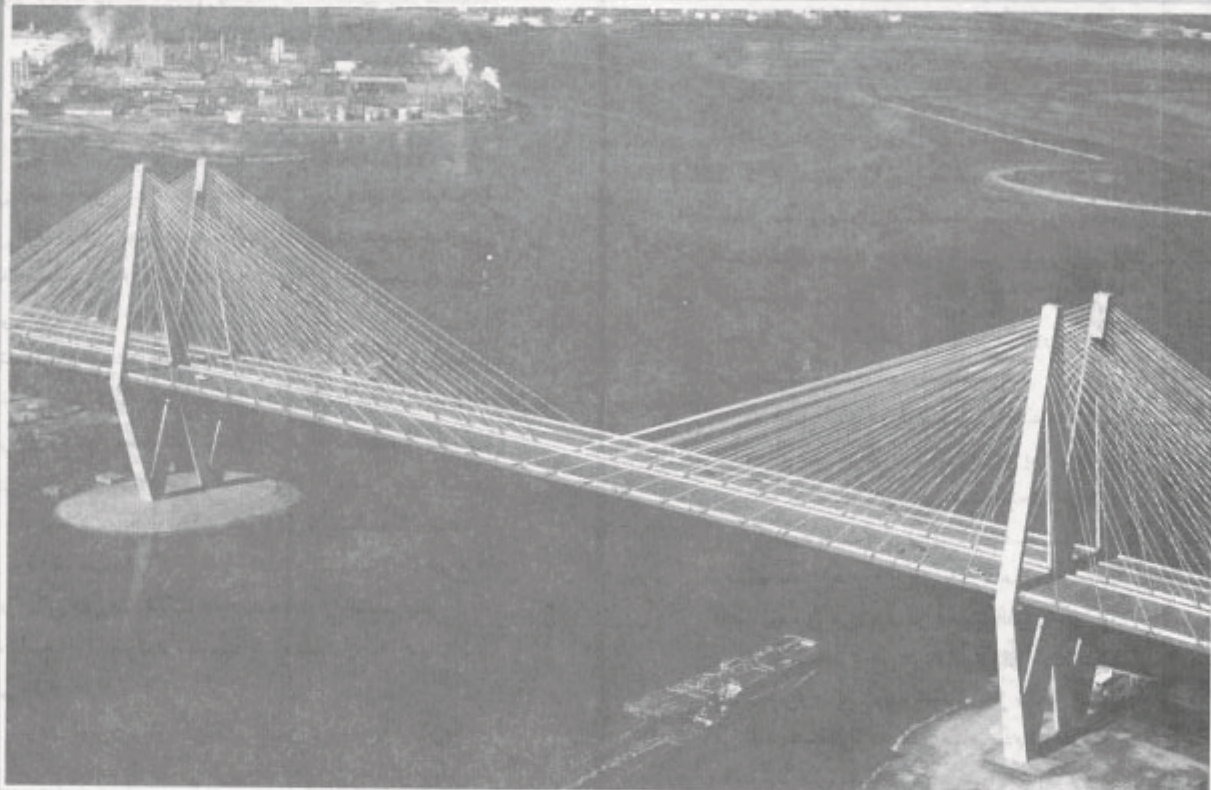
داریم  $\sigma_U = 150 \text{ psi}$  و  $\epsilon_U = 214 \text{ psi}$ . (ج) نشان دهید که تنش برشی در هر یک از این حالت برای  $\alpha = 45^\circ$  دارای مقدار ماکزیمم است.

۱-ک ۶ عضو  $ABC$  توسط مفصل و براکت  $A$  و توسط دو بازو نگه داشته شده است. این دو بازو در  $B$  به عضو  $ABC$  و در  $D$  به یک تکیه‌گاه ثابت لولا شده‌اند. (الف) یک برنامه کامپیوتری بنویسید و با استفاده از آن بار مجاز  $P_{all}$  را برای موارد زیر محاسبه کنید: (۱) برای هر قطر داده شده  $d$ ، برای مفصل  $A$ ، (۲) برای قطر مشترک  $d$ ، مفصل‌های  $B$  و  $D$ ، (۳) برای تنش قائم نهایی  $\sigma_U$  در هر یک از دو بازو، (۴) برای تنش برشی نهایی  $\tau_U$  در هر یک از سه مفصل، (۵) برای ضرب اطمینان کلی دلخواه، برنامه باید نشان دهد که کدام یک از سه تنش زیر بحرانی است: تنش قائم در بازوها، تنش برشی در مفصل  $A$ ، یا تنش برشی در مفصل‌های  $B$  و  $D$ . (ب و ج) با استفاده از داده‌های مسائل ۱-۵۳ و ۱-۵۴، و با مقایسه پاسخ‌های بدست آمده برای  $P_{all}$  با مقادیر بدست آمده در تنش، این برنامه را

مقاومت مصالح

۲۷

## تنش و کرنش بارگذاری محوری



در این فصل، تغییر شکل های اجزای ساخته ای داکه تحت بارگذاری محوری آنده بررسی می کیم. برای طراحی این پل کابلی، واقع در بندر هوستون، تغییر طول مهارهای قطری به دقت در نظر گرفته شده آنده.

≡ PNUEB ≡

## ۱-۲ مقدمه

بخش اول این فصل با قسمت ۸-۲ پایان می‌گیرد، که در آن تغییرشکل انواع مختلف عضوها تحت شرایط گوناگون بارگذاری محوری تعیین می‌شود. در قسمت‌های ۹-۲ و ۱۰-۲، مسائل نامعین استاتیکی را بررسی می‌کنیم؛ یعنی، مسائلی که در آنها واکنش‌ها و نیروهای داخلی رانی توافق را از صرفًا با استاتیک به دست آورده. معادله‌های تعادل را که از نمودار آزاد یک عضو بدست می‌آیند باید با رابطه‌هایی که شامل تغییرشکل‌ها هستند کامل کرد؛ این رابطه‌ها از هندسه مسئله بعدست می‌آیند.

در قسمت‌های ۱۱-۲ تا ۱۵-۲، ثابت‌های اضافی مربوط به مواد ایزوتropیک - یعنی، موادی که مشخصه‌های مکانیکی آنها مستقل از جهت است - تعریف می‌شوند؛ مانند نسبت پوامون که عوامل زیر را به هم ارتباط می‌دهد: کرنش جانبی و کرنش محوری، مدول کهای (که تغییر حجم یک ماده را تحت فشار هیدرولاستاتیکی مشخص می‌کند) و مدول صلات (که مولفه‌های تش برشی و کرنش برشی را به هم ارتباط می‌دهد). رابطه‌های تش-کرنش برای یک ماده ایزوتropیک تحت بارگذاری چند محوری را نیز استنتاج می‌کنیم.

در قسمت ۱۶-۲، رابطه‌های تش-کرنش را که شامل چند مقدار متمایز مدول الاستیپیته، نسبت پوامون و مدول صلات است، برای مواد مرکب تقویت شده با تار تحت بارگذاری چندمحوری بدست می‌آوریم. چون این مواد ایزوتropیک زیستند، معمولاً خواص مشخصی به نام خواص اوتوتropیک از خود نشان می‌دهند که مطالعه آنها را ساده می‌کند.

در فصل قبل، دو فرض زیر را درنظر گرفتیم: (۱) تش در مقاطع عرضی به طور یکنواخت توزیع می‌شود، (۲) مواد به صورت الاستیک باقی می‌مانند. صحت فرض اول در قسمت ۱۷-۲ مورد بحث قرار می‌گیرد. در قسمت ۱۸-۲، تعریف تش در نزدیک سوراخ‌های دایره‌ای و گرددها (ماهیچه‌ها) در میله‌های تخت بروزی می‌شود. در قسمت‌های ۱۹-۲ و ۲۰-۲، درباره تش و تغییرشکل در عضوهای ساخته شده از مواد چکش‌خواری بحث می‌شود که از نقطه تسلیم خود فراتر می‌روند. همانطور که بعداً خواهید دید، تغییرشکل‌های پلامیک داتم و تش‌های باقیمانده از این شرایط بارگذاری ناشی می‌شوند.

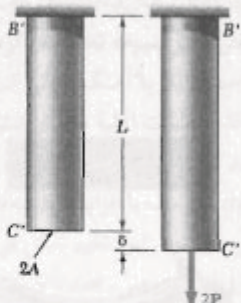
۲-۲ کرنش قائم تحت بارگذاری محوری میله  $BC$ ، به طول  $L$  و با مساحت مقطع عرضی یکنواخت  $A$ ، را که از نقطه  $B$  آویزان شده است در نظر می‌گیریم (شکل ۲-۱-الف) با اعمال بار  $P$  بر انتهای  $C$ . میله افزایش طول می‌دهد (شکل ۲-۱-ب)، با ترسیم مقدار  $\theta$  بار بحسب

در فصل ۱، تش‌های حاصل از بارهای وارد بر عضوهای تحلیل کردیم. همچنین، طراحی عضوها و اتصالات ساده را، به طوری که تحت شرایط خاص بارگذاری گیخته نشوند، آموختیم. جنباً دیگر تحلیل و طراحی سازه‌ها مربوط می‌شود به تغییرشکل‌هایی که توسط بارهای وارد ایجاد می‌شوند. بدینهی است که باید از تغییرشکل‌های بزرگ جلوگیری شود تا سازه بتواند منظورهای طراحی را برآورده کند. اما، تحلیل تغییرشکل‌ها در تعیین تش‌ها نیز کمک می‌کند. در حقیقت، همیشه نمی‌توان نیروهای موجود در عضوهای یک سازه را فقط با کاربرد اصول استاتیک تعیین کرد، زیرا در استاتیک فرض می‌شود که سازه‌ها صلب و تغییرشکل ناپذیرند. با در نظر گرفتن سازه‌های مهندسی به عنوان سازه‌های تغییرشکل‌پذیر و با تحلیل تغییرشکل‌های عضوهای مختلف آنها، می‌توان نیروهای نامعین استاتیکی، یعنی نیروهایی را که با استاتیک نمی‌توان تعیین کرد، بدست آورد. همچنین، در قسمت ۵-۱ نشان دادیم که توزیع تش‌ها در یک عضو از نظر استاتیکی نامعین است، حتی اگر نیرو در آن عضو معلوم باشد. لذا، برای تعیین توزیع واقعی تش‌ها در یک عضو، باید تغییرشکل‌های آن عضو را تحلیل کرد. در این فصل، تغییرشکل‌های یک عضو سازه‌ای مانند میله، یا ورق را که تحت بارگذاری محوری است بروزرسانی می‌کنیم.

ابتدا، کرنش قالب ۴ در یک عضو را به عنوان تغییرشکل طول واحد عضو تعریف می‌کنیم. با ترسیم تش  $\theta$  بر حسب کرنش ۴، هنگام افزایش بار وارد بر عضو نمودار-تش-کرنش ماده عضو را بدست می‌آوریم. از این نمودار می‌توان بعضی از خواص مهم ماده، مانند مدول الاستیپیته، و چکش خواری یا شکتدگی ماده را تعیین کرد (قسمت‌های ۲-۲ تا ۵-۲). در قسمت ۵-۲ خواهید دید در حالی که رفتار اغلب مواد مستقل از جهت بار وارد است، پاسخ مواد مرکب تقویت شده با تار به جهت بار بستگی دارد.

از نمودار تش-کرنش می‌توان تعیین کرد که آیا کرنش‌ها در نمونه پس از حذف بار ازین می‌روند یا رین حالت می‌گویند ماده به طور الاستیکی رفتار می‌کند - یا اینکه یک تغییرشکل پلامیک داتم در آن به وجود می‌آید (به قسمت ۶-۲ نگاه کنید).

در قسمت ۷-۲، باید خستگی را بروزرسانی می‌کنیم، که به موجب آن یک عضو پس از تکرار زیاد بارگذاری گیخته می‌شوند، حتی اگر تش‌ها در گستره الاستیک باشند.

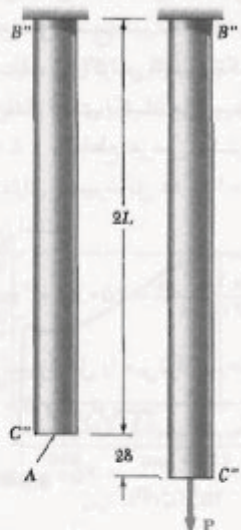


شکل ۲-۲

منحنی  $\sigma = P/A$  بر حسب کرنش  $\epsilon = \delta/L$ ، مشخصه خواص ماده را نشان می‌دهد و شکل آن به ابعاد نمونه مورد استفاده بستگی ندارد. این منحنی را نمودار تشکیل-کرنش می‌گویند و در قسمت ۳-۳ به تفصیل بررسی می‌شود.

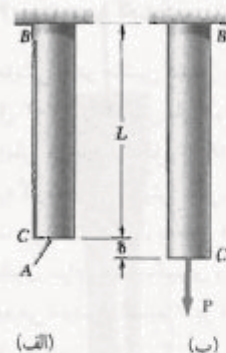
تغییرشکل ۲، نمودار بارگذاری-تغییرشکل را به دست می‌آوریم (شکل ۲-۲). گرچه این نمودار شامل اطلاعات مفیدی برای تحلیل میله تحت بررسی است، ولی از آن نمی‌توان برای پیش‌بینی تغییرشکل یک میله از همان جنس وی با ابعاد دیگر استفاده کرد. مشاهده می‌شود اگر تغییرشکل ۲ تو سط بار  $P$  در میله  $BC$  ایجاد شود، بار  $P$  باعث می‌شود همان تغییرشکل در میله  $B'C'$ ، به طول  $L$  و با مساحت مقطع عرضی  $A/2$ ، به وجود آید (شکل ۳-۲). در هر دو حالت، مقنن تشکیل-کرنش است و برابر است با  $\sigma = P/A$ . از طرف دیگر، بار  $P$  که بر میله  $B'C'$ ، با مساحت مقطع عرضی  $A/2$  و به طول  $2L$ ، وارد می‌شود باعث می‌شود تغییرشکل ۲-۵ در این میله به وجود آید (شکل ۴-۲)؛ یعنی، دوباره تغییرشکلی که در میله  $BC$  به وجود می‌آید. اما در هر دو حالت، نسبت تغییرشکل به طول میله دارای مقدار یکسان  $\delta/L$  است. با توجه به این مطلب، مفهوم کرنش را وارد می‌کنیم: کرنش یا فاکتم در میله‌ای که تحت بارگذاری محوری است به عنوان تغییرشکل طول واحد آن میله تعريف می‌شود. اگر کرنش قائم را با  $\epsilon$  نشان می‌دهیم،

$$\epsilon = \frac{\delta}{L} \quad (1-2)$$



شکل ۴-۲

چون میله  $BC$  مذکور دارای مساحت مقطع عرضی  $A$  است، می‌توان فرض کرد تشکیل-کرنش قائم  $\sigma$  در تمام میله دارای مقدار ثابت  $P/A$  است. لذا، کرنش به عنوان نسبت تغییرشکل به طول کل میله تعريف شد. ولی، در یک عضو با مساحت مقطع عرضی متغیر، تشکیل-کرنش قائم  $\sigma = P/A$  در امتداد عضو تغییر می‌کند و کرنش را باید در نقطه معین  $Q$  تعريف کرد.

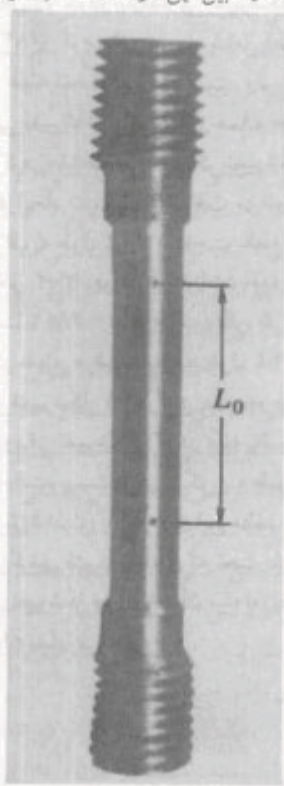


شکل ۱-۲



شکل ۲-۲

در نظر می‌گیرند، فاصله  $L$  بین این دو علامت را طول سنجه می‌گویند.



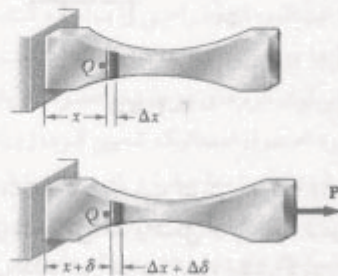
شکل ۲-۶ نمونه نوعی تحت آزمون کشش

سپس، نمونه آزمایشی را در مашین کشش تحت بار مرکزی  $P$  قرار می‌دهند (شکل ۲-۷). با افزایش بار  $P$ ، فاصله  $L$  بین دو علامت سنجه نیز افزایش می‌یابد (شکل ۲-۸). فاصله  $L$  را با سنجه شماره‌دار اندازه گرفته، و افزایش طول  $L + \delta = L + \delta = L - L_0$  را برای هر مقدار  $P$  ثبت می‌کنند. اغلب، به طور همزمان، از یک سنجه شماره‌دار ثانوی برای اندازه گیری و ثبت تغییرات قطر نمونه نیز استفاده می‌شود. از تقسیم  $P$  بر مساحت مقطع عرضی اولیه نمونه ( $A_0$ ) می‌توان تنش  $\sigma$  و لاز تقسیم  $\delta$  بر فاصله اولیه  $L_0$  می‌توان کرنش  $\epsilon$  را تعیین کرد. سپس، با ترمیم  $\epsilon$  (در طول) بر حسب  $\sigma$  (در عرض)، نمودار تنش-کرنش به دست می‌آید.

نمودارهای تنش-کرنش برای مواد مختلف کاملاً با هم متفاوت‌اند و آزمایش‌های مختلف کشش روی یک ماده خاص، در دماهای متفاوت و سرعت‌های مختلف بارگذاری، ممکن است نتایج مختلف دهند. ولی، می‌توان وجه مشخصه‌های مشترکی را برای نمودارهای تنش-کرنش مواد مختلف تشخیص داد و مراد را بر مبنای این مشخصه‌ها به دو گروه زیر تقسیم‌بندی کرد: مواد جکش خواه و مواد شکنده.

برای این منظور، جزء کوچکی را با طول تغییرشکل شدадه  $\Delta x$  در نظر می‌گیریم (شکل ۲-۵). اگر تغییرشکل این جزء را تحت بارگذاری داده شده با  $\Delta\delta$  نشان دهیم، کرنش قائم در نقطه  $\varnothing$  چنین است:

$$\epsilon = \lim_{\Delta x \rightarrow 0} \frac{\Delta\delta}{\Delta x} = \frac{d\delta}{dx} \quad (2-2)$$



شکل ۲-۲

چون تغییرشکل و طول در آحاد یکسان بیان می‌شوند، کرنش قائم  $\epsilon$ ، که حاصل تقسیم  $\delta$  بر  $L$  (یا  $dx$  بر  $d\delta$ ) است، یک کمیت بی‌بعد است. لذا، برای کرنش قائم در یک عضو در هر دو آحاد SI و U.S. به مقدار عددی یکسان می‌رسیم. مثلاً، میله‌ای با طول  $100\text{ m}$  و با مقطع عرضی یکنواخت را در نظر بگیرید. این میله دارای تغییرشکل  $100 \times 10^{-6} = 100\text{ }\mu\text{m}$  است. کرنش متناظر چنین است

$$\epsilon = \frac{\delta}{L} = \frac{100 \times 10^{-6}\text{ m}}{0,600\text{ m}} = 200 \times 10^{-9}\text{ m/m} = 200\text{ }\mu\text{m/m}$$

نوجوه کنید که تغییرشکل را می‌توان بر حسب میکرومتر بیان کرد.  $100\text{ }\mu\text{m} = 100\text{ }\mu\text{m}$  و می‌نویسیم:

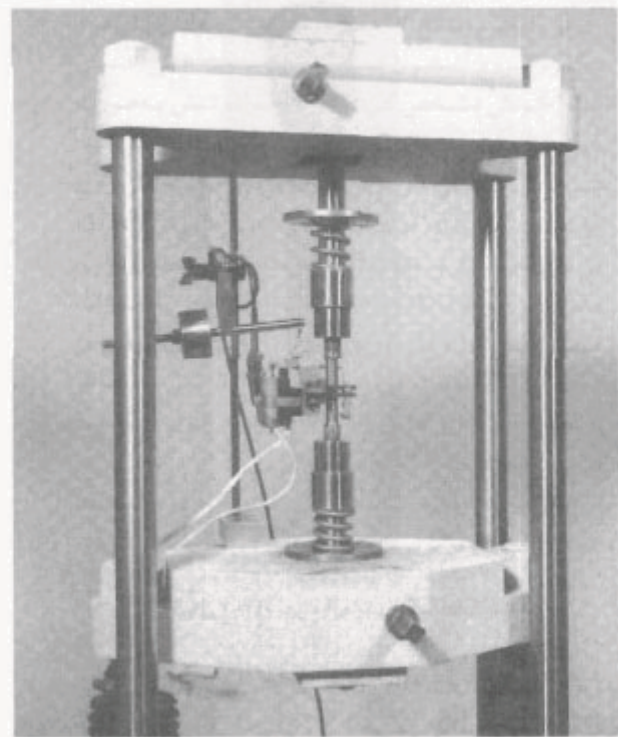
$$\epsilon = \frac{\delta}{L} = \frac{100\text{ }\mu\text{m}}{0,600\text{ m}} = 200\text{ }\mu\text{m/m} = 200\text{ }\mu$$

( $\mu$  تلفظ می‌شود "میکرو").

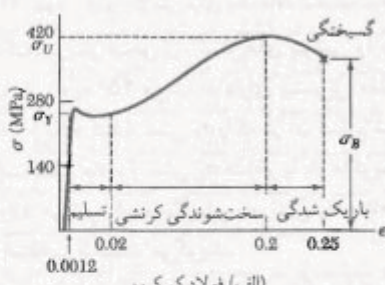
### ۲-۳ نمودار تنش-کرنش

در قسمت ۲-۲ دیدیم که نمودار تنش-کرنش، یکی از مشخصه‌های مهم مواد است. برای تعیین نمودار تنش-کرنش یک ماده، معمولاً نمونه‌ای از آن را تحت آزمایش کشش قرار می‌دهند. در شکل ۲-۶، یکی از این نمونه‌ها نشان داده شده است. مساحت مقطع عرضی قسمت استوانه‌ای مرکزی نمونه را به دقت تعیین کرده و در علامت را می‌نوییم. این قسمت

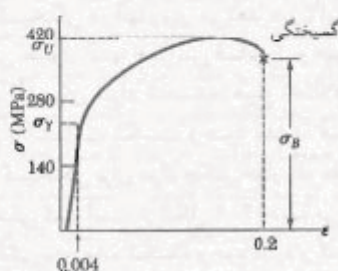
مواد چکش خوار، شامل فولاد ساختمانی و بسیاری از آلیاژهای فلزی، با قابلیت شان برای تسلیم در دماهای معمولی مشخص می‌شوند. وقتی نمونه تحت بار افزایشی قرار می‌گیرد، ابتدا طول آن بر حسب بار با آهنگ خیلی کم به طور خطی افزایش می‌باید. لذا، قسمت اولیه نمودار تنش-کرنش یک خط راست با شبیب تند است (شکل ۷-۲). ولی، پس از اینکه نمونه به تنش بحرانی  $\sigma_U$  می‌رسد، با افزایش بار به مقدار کم دستخوش تغییر شکل بزرگی می‌شود. این تغییر شکل بر اثر لغزش ماده در امتداد سطوح مایل است؛ یعنی، عمدتاً از تنش‌های برشی ناشی می‌شود. همانطور که از نمودارهای تنش-کرنش دو ماده چکش خوار نوعی (شکل ۷-۲) می‌توان دید، افزایش طول نمونه پس از شروع تسلیم ممکن است  $200\%$  برابر تغییر شکل آن قبل از تسلیم باشد. پس از اینکه بار به مقدار ماکزیمم معینی می‌رسد، قطر قسمتی از نمونه شروع به کاهش می‌کند که ناشی از تاپیداری محلی است (شکل ۱۰-۲الف). این پدیده را باریک‌شدنگی می‌گویند. پس از شروع باریک‌شدنگی، بارهای کمتری برای افزایش بیشتر نمونه مورد نیازند، تا سرانجام گسیختگی نهایی روی می‌دهد (شکل ۱۰-۲ب). توجه داریم که گسیختگی در امتداد یک سطح مخروطی روی می‌دهد که با سطح اولیه نمونه تقریباً زاویه  $45^\circ$  می‌سازد. این نشان می‌دهد که شکست مواد چکش خوار اساساً ناشی از برش است و



شکل ۷-۲ از این ماشین برای آزمایش نمونه‌های کششی، مانند آنجه که در این فصل نشان داده شدند، استفاده می‌شود.



(الف) فولاد کم کربن



(ب) آلیاژ آلومینیوم

شکل ۷-۳ نمودارهای تنش-کرنش دو ماده چکش خوار نوعی



شکل ۷-۴ نمونه آزمایش با بار کششی.

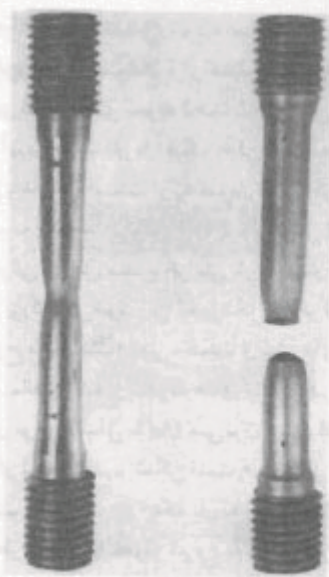
RNUEB



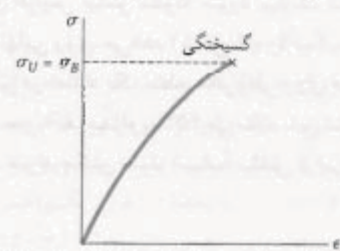
شکل ۲-۱۲ (ا) نمونه آزمایشی یک ماده شکننده.

نمودارهای تنش سکرنش شکل ۲-۹ نشان می‌دهند که فولاد و آلومینیم ساختمانی، که هر دو چکش خوارند، دارای مشخصه‌های تسلیم مستقیماتند. در فولاد ساختمانی (شکل ۲-۹(الف)، پس از شروع تسلیم، تنش در گستره بزرگی از مقادیر کرنش ثابت می‌ماند. سپس، برای حفظ افزایش طول نمونه باید تنش افزایش باید تا به مقدار ماکریسم  $\sigma_0$  برسد. این ناشی از خاصیتی از ماده به نام سخت شوندگی کرنشی است. استقامت تسلیم فولاد ساختمانی در آزمون کششی را با رؤیت باری که روی ماسیشن آزمون نشان داده می‌شود می‌توان تعیین کرد. پس از افزایش دائمی بار، دیده می‌شود که بار ناگهان کمی کاهش یافته و برای مدتی در همین مقدار می‌ماند؛ ولی، افزایش طول نمونه ادامه می‌باید. در یک آزمایش بسیار دقیق، می‌توان نقطه تسلیم بالایی را (که متناظر است با بار درست قبل از شروع تسلیم) از نقطه تسلیم پایینی (که متناظر است با بار مرد نیاز برای حفظ تسلیم) از یکدیگر تمیز داد. چون نقطه تسلیم بالایی گذراست، برای تعیین استقامت نهایی ماده باید از نقطه تسلیم پایینی استفاده کرد.

\* آزمایش‌های کشش که در این قسمت توصیف شدند در دماهای معمولی در نظر گرفته می‌شوند. ولی، ماده‌ای که در دماهای معمولی چکش خوار است در دماهای خیلی پایین ممکن است مشخصه‌های یک ماده شکننده را از خود نشان دهد، و یک ماده شکننده معمولی ممکن است در دماهای خیلی زیاد چکش خوار شود. لذا، در دماهای غیرمعمول، باید به جای واژه چکش خوار یا شکننده از واژه در حالت چکش خواری باید حالت شکنندگی صحبت کرد.



شکل ۲-۱۲ (ب) نمونه آزمایش یک ماده جکش خوار.



شکل ۲-۱۱ نمودار تنش سکرنش برای یک ماده شکننده نوعی.

نشان می‌دهد که، دربار محوری، تنش‌های برشی وارد بر سطوحی که با بار زاویه  $45^\circ$  می‌سازند دارای پیشترین مقدارند (به قسمت ۱۱-۱ نگاه کنید). تنش  $\sigma_0$  را که در آن تسلیم شروع می‌شود استقامت تسلیم ماده، و تنش  $\sigma_0$  متناظر با بار ماکریسم را که بر نمونه وارد می‌شود استقامت نهایی، و تنش  $\sigma_u$  متناظر با گسیختگی را استقامت شکست می‌گویند.

مواد شکننده، شامل چدن، شیشه و منگ، دارای این مشخصه‌اند که گسیختگی در آنها روی می‌دهد بدون اینکه قبل اهنگ افزایش طول آنها افزایش قابل توجهی دهد (شکل ۱۱-۲). لذا، برای مواد شکننده، هیچ اختلافی بین استقامت نهایی و استقامت شکست وجود ندارد. همچنین، کرنش در زمان گسیختگی برای مواد چکش خوار، در مقایسه با مواد شکننده، خیلی کمتر است. از شکل ۱۲-۲ دیده می‌شود که حالت باریک‌شدگی برای ماده شکننده وجود ندارد و گسیختگی در امتداد سطح عمود بر بار روی می‌دهد. یعنی، تنش‌های قائم عامل اصلی شکست مواد شکننده‌اند.

برای فولادهای معمولی با استقامت تسلیم  $\sigma_0 = 50 \text{ ksi}$  تا  $21 \text{ mm/mm}^2$  است. یعنی، مینیمم کرنس متوسط هنگام گیختگی باید  $21 \text{ mm/mm}^2$  باشد.

یکی دیگر از معیارهای چکش خواری، درصد کاهش مساحت است، با تعریف زیر

$$\frac{A_0 - A_B}{A_0} = 100\% \quad \text{درصد کاهش مساحت}$$

که در آن  $A_0$  و  $A_B$  به ترتیب، مساحت مقطع عرضی نمونه و مینیمم مساحت مقطع عرضی آن هنگام گیختگی است. برای فولاد ساختمانی، درصد کاهش مساحت معمولاً ۶۰ تا ۷۰ درصد است.

تابه حال، فقط در باره آزمایش‌های کشش بحث کرده‌ایم. اگر نمونه‌ای از یک ماده چکش خوار تحت فشار قرار گیرد، منحنی تنش-کرنس حاصل اساساً از لحاظ قسمت خطی اولیه و شروع قسمت متناظر با تسلیم و سخت‌شوندگی گرنشی مانند منحنی تنش-کرنس در آزمایش کشش است. گفتنی است که برای یک فولاد معین، استقامت تسلیم در کشش و فشار دارای مقدار یکسان است. برای مقادیر بزرگتر گرنش، منحنی‌های تنش-کرنس در کشش و فشار از هم فاصله ندارند. باید توجه داشت که باریک‌شدنی در آزمایش فشار روی نمی‌دهد. در اغلب مواد شکننده، دیده می‌شود که استقامت نهایی در فشار خیلی پیشتر از استقامت نهایی آن در کشش است و این ناشی از وجود نقص‌ها، مانند ترک‌ها یا حفره‌های میکروسکوپی است که باعث تضعیف ماده در کشش می‌شوند، ولی بر مقاومت آن در مقابل گیختگی فشاری تأثیر قابل توجهی ندارند.

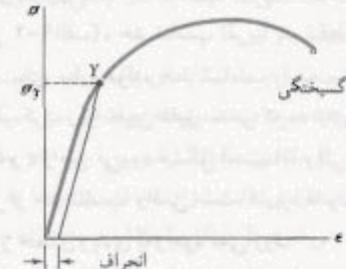
بنابراین، یک نمونه از ماده شکننده با خواص مختلف در کشش و فشار است و نمودار تنش-کرنس آن در شکل ۱۴-۲ نشان داده شده است. در سمت کشش نمودار، ابتدا یک ناحیه الاستیک خطی را می‌بینیم که در آن گرنش با تنش متناسب است. پس از نقطه تسلیم، گرنش سریع‌تر از تنش افزایش می‌باید تا سرانجام، گیختگی روی می‌دهد. ماده در فشار رفتار متفاوتی دارد. اول اینکه، ناحیه الاستیک خطی به طور قابل توجه وسیع‌تر است. دوم، وقتی تنش به مقدار ماکریم خود می‌رسد، گیختگی روی نمی‌دهد بلکه مقدار تنش کاهش می‌باید، در حالی که گرنش همچنان افزایش می‌باید تا سرانجام، گیختگی روی نمی‌دهد. توجه کنید که مدول الاستیستی، که با شیب منحنی تنش-کرنس قسمت خطی نمودار نشان داده می‌شود، در کشش و فشار دارای مقدار یکسان است. این موضوع برای اغلب مواد شکننده صحت دارد.

در آلمینیم (شکل ۱۳-۲ ب) و بسیاری از مولاد چکش‌خوار دیگر، شروع تسلیم را نمی‌توان با قسمت افقی منحنی تنش-کرنس مشخص کرد. در این مواد، تنش به صورت غیرخطی افزایش می‌باید تا اینکه به استقامت نهایی می‌رسد. سپس، باریک‌شدنی شروع می‌شود و سرانجام گیختگی روی می‌دهد. در این مواد، استقامت نهایی  $\sigma_u = 200 \text{ MPa}$  را با روش انحراف می‌توان تعیین کرد. مثلاً، با ترسیم یک خط از تقطیعات روی محور افقی به طول  $2\% \times \sigma_u = 4 \text{ MPa}$  (با موازات قسمت خطی اولیه نمودار تنش-کرنس)، استقامت نهایی در انحراف  $2\%$  بدست می‌آید (شکل ۱۳-۲). تنش  $\sigma_u$  متناظر با نقطه ۲ که به این طریق بدست می‌آید به عنوان استقامت نهایی در انحراف  $2\%$  تعریف می‌شود:

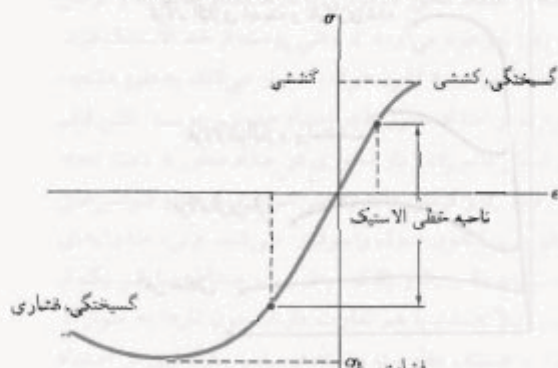
یکی از معیارهای استاندارد برای چکش خواری یک ماده، درصد افزایش طول آن است که به صورت زیر تعریف می‌شود

$$\frac{L_B - L_0}{L_0} = 100\% \quad \text{درصد افزایش طول}$$

که در آن  $L_0$  و  $L_B$  به ترتیب، طول اولیه نمونه تحت کشش و طول نهایی آن هنگام گیختگی است. مینیمم افزایش طولی که برای طول سنجه  $mm$  در نظر می‌گیرند



شکل ۱۳-۲ تعیین استقامت تسلیم با روش انحراف.



شکل ۱۴-۲ نمودار تنش-گرنش برای بن.

## ۵-۲ قانون هوک؛ مدول الاستیست

اغلب سازه‌های مهندسی که برای تغییر شکل‌های نسبتاً کوچک طراحی می‌شوند، فقط شامل قسمت خطی نمودار تنش-کرنش هستند. برای آن قسمت اولیه نمودار (شکل ۹-۲)، مدول  $E$  با کرنش  $\epsilon$  به طور مستقیم متناسب است و می‌توان نوشت:

$$\sigma = E\epsilon \quad (4-2)$$

ابن راسطه را، به افتخار ریاضی دان انگلیسی راست هوک (۱۷۰۳-۱۶۳۵)، قانون هوک می‌گویند. ضریب  $E$  را، به افتخار داشتمند انگلیسی توماس یانگ (۱۸۲۹-۱۷۷۳)، مدول الاستیستیه یا مدول یانگ ماده می‌گویند. چنون  $E$  بکمیت پاسکال یا پکی از مضرب‌های آن است.

پیشترین مقدار تنشی که به ازای آن می‌توان قانون هوک را برای ماده‌ای به کار برد حد تابع آن ماده می‌گویند. در مراد چکش خواری که نقطه تسلیم کاملاً منحصر دارد (مانند شکل ۲-۱۹(الف)، حد تابع تقریباً بر نقطه تسلیم منطبق است. برای سایر مواد، حد تابع را به سهولت نمی‌توان تعريف کرد، زیرا تعیین دقیق تنشی که به ازای آن رابطه خطی بین  $\sigma$  و  $\epsilon$  بین می‌رود مشکل است. اما وقیع مقدار تنش کمی بیشتر از حد تابع واقعی است، کاربرد قانون هوک برای مواد مذکور خطای زیادی بدرجوود نمی‌آورد.



شکل ۲-۱۶ نمودارهای تنش-کرنش برای آهن و درجات مختلف فولاد.

## ۴-۲ تنش حقيقی و کرنش حقيقی

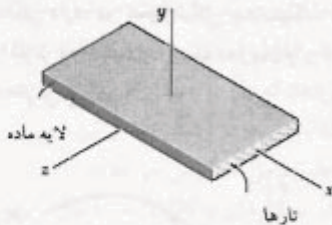
به خاطر داریم که تنش رسم شده در نمودارهای ۹-۲ و ۱۱-۲ از تقسیم بار  $P$  بر مساحت مقطع عرضی اولیه نمونه،  $A_0$ ، به دست آمد. چون مساحت مقطع عرضی نمونه با افزایش  $P$  کاهش می‌باید، تنش هر این نمودارها تنش حقيقی در نمونه نیست. در مواد چکش خوار، پس از شروع تسلیم، بین تنش مهندسی محاسباتی  $\sigma = P/A_0$  و تنش حقيقی نمونه تغییر شکل داده به دست می‌آید، اختلاف وجود دارد. تنش مهندسی  $\sigma$ ، که با بار  $P$  متناسب است، در حالت باریکشدنگی با افزایش  $P$  کاهش می‌باید؛ ولی، تنش حقيقی  $\sigma_e$ ، که با  $P$  متناسب مستقیم و با  $A$  نسبت معکوس دارد، همچنان افزایش می‌باید تا نمونه کشیده می‌شود. اغلب به جای رابطه  $\sigma_e = P/L_0$  که آن را کرنش مهندسی می‌گویند، از کرنش حقيقی  $\epsilon_e$  با تعریف زیر استفاده می‌شود:

$$\epsilon_e = \int_{L_0}^L \frac{dL}{L} = \ln \frac{L}{L_0} \quad (3-2)$$

نموداری که با ترسیم تنش حقيقی بر حسب کرنش حقيقی به دست می‌آید (شکل ۱۵-۲)، رفتار ماده را دقیق‌تر توضیح می‌دهد. همانطور که قبله دیدیم، تنش حقيقی در حالت باریکشدنگی کاهش نمی‌باید. همچنین، با استفاده از تنش حقيقی و کرنش حقيقی، نتایج حاصل از آزمایش‌های کشش و فشار اساساً نمودار یکسان را می‌دهند؛ ولی، با ترسیم تنش مهندسی بر حسب کرنش مهندسی، برای مقدار بزرگ کرنش چنین نیست. البته، مهندسان که مسئولیت آنها بررسی این موضوع است که آیا بار  $P$  باعث ایجاد یک تنش و تغییر شکل قابل قبول در عضو می‌شود یا نه، از نمودار مبنی بر تنش مهندسی  $\sigma = P/A_0$  و کرنش مهندسی  $\epsilon = \delta/L_0$  استفاده می‌کنند، زیرا این عبارت‌ها شامل مساحت مقطع عرضی  $A_0$  و طول اولیه  $L_0$  است و اینها داده‌های قابل دسترسی هستند.



شکل ۱۵-۲ تنش حقيقی بر حسب کرنش حقيقی برای بک ماده چکش خوار نوعی.



شکل ۱۷-۲ پوسته ماده مرکب تقویت شده با تار.

با ترکیب تعدادی پوسته، یک ورقه به دست می‌آید. اگر ورقه فقط تحت بار محوری کششی قرار گیرد، تارها در تمام پوسته‌ها باید دارای همان وضعیت باشند تا بیشترین استقامت ممکن حاصل شود. اما اگر ورقه تحت فشار قرار گیرد، ماده ماتریس ممکن است آنقدر محکم باشد که از کمانش تارها جلوگیری کند. در این حالت، پایداری جانبی ورقه را با استقرار بعضی از پوسته‌ها به طوری که تارهای آنها بر بار عمود باشند می‌توان افزایش داد. استقرار بعضی از پوسته‌ها به گونه‌ای که تارهای آنها تحت زاویه  $30^{\circ}$ ,  $45^{\circ}$ , یا  $60^{\circ}$  نسبت به بار باشد نیز می‌تواند مقاومت ورقه را در برابر برش صفحه‌ای افزایش دهد. در قسمت ۱۶-۲، مواد مرکب تقویت شده با تار و رفتار آنها تحت بارگذاری‌های چند محوری بررسی می‌شود.

## ۶-۲ مقایسه رفتار الاستیک و پلاستیک ماده

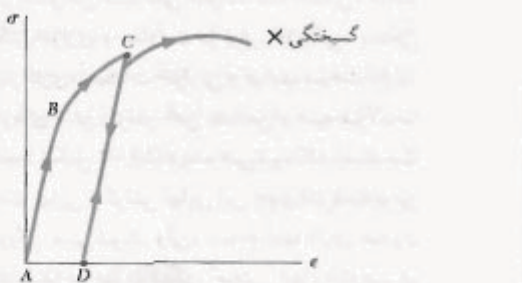
اگر گرنش‌هایی که با اعمال بار معنی در یک نمونه آزمایشی به وجود می‌آیند هنگام حذف بار از بین بروند، می‌گویند ماده بصورت الاستیک رفتار می‌کند. بیشترین مقدار تشنج که به ازای آن ماده به صورت الاستیک رفتار می‌کند حد الاستیک آن ماده نام دارد.

اگر ماده دارای نقطه تسلیم کاملاً مشخص باشد (شکل ۹-۲ الف)، حد الاستیک، حد تناسب (قسمت ۵-۲) و نقطه تسلیم آن اساساً با هم برابرند. به عبارت دیگر، تا وقتی تشن کمتر از نقطه تسلیم است، ماده به صورت الاستیک و خطی رفتار می‌کند. در حالت تسلیم (قسمت ۳-۳)، با حذف بار، تشن و گرنش در امتداد خط  $CD$ ، که به موازات قسمت خطی  $AB$  منحنی بارگذاری است (شکل ۱۸-۲)، به صورت خطی کاهش می‌یابد. این موضوع که  $\sigma$  پس از حذف بار به صفر بروزی گردد نشان می‌دهد که تغییر شکل پلاستیک (دانسی) روى داده است. در اغلب مواد، تغییر شکل پلاستیک نه فقط به

بعضی از خواص فیزیکی فلزات ساختمانی، مانند استقامت، چکش خواری و مقاومت در برابر خوردگی، بستگی شدیدی به آلبازی کاری، عملیات حرارتی و فرایند ساخت دارند. مثلاً، از نمودارهای تشن-گرنش آهن خالص و سه فولاد با درجات مختلف (شکل ۱۶-۲) دیده می‌شود که استقامت تسلیم، استقامت نهایی و گرنش نهایی این چهار فلز دستخوش تغییرات بزرگی می‌شوند. ولی، تسام آنها دارای مدول الاستیک بیکارند؛ به عبارت دیگر، "سفتی" آنها مقاومت در برابر تغییر شکل در ناحیه خطی را ندارند. بنابراین، اگر فولاد پراستقامتی را در یک سازه جایگزین فولاد با استقامت کمتر کنیم و هیچ یک از ابعاد را تغییر ندهیم، سازه دارای ظرفیت بسیار پذیری بیشتری خواهد داشت، اما سفتی آن تغییر نمی‌کند.

برای هر یک از موادی که تا به حال بررسی شده‌اند، رابطه بین تشن قائم و گرنش قائم،  $\sigma = E\varepsilon$ ، مستقل از امتداد بارگذاری بود زیرا خواص مکانیکی، از قبیل الاستیک، مستقل از امتداد تحت بررسی بود. این ماده را همسانگردد، و موادی را که خواص آنها به امتداد بستگی دارد ناهمسانگرد می‌گویند. فولاد مرکب تقویت شده با تار یکی از مواد مهم ناهمسانگرد هستند.

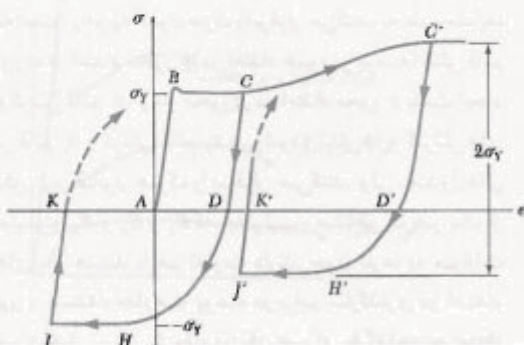
این مواد مرکب با قرار دادن تارهای یک ماده سفت و با استقامت در یک ماده نرم ضعیفتر، که به آن ماتریس می‌گویند، ساخته می‌شوند. از موادی مانند گرافنیت، شیشه و پلیمرها به عنوان تار، و از موادی مانند انواع مختلف رزین‌ها به عنوان ماتریس استفاده می‌شود. در شکل ۱۷-۲، پوسته ماده مرکبی نشان داده شده است؛ این ماده از تعداد زیادی تارهای موازی که در ماتریسی قرار دارند تشکیل شده است. بار محوری وارد بر پوسته در امتداد محور  $z$  (موازی با تارها) تشن قائم  $\sigma_z$  و گرنش قائم  $\varepsilon_z$  را به وجود می‌آورد. تا وقتی پوسته از حد الاستیک فراتر نرفته است،  $\sigma_z$  و  $\varepsilon_z$  قانون هوک را برقرار می‌کنند. به طور مشابه، بار واردۀ در امتداد محور  $x$  (در امتداد عمود بر پوسته) تشن قائم  $\sigma_x$  و گرنش قائم  $\varepsilon_x$ ، و بار محوری در امتداد محور  $y$  باعث ایجاد تشن قائم  $\sigma_y$  و گرنش قائم  $\varepsilon_y$  می‌شود؛ تشن‌ها و گرنش‌های مذکور نیز قانون هوک را برقرار می‌کنند. ولی، مدول‌های الاستیک  $E_x$  و  $E_y$  و  $E_z$  که، به ترتیب، متناظر با هر یک از بارهای بالا هستند با هم تفاوت دارند. چون تارها به موازات محور  $x$  هستند، مقاومت پوسته در برابر بارگذاری در امتداد محور  $x$  خیلی بیشتر از مقاومت آن در برابر بارگذاری در امتداد محورهای  $y$  و  $z$  است، و  $E_x$  از  $E_y$  یا  $E_z$  خیلی بزرگ‌تر است.



شکل ۱۹-۲

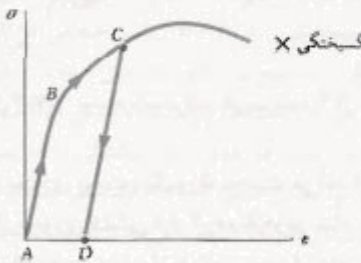
فرض می‌کنیم ماده از نوع فولاد متوسط است که استقامت تسلیم آن در کشش و فشار دارای مقدار یکسان است. بار اولیه کششی است و تا نقطه C در نمودار تنش-کرنش اعمال می‌شود (شکل ۲۰-۲). پس از باربرداری (نقطه D)، یک بار فشاری اعمال می‌شود و ماده را به نقطه H می‌رساند. در این نقطه، تنش برابر است با  $\sigma_y$ . دیده می‌شود که قسمت DH نمودار تنش-کرنش خمیده است و نقطه تسلیم کاملاً مشخصی نیست. این را اثر باشینگر می‌گویند. با حفظ بار فشاری، ماده در امتداد خط HJ تسلیم می‌شود.

اگر بار پس از نقطه D حذف شود، تنش در امتداد خط JK به صفر بر می‌گردد، و توجه داریم که شیب JK با مدول الاستیستیه E برابر است. تغییر شکل پلاستیک حاصل، یعنی AK، برابر طول پاره خطهای BC و HJ می‌تواند مثبت، منفی یا صفر باشد. با اعمال مجدد بار کششی، قسمتی از نمودار تنش-کرنش که از K شروع می‌شود (قسمت خطچین) به طرف بالا و سمت راست خمیده می‌شود تا سرانجام، تنش به مقدار تسلیم  $\sigma_y$  می‌رسد.



شکل ۲۰-۲

ماکریم مقدار تنش، بلکه به مدت اعمال این تنش قبل از حذف بار نیز بستگی دارد. در تغییر شکل پلاستیک، قسمت وابسته به تنش رالمغزش، و قسمت وابسته به زمان را - که به دما نیز بستگی دارد - خوش می‌گویند.



شکل ۱۸-۲

وقتی مدادای دارای نقطه تسلیم کاملاً مشخصی نیست، حد الاستیک را نمی‌توان با دقت تعیین کرد. ولی، این فرض که حد الاستیک با استقامت تسلیم برابر است (روش انحراف در قسمت ۳-۲)، فقط خطای کمی را وارد می‌کند. در حقیقت، از شکل ۱۳-۲ دیده می‌شود خط مستقیم که برای تعیین نقطه Y به کار می‌رود منحنی باربرداری و پس از اینکه تنش به مقدار ماکریم  $\sigma_y$  می‌رسد نیز نشان می‌دهد. وقتی ماده به صورت الاستیک رفتار نمی‌کند، کرنش پلاستیک حاصل به همان کوچکی انحراف اختباری است.

اگر نمونه، پس از بارگذاری و باربرداری (شکل ۱۹-۲)، مجدداً بارگذاری شود، منحنی بارگذاری جدید تقریباً از همان منحنی باربرداری اولیه پیروی می‌کند تا اینکه تقریباً به نقطه C می‌رسد؛ سپس، به سمت راست خمیده می‌شود و به قسمت خمیده نمودار تنش-کرنش اولیه متصل می‌شود. توجه داریم که قسمت خط مستقیم منحنی بارگذاری جدید از قسمت متاظر منحنی اولیه طولانی تر است. لذا، بر اثر سخت شوندنگی کرنشی که در بارگذاری اولیه نمونه روی می‌دهد، حد تناسب و حد الاستیک افزایش می‌یابند. ولی، چون نقطه گیختگی بی تغییر می‌ماند، چکش خواری نمونه، که اکنون باید از نقطه D اندازه‌گیری شود، کاهش می‌یابد.

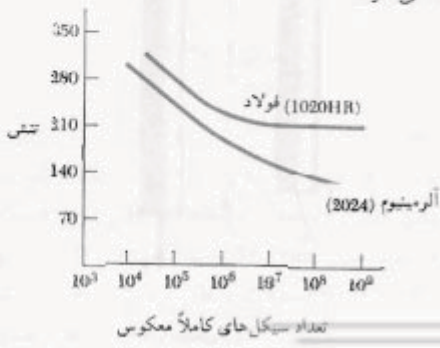
در این بحث، فرض شد که نمونه در هر دو حالت در جهت یکسان بارگذاری شده است. حال، می‌خواهیم حالتی را بررسی می‌کنیم که یک بار ثالثی در جهت مخالف با بار اولیه وارد شود.

بعضی بارگذاری‌ها دارای ماهیت نوسانی‌اند. مثلاً، عبور اتومبیل‌ها از روی یک پل باعث می‌شود تنش‌های حاصل حول مقدار تنش ناشی از وزن پل نوسان کنند. حالت شدیدتر وقتی روی می‌دهد که بار در سیکل بارگذاری به طور کامل معکوس شود. مثلاً، تنش‌های در اکسل یک واکن قطار پس از هر نیم دوران چرخ به طور کامل معکوس می‌شوند.

تعداد سیکل‌های بارگذاری مورد نیاز برای ایجاد خستگی در یک نمونه از طریق بارگذاری‌های تکراری متداول و بارگذاری‌های معکوس را می‌توان برای هر مقدار ماکریسم تنش به طور آزمایشی تعیین کرد. با انجام مجموعه‌ای از این آزمایش‌ها، با استفاده از مقادیر مختلف ماکریسم تنش، داده‌های حاصل را به صورت متحمنی  $0\text{--}40$  می‌توان رسم کرد. در هر آزمایش، ماکریسم تنش  $\sigma$  در عرض و تعداد سیکل‌ها،  $n$ ، در ضول رسم می‌شود؛ چون تعداد زیادی سیکل برای گسیختگی نیاز است، «در مقیاس لگاریتمی رسم می‌شود.

در شکل ۲۱-۲، یک منحنی نوعی  $0\text{--}40$  برای فولاد نشان داده شده است. توجه داریم که اگر تنش ماکریسم وارده زیاد باشد، تعداد نسبتاً اندکی سیکل باعث گسیختگی می‌شود. با کاهش مقدار تنش ماکریسم، تعداد سیکل‌های لازم برای گسیختگی افزایش می‌یابد تا اینکه تنش به حد دوام می‌رسد. حد دوام، تنشی است که به ازای آن خستگی روی نمی‌دهد، حتی اگر تعداد سیکل‌های بارگذاری نامحدود باشد. حد دوام برای یک فولاد کم کریں، مانند فولاد ساختمانی، تقریباً نصف استقامت نهایی فولاد است.

برای فلزات غیر آهنی، مانند آلومینیم و مس، منحنی نوعی  $0\text{--}40$  (شکل ۲۱-۲) نشان می‌دهد که با افزایش تعداد سیکل‌های بارگذاری، تنش در خستگی دانساکاهش می‌یابد. در این فلزات، حد خستگی به عنوان تنش متأثر با خستگی حاصل پس از تعداد معینی سیکل بارگذاری، مثلاً ۵۰۰ میلیون سیکل، تعریف می‌شود.



شکل ۲۱-۲

اگر بارگذاری اولیه آنقدر بزرگ باشد که باعث سخت‌شوندگی کرنشی ماده شود ( نقطه 'C' )، باربرداری در امتداد خط 'CD' روی می‌دهد. با اعمال بار معکوس، تنش از نوع فشاری می‌شود، در نقطه 'H' به مقدار ماکریسم می‌رسد و تا تسلیم ماده در امتداد خط 'HF' ثابت می‌ماند. توجه داریم که مقدار ماکریسم تنش فشاری کمتر از  $40$  است، و تغییر کلی تنش بین 'C' و 'H' هنوز با  $40$  برابر است.

اگر نقطه 'K' یا 'L' بر مبدأ  $A$  منطبق باشد، تغییر شکل دائمی برایر با صفر است و نمونه ممکن است به حالت اولیه باش برگردد. ولی، تغییرات داخلی روی خواهد داد و در صورتی که همان سیکل بارگذاری تکرار شود، نمونه پس از چند تکرار گیخته می‌شود بدون اینکه قبل اعلامی از خود نشان دهد. این موضوع نشان می‌دهد که تغییر شکل‌های پلاستیک اضافی نمونه باعث می‌شود مشخصه‌های ماده به شدت تغییر کنند. بنابراین، در ناحیه پلاستیک به تدریت می‌توان بارگذاری معکوس را به کار برد و فقط در شرایط دقیقاً کنترل شده، مانند اصلاح مواد آسیب دیده یا تنظیم سازه یا ماشین، از آن استفاده می‌شود.

۷-۲ بارگذاری‌های تکراری: خستگی در قسمت‌های قبیل، رفتار یک نمونه آزمایشی را تحت بارگذاری محوری بررسی کردیم. توجه داریم که اگر ماکریسم تنش در نمونه از حد الاستیک ماده فراتر نرود، نمونه پس از حذف بار به حالت اولیه باش برگردد. می‌توان نتیجه گرفت که یک بارگذاری معین را می‌توان به دفعات تکرار کرد، به شرطی که تنش‌ها در ناحیه الاستیک باشند. این نتیجه گیری برای بارگذاری‌هایی که حتی صد هزار مرتبه تکرار می‌شوند صحت دارد. ولی، همانطور که بعداً خواهید دید برای بارگذاری‌هایی که هزاران یا میلیون‌ها مرتبه تکرار می‌شوند صحت ندارد. در چنین مواردی، تحت تنشی که خوبی کمتر از استقامت شکست استاتیکی است، گسیختگی روی می‌دهد؛ این پدیده را خستگی می‌گویند. گسیختگی ناشی از خستگی، حتی برای موادی که در حالت عادی چکش خوارند، دارای ماهیت شکنندگی است. در طراحی تمام اجزای ساختمانی و ماشین‌آلات که تحت بارهای تکراری یا نوسانی قرار دارند باید خستگی را در نظر گرفت. تعداد سیکل‌های بارگذاری که در طی عمر مفید یک جزء می‌توان پیش‌بینی کرد خیلی تغییر می‌کند. مثلاً، تیری که یک جرثقیل صنعتی را نگه می‌دارد ممکن است دو میلیون مرتبه در ۲۵ سال بارگذاری شود ( تقریباً  $3 \times 10^{10}$  بارگذاری در یک روز کلی ). میل‌نگ اتومبیلی که در طی عمر می‌گذرد می‌تواند تقریباً نیم میلیارد مرتبه بارگذاری می‌شود. تیغه یک مایل کار می‌گزند تقریباً خود ممکن است صد هزار میلیارد مرتبه بارگذاری می‌شود.

با جایگذاری  $\epsilon$  از (۵-۲) در (۶-۲) :

$$\delta = \frac{PL}{AE} \quad (7-2)$$

از معادله (۷-۲) وقتی می توان استفاده کرد که میله همگن (دارای  $E$ ) باشد، مساحت  $A$  مقطع عرضی آن یکنواخت باشد و از دو سر بارگذاری شده باشد. اگر میله در نقاط دیگری بارگذاری شده باشد یا از چند قسمت با مقطع عرضی متفاوت و از مواد مختلف ساخته شده باشد، باید آن را به اجزای مختلف تقسیم کرد که هر کدام شرایط مورد نیاز را برای کاربرد فرمول (۷-۲) برقرار کند. اگر  $P_i$ ،  $L_i$  و  $A_i$ ، به ترتیب، نیروی داخلی، طول، مساحت مقطع عرضی و مدول الاستیسیته جزء  $i$  باشند، تغییر شکل کلی میله را به صورت زیر می توان نوشت:

$$\delta = \sum_i \frac{P_i L_i}{A_i E_i} \quad (8-2)$$

طبق قسمت ۲-۲، کوتاه  $\epsilon$  در میله ای با مقطع عرضی متغیر (شکل ۵-۲) به وضعیت نقطه  $Q$  (که  $\epsilon$  در آنجا محاسبه می شود) بستگی دارد و به صورت  $\epsilon = d\delta/dx$  تعریف می شود. با حل  $d\delta$  و با جایگذاری  $\epsilon$  از معادله (۵-۲)، تغییر شکل یک جزء با طول  $dx$  چنین است:

$$d\delta = \epsilon dx = \frac{P dx}{AE}$$

با انتگرالگیری از عبارت بالا در طول میله، تغییر شکل کلی میله بدست می آید:

$$\delta = \int_0^L \frac{P dx}{AE} \quad (9-2)$$

وقتی مساحت مقطع عرضی  $A$  تابعی از  $x$  است یا نیروی داخلی  $P$  به  $x$  بستگی دارد (مانند میله ای وزانی که تحت وزن خود قرار دارد)، باید به جای فرمول (۷-۲) از فرمول (۹-۲) استفاده کرد.

### مثال ۱-۲

تغییر شکل میله فولادی نشان داده شده در شکل ۲۳-۲ تحت بارهای داده شده بیاید. ( $E = 200 \text{ GPa}$ ).

آزمایش بر روی نمونه های آزمایشی شفت ها، فنرها و سایر اجزایی که گسیخته شدن نشان داد که گسیختگی ابتدا با یک ترک میکروسکوپی، یا نقص مشابه آن، شروع می شود و در هر بارگذاری کمی بزرگتر می شود. در بارگذاری های متوالی، این ترک در ماده پیش می رود تا اینکه گسیختگی روی می دهد. چون گسیختگی ناشی از خستگی می تواند در هر ترک یا نقص شروع شود، شرایط در سطح یک نمونه تأثیر مهمی بر حد دوام دارد. حد دوام نمونه های ماشین کاری و پرداخت شده بیشتر از حد دوام نمونه های نورد شده، آهنگری شده، یا خورده شده است. در کاربردهای داخل آب دریا، یا در سایر کاربردهایی که احتمال خوردنی وجود دارد، حد دوام ممکن است تا ۱۰٪ کاهش باید.

۸-۲ تغییر شکل عضوها تحت بارگذاری محوری میله همگن  $BC$  به طول  $L$  با مساحت مقطع عرضی یکنواخت  $A$  تحت بار محوری مرکزی  $P$  قرار دارد (شکل ۲۲-۲). اگر تنش محوری از حد تناسب ماده فراتر نرود، می توان قانون هوک را به کار برد:

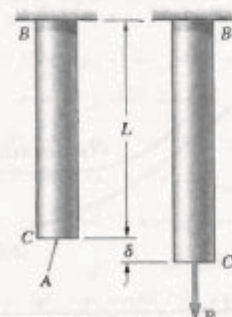
$$\sigma = E \epsilon \quad (4-2)$$

در نتیجه،

$$\epsilon = \frac{\sigma}{E} = \frac{P}{AE} \quad (5-2)$$

طبق قسمت ۲-۲،  $\epsilon = \delta/L$ . در نتیجه،

$$\delta = \epsilon L \quad (6-2)$$

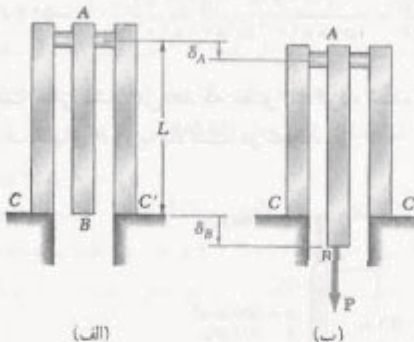


شکل ۲۲-۲

میله  $BC$  در شکل ۲۴-۲، که از آن برای استنتاج فرمول استفاده شد، و میله  $AD$  در شکل ۲۴-۲ (الف) به کار رفت، هر دو از یک سر به تکیه گاه ثابت متصل‌اند. از آینه رو، تغییرشکل ۵ میله با تغییر مکان سر آزاد آن برابر بود. ولی اگر هر دو سر میله حرکت کنند، تغییرشکل میله با تغییر مکان نسبی یک سر میله نسبت به سر دیگر سنجیده می‌شود. مثلاً، مجموعه نشان داده شده در شکل ۲۴-۲ (الف) را در نظر بگیرید. این مجموعه از سه میله الاستیک به طول  $L$ ، که با مفصل صلب  $A$  به هم متصل‌اند، تشکیل شده است. اگر بار  $P$  بر  $B$  وارد شود (شکل ۲۴-۲ ب)، هر یک از سه میله تغییرشکل می‌دهند. چون میله‌های  $AC$  و  $C'D$  در  $C$  و  $C'$  به تکیه گاه‌های ثابت متصل شده‌اند، تغییرشکل مشترک آنها با تغییر مکان نقطه  $A$  اندازه‌گیری می‌شود. از طرف دیگر، چون هر دو سر میله  $AB$  حرکت می‌کنند، تغییرشکل  $AB$  با اختلاف تغییرمکان‌های  $AB$  و  $B$ ، یعنی با تغییر مکان  $B$  نسبت به  $A$ ،  $\delta_B$  و  $\delta_A$  سنجیده می‌شود. اگر این تغییر مکان نسبی را با  $\delta_{B/A}$  نشان دهیم،

$$\delta_{B/A} = \delta_B - \delta_A = \frac{PL}{AE} \quad (10-2)$$

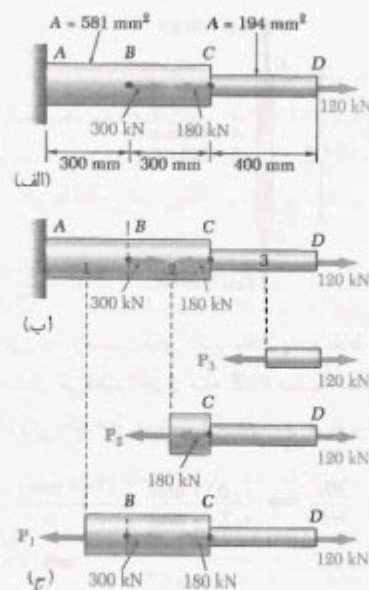
که در آن  $A$  مساحت مقطع عرضی  $AB$  و  $E$  مدول الاستیستیته آن است.



شکل ۲۴-۲

## مسئله نمونه ۱-۲

میله صلب  $BDE$  توسط دو بازوی  $AB$  و  $CD$  نگه داشته شده است. بازوی  $AB$  از آلومینیم ( $E = 70 \text{ GPa}$ ) و دارای مساحت مقطع عرضی  $50 \times 10^{-3} \text{ mm}^2$  است؛ بازوی  $CD$  از فولاد ( $E = 200 \text{ GPa}$ ) و با مساحت مقطع عرضی  $100 \times 10^{-3} \text{ mm}^2$  است. برای تحریری  $30 \text{ kN}$  قرارده، مطالعه سیستم اتحادی نقاط (الف)، (ب) و (ج) را در شکل ۲۴-۲ نشان دهد.



شکل ۲۴-۲

میله را به سه قسم نشان داده شده در شکل ۲۴-۲ ب تقسیم می‌کیم و می‌نویسیم:

$$L_1 = L_\tau = 300 \text{ mm} \quad L_\tau = 400 \text{ mm} \\ A_1 = A_\tau = 581 \text{ mm}^2 \quad A_\tau = 194 \text{ mm}^2$$

برای تعیین نیروهای داخلی  $P_1$ ،  $P_\tau$ ،  $P_r$  و  $P_\tau$ ، هر یک از این سه قسم را مقطعی می‌زنیم و نمودار آزاد قسمتی از میله را که در سمت راست آن مقطع قرار دارد رسم می‌کنیم (شکل ۲۴-۲ ج). با توجه به تعادل این قسمت‌ها،

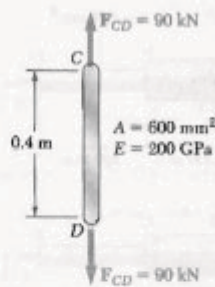
$$P_1 = 240 \text{ kN} = 240 \times 10^3 \text{ N}$$

$$P_\tau = -60 \text{ kN} = -60 \times 10^3 \text{ N}$$

$$P_r = 120 \text{ kN} = 120 \times 10^3 \text{ N}$$

با جایگذاری در معادله (۱۰-۲)

$$\begin{aligned} \delta &= \sum_i \frac{P_i L_i}{A_i E_i} = \frac{1}{E} \left( \frac{P_1 L_1}{A_1} + \frac{P_\tau L_\tau}{A_\tau} + \frac{P_r L_\tau}{A_\tau} \right) \\ &= \frac{1}{70 \times 10^9} \left[ \frac{(240 \times 10^3)(0/3)}{581 \times 10^{-3}} \right. \\ &\quad \left. + \frac{(-60 \times 10^3)(0/3)}{581 \times 10^{-3}} + \frac{(120 \times 10^3)(0/4)}{194 \times 10^{-3}} \right] \\ &= \frac{-720 \times 10^3}{70 \times 10^9} = 1/73 \times 10^{-3} \text{ m} = 1/73 \text{ mm} \end{aligned}$$



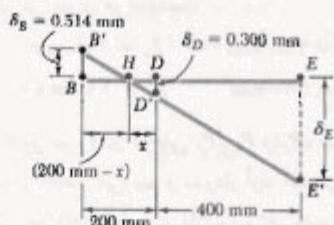
ج- انحراف  $E$ . وضعیت‌های تغییر مکان یافته نقاط  $D$  و  $B'$  را با  $B'$  و  $D'$  نشان می‌دهیم. چون میله  $BDE$  صلب است، نقاط  $E'$  و  $D'$  روی یک خط مستقیم قرار دارند و می‌نویسیم:

$$\frac{BB'}{DD'} = \frac{BH}{HD} \Rightarrow \frac{0.514 \text{ mm}}{0.700 \text{ mm}} = \frac{(100 \text{ mm}) - x}{x}$$

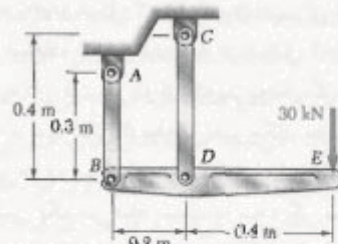
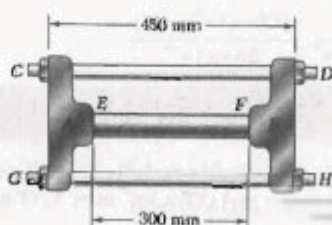
$$\Rightarrow x = 57.1 \text{ mm} \quad \blacktriangleleft$$

$$\frac{EE'}{DD'} = \frac{HE}{HD} \Rightarrow \frac{\delta_E}{0.700 \text{ mm}} = \frac{(100 \text{ mm}) + (57.1 \text{ mm})}{57.1 \text{ mm}}$$

$$\Rightarrow \delta_E = 1.928 \text{ mm} \downarrow \blacktriangleleft$$



مسئله نمونه ۲-۲  
قطعات ریختگی  $A$  و  $B$  ترسته دو پیچ و مهره فولادی  $CD$  و  $GH$  به قطر  $18 \text{ mm}$  به هم متصل‌اند و با دوسر میله آلمینیومی به قطر  $38 \text{ mm}$   $EF$  تمسّک دارند. پیچ‌ها نک راهه و با گام  $2.0 \text{ mm}$  هستند. پس از اینکه پیچ و مهره‌ها محکم می‌شوند،  $E$  مهره‌های  $H$  و  $D$  به اندازه یک چهارم دور سفت می‌شوند. اگر  $E$  برای فولاد  $200 \text{ GPa}$  و برای آلمینیوم  $70 \text{ GPa}$  باشد، نش قائم در میله را بیابید.



حل

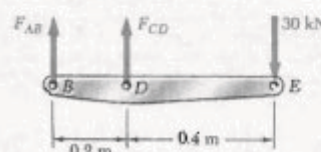
نمودار آزاد: میله  $BDE$

$$\sum M_B = 0 : -(30 \text{ kN})(0.7 \text{ m}) + F_{CD}(0.2 \text{ m}) = 0$$

$$F_{CD} = +90 \text{ kN} \quad F_{CD} = 90 \text{ kN} \quad (\text{کشی})$$

$$\sum M_D = 0 : -(30 \text{ kN})(0.7 \text{ m}) - F_{AB}(0.2 \text{ m}) = 0$$

$$F_{AB} = -90 \text{ kN} \quad F_{AB} = 90 \text{ kN} \quad (\text{فتاری})$$



الف- انحراف  $\delta$ . چون نیروی داخلي در بازوی  $AB$  فشاری

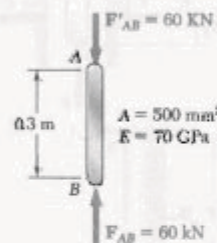
$$P = -90 \text{ kN}$$

$$\delta_B = \frac{PL}{AE} = \frac{(-90 \times 10^3 \text{ N})(0.2 \text{ m})}{(500 \times 10^{-6} \text{ m}^2)(70 \times 10^9 \text{ Pa})} = -0.14 \times 10^{-3} \text{ m}$$

علامت منفی نشان می‌دهد که عضو  $AB$  کوتاه شده است.

لذا، انحراف انتهای  $B$  را به بالاست. در نتیجه،

$$\delta_B = 0.14 \text{ mm} \uparrow \blacktriangleleft$$



ب- انحراف  $D$ . در میله  $CD$ ,  $P = 90 \text{ kN}$ , در نتیجه،

$$\delta_D = \frac{PL}{AE} = \frac{(90 \times 10^3 \text{ N})(0.4 \text{ m})}{(900 \times 10^{-6} \text{ m}^2)(70 \times 10^9 \text{ Pa})}$$

$$\delta_D = 0.300 \text{ mm} \uparrow \blacktriangleleft$$

$$= 300 \times 10^{-3} \text{ m} \quad \delta_D = 0.300 \text{ mm} \downarrow \blacktriangleleft$$

RNUEB



حل

## تفیر شکل ها

پیچ های  $GH$  و  $CD$ . سفت کردن مهره ها باعث ایجاد کشش در پیچ های شود. به علت تقارن، هر دو پیچ تحت نیروی داخلی یکسان  $P_b$  قرار می گیرند و تغیر شکل یکسان  $\delta_b$  را می دهند:

$$\begin{aligned}\delta_b &= + \frac{P_b L_b}{A_b E_b} = + \frac{P_b (450 \text{ mm})}{\frac{1}{4} \pi (18 \text{ mm})^2 (200 \times 10^9 \text{ N/mm}^2)} \\ &= + 1.842 \times 10^{-5} P_b\end{aligned}\quad (1)$$

نیرو در پیچ ها و در میله  
با جایگذاری  $P_r$  از  $(\delta)$  در  $(\Delta)$

$$0.625 \text{ mm} = 1.842 \times 10^{-5} P_b + 2.779 \times 10^{-5} (2P_b)$$

$$\Rightarrow P_b = 2A_r / 1 \times 10^9 \text{ N} = 2A_r / 1 \text{ kN}$$

$$P_r = 2P_b = 2(2A_r / 1 \text{ kN}) = 4A_r / 2 \text{ kN}$$

تنش در میله

$$\sigma_r = \frac{P_r}{A_r} = \frac{4A_r / 2 \text{ kN}}{\frac{1}{4} \pi (18 \text{ mm})^2} \Rightarrow \sigma_r = 5.7 / 19 \text{ MPa} \quad \blacktriangleleft$$

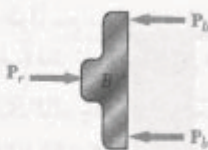
## مسائل

۱-۲ یک میله فولادی به طول  $2.2 \text{ m}$  است و تحت بار نساید بیش از  $1/2 \text{ mm}$   $8.5 \text{ kN}$ . مطلوب است: (الف) کمترین قطر میله، (ب) تنش قائم متانظر تحت بار  $8.5 \text{ kN}$ .

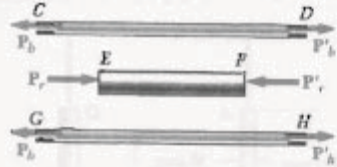
۲-۲ یک سیم فولادی به طول  $6 \text{ m}$  تحت نیروی کششی  $48 \text{ mm}$  است. اگر  $E = 200 \text{ GPa}$  و افزایش طول میله  $6 \text{ kN}$  باشد، مطلوب است: (الف) کمترین قطر سیم، (ب) تنش قائم متانظر.

۳-۲ یک میله کترل از جنس برنج زرد تحت کشش  $2.2 \text{ kN}$  نساید بیش از  $3 \text{ mm}$  کشیده شود. اگر  $E = 165 \text{ GPa}$  و ماکریسم تنش قائم بخار  $180 \text{ MPa}$  باشد، مطلوب است: (الف) کمترین قطر میله، (ب) ماکریسم طول متانظر میله.

۴-۲ دو علامت سنجه دقیقاً به فاصله  $250 \text{ mm}$  روی یک میله آلمینیمی، با  $E = 73 \text{ GPa}$  و با استقامت نهایی  $120 \text{ MPa}$  و به قطر  $12 \text{ mm}$  قرار دارند. اگر فاصله بین این دو علامت پس از اعمال نیرو  $250, 28 \text{ mm}$  باشد، مطلوب است: (الف) تنش در میله، (ب) ضربت اطمینان.



$$\begin{aligned}\delta_r &= - \frac{P_r L_r}{A_r E_r} = - \frac{P_r (700 \text{ mm})}{\frac{1}{4} \pi (18 \text{ mm})^2 (200 \times 10^9 \text{ N/mm}^2)} \\ &= - 2.779 \times 10^{-5} P_r\end{aligned}\quad (2)$$



تفیر شکل  $D$  نسبت به  $B$ . سفت کردن مهره ها به اندازه یک چهارم دور باعث می شود دو سر  $D$  و  $H$  تغیر مکان  $\frac{1}{4}$  را نسبت به قطعه  $B$  بدنهند. با در نظر گرفتن سر  $D$ ، می توانیم:

$$\delta_{DB} = \frac{1}{4} (2.5 \text{ mm}) = 0.625 \text{ mm} \quad (3)$$

اما  $\delta_B = \delta_D - \delta_{DB}$ ، که در آن  $\delta_B$  و  $\delta_D$  تغیر مکان های  $B$  و  $D$  هستند. اگر فرض کیم قطعه  $A$  در یک مکان ثابت نگه داشته می شود و مهره های  $D$  و  $H$  سفت می شوند، این تغیر مکان ها، به ترتیب، با تغیر شکل پیچ ها و میله برابرند. بنابراین،

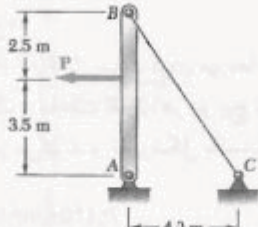
$$\delta_{DH} = \delta_b - \delta_r \quad (4)$$

با جایگذاری از (۱)، (۲) و (۳) در (۴)،

$$0.625 \text{ mm} = 1.842 \times 10^{-5} P_b + 2.779 \times 10^{-5} P_r \quad (5)$$

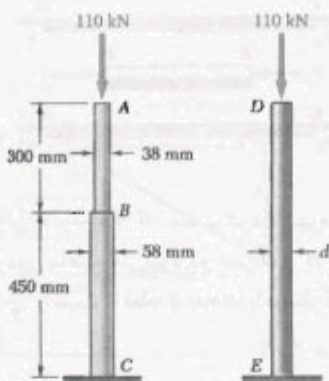
جسم آزاد: قطعه  $B$

$$\sum F = 0 : P_r - 2P_b = 0 \Rightarrow P_r = 2P_b \quad (6)$$



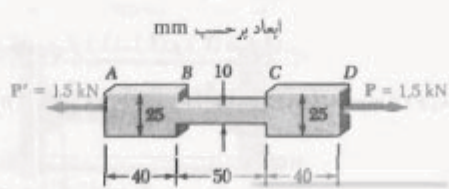
شکل ۱۳-۲

۱۴-۲ میله آلمینیومی  $ABC$  ( $E = 70 \text{ GPa}$ )، از دو قسمت  $AB$  و  $BC$  تشکیل شده است و می خواهیم آن را با میله فولادی استوانه ای  $DE$  ( $E = 200 \text{ GPa}$ ) با همان طول کلی جایگزین کنیم. تحت بار یکسان، تغییر شکل میله فولادی باید بیشتر از تغییر شکل میله آلمینیومی باشد و تنش مجاز آن  $65 \text{ MPa}$  است. قطر میله فولادی را باید.



شکل ۱۴-۲م

۱۵-۲ قطعه نشان داده شده از ورقی به ضخامت  $5 \text{ mm}$  ساخته شده است. برای  $E = 70 \text{ GPa}$ ، مطلوب است: (الف) تغییر شکل کلی قطعه، (ب) تغییر شکل قسمت مرکزی  $BC$ .



شکل ۱۵-۲م

۱۵-۲ یک نخ نایلونی تحت نیروی کششی  $8 \text{ N}$  قرار دارد. اگر  $E = 5 \text{ GPa}$  و طول نخ به اندازه  $1 \text{ m}$  درصد افزایش یابد، مطلوب است: (الف) قطر نخ، (ب) تنش در نخ.

۱۶-۲ از یک لوله چدنی برای تحمل بار فشاری استفاده می شود. اگر  $E = 64 \text{ GPa}$  و ماکریم تغییر مجاز طول لوله  $25\%$  باشد، مطلوب است: (الف) ماکریم تنش قائم در لوله، (ب) مینیمم ضخامت دیواره لوله برای بار  $7.2 \text{ kN}$  در صورتی که قطر لوله  $50 \text{ mm}$  باشد.

۱۷-۲ سیم فولادی به طول  $9 \text{ mm}$  و به قطر  $6 \text{ mm}$  تحت نیروی کششی  $P$  به اندازه  $11 \text{ mm}$  افزایش طول می دهد. اگر  $E = 200 \text{ GPa}$ ، مطلوب است: (الف) مقدار  $P$ ، (ب) تنش قائم منتظر در سیم.

۱۸-۲ سیم چهارگوش آلمینیومی تحت بار کششی نباید بیش از  $1/4 \text{ mm}$  افزایش طول دهد. اگر  $E = 70 \text{ GPa}$  و تنش مجاز  $E = 120 \text{ MPa}$  باشد، مطلوب است: (الف) ماکریم طول مجاز سیم، (ب) ابعاد موردنیاز مقطع عرضی برای بار کششی  $2.8 \text{ kN}$ .

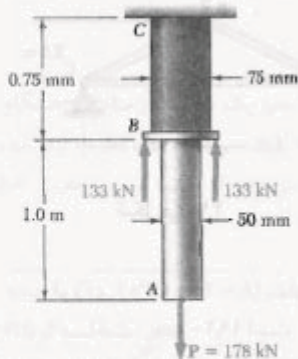
۱۹-۲ بار کششی  $9 \text{ kN}$  بر یک سیم فولادی، به طول  $50 \text{ m}$  و با  $E = 200 \text{ GPa}$ ، وارد می شود. اگر تنش قائم در سیم نباید از  $150 \text{ MPa}$  و افزایش طول آن نباید از  $25 \text{ mm}$  بیشتر شود، کمترین قطر سیم را باید.

۲۰-۲ قطعه ای به طول  $250 \text{ mm}$  و با مقطع عرضی  $50 \times 40 \text{ mm}$  برای تحمل بار فشاری مرکزی  $P$  به کار می روند. این قطعه از برنز، با  $E = 95 \text{ GPa}$ ، ساخته شده است. اگر تنش قائم در قطعه نباید از  $80 \text{ MPa}$  و کاهش طول آن نباید از  $12\%$  طول او لیه اش بیشتر شود، ماکریم باری را که می توان بر قطعه وارد کرد باید.

۲۱-۲ میله آلمینیومی به طول  $15 \text{ mm}$  تحت بار محوری  $3 \text{ kN}$  نباید بیش از  $1 \text{ mm}$  افزایش طول دهد و تنش قائم در آن نباید بیش از  $40 \text{ MPa}$  باشد. اگر  $E = 70 \text{ GPa}$ ، قطر موردنیاز میله را باید.

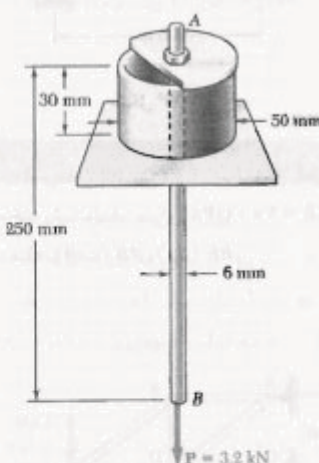
۲۲-۲ نخ نایلونی تحت بار  $10 \text{ N}$  قرار دارد.  $E = 3.5 \text{ GPa}$  و ماکریم تنش قائم مجاز  $42 \text{ MPa}$  است. افزایش طول نخ نباید بیش از  $1\%$  باشد. قطر نخ را باید.

۲۳-۲ کابل  $BC$  به قطر  $4 \text{ mm}$  از فولاد،  $E = 200 \text{ GPa}$  ساخته شده است. اگر ماکریم تنش در کابل نباید از  $140 \text{ MPa}$  و افزایش طول کابل نباید از  $6 \text{ mm}$  بیشتر شود، ماکریم بار  $P$  را که می توان وارد کرد باید.



شکل م ۱۹-۲

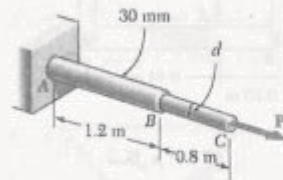
۲۰-۲ استوانه توخالی با ضخامت دیواره ۳ mm از جنس پلی استیرن ( $E = ۳ \text{ GPa}$ )، و رق دایبرهای (که فقط قسمتی از آن نشان داده شده است) میله فولادی ( $E = ۲۰۰ \text{ GPa}$ ) به قطر ۶ mm را نگه داشته‌اند. برای  $P = ۲۷۲ \text{ kN}$ ، مطلوب است: (الف) افزایش طول  $AB$ ، (ب) انحراف نقطه  $B$ ، (ج) تنش قائم متوسط در میله  $AB$ .



شکل م ۲۰-۲

۲۱-۲ برای خربای فولادی ( $E = ۲۰۰ \text{ GPa}$ ) و بارگذاری نشان داده شده، مطلوب است تغییر شکل عضوی های  $AD$  و  $AB$  در صورتی که مساحت مقطع عرضی آنها، به ترتیب،  $۲۴۰۰ \text{ mm}^2$  و  $۱۸۰۰ \text{ mm}^2$  باشد.

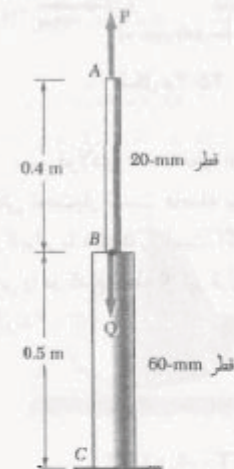
۱۶-۲ بار محوری با مقدار  $P = ۵۸ \text{ kN}$  بر انتهای  $C$  میله برنجی  $ABC$  وارد می‌شود. اگر  $E = ۱۰۵ \text{ GPa}$ ، مطلوب است قطر قسمت  $BC$  که به لزای آن انحراف نقطه  $C$  برابر با  $۳ \text{ mm}$  باشد.



شکل م ۱۶-۲

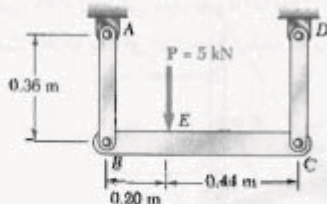
۱۷-۲ میله  $ABC$  از آلومینیم ( $E = ۷۰ \text{ GPa}$ ) ساخته شده است. اگر  $P = ۶ \text{ kN}$  و  $Q = ۴۲ \text{ kN}$ ، مطلوب است: (الف) مقدار  $Q$  به طوری که انحراف نقطه  $A$  صفر باشد، (ب) انحراف نقطه  $B$ .

۱۸-۲ میله  $ABC$  از آلومینیوم ( $E = ۷۰ \text{ GPa}$ ) ساخته شده است. برای  $P = ۶ \text{ kN}$  و  $Q = ۴۲ \text{ kN}$ ، مطلوب است: (الف) انحراف  $A$ ، (ب) انحراف  $B$ .



شکل م ۱۷-۲ و م ۱۸-۲

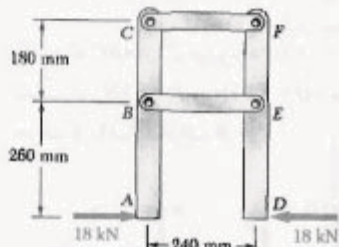
۱۹-۲ دو میله استوانه‌ای در  $B$  بهم متصل شده‌اند. میله  $AB$  از فولاد ( $E = ۲۰۰ \text{ GPa}$ ) و از برنج ( $E = ۱۰۵ \text{ GPa}$ ) از  $BC$  است. مطلوب است: (الف) تغییر شکل کای میله مرکز (ب) انحراف نقطه  $B$ .



شکل ۲۴-۲م

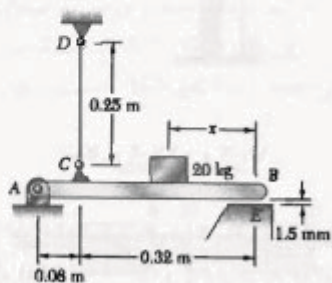
۲۵-۲ عضوهای  $ABC$  و  $DEF$  توسط عضوهای فولادی مهار قطعی  $BD$  با مساحت  $1920 \text{ mm}^2$  است. اگر تغییر طول عضو  $BD$  نباید از  $1/6 \text{ mm}$  بیشتر شود، بیشترین بار مجاز  $P$  را بیابید.

طول: (الف) عضو  $BE$ ، (ب) عضو  $CF$

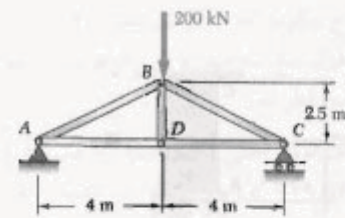


شکل ۲۵-۲م

۲۶-۲ سیم فولادی  $CD$  به قطر  $2 \text{ mm}$  طوری تنظیم شده است که وقتی تحت بار نیست فاصله بین سر  $B$  از تیر با نقطه تماس  $E$  برابر با  $1.5 \text{ mm}$  است. اگر  $E = 200 \text{ GPa}$ ، قطعه  $20 \text{ کیلوگرمی}$  را در کدام نقطه از تیر قرار دهیم تا نقاط  $B$  و  $E$  با هم تماس گیرند؟

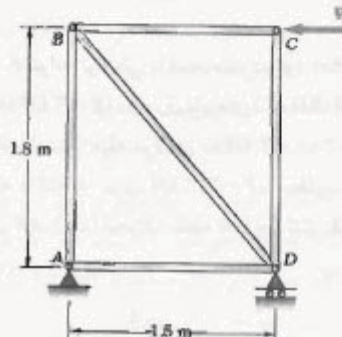


شکل ۲۶-۲م



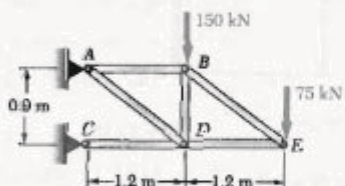
شکل ۲۱-۲م

۲۲-۲ قاب فولادی ( $E = 200 \text{ GPa}$ ) نشان داده شده دارای مهار قطعی  $BD$  با مساحت  $1920 \text{ mm}^2$  است. اگر تغییر طول عضو  $BD$  نباید از  $1/6 \text{ mm}$  بیشتر شود، بیشترین بار مجاز  $P$  را بیابید.



شکل ۲۲-۲م

۲۳-۲ عضوهای  $AB$  و  $BE$  از میله‌های فولادی به قطعه  $25 \text{ mm}^2$  ساخته شده‌اند. برای  $E = 200 \text{ GPa}$ ، مطلوبت افزایش طول میله: (الف)  $AB$ ، (ب)  $BE$ .



شکل ۲۳-۲م

۲۴-۲ هر یک از بازوهای  $AB$  و  $CD$  از آلومینیم ( $E = 75 \text{ GPa}$ ) ساخته شده است و دلای مساحت مقطع عرضی  $125 \text{ mm}^2$  است. اگر این بازوهای عضو صلب  $BC$  را نگاه دارند، انحراف نقطه  $E$  را بیابید.

۳۱-۲ اگر "کرنش مهندسی" در یک نمونه کشش را با نشان دهیم، ثابت کنید که کرنش حقیقی عبارت است از  $\epsilon_t = \ln(1 + e)$

۳۲-۲ حجم یک نمونه آزمایشی هنگام تغییر شکل پلاستیک اساساً ثابت می‌ماند. اگر قطر اولیه نمونه  $d_1$  باشد، نشان دهید که وقتی قطر  $d$  است، کرنش حقیقی عبارت است از  $\epsilon_t = 2 \ln(d_1/d)$

### ۹-۲ مسائل نامعین استاتیکی

در قسمت قبل، برای تعیین نیروهای داخلی در قسمت‌های مختلف عضوی که تحت بارگذاری قرار داشت از نمودار آزاد و معادله‌های تعادل استفاده می‌کردیم. سپس، با جایگذاری مقادیر حاصل در معادله (۸-۲) یا (۹-۲)، تغییر شکل عضو را بدست من آوردیم.

ولی، در بسیاری از مسائل نمی‌توان به صورت بالا عمل کرد. در این مسائل، معادله‌های تعادل را باید با رابطه‌هایی که شامل تغییر شکل‌ها هستند تکمیل کرد؛ این تغییر شکل‌ها از هندسه مسئله تعیین می‌شوند. چون صرفاً با استاتیک نمی‌توان واکنش‌ها یا نیروهای داخلی را پیدا کرد، این نوع مسائل را نامعین استاتیکی می‌گویند.

#### مثال ۲-۲

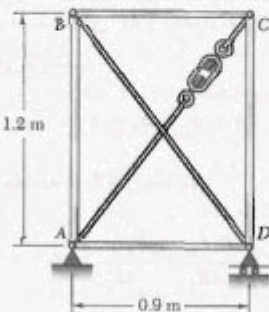
میله‌ای به طول  $L$ ، مساحت مقطع عرضی  $A$ ، و مدول الاستیسیته  $E$  در داخل لوله‌ای به طول  $L$  و با مساحت مقطع عرضی  $A_1$  و مدول الاستیسیته  $E_1$  قرار دارد (شکل ۲۵-۲). اگر نیروی  $P$  بر صفحه صلب انتهایی وارد شود، تغییر شکل میله و لوله را بیاید.

نیروهای محوری در میله و لوله را، به ترتیب، با  $P_1$  و  $P_2$  نشان می‌دهیم و نمودار آزاد سه جزء نشان داده شده را در میان کنیم (شکل ۲۵-۲ ب، ج، د). در نمودار آخر،

$$P_1 + P_2 = P \quad (11-2)$$

با این معادله نمی‌توان دو نیروی داخلی مجهول  $P_1$  و  $P_2$  را حل کرده و مسئله نامعین استاتیکی است.

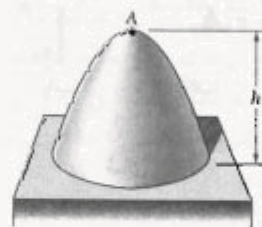
۲۷-۲ عضوهای  $AB$  و  $CD$  از نوع میله‌های فولادی به قطر  $30\text{ mm}$  و عضوهای  $BC$  و  $AD$  از نوع میله‌های فولادی به قطر  $22\text{ mm}$  هستند. وقتی بست قورباغه‌ای سفت می‌شود، عضو قطر  $AC$  تحت کشش قرار می‌گیرد. اگر  $E = 200\text{ GPa}$  مطلوب است بیشترین کشش مجاز در  $AC$  به طوری که تغییر شکل عضوهای  $AB$  و  $CD$  از  $1/10\text{ mm}$  بیشتر نشود.



شکل M ۲۷-۲

۲۸-۲ برای سازه داده شده در مسئله ۲۷-۲، مطلوب است: (الف) فاصله  $h$  به طوری که تغییر شکل عضوهای  $CD$ ،  $BC$ ،  $AB$  و  $AD$  برابر باشند، (ب) کشش متناظر در عضو  $AC$ .

۲۹-۲ انحراف رأس  $A$  مخروط همگن دوباری به ارتفاع  $h$ ، چگالی  $\rho$  و مدول الاستیسیته  $E$  را تحت تأثیر وزن مخروط بیاید.



شکل M ۲۹-۲

۳۰-۲ کابل همگنی به طول  $L$  و با مقطع عرضی پیکواخت از یک سر آویزان شده است. (الف) اگر چگالی کابل را با  $\rho$  و مدول الاستیسیته آن را با  $E$  نشان دهیم، افزایش طول کابل را بر اثر وزن آن بیاید. (ب) نشان دهید که اگر کابل افقی بود و نیرویی برابر با نصف وزنی بر هر سر آن وارد می‌شد، همان افزایش طول را می‌دارد.

نمودار آزاد میله را در میکم (شکل ۲۶-۲ب) و معادله تعادل را می‌نویسیم:

$$R_A + R_B = P \quad (14-2)$$

این معادله شامل دو واکنش مجهول  $R_A$  و  $R_B$  است. لذا، مستانه نامعین استاتیکی است.

طبق شکل هندسی، افزایش طول کلی میله صفر است. افزایش طول قسمت‌های  $AC$  و  $BC$  را به ترتیب، با  $\delta_1$  و  $\delta_2$  نشان می‌دهیم و می‌نویسیم:

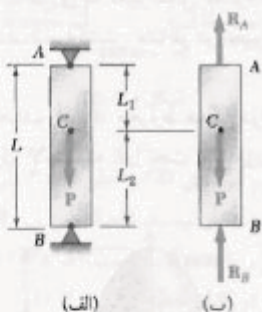
$$\delta = \delta_1 + \delta_2 = 0$$

با استفاده از معادله ۷-۲ و رابطه بالا،

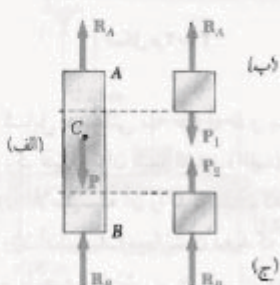
$$\delta = -\frac{P_1 L_1}{AE} + \frac{P_2 L_2}{AE} = 0 \quad (15-2)$$

از نمودار آزاد قسمت‌های ب و ج شکل ۲۷-۲، به ترتیب،  $P_1 = -R_B$  و  $P_2 = R_A$  با جایگذاری این مقادیر در معادله (۱۵-۲)، نتیجه می‌شود:

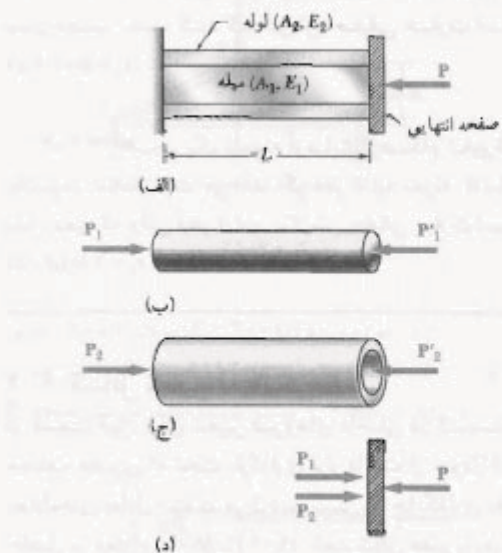
$$R_A L_1 - R_B L_2 = 0 \quad (16-2)$$



شکل ۲۶-۲



شکل ۲۷-۲



شکل ۲۵-۲

باتوجه به شکل هندسی، تغییرشکل‌های میله و لوله با هم برابرند. طبق معادله (۷-۲)،

$$\delta_1 = \frac{P_1 L_1}{A_1 E_1} \quad \delta_2 = \frac{P_2 L_2}{A_2 E_2} \quad (12-2)$$

این دو تغییرشکل را مساوی هم قرار می‌دهیم:

$$\frac{P_1}{A_1 E_1} = \frac{P_2}{A_2 E_2} \quad (13-2)$$

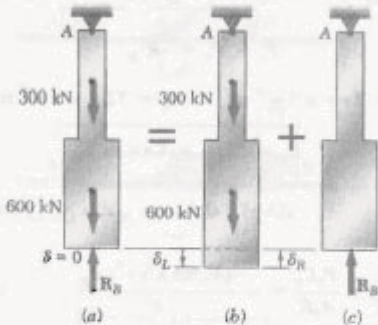
با حل معادله‌های (۱۱-۲) و (۱۳-۲)

$$P_1 = \frac{A_1 E_1 P}{A_1 E_1 + A_2 E_2} \quad P_2 = \frac{A_2 E_2 P}{A_1 E_1 + A_2 E_2}$$

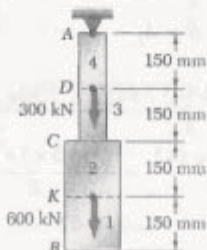
هر یک از معادله‌های (۱۲-۲) را برای تعیین تغییرشکل مشترک میله و لوله می‌توان به کار برد.

### مثال ۲۳-۲

میله  $AB$  به طول  $L$  و با مقطع عرضی یکنواخت، قبل از بارگذاری به تکیه‌گاههای صلب  $A$  و  $B$  متصل است. تنش در قسمت‌های  $AC$  و  $BC$  را بر اثر بار  $P$  که در نقطه  $C$  وارد شده است بباید (شکل ۲۶-۲الف).



شکل ۲۹-۲



شکل ۳۰-۲

میله را به چهار قسمت تقسیم می‌کنیم (شکل ۳۰-۲)، و تغییرشکل  $\delta_L$  را از معادله (۸-۲) می‌یابیم. با استفاده از مثال ۱-۲، می‌توانیم:

$$P_1 = 0 \quad P_T = P_{\tau} = 900 \times 10^7 \text{ N} \quad P_s = 900 \times 10^7 \text{ N}$$

$$A_1 = A_T = 400 \times 10^{-3} \text{ m}^2 \quad A_T = A_s = 250 \times 10^{-3} \text{ m}^2$$

$$L_1 = L_T = L_s = 0.15 \text{ m}$$

با جایگذاری این مقادیر در معادله (۸-۲)،

$$\begin{aligned} \delta_L &= \sum_i \frac{P_i L_i}{A_i E} = \left( 0 + \frac{900 \times 10^7 \text{ N}}{400 \times 10^{-3} \text{ m}^2} \right. \\ &\quad \left. + \frac{900 \times 10^7 \text{ N}}{250 \times 10^{-3} \text{ m}^2} + \frac{900 \times 10^7 \text{ N}}{250 \times 10^{-3} \text{ m}^2} \right) \frac{0.15 \text{ m}}{E} \\ \Rightarrow \delta_L &= \frac{1.125 \times 10^4}{E} \end{aligned} \quad (1V-2)$$

در قسمت ۲-۱۳-۲ مربوط کل را که به موجب آن می‌توان با این روش

از ترکیب چند بار به دست آورده مورد بحث قرار می‌دهیم.

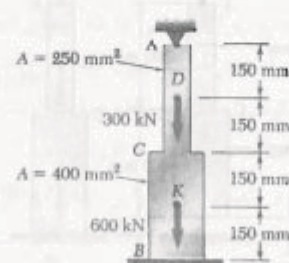
با حل هم‌مان معادله‌های (۱۴-۲) و (۱۶-۲) و  $R_A = PL_A/L$ ،  $R_B = PL_B/L$ ، تنش‌های خواسته شده در  $AC$  و  $BC$  به ترتیب، از تقسیم  $P_s = R_B = -R_A$  بر مساحت مقطع عرضی میله بدست می‌آیند:

$$\sigma_t = \frac{PL_A}{AL} \quad \sigma_s = -\frac{PL_B}{AL}$$

روش برهم‌نهش (ترکیب). اگر تعداد تکیه‌گاه‌های سازه‌ای بیش از تعداد لازم برای حفظ تعادل سازه باشد، سازه نامعین استاتیکی است. در این حالت، تعداد واکنش‌های مجهول بیش از تعداد معادله‌های تعادل است. اغلب، یکی از این واکنش‌ها را زائدگرفته و تکیه‌گاه متناظر آن را حذف می‌کنیم (واکنش زائد را می‌توان بار مجهولی دانست که، همراه با سایر بارها، تغییرشکل‌های سازگار با قیدها را ایجاد می‌کند). سپس، تغییرشکل‌های حاصل از بارهای داده شده و حاصل از واکنش زائد را به طور جداگانه در نظر گرفته، و با ترکیب این تغییرشکل‌ها به نتیجه دلخواه می‌رسیم.

#### مثال ۴-۲

در شکل ۲۸-۲، واکنش در  $A$  و  $B$  را بیابید. فرض کنید میله قبل از بارگذاری به هر دو تکیه‌گاه کاملاً متصل است. واکنش در  $B$  را زائد می‌گیریم و میله را از تکیه‌گاهش جدا می‌کنیم. حال، واکنش  $R_B$  را به عنوان بار مجهول می‌گیریم (شکل ۲۹-۲الف) و آن را از این شرایط بدست می‌آوریم که تغییرشکل میله صفر است. با در نظر گرفتن جداگانه تغییرشکل ناشی از بارهای داده شده ( $\delta_L$  شکل ۲۹-۲ب) و تغییرشکل ناشی از واکنش زائد  $R_B$  ( $\delta$  شکل ۲۹-۲ب)، مسئله را می‌توان حل کرد.



شکل ۲۸-۲

واکنش  $R_A$  در تکیه‌گاه فوقانی از نمودار آزاد میله (شکل ۳۲-۲) به دست می‌آید. می‌نویسیم:

$$+\uparrow \sum F_y = 0 : R_A - ۳۰۰ \text{ kN} - ۶۰۰ \text{ kN} + R_B = ۰$$

$$R_A = ۹۰۰ \text{ kN} - R_B = ۴۰۰ \text{ kN} - ۵۰۰ \text{ kN} = ۳۲۳ \text{ kN}$$

با تعیین واکنش‌ها، به سهولت می‌توان تنش و کرنش در میله را بدست آورد. باید توجه داشت که تغییرشکل کلی میله صفر است، ولی هر قسمت آن تحت بارگذاری و قیدهای داده شده تغییرشکل می‌دهد.

مثال ۲

مثال قبل را با این فرض حل کنید که، قبل از بارگذاری، فاصله  $E = ۲۰۰ \text{ GPa}$  وجود دارد (شکل ۳۳-۲). استفاده می‌کنیم. واکنش در  $B$  را از همان روش مثال ۲-۲ استفاده می‌کنیم. واکنش زائد  $\delta_R$  می‌گیریم، و با استفاده از بارهای داده شده و واکنش زائد  $R_B$ ، به ترتیب، تغییرشکل‌های  $\delta_L$  و  $\delta_R$  را می‌یابیم. در این حالت، تغییرشکل کلی صفر نیست و  $\delta = ۴,۵ \text{ mm}$ . بنابراین،

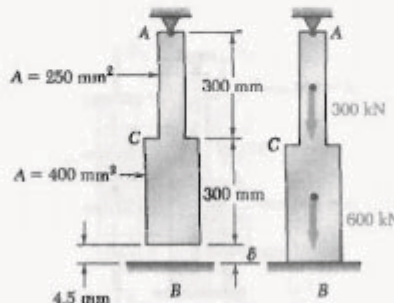
$$\delta = \delta_L + \delta_R = ۴,۵ \times ۱۰^{-۳} \text{ m} \quad (۲۰-۲)$$

با جایگذاری  $\delta_L$  و  $\delta_R$  از (۱۷-۲) و (۱۸-۲) در (۲۰-۲) و با  $E = ۲۰۰ \text{ GPa} = ۲۰۰ \times ۱۰^۹ \text{ Pa}$  توجه به اینکه

$$\delta = \frac{۱/۱۲۵ \times ۱۰^{-۳}}{۲۰۰ \times ۱۰^۹} - \frac{(۱/۹۵ \times ۱۰^{-۳}) R_B}{۲۰۰ \times ۱۰^۹} = ۴,۵ \times ۱۰^{-۳} \text{ m}$$

درنتیجه،

$$R_B = ۱۱۵,۴ \times ۱۰^۷ \text{ N} = ۱۱۵,۴ \text{ kN}$$



شکل ۳۳-۲

حال، با در نظر گرفتن تغییرشکل ناشی از واکنش زائد  $R_B$  میله را به دو قسمت تقسیم می‌کنیم (شکل ۳۱-۲) و می‌نویسیم:

$$P_1 = P_2 = -R_B$$

$$A_1 = ۴۰۰ \times ۱۰^{-۴} \text{ m}^2 \quad A_2 = ۲۰۰ \times ۱۰^{-۴} \text{ m}^2$$

$$L_1 = L_2 = ۰,۳۰ \text{ m}$$

با جایگذاری این مقادیر در معادله (۸-۲)،

$$\delta_R = \frac{P_1 L_1}{A_1 E} + \frac{P_2 L_2}{A_2 E} = -\frac{(۱/۹۵ \times ۱۰^{-۳}) R_B}{E} \quad (۱۸-۲)$$

تغییرشکل کلی میله را مساوی صفر قرار می‌دهیم، و می‌نویسیم:

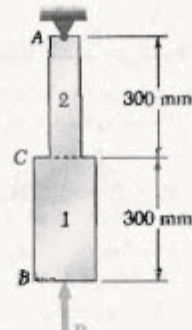
$$\delta = \delta_L + \delta_R = ۰ \quad (۱۹-۲)$$

با جایگذاری  $\delta_L$  و  $\delta_R$  از (۱۷-۲) و (۱۸-۲) در (۱۹-۲)،

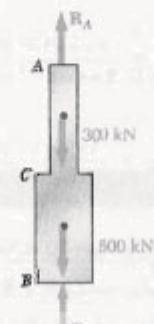
$$\delta = \frac{۱/۱۲۵ \times ۱۰^{-۳}}{E} - \frac{(۱/۹۵ \times ۱۰^{-۳}) R_B}{E} = ۰$$

درنتیجه،

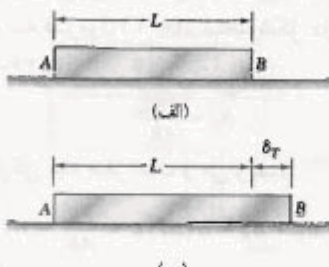
$$R_B = ۵۰۰ \times ۱۰^۷ \text{ N} = ۵۰۰ \text{ kN}$$



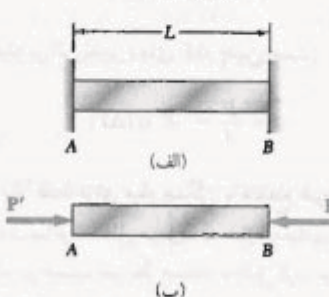
شکل ۳۱-۲



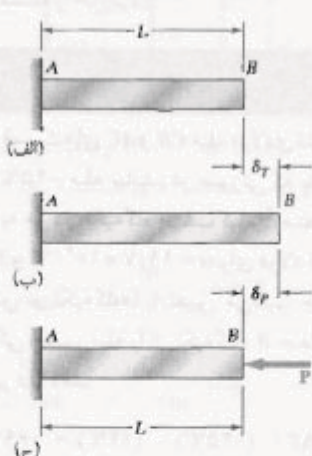
شکل ۳۲-۲



شکل ۳۴-۲



شکل ۳۵-۲



شکل ۳۶-۲

برای تعیین تنش  $\sigma$  ناشی از تغییر دمای  $\Delta T$  در این حالت، با یک مسئله زامبین استاتیکی روبرو هستیم. بنابراین، ابتدا باید واکنش در تکه گاهها را از شرط صفر بودن کشیدگی میله محاسبه کنیم. با استفاده از روش ترکیب، که در قسمت ۹-۲ توصیف شد، میله را از تکه گاه B جدا می‌کنیم (شکل ۳۶-۲(الف)) و می‌گذریم تا تنش تغییر دمای  $\Delta T$  آزادانه کشیده شود (شکل ۳۶-۲(ب)). طبق فرمول (۲۱-۲)، کشیدگی متعاقده چنین است:

$$\delta_T = \alpha(\Delta T)L.$$

از نمودار آزاد میله (شکل ۳۶-۲(۳)), واکنش در A را می‌یابیم:

$$\uparrow \sum F_y = 0 : R_A - ۳۰۰ \text{ kN} - ۵۰۰ \text{ kN} + R_B = 0$$

$$R_A = ۴۰۰ \text{ kN} - R_B = ۴۰۰ \text{ kN} = ۱۱۵,۴ \text{ kN} = ۷۸۰ \text{ kN}$$

## ۱۰-۲ مسائل مربوط به تغییرات دما

تا به حال، تمام عضوها و سازه‌ها هنگام بارگذاری در دمای ثابت بودند. حال می‌خواهیم اثر تغییر دما را بررسی کنیم.

میله همگن AB با مقطع عرضی یکنواخت و به طول L را روی یک سطح صاف افقی در نظر می‌گیریم (شکل ۳۶-۲(الف)). اگر دمای میله به اندازه  $\Delta T$  افزایش یابد، میله به اندازه  $\delta_T$  کشیده می‌شود (شکل ۳۶-۲(ب))، به طوری که:

$$\delta_T = \alpha(\Delta T)L \quad (۲۱-۲)$$

$\alpha$  مشخصه‌ای از ماده، به نام ضریب انبساط گرمایی، است.  $\delta_T$  و L بر حسب آزاد طول، و  $\alpha$  بر حسب  $\frac{1}{C}$  یا  $\frac{1}{P}$  بیان می‌شود.

تغییر شکل  $\delta_T$  با کرتش  $\delta_T/L = \epsilon_T$  همراه است. با توجه به معادله (۲۱-۲)،

$$\epsilon_T = \alpha \Delta T \quad (۲۲-۲)$$

و راکنش گرمایی می‌گویند. در حالت بالا، هیچ تنشی در ارتباط با گرنش  $\epsilon_T$  وجود ندارد زیرا میله آزادانه روی سطح قرار دارد. حال فرض می‌کنیم که میله AB بین دو تکه گاه ثابت به فاصله L از هم قرار دارد (شکل ۳۶-۲(الف)). ابتدا هیچ تنش یا گرنش وجود ندارد. اگر دمای میله را به اندازه  $\Delta T$  افزایش دهیم، میله کشیده نمی‌شود زیرا قبهایی در دو انتهای آن قرار دارند! لذا، کشیدگی  $\delta_T$  میله صفر است. چون میله دارای مقطع عرضی یکنواخت است، گرنش  $\epsilon_T$  در هر نقطه عبارت است از  $\epsilon_T = \delta_T/L$  و آنهم صفر است. ولی، پس از افزایش دما، تکه گاهها دونیروی مساوی و متضاد P و P' را بر میله وارد می‌کنند و مانع کشیدگی آن می‌شوند (شکل ۳۶-۲(ب)). لذا، تنش (بدون گرنش) در میله به وجود می‌آید.

حال، با اعمال نیروی مجهول  $R_B$  در انتهای  $B$  (شکل ۲-۳۸ج)، از معادله (۸-۲) برای تغییر شکل متناظر  $\delta_R$  استفاده می‌کنیم. مقادیر زیر را در معادله ۸-۲ جایگذاری می‌کنیم:

$$\begin{aligned} L_1 &= L_2 = ۳۰۰ \text{ mm} \\ A_1 &= ۷۵۰ \text{ mm}^2 & A_2 &= ۷۵۰ \text{ mm}^2 \\ P_1 &= P_2 = R_B & E &= ۲۰۰ \text{ GPa} \end{aligned}$$

در نتیجه،

$$\begin{aligned} \delta_R &= \frac{P_1 L_1}{A_1 E} + \frac{P_2 L_2}{A_2 E} \\ &= \frac{R_B}{۲۰۰ \text{ GPa}} \left( \frac{۳۰۰ \text{ mm}}{۷۵۰ \text{ mm}^2} + \frac{۳۰۰ \text{ mm}}{۷۵۰ \text{ mm}^2} \right) \\ &= (۰,۹۵ \times ۱۰^{-۶} \text{ mm/N}) R_B \end{aligned}$$

تغییر شکل کلی میله بر اثر وجود قیدها صفر است و می‌نویسیم:

$$\begin{aligned} \delta &= \delta_T + \delta_R = ۰ \\ &= -۰,۴۸۴ \text{ mm} + (۰,۹۵ \times ۱۰^{-۶} \text{ mm/N}) R_B = ۰ \end{aligned}$$

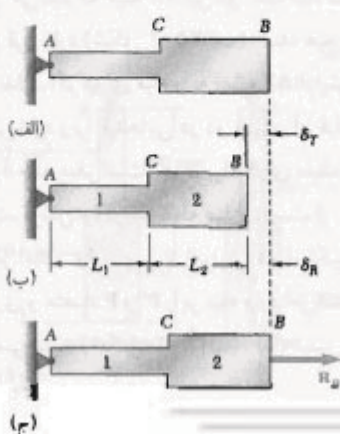
در نتیجه،

$$R_B = ۸۱,۳۴ \times ۱۰^۶ \text{ N} = ۸۱,۳۴ \text{ kN}$$

واکنش در  $A$  مساوی و متضاد با واکنش بالاست.

نیروها در دو قسمت میله عبارتند از:  
نیروها در دو قسمت های  $AC$  و  $CB$  میله عبارتند از:

$$\begin{aligned} \sigma_1 &= \frac{P_1}{A_1} = \frac{۸۱,۳۴ \text{ kN}}{۷۵۰ \text{ mm}^2} = ۱۱۴,۱ \text{ MPa} \\ \sigma_2 &= \frac{P_2}{A_2} = \frac{۸۱,۳۴ \text{ kN}}{۷۵۰ \text{ mm}^2} = ۱۰۵,۵ \text{ MPa} \end{aligned}$$



شکل ۲-۳۸

حال، با اعمال نیروی  $P$  به عنوان واکنش زائد در انتهای  $B$  و با توجه به فرمول (۷-۲)، تغییر شکل دوم را می‌باشیم (شکل ۲-۳۶ج):

$$\delta_P = \frac{PL}{AE}$$

تغییر شکل کل میله صفر است و می‌نویسیم:

$$\delta = \delta_T + \delta_P = \alpha(\Delta T)L + \frac{PL}{AE} = ۰$$

در نتیجه،

$$P = -AE\alpha(\Delta T)$$

تشدید در میله بر اثر تغییر دما  $\Delta T$  چنین است:

$$\sigma = \frac{P}{A} = -E\alpha(\Delta T) \quad (۳۶-۲)$$

نتیجه بالا فقط برای میله همگن با مقطع عرضی یکنواخت به کار می‌رود. سایر مسائل مربوط به سازه مقیدی را که تغییر دما می‌دهد باید برحسب شرایط مسئله تحلیل کرد. برای این منظور، از یک روش کلی می‌توان استفاده کرد؛ یعنی، تغییر شکل ناشی از تغییر دما و ناشی از واکنش زائد را به طور جداگانه محاسبه، و با ترکیب آنها مسئله را حل کرد.

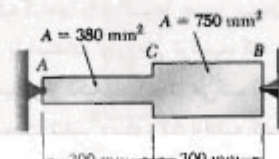
### مثال ۲-۳۶

مقدار تشدد در قسمت های  $AC$  و  $CB$  میله فولادی نشان داده شده را برای دمای  $-۴۵^\circ\text{C}$  -  $۲۴^\circ\text{C}$  میله بیابند، در صورتی که بدایم میله در دمای  $+۲۴^\circ\text{C}$  به هر دو نکیه گاه صلب کاملاً متصصل است. از  $E = ۲۰۰ \text{ GPa}$  و  $\alpha = ۱۱,۷ \times ۱۰^{-۶} / ^\circ\text{C}$  برای فولاد استفاده کنید. ابتدا واکنش در تکیه گاهها را تعیین می‌کنیم. چون مسئله نامعین استاتیکی است، میله را از نکیه گاه  $B$  جدا می‌کنیم و می‌گذاریم تغییر دما دهد:

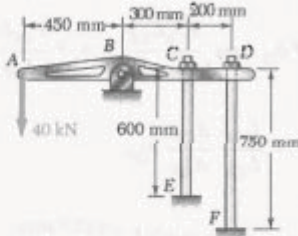
$$\Delta T = (-۴۵^\circ\text{C}) - (۲۴^\circ\text{C}) = -۶۹^\circ\text{C}$$

تغییر شکل متناظر (شکل ۲-۳۸-۲) چنین است:

$$\begin{aligned} \delta_T &= \alpha(\Delta T)L = (۱۱,۷ \times ۱۰^{-۶} / ^\circ\text{C})(-۶۹^\circ\text{C})(۶۰۰ \text{ mm}) \\ &= -۰,۴۸۴ \text{ mm} \end{aligned}$$



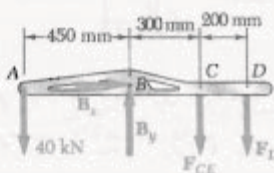
شکل ۲-۳۷-۲



حل

استاتیک. نمودار آزاد میله  $ABCD$  را رسم، و توجه می‌کنیم که واکنش در  $B$  و نیروهای واردہ از میله‌ها نامعین استاتیکی‌اند. با استفاده از استاتیک، می‌نویسیم:

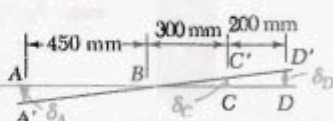
$$\begin{aligned} \sum M_B &= 0 : \\ (40 \text{ kN})(450 \text{ mm}) - F_{CE}(750 \text{ mm}) - F_{DF}(550 \text{ mm}) &= 0 \\ \Rightarrow 40 \cdot 450 + 750 \cdot F_{CE} + 550 \cdot F_{DF} &= 18000 \quad (1) \end{aligned}$$



نتنده. پس از اعمال بار  $40 \text{ kN}$ ، وضعیت میله به صورت  $BCC'$  در می‌آید. از مثلثهای متشابه  $BAA'$ ،  $BAA'$  و  $BDD'$ :

$$\frac{\delta_C}{750 \text{ mm}} = \frac{\delta_D}{550 \text{ mm}} \Rightarrow \delta_C = \frac{750}{550} \delta_D \quad (2)$$

$$\frac{\delta_A}{750 \text{ mm}} = \frac{\delta_D}{550 \text{ mm}} \Rightarrow \delta_A = \frac{750}{550} \delta_D \quad (3)$$



تغییر شکل‌ها. با استفاده از معادله (۲-۲)،

$$\delta_C = \frac{F_{CE}L_{CE}}{A_{CE}E} \quad \delta_D = \frac{F_{DF}L_{DF}}{A_{DF}E}$$

گرچه تغییر شکل کلی میله صفر است، ولی تغییر شکل قسمت‌های  $AC$  و  $CB$  صفر نیست. لذا، کرنش  $\epsilon_{AC}$  در  $AC$  و کرنش  $\epsilon_{CB}$  در  $CB$  محاسبه می‌کنیم. کرنش  $\epsilon_{AC}$  را می‌توان به دو قسم تقسیم کرد: (۱) کرنش گرمایی  $\epsilon_T$  ناشی از تغییر دمای  $\Delta T$  در میله مقید نشده (شکل ۳۸-۲ب). از معادله (۲۲-۲) (۲۲-۲ب)،

$$\begin{aligned} \epsilon_T &= \alpha \Delta T = (11.7 \times 10^{-6}/^\circ\text{C})(-69^\circ\text{C}) \\ &= -8.7 \times 10^{-6} \text{ mm/mm} \end{aligned}$$

(۲) کرنش ناشی از تنش  $\sigma$ ، که آن هم از نیروی  $R_B$  وارد بر میله ناشی می‌شود (شکل ۳۸-۲ج). با توجه به قانون هوک، این مولفه کرنش چنین است:

$$\frac{\sigma_1}{E} = \frac{+414.1 \text{ MPa}}{70 \text{ GPa}} = +5.915 \times 10^{-6} \text{ mm/mm}$$

در نتیجه،

$$\begin{aligned} \epsilon_{AC} &= \epsilon_T + \frac{\sigma_1}{E} = -8.7 \times 10^{-6} + 5.915 \times 10^{-6} \\ &= +2.63 \times 10^{-6} \text{ mm/mm} \end{aligned}$$

با محاسبه مشابه، کرنش در قسمت  $CB$  میله بدست می‌آید:

$$\begin{aligned} \epsilon_{CB} &= \epsilon_T + \frac{\sigma_2}{E} = -8.7 \times 10^{-6} + 5.42 \times 10^{-6} \\ &= -2.64 \times 10^{-6} \text{ mm/mm} \end{aligned}$$

تغییر شکل‌های  $\delta_{AC}$  و  $\delta_{CB}$  در دو قسمت میله عبارتند از:

$$\begin{aligned} \delta_{AC} &= \epsilon_{AC}(AC) = (+2.63 \times 10^{-6})(750 \text{ mm}) \\ &= +1.97 \text{ mm} \\ \delta_{CB} &= \epsilon_{CB}(CB) = (-2.64 \times 10^{-6})(750 \text{ mm}) \\ &= -1.98 \text{ mm} \end{aligned}$$

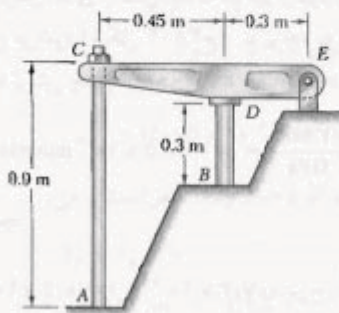
دیده می‌شود که مجموع این دو تغییر شکل،  $\delta = \delta_{AC} + \delta_{CB}$  صفر است در حالی که هیچیک از آنها صفر نیست.

### مسئله نمونه ۲-۳

میله  $CE$  به قطر  $12 \text{ mm}$  و میله  $DF$  به قطر  $18 \text{ mm}$  به میله  $ABCD$  متصل شده‌اند. اگر میله‌ها از آلومینیم ( $E = 70 \text{ GPa}$ ) باشند، مطلوب است: (الف) نیرو در هر میله، (ب) انحراف در نقطه  $A$ .

مجموعه  $20^{\circ}\text{C}$  است، میله  $AC$  با بیچ و مهره سفت می‌شود. سپس، دمای استوانه برنجی تا  $50^{\circ}\text{C}$  افزایش می‌باید ولی میله فولادی در  $20^{\circ}\text{C}$  می‌ماند. اگر قبل از تغییر دما تنش وجود داشته باشد، تنش در استوانه را بیابید.

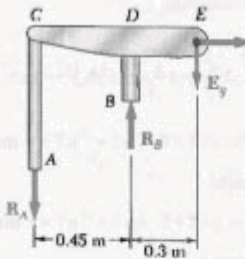
$$\begin{array}{ll} \text{میله فولادی} & : AC \\ \text{استوانه برنجی} & : BD \\ E = 200 \text{ GPa} & E = 100 \text{ GPa} \\ \alpha = 11,1 \times 10^{-5}/^{\circ}\text{C} & \alpha = 20,4 \times 10^{-5}/^{\circ}\text{C} \end{array}$$



حل

استاتیک. نمره‌لار آزاد تمام مجموعه را در رسم می‌کنیم و می‌نویسیم

$$\begin{aligned} \sum M_E &= 0 : R_A(0,1\sqrt{5} \text{ m}) - R_B(0,1\sqrt{5} \text{ m}) = 0 \\ \Rightarrow R_A &= 0,4 R_B \quad (1) \end{aligned}$$



تغییر شکل‌ها. با در نظر گرفتن  $R_B$  به عنوان واکنش زائد، از روش ترکیب استفاده می‌کنیم. با حذف تکیه گاه  $B$ ، افزایش دمای استوانه باعث می‌شود نقطه  $B$  به اندازه  $\delta_B$  پایین آید. واکنش  $R_B$  باعث انحراف  $\delta_B$ ، برابر با  $0,4 \delta_B$ ، می‌شود. در نتیجه، انحراف نهایی صفر است (شکل ۳).

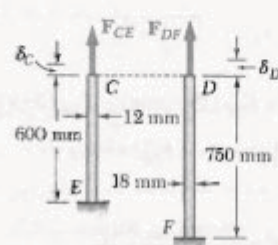
انحراف  $\delta_T$ . بعملت افزایش دمای  $50^{\circ} - 20^{\circ} = 30^{\circ}\text{C}$  طول استوانه برنجی به اندازه  $\delta_T$  افزایش می‌باید:

$$\begin{aligned} \delta_T &= L(\Delta T)\alpha = (0,1\text{ m})(30^{\circ}\text{C})(20,4 \times 10^{-5}/^{\circ}\text{C}) \\ &= 188,1 \times 10^{-5} \text{ m} \downarrow \end{aligned}$$

با جایگذاری  $\delta_D$  در (۲)،

$$\delta_C = 0,4 \delta_D \Rightarrow \frac{F_{CE} L_{CE}}{A_{CE} E} = 0,4 \frac{F_{DF} L_{DF}}{A_{DF} E}$$

$$\begin{aligned} \Rightarrow F_{CE} &= 0,4 \frac{L_{DF}}{L_{CE}} \frac{A_{CE}}{A_{DF}} F_{DF} \\ &= 0,4 \left( \frac{750 \text{ mm}}{600 \text{ mm}} \right) \left[ \frac{\frac{1}{4} \pi (12 \text{ mm})^2}{\frac{1}{4} \pi (18 \text{ mm})^2} \right] F_{DF} \\ \Rightarrow F_{CE} &= 0,777 F_{DF} \end{aligned}$$



نیرو در هر میله. با جایگذاری  $F_{CE}$  در (۱) و با توجه به اینکه نیروها بر حسب kN هستند، داریم

$$\begin{aligned} 200(0,777 F_{DF}) + 500 F_{DF} &= 14000 \\ \Rightarrow F_{DF} &= 30 \text{ kN} \quad \blacktriangleleft \end{aligned}$$

$$\begin{aligned} F_{CE} &= 0,777 F_{DF} = 0,777 (30 \text{ kN}) \\ \Rightarrow F_{CE} &= 10 \text{ kN} \quad \blacktriangleleft \end{aligned}$$

انحراف‌ها. انحراف نقطه  $D$  چنین است:

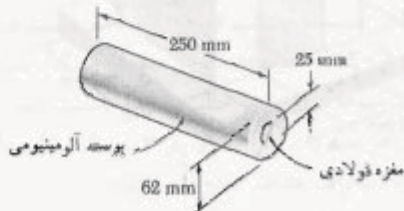
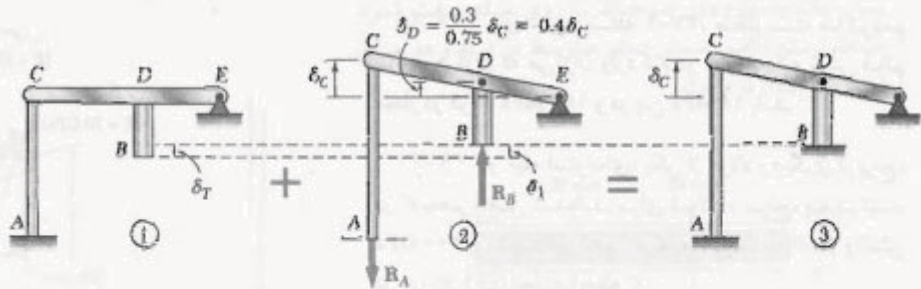
$$\begin{aligned} \delta_D &= \frac{F_{DF} L_{DF}}{A_{DF} E} = \frac{(30 \times 10^3 \text{ N})(750 \text{ mm})}{\frac{1}{4} \pi (18 \text{ mm})^2 (100 \text{ GPa})} \\ \Rightarrow \delta_D &= 1,26 \text{ mm} \end{aligned}$$

با استفاده از (۳)،

$$\begin{aligned} \delta_A &= 0,4 \delta_D = 0,4 (1,26 \text{ mm}) \\ \Rightarrow \delta_A &= 0,50 \text{ mm} \quad \blacktriangleleft \end{aligned}$$

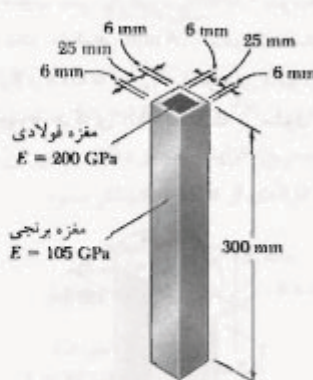
مسئله نمونه ۴-۲

میله صلب  $CDE$  دارای تکیه گاه مفصلی  $E$  است و روی استوانه برنجی  $BD$  به قطر  $30 \text{ mm}$  قرار دارد. میله فولادی  $AC$  به قطر  $22 \text{ mm}$  از سوراخ داخل میله  $CDE$  گذشته است. وقتی دمای



شکل ۲۳-۲م

۳۴-۲ با اعمال یک نیروی محوری از جانب صفحات صلب انتهایی بر مجموعه، طول مجموعه به اندازه  $15\text{ mm}$  کاهش می‌یابد. مطلوب است: (الف) مقدار نیروی وارد، (ب) تش در مغزه فولادی.



شکل ۲۴-۲م

۳۵-۲ نیروی محوری مرکزی  $P = 250\text{ kN}$  از صفحه صلب انتهایی بر قطعه مرکب وارد شده است. اگر  $h = 10\text{ mm}$  باشد: مطلوب است: (الف) تش قائم در مغزه برنجی، (ب) تش قائم در صفحات آلومینیومی.

$$\text{انحراف: } \delta = \delta_D + \delta_{B/D} \quad \text{و } \delta_D = 0.4 \delta_C$$

$$\delta_C = \frac{R_A L}{AE} = \frac{R_A (0.4 \text{ m})}{\frac{1}{4}\pi (0.022 \text{ m})^2 (200 \text{ GPa})} = 11.84 \times 10^{-4} R_A \uparrow$$

$$\delta_D = 0.4 \delta_C = 0.4 (11.84 \times 10^{-4} R_A) = 4.74 \times 10^{-4} R_A \uparrow$$

$$\delta_{B/D} = \frac{R_B L}{AE} = \frac{R_B (0.4 \text{ m})}{\frac{1}{4}\pi (0.022 \text{ m})^2 (100 \text{ GPa})} = 4.74 \times 10^{-4} R_B \uparrow$$

از (۱) دیده می‌شود که  $R_A = 0.4 R_B$  و می‌توانیم:

$$\begin{aligned} \delta_1 &= \delta_D + \delta_{B/D} = [4.74 \times 10^{-4} (0.4 R_B) + 4.74 \times 10^{-4} R_B] 10^{-4} \\ &= 0.94 \times 10^{-4} R_B \uparrow \end{aligned}$$

$$\begin{aligned} \delta_T &= \delta_1 : 188/1 \times 10^{-3} \text{ m} = 0.94 \times 10^{-4} R_B \\ &\Rightarrow R_B = 31.7 \text{ kN} \end{aligned}$$

تش در استوانه:

$$\sigma_B = \frac{R_B}{A} = \frac{31.7 \text{ kN}}{\frac{1}{4}\pi (0.022)^2} \Rightarrow \sigma_B = 4.74 \text{ MPa} \blacksquare$$

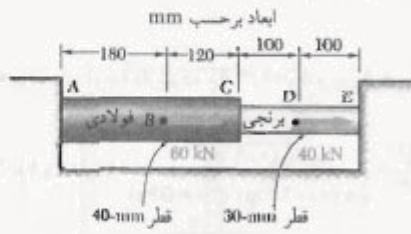
### مسائل

۳۳-۲ نیروهای فشاری مرکزی  $260\text{ kN}$  از طریق صفحات صلب بر هر دوسر مجموعه نشان داده شده وارد شده‌اند. اگر  $E_a = 200\text{ GPa}$  و  $E_s = 200\text{ GPa}$  باشد: مطلوب است: (الف) تش قائم در همه فولادی و در پوسته آلومینیومی، (ب) تغییر شکل مجموعه



۳۸-۲ برای ستون مستطیله ۳۷-۲، مطلوب است ماکزیمم فیروی مرکزی که می‌توان وارد کرد در صورتی که تنش قائم مجاز در فولاد  $160 \text{ MPa}$  و در بتن  $18 \text{ MPa}$  باشد.

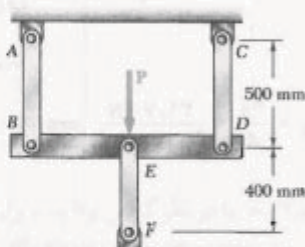
۳۹-۲ دو میله استوانه‌ای، یکی از فولاد و دیگری از برنج، در C بهم متصل شده‌اند. برای فولاد و برنج، به ترتیب،  $E_c = 200 \text{ GPa}$  و  $E_b = 105 \text{ GPa}$ . مطلوب است: (الف) واکنش در A و E، (ب) انحراف نقطه C.



شکل ۳۹-۲م

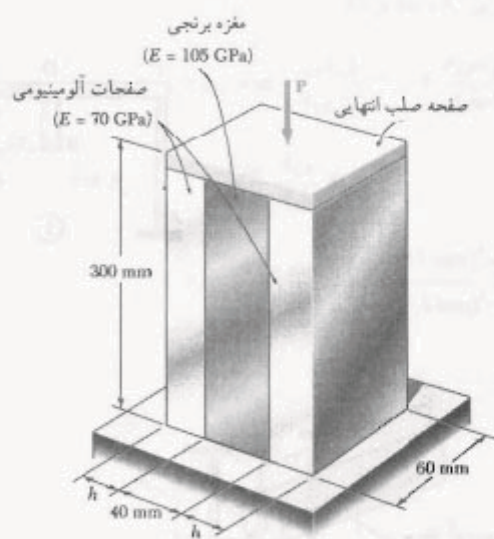
۴۰-۲ مستطیله ۳۹-۲ را با این فرض حل کنید که میله AC از برنج و میله CE از فولاد باشد.

۴۱-۲ سه میله فولادی ( $E = 200 \text{ GPa}$ ) با مقدار  $236 \text{ kN}$  را تحمل می‌کنند. مساحت مقطع عرضی میله‌های AB، EF و CD  $200 \text{ mm}^2$ ، میله CE  $200 \text{ mm}^2$  و میله EF  $625 \text{ mm}^2$  است. مطلوب است: (الف) تغییر طول میله EF، (ب) تنش در هر میله.



شکل ۴۱-۲م

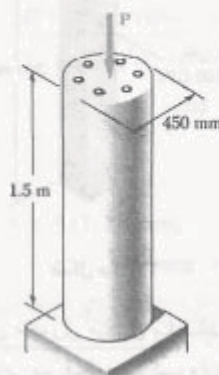
۴۲-۲ لوله آلومینیومی به طول  $250 \text{ mm}$ ، با قطر خارجی  $36 \text{ mm}$  و با قطر داخلی  $28 \text{ mm}$  است. یک میله برنجی به قطر  $25 \text{ mm}$  داخل این لوله قرار داده می‌شود. سپس، دو بوش پیچ دار در دو انتهای اوله پیچ می‌شود گام پیچ‌ها  $1.5 \text{ mm}$  است. برای آلومینیوم و برنج، به ترتیب،  $E_a = 70 \text{ GPa}$  و  $E_b = 105 \text{ GPa}$ . چون میله کمی بلندتر از لوله است، بوش را



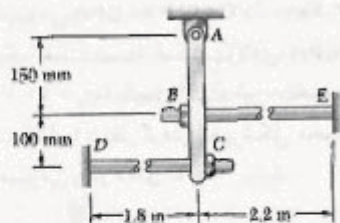
شکل ۳۵-۲م

۳۶-۲ برای قطعه مرکب نشان داده شده در مستطیله ۳۶-۲ مطلوب است: (الف) مقدار  $h$  در صورتی که قسمت تحت بار صفحات آلومینیومی نصف قسمت تحت بار مغزه برنجی باشد. (ب) بار کل در صورتی که تنش در مغزه برنجی  $80 \text{ MPa}$  باشد.

۳۷-۲ ستون بتنی به طول  $1.5 \text{ m}$  توسط شش میله فولادی، هر یک به قطر  $28 \text{ mm}$ ، تقویت شده است. اگر روش را برای بار محوری مرکزی  $1500 \text{ kN}$  که بر ستون وارد می‌شود بیاید.

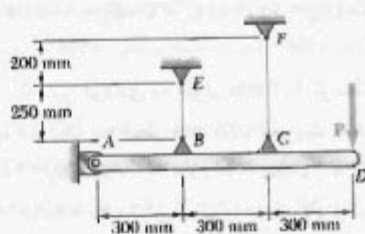


شکل ۳۷-۲م



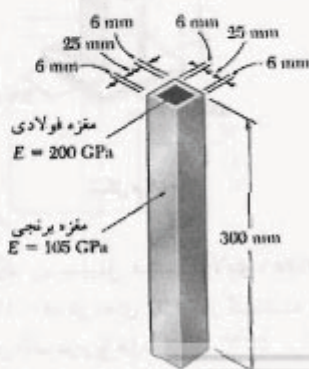
شکل ۴۵-۲م

۴۶-۲ میله صلب  $AD$  توسط دو سیم فولادی (۴۷-۲) به قطر  $1,0\text{ mm}$  و مفصل  $A$  نگه داشته شده است. اگر سیم‌ها در ابتدا در حالت کشیده باشند، (الف) کشش اضافی در هر سیم را بر اثر اعمال بار  $P$  با مقدار  $N$  در  $D$  بیاید، (ب) انحراف متناظر نقطه  $D$  را بیاید.



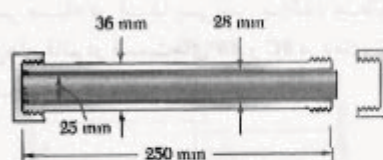
شکل ۴۶-۲م

۴۷-۲ پوسته برنجی ( $\alpha_b = 20,9 \times 10^{-6}/^\circ\text{C}$ ) (کامل) به سفره فولادی ( $\alpha_s = 11,7 \times 10^{-6}/^\circ\text{C}$ ) متصل شده است. مطلوب است بین افزایش مجاز دما در صورتی که بخواهیم تنش در سفره فولادی از  $55 \text{ MPa}$  بیشتر نشود.



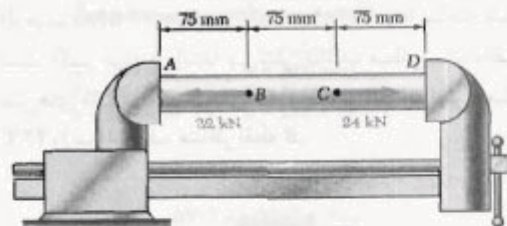
شکل ۴۷-۲م

۴۸-۲ باید یک چهارم دور چرخاند تاروی میله سفت شود. مطلوب است: (الف) تنش قائم متوسط در لوله و در میله، (ب) انحراف لوله و میله.



شکل ۴۸-۲م

۴۹-۲ یک لوله فولادی ( $E = 200 \text{ GPa}$ ) با قطر خارجی  $30 \text{ mm}$  و ضخامت  $3 \text{ mm}$  در گیره‌ای قرار گرفته است. این گیره طوری تنظیم می‌شود که فکهایش درست با دو انتهای لوله تماس می‌گیرند بدون اینکه فشار وارد کنند. سپس، دو نیروی نشان داده شده بر لوله وارد می‌شوند. پس از اعمال نیروها، گیره تنظیم می‌شود به طوری که فاصله بین فکهایش  $2 \text{ mm}$  باشد. (الف) نیروی وارد از گیره بر لوله در کاهش می‌باید. مطلوب است: (الف) نیروی وارد از گیره بر لوله در  $A$  و  $D$ ، (ب) تغییر طول قسمت  $BC$  لوله.

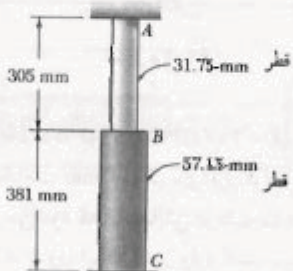


شکل ۴۹-۲م

۵۰-۲ مسئله ۴۳-۲ را با این فرض حل کنید که گیره، پس از اعمال نیروها، طوری تنظیم شود که فاصله بین فکهایش  $1 \text{ mm}$  باشد.

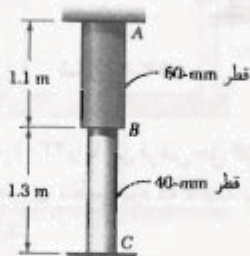
۵۱-۲ قطعه هر یک از میله‌های فولادی  $BE$  و  $CD$  (۵۲-۲) برابر با  $16 \text{ mm}$  ( $E = 200 \text{ GPa}$ ) است. گام پیچهای انتهایی  $2,5 \text{ mm}$  است. مهره  $B$ ، پس از محکم شدن، به اندازه یک دور کامل سفت می‌شود. مطلوب است: (الف) کشش در میله  $CD$ ، (ب) انحراف نقطه  $C$  عضو صلب  $ABC$ .

۵۲-۲ میله‌ای از دو قسمت استوانه‌ای  $AB$  و  $BC$  تشکیل شده است و از دو انتهای مسقید است. قسمت  $AB$  از فولاد برنج ( $\alpha_s = 11.7 \times 10^{-5}/^\circ\text{C}$ ,  $E_s = 200 \text{ GPa}$ ) و قسمت  $BC$  از آلمینیوم ( $\alpha_a = 18.7 \times 10^{-5}/^\circ\text{C}$ ,  $E_a = 120 \text{ GPa}$ ) ساخته شده است. اگر میله در ابتدا بی‌تش باشد، مطلوب است (الف) تنش‌های قائم در قسمت‌های  $AB$  و  $BC$  در دمای  $18^\circ\text{C}$ ، (ب) انحراف متناظر نقطه  $B$ .



شکل ۵۲-۲

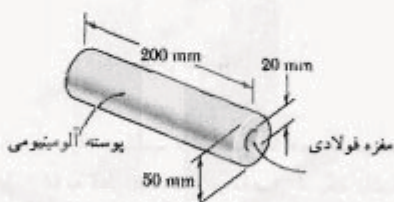
۵۳-۲ میله‌ای از دو قسمت  $AB$  و  $BC$  تشکیل شده است و از دو انتهای مسقید است قسمت  $AB$  از برنج ( $\alpha_b = 10.9 \times 10^{-5}/^\circ\text{C}$ ,  $E_b = 105 \text{ GPa}$ ) و قسمت  $BC$  از آلمینیم ( $\alpha_a = 23.9 \times 10^{-5}/^\circ\text{C}$ ,  $E_a = 77 \text{ GPa}$ ) ساخته شده است. اگر میله در ابتدا بی‌تش باشد، مطلوب است (الف) تنش‌های قائم در قسمت‌های  $AB$  و  $BC$  بر اثر افزایش دمای  $42^\circ\text{C}$ ، (ب) انحراف متناظر نقطه  $B$ .



شکل ۵۳-۲

۵۴-۲ در مسئله ۴۲-۲، تنش قائم متوسط را در نوله و میله با این فرض بیاید که مهره‌ها در دمای  $15^\circ\text{C}$  سفت شوند و دمای نهایی  $55^\circ\text{C}$  باشد. (برای آلمینیم،  $\alpha = 23.6 \times 10^{-5}/^\circ\text{C}$  و برای برنج،  $\alpha = 20.9 \times 10^{-5}/^\circ\text{C}$ ).

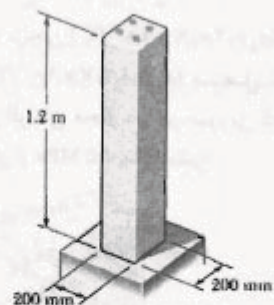
۴۸-۲ مجموعه نشان داده شده مشکل است از یک پوسته آلمینیومی ( $\alpha_a = 23.6 \times 10^{-5}/^\circ\text{C}$ ,  $E_a = 75 \text{ GPa}$ ) که به یک همکاره فولادی ( $\alpha_s = 11.7 \times 10^{-5}/^\circ\text{C}$ ,  $E_s = 200 \text{ GPa}$ ) متصل است. این مجموعه در دمای  $20^\circ\text{C}$  است. فقط با درنظر گرفتن تغییر شکل محوری، تنش در پوسته آلمینیومی را در دمای  $18^\circ\text{C}$  بیاید.



شکل ۴۸-۲

۴۹-۲ مسئله ۴۸-۲ را با این فرض حل کنید که هسته از برنج ( $\alpha_s = 20.9 \times 10^{-5}/^\circ\text{C}$ ,  $E_s = 105 \text{ GPa}$ ) باشد.

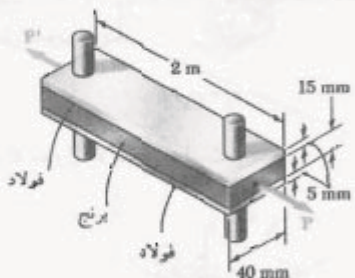
۵۰-۲ تیر فولادی به طول  $1.2 \text{ mm}$ ، تقویت چهار میله فولادی، هر یک به قطر  $18 \text{ mm}$ ، تقویت شده است. اگر  $E_s = 200 \text{ GPa}$ ،  $\alpha_s = 11.7 \times 10^{-5}/^\circ\text{C}$  و  $E_c = 25 \text{ GPa}$ ،  $\alpha_c = 9.9 \times 10^{-5}/^\circ\text{C}$ ، تنش قائم را در فولاد و بتن در دمای  $27^\circ\text{C}$  بیاید.



شکل ۵۰-۲

۵۱-۲ یک ریل فولادی ( $E = 200 \text{ GPa}$ ) در دمای  $6^\circ\text{C}$  کار گذاشته شده است. مطلوب است تنش قائم در ریل‌ها در دمای  $52^\circ\text{C}$ ، با این فرض که ریل‌ها (الف) به هم جوش شده باشد و مسیر پوسته‌ای را تشکیل داده باشد، (ب) به طول  $12 \text{ m}$  و با فاصله  $6 \text{ mm}$  از هم باشد.

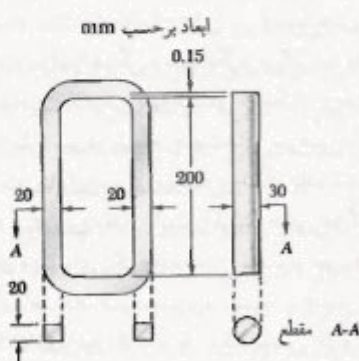
پس از ساخت، دمای میله‌های فولادی را به دمای اتاق بر می‌گردانند. مطلوبست: (الف) افزایش دمایی که برای جازدن مفصل‌ها در میله‌های فولادی نیاز است. (ب) تنش در میله برنجی پس از اینکه تحت بار قرار می‌گیرد.



شکل ۵۸-۲

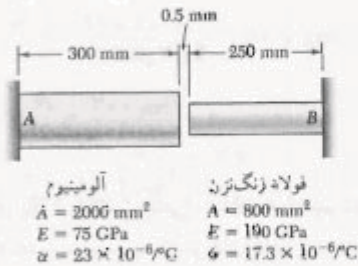
۵۸-۱ مطلوبست ماکریسم بار  $P$  که می‌توان بر میله برنجی مسئله ۵۸-۲ وارد کرد در صورتی که بخواهیم تنش مجاز در میله‌های فولادی  $30 \text{ MPa}$  و در میله برنجی  $25 \text{ MPa}$  باشد.

۵۸-۲ یک بیازوی برنجی ( $E_b = 20 \text{ GPa}$ ,  $\alpha_b = 10,4 \times 10^{-6}/^\circ\text{C}$ ) و یک میله فولادی ( $E_s = 200 \text{ GPa}$ ,  $\alpha_s = 6,5 \times 10^{-6}/^\circ\text{C}$ ) در دمای  $20^\circ\text{C}$  دارای ابعاد نشان داده شده‌اند. میله فولادی سرد می‌شود تا اینکه آزادانه در بیازو جامد خورد. سپس، دمای کل مجموعه تا  $150^\circ\text{C}$  افزایش می‌یابد. مطلوبست: (الف) تنش قائم نهایی در میله فولادی، (ب) طول نهایی میله فولادی.



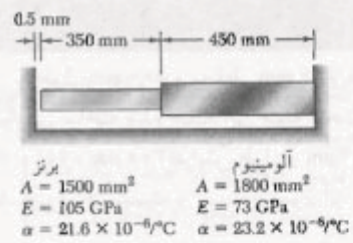
شکل ۵۸-۲

۵۵-۲ در دمای اتاق ( $20^\circ\text{C}$ ) فاصله  $5 \text{ mm}$  بین دو انتهای میله‌های نشان داده شده وجود دارد. در لحظه بعد، وقتی دما به  $140^\circ\text{C}$  می‌رسد، مطلوبست: (الف) تنش قائم در میله آلمینیم، (ب) تغییر طول میله آلمینیم.



شکل ۵۵-۲

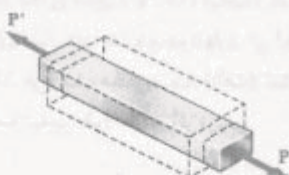
۵۶-۲ اگر در دمای  $24^\circ\text{C}$  فاصله  $5 \text{ mm}$  وجود داشته باشد، مطلوبست: (الف) دمایی که به ازای آن تنش قائم در میله آلمینیم  $75 \text{ MPa}$ - است، (ب) طول دقیق متناظر میله آلمینیم.



شکل ۵۶-۲ و ۵۷-۲

۵۷-۲ مطلوبست: (الف) نیروی فشاری در میله‌های نشان داده شده پس از اینکه دما به اندازه  $82^\circ\text{C}$  افزایش یابد، (ب) تغییر طول متناظر میله برنزی.

۵۸-۳ از دو میله فولادی ( $E_s = 200 \text{ GPa}$  و  $E_b = 20 \text{ GPa}$ ,  $\alpha_s = 11,7 \times 10^{-6}/^\circ\text{C}$  برای تقویت میله برنجی ( $\alpha_b = 20,9 \times 10^{-6}/^\circ\text{C}$  و  $E_b = 105 \text{ GPa}$ ), که تحت بار  $P = 25 \text{ kN}$  قرار دارد، استفاده شده است. هنگام ساخت میله‌های فولادی، فاصله بین مراکز سوراخ‌هایی که برای تعییه مفصل هاست به اندازه  $5 \text{ mm}$  کمتر از  $2 \text{ m}$  (فاصله مورد نیاز) در می‌آید. لذا، میله‌های فولادی را در کورهای قرار می‌دهند تا طول آنها افزایش یابد به طوری که مفصل‌ها را بتوان جاذب



شکل ۴۰-۲

با

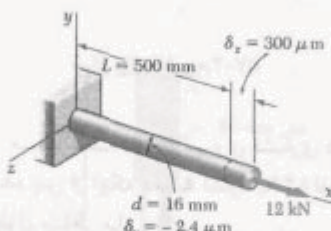
$$\nu = -\frac{\varepsilon_y}{\varepsilon_x} = -\frac{E_y}{E_x} \quad (26-2)$$

در معادله‌های بالا از علامت منفی استفاده می‌کنیم تا مقدار مثبتی برای  $\nu$  بدست آید، زیرا کرنش‌های محوری و جانبی در تمام مواد صنعتی دارای علامت مخالفاند.<sup>\*\*</sup> با حل معادله (۲۶-۲) برای  $\varepsilon_y$  و  $E_y$  و با توجه به معادله (۲۴-۲)،

$$\varepsilon_x = \frac{\sigma_x}{E} \quad \varepsilon_y = \varepsilon_z = -\frac{\nu \sigma_x}{E} \quad (27-2)$$

مثال ۲

میله‌ای به طول ۵۰۰ mm و به قطر ۱۶ mm از ماده همگن و همسانگردی ساخته شده است. این میله تحت بار محوری ۱۲ kN به اندازه ۳۰  $\mu\text{m}$  افزایش طول و ۲/۴  $\mu\text{m}$  کاهش قطر می‌دهد. مدول الاستیستیه و نسبت پواسون آن را باید.



شکل ۴۱-۲

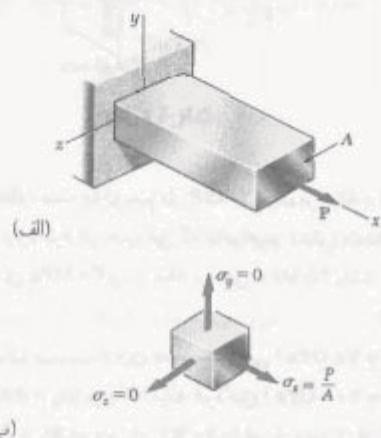
\* شاید فکر کنید به علت اثر ترکیبی کشیدگی محوری و القابض عرضی، حجم میله ثابت می‌ماند، ولی اینطور نیست.  
\*\* البته، بعضی از مواد آزمایش، مانند فومهای پلیمر، هنگام کشیدگی به طور جانبی منبسط می‌شوند. در این حالت، چون کرنش‌های محوری و جانبی دارای علامت یکسانند، نسبت پواسون این مواد ممکن است (See Roderic Lakes, "Foam Structures with a Negative Poisson's Ratio," *Science*, 27 February 1987, Volume 235, p. 1038-1040.)

## ۱۱-۲ نسبت پواسون

در قسمت اول این فصل دیدیم که وقتی میله باریک همگن به طور محوری بارگذاری می‌شود، تا مادامی که ماده از حد الاستیک خود فراتر نرفته است، تنش و کرنش از قانون هوک پیروی می‌کنند. اگر بار  $P$  در امتداد محور  $x$  وارد شود (شکل ۳۹-۲الف)،  $\sigma_x = P/A$  که در آن  $A$  مساحت مقطع عرضی است. طبق قانون هوک،

$$\varepsilon_x = \sigma_x/E \quad (24-2)$$

که در آن  $E$  مدول الاستیستیه است.



شکل ۳۹-۲

گفتی است که تنش‌های قائم وارد بر وجهه عمود بر محورهای  $y$  و  $z$  صفر هستند؛ یعنی،  $\sigma_y = \sigma_z = 0$  (شکل ۳۹-۲ب). ولی، کرنش‌های  $\varepsilon_y$  و  $\varepsilon_z$  صفر نیستند. در تمام مواد، کشیدگی حاصل از اعمال نیروی محوری  $P$  با انقباض عرضی همراه است (شکل ۴۰-۲). در قسمت‌های ۱۲-۲ تا ۱۵-۲، تمام مواد را همگن و همسانگرد می‌گیریم؛ یعنی، فرض می‌کنیم خواص مکانیکی آنها مستقل از مکان و جهت است. درنتیجه، کرنش نیز در تمام جهت‌های عرضی دارای مقدار یکسان است. بنابراین، برای بارگذاری نشان داده شده در شکل ۳۹-۲،  $\varepsilon_y = \varepsilon_z$ . این مقدار ثابت را کرنش جانبی می‌گویند. یکی از ثابت‌های مهم برای یک ماده معین، نسبت پواسون است که به افتخار ریاضی دان فرانسوی، سیمون دنیس پواسون (۱۷۸۱-۱۸۴۰) نامیده شده و با حرف یونانی  $\nu$  (ν) نشان داده می‌شود. برای بارگذاری نشان داده شده در شکل ۴۰-۲،

$$\frac{\text{کرنش جانبی}}{\text{کرنش محوری}} = \nu \quad (25-2)$$

مساحت مقطع عرضی میله،

$$A = \pi r^2 = \pi (\Lambda \times 10^{-4} \text{ m})^2 = 2 \times 1 \times 10^{-8} \text{ m}^2$$

با انتساب محور  $x$  در امتداد محور میله (شکل ۴۱-۲)، می‌تویم:

$$\sigma_x = \frac{P}{A} = \frac{12 \times 10^7 \text{ N}}{2 \times 1 \times 10^{-8} \text{ m}^2} = 59/V \text{ MPa}$$

$$\epsilon_x = \frac{\delta_x}{L} = \frac{300 \mu\text{m}}{500 \text{ mm}} = 600 \times 10^{-6}$$

$$\epsilon_y = \frac{\delta_y}{d} = \frac{-274 \mu\text{m}}{19 \text{ mm}} = -150 \times 10^{-6}$$

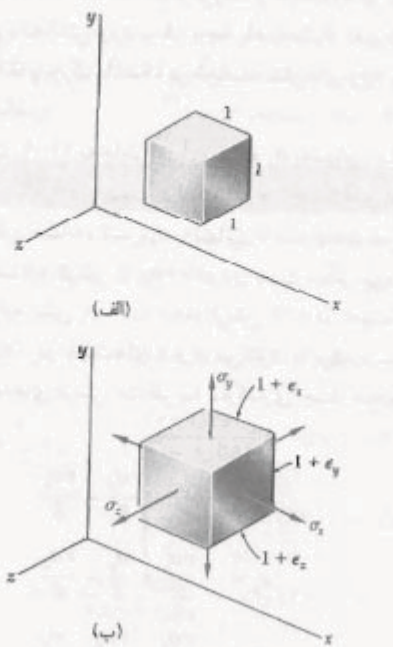
از قانون هوک،  $\sigma_x = E \epsilon_x$ . در نتیجه،

$$E = \frac{\sigma_x}{\epsilon_x} = \frac{59/V \text{ MPa}}{600 \times 10^{-6}} = 99/V \text{ GPa}$$

از معادله (۲۶-۲)،

$$\nu = -\frac{\epsilon_y}{\epsilon_x} = -\frac{-150 \times 10^{-6}}{600 \times 10^{-6}} = 0.25$$

شکل ۴۳-۲



یک جزء مکعبی به ضلع واحد از ماده همسانگرد را در نظر می‌گیریم (شکل ۴۳-۲الف). تحت بارگذاری چند محوری داده شده، این جزء به صورت مکعب مستطیلی به اضلاع  $1 + \epsilon_x$ ,  $1 + \epsilon_y$  و  $1 + \epsilon_z$  در می‌آید، که در آن  $\epsilon_x$ ,  $\epsilon_y$  و  $\epsilon_z$  کرنش قائم در سه جهت هستند (شکل ۴۳-۲ب). برای تغییرشکل سایر اجزاء، جزء تحت بارگذاری می‌تواند حرکت انتقالی نیز داشته باشد، ولی در اینجا فقط تغییرشکل واقعی جزء را در نظر گرفته‌ایم، نه هر تغییر مکان ممکن جسم صلب را.

برای بیان مولفه‌های کرنش  $\epsilon_x$ ,  $\epsilon_y$  و  $\epsilon_z$  بر حسب مولفه‌های تنش  $\sigma_x$ ,  $\sigma_y$  و  $\sigma_z$ ، تأثیر هر مولفه تنش را به طور جداگانه در نظر می‌گیریم و با جمع این آثار به نتیجه دلخواه می‌رسیم. برای این منظور، از اصل ترکیب استفاده می‌کنیم. طبق این اصل، با تعیین جداگانه تأثیر بارهای مختلف و با ترکیب نتایج حلیمی توان تأثیر بارگذاری ترکیبی را بر یک سازه به دست آورد، در صورتی که شرایط زیر برقرار باشند:

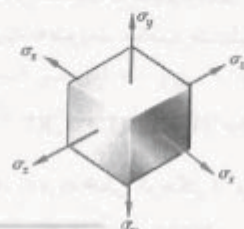
- ۱- رابطه هر اثر با باری که این اثر را ایجاد می‌کند به صورت خطی باشد.

- ۲- تغییرشکل ناشی از هر بار دارای مقدار کوچکی باشد و بر شرایط کاربرد سایر بارها تأثیر نگذارد.

۱۲-۲ بارگذاری چند محوری؛ قانون عمومی هوک  
تا به حال، عضوهای باریکی را که تحت بار محوری قرار دارند بررسی کردیم. بار محوری در امتداد یک محور تنها وارد می‌شود. اگر این محور را محور  $x$  و نیروی داخلی در مکان خاصی را  $P$  بگیریم، مولفه‌های تنش متناظر عبارتند از

$$\sigma_x = 0, \sigma_y = 0, \sigma_z = P/A$$

حال، عضوهایی را در نظر می‌گیریم که تحت نیروهای وارد در سه جهت مختصاتی قرار دارند. این نیروها تنش‌های قائم غیر صفر  $\sigma_x$ ,  $\sigma_y$  و  $\sigma_z$  را ایجاد می‌کنند (شکل ۴۲-۲). این حالت را بارگذاری چند محوری می‌گویند. گفتنی است که حالت تنش موجود مانند حالت کلی تنش در قسمت ۱۲-۱ نیست، زیرا تنش برشی در شکل ۴۲-۲ وجود ندارد.



شکل ۴۲-۲

اما،

$$\begin{aligned}\epsilon_x &= \delta_x/AB = (-30 \times 10^{-7} \text{ mm})/(100 \text{ mm}) \\ &= -300 \times 10^{-7} \text{ mm/mm}\end{aligned}$$

درنتیجه،

$$\epsilon_y = \epsilon_z = \epsilon_x = -300 \times 10^{-7} \text{ mm/mm}$$

لذا،

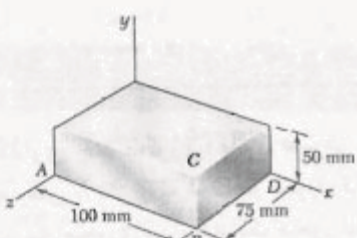
$$\delta_y = \epsilon_y(BC) = (-300 \times 10^{-7})(50 \text{ mm}) = -15 \times 10^{-7} \text{ mm}$$

$$\delta_z = \epsilon_z(BD) = (-300 \times 10^{-7})(75 \text{ in}) = -22.5 \times 10^{-7} \text{ mm}$$

(ب) فشار از معادله (۲۹-۲)،

$$p = -\frac{E\epsilon_x}{1-2\nu} = -\frac{(200 \text{ GPa})(-300 \times 10^{-7})}{1-0.58}$$

$$p = 142.9 \text{ MPa}$$



شکل ۴۴-۲

## ۱۳-۲ اتساع: مدول کهای

در این قسمت، اثر تنش‌های قائم  $\sigma_x$ ،  $\sigma_y$  و  $\sigma_z$  وارد بر جزء حجم یک ماده همسانگرد را بررسی می‌کنیم. برای این منظور، جزء نشان داده شده در شکل ۴۴-۲ را در نظر می‌گیریم. این جزء در حالت بی‌تنش به‌شکل مکعب با حجم واحد است، و تحت تنش‌های  $\sigma_x$ ،  $\sigma_y$  و  $\sigma_z$  به صورت مکعب مستطیل با حجم زیر درمی‌آید:

$$v = (1 + \epsilon_x)(1 + \epsilon_y)(1 + \epsilon_z)$$

چون کرنش‌های  $\epsilon_x$ ،  $\epsilon_y$  و  $\epsilon_z$  خیلی کوچکتر از واحد هستند، از حاصل ضرب آنها صرف‌نظر می‌شود. درنتیجه،

$$v = 1 + \epsilon_x + \epsilon_y + \epsilon_z$$

در بارگذاری چند محوری، شرط اول وقتی برقرار می‌شود که تنش‌ها از حد تناسب ماده فراتر نروند، و شرط دوم نیز وقتی برقرار می‌شود که تنش وارد بر هر وجه باعث نشود تغییرشکل سایر وجهه آنقدر بزرگ باشد که بر محاسبه تنش‌های وارد بر آن وجوده تأثیر بگذارد.

از قسمت ۱۱-۲ به‌خاطر می‌آوریم که  $\sigma_z$  به‌تهابی باعث ایجاد کرنش  $E/\sigma_z$  در جهت  $x$  و کرنش در جهت‌های  $y$  و  $z$  می‌شود. به طور مشابه، تنش  $\sigma_x$  به‌تهابی باعث ایجاد کرنش  $E/\sigma_x$  در جهت  $y$  و کرنش  $-v\sigma_x/E$  در جهت  $z$  می‌شود. سرانجام، مولفه تنش  $\sigma_y$  باعث ایجاد کرنش  $E/\sigma_y$  در جهت  $z$  و کرنش  $-v\sigma_y/E$  در جهت‌های  $x$  و  $y$  می‌شود. با ترکیب نتایج حاصل، مولفه‌های کرنش متناظر با بارگذاری چند محوری عبارتند از:

$$\begin{aligned}\epsilon_x &= +\frac{\sigma_x}{E} - \frac{v\sigma_y}{E} - \frac{v\sigma_z}{E} \\ \epsilon_y &= -\frac{v\sigma_x}{E} + \frac{\sigma_y}{E} - \frac{v\sigma_z}{E} \\ \epsilon_z &= -\frac{v\sigma_x}{E} - \frac{v\sigma_y}{E} + \frac{\sigma_z}{E}\end{aligned}\quad (28-2)$$

رابطه‌های (۲۸-۲) را قانون عمومی هوک برای بارگذاری چندمحوری یک ماده همسانگرد می‌گویند. همانطور که قبله‌گفتیم، نتایج حاصل فقط تا وقتی صحت دارند که تنش‌ها از حد تناسب فراتر نروند و تغییرشکل‌ها کوچک باشند. مقدار مشتبه برای مولفه تنش می‌رساند که این مولفه کثی است، و مقدار منفی می‌رساند که فشاری است. به طور مشابه، مقدار مشتبه برای مولفه کرنش به معنای انبساط و مقدار منفی به معنای انقباض است.

## مثال ۲

قطعه فولادی نشان داده شده (شکل ۴۴-۲) تحت فشار پکتواختی است که بر تمام وجوده آن وارد می‌شود. اگر تغییر طول ضلع  $AB$  برابر با  $30 \times 10^{-7} \text{ mm}$  باشد، مطلوب است: (الف) تغییر طول دو ضلع دیگر، (ب) فشار  $P$  وارد بر وجوده قطعه. فرض کنید  $E = 200 \text{ GPa}$  و  $v = 0.29$ .

(الف) تغییر طول اضلاع دیگر با جایگذاری  $\epsilon_x = \epsilon_y = \epsilon_z = -\nu$  در رابطه‌های (۲۸-۲)، دیده می‌شود سه مولفه کرنش دارای مقدار یکسان زیر هستند:

$$\epsilon_x = \epsilon_y = \epsilon_z = -\frac{P}{E}(1-2\nu) \quad (29-2)$$

از طرف دیگر، یک ماده ایده‌آل با  $\epsilon_x = \epsilon_y = \epsilon_z = 0$ ، کاملاً تراکم‌ناپذیر است ( $k = \infty$ ). در ناسیمه الاستیک ( $\nu = 0.5$ ). لذا، از معادله ۳۱-۲ نتیجه می‌شود که شدیگی یک ماده در یک جهت باعث افزایش حجم آن می‌شود (مشابه در جهت  $\sigma_x > 0$  و  $\sigma_y = \sigma_z = 0$ ). درنتیجه،  $\epsilon_x > 0$ .

اگر تغییر حجم جزء را با نشان دهیم، داریم:

$$\epsilon = \nu + 1 = 1 + \epsilon_x + \epsilon_y + \epsilon_z = 1$$

با

$$\epsilon = \epsilon_x + \epsilon_y + \epsilon_z \quad (30-2)$$

### مثال ۹-۲

تغییر حجم قطعه فولادی نشان داده شده را تحت تأثیر فشار هیدروستاتیکی  $p = 180 \text{ MPa}$ ،  $E = 200 \text{ GPa}$  و  $\nu = 0.24$  بسیاری.

از معادله (۳۳-۲)، مدول کهی ای فولاد را می‌باییم:

$$k = \frac{E}{2(1-\nu)} = \frac{200 \text{ GPa}}{2(1-0.24)} = 158.7 \text{ GPa}$$

از معادله (۳۴-۲)،

$$\epsilon = -\frac{p}{k} = -\frac{180 \text{ MPa}}{158.7 \text{ GPa}} = -1.134 \times 10^{-3}$$

حجم قطعه در حالت پیش تنش برابر است با:

$$V = (80 \text{ mm})(40 \text{ mm})(90 \text{ mm}) = 192 \times 10^3 \text{ mm}^3$$

تغییر حجم واحد است، یعنی  $e = \Delta V/V$ . درنتیجه،

$$\Delta V = eV = (-1.134 \times 10^{-3})(192 \times 10^3 \text{ mm}^3)$$

$$\Delta V = -218 \text{ mm}^3$$

### ۱۴-۲ کرنش برشی

در قسمت ۱۲-۲، هنگام استنتاج روابط‌های (۲۸-۲) بین تنش‌های قائم و کسرنخه‌های قائم در یک ماده همگن و همسانگرد، فرض کردیم که تنش برشی وجود ندارد. در حالت کلی تر شکل ۴۵-۲، تنش‌های برشی  $\epsilon_{xy}$ ،  $\epsilon_{yz}$  و  $\epsilon_{xz}$  (و نیز، تنش‌های برشی متناظر  $\epsilon_{yx}$ ،  $\epsilon_{zy}$  و  $\epsilon_{xz}$ ) وجود دارند. این تنش‌ها تأثیری روی کرنش‌های قائم ندارند و تا وقتی تمام تغییر‌شکل‌های موجود کوچک هستند، بر استنتاج یا صحت

چون این جزء در ابتدا دارای حجم واحد بوده است، گنجینه تغییر حجم واحد را نشان می‌دهد و آن را اتساع ماده می‌گویند. با جایگذاری  $\epsilon_x$ ،  $\epsilon_y$  و  $\epsilon_z$  از معادله (۲۸-۲) در معادله (۳۰-۲)،

$$\epsilon = \frac{\sigma_x + \sigma_y + \sigma_z}{E} - \frac{2\nu(\sigma_x + \sigma_y + \sigma_z)}{E}$$

$$\epsilon = \frac{1 - 2\nu}{E} (\sigma_x + \sigma_y + \sigma_z) \quad (31-2)$$

در حالت خاصی که جرم تحت فشار یکنواخت هیدروستاتیکی  $p$  قرار دارد، هر یک از مولفه‌های تنش برابر با  $p$  است. از معادله (۳۱-۲)،

$$\epsilon = -\frac{2(1-\nu)}{E} p \quad (32-2)$$

با تعریف ثابت زیر،

$$k = \frac{E}{2(1-\nu)} \quad (33-2)$$

معادله (۳۲-۲) به صورت زیر در می‌آید:

$$\epsilon = -\frac{p}{k} \quad (34-2)$$

ثابت  $k$  را مدول کهی ای با مدول تراکم ماده می‌گویند، و مانند مدول الاستیسیته  $E$  بر حسب پاسکال است. ماده پایداری که تحت فشار هیدروستاتیکی است فقط کاهش حجم می‌دهد؛ لذا اتساع  $\epsilon$  در معادله (۳۴-۲) منفی است یعنی، مدول کهی ای  $k$  یک کمیت مثبت است. با توجه به معادله (۳۳-۲)،  $1 - 2\nu > 0$ . اما، طبق قسمت ۱۱-۲، «برای تمام مواد صنعتی دارای مقدار مثبت است. لذا، برای این مواد،

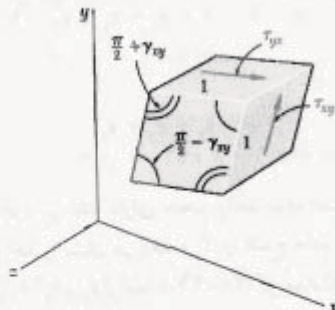
$$0 < \nu < \frac{1}{2} \quad (35-2)$$

گفتنی است ماده ایده‌آلی که مقدار لا ان صفر است می‌تواند در یک جهت کشیده شود بدون اینکه انقباض جانبی داشته باشد.

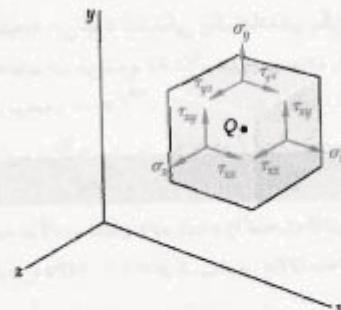
\* چون اتساع  $\epsilon$  تغییر حجم را نشان می‌دهد، از وضعیت جزو تحت برسی مستقل است. لذا، از معادله‌های (۳۰-۲) و (۳۱-۲) نتیجه می‌شود که کمیت‌های  $\epsilon_x + \epsilon_y + \epsilon_z$  و  $\epsilon_{xy} + \epsilon_{yz} + \epsilon_{xz}$  می‌توانند از وضعیت

جزء مستند. این تفاوت را در فصل ۷ اثبات می‌کنیم.

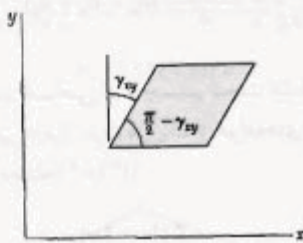
\*\* در تاچیه پلاستیک، حجم ماده تقریباً ثابت می‌ماند.



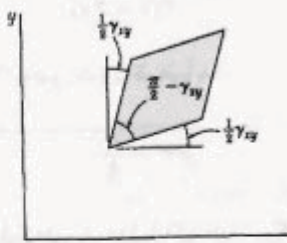
شکل ۴۷-۲



شکل ۴۵-۲



شکل ۴۸-۲

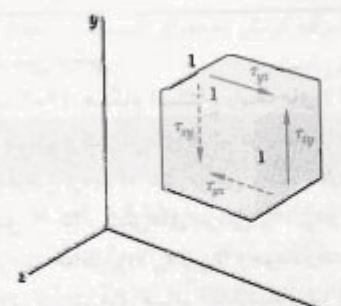


شکل ۴۹-۲

\* طبق قسمت ۱۲-۱،  $\tau_{xy} = \tau_{yx}$

\*\* بعضی مؤلفین، در تعریف کرنش  $\tau_{xy}$  فرض می‌کنند که تغییر شکل و افعی جزو با چرخش صلب‌گونه‌ای هسته است که در آن وجوده اتفاق جزء نمود چرخدن. لذا، کرنش  $\tau_{xy}$  را با زاویه چرخش دو جزء دیگر نشان می‌دهند (شکل ۴۸-۲). بعضی دیگر چرخش صلب‌گونه‌ای را در نظر می‌گیرند که در آن وجوده اتفاق به اندازه  $\tau_{xy}$  پایا ساعتگرد، و وجوده عمودی به اندازه  $\tau_{xy}$  ساعتگرد می‌چرخدن (شکل ۴۹-۲). در این کتاب ترجیح می‌دهیم کرنش بر طبق  $\tau_{xy}$  را به همای اینکه چرخش یک وحدت معنی تحت شرایط محدودی بگیریم، به عنوان تغییر زاویه بین دو وجه در نظر بگیریم.

رابطه‌های (۲۸-۲) تأثیر نمی‌گذارند. البته، تنش‌های برشی گراش دارند جزو مکعبی را به صورت مکعب مستطیل مابل درآورند. ابتدا، یک جزو مکعبی با اضلاع واحد را در نظر می‌گیریم (شکل ۴۶-۲). فقط تنش‌های برشی  $\tau_{xy}$ ،  $\tau_{yz}$  و  $\tau_{xz}$  بر وجوهی از این جزو، که، به ترتیب، بر محورهای  $x$  و  $y$  عمودند وارد می‌شوند و آن را به صورت متوازی السطوحی با اضلاع واحد در می‌آورند (شکل ۴۷-۲). دو تا از زوایای بین چهار وجهی که تحت تنش قرار دارند از  $\frac{\pi}{2}$  به  $\frac{\pi}{2} - \gamma_{xy}$  کاهش می‌یابند. دو تای دیگر از  $\frac{\pi}{2}$  به  $\gamma_{xy} + \frac{\pi}{2}$  افزایش می‌یابند. زاویه کوچک  $\gamma_{xy}$  (که بر حسب رادیان بیان می‌شود) کرنش برشی متناظر با امتدادهای  $x$  و  $y$  است. اگر زاویه بین دو وجهی که در جهت‌های مثبت محورهای  $x$  و  $y$  هستند در ضمن تغییر شکل جزو کاهش می‌یابد (شکل ۴۷-۲)، کرنش برشی مثبت است؛ در غیر این صورت، منفی است.



شکل ۴۶-۲

بر اثر تغییر شکل سایر اجزا، جزو تحت بررسی می‌تواند دستخوش چرخش کلی نیز بشود. ولی، همانطور که در بررسی کرنش‌های قائم داشتیم، در اینجا فقط تغییر شکل و اتفاقی جزو را در نظر می‌گیریم، نه هر گونه تغییر مکان ممکن صلب‌گونه را.<sup>\*\*</sup>

حال، جزء کوچکی از ماده‌ای را که تحت تنش‌های برشی  $\tau_{yz}$  و  $\tau_{zx}$  قرار دارد (شکل ۵۰-۲) در نظر گرفته، و گرنش برشی  $\gamma_{xy}$  را به عنوان تغییر زاویه بین وجوهی که تحت تنش قرار دارند، تعریف می‌کنیم. به طور مشابه، با در نظر گرفتن مجری که تحت تنش‌های برشی  $\tau_{xy}$  و  $\tau_{yz}$  قرار دارد (شکل ۵۰-۲)، گرنش برشی  $\gamma_{xz}$  را تعریف می‌کنیم. اگر تنش‌ها از حد تناسب فراتر نروند، دو رابطه اضافی زیر داریم:

$$\tau_{yz} = G\gamma_{yz} \quad \tau_{zx} = G\gamma_{zx} \quad (۳۷-۲)$$

که در آن ثابت  $G$  همان است که در معادله (۳۶-۲) به کار رفت. برای حالت کلی تنش داده شده در شکل ۴۵-۲ و تا وقتی که هیچ یک از تنش‌های موجود از حد تناسب فراتر نرفته‌اند، با استفاده از اصل ترکیب می‌توان نتایج این قسمت و قسمت ۱۲-۲ را با هم ترکیب کرد. برای ماده همگن و همسانگردی که تحت کلی ترین حالت تنش است، گروه معادله‌های زیر به دست می‌آید:

$$\begin{aligned} \varepsilon_x &= +\frac{\sigma_x}{E} - \frac{\nu\sigma_y}{E} - \frac{\nu\sigma_z}{E} \\ \varepsilon_y &= -\frac{\nu\sigma_x}{E} + \frac{\sigma_y}{E} - \frac{\nu\sigma_z}{E} \quad (۳۸-۲) \\ \varepsilon_z &= -\frac{\nu\sigma_x}{E} - \frac{\nu\sigma_y}{E} + \frac{\sigma_z}{E} \end{aligned}$$

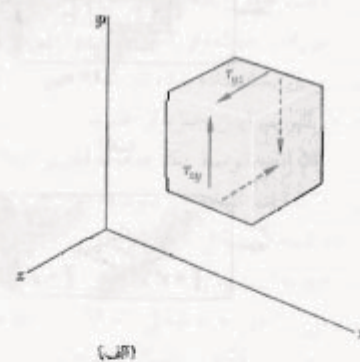
$$\gamma_{xy} = \frac{\tau_{xy}}{G} \quad \gamma_{yz} = \frac{\tau_{yz}}{G} \quad \gamma_{zx} = \frac{\tau_{zx}}{G}$$

برای هر ماده‌ای فقط باید دو تا از این ثابت‌ها را به طور آزمایشی تعیین کرد. همانطور که در قسمت بعد خواهید دید، ثابت سوم را با محاسبه بسیار ساده‌ای می‌توان به دست آورد.

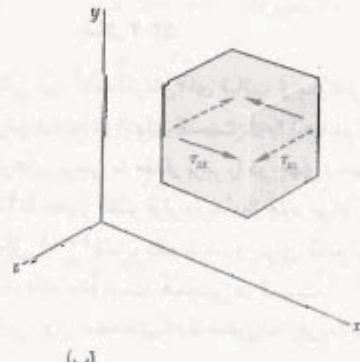
با ترسیم مقدار  $\tau_{xy}$  بر حسب مقدار  $\gamma_{xy}$ ، نمودار تنش گرنش برشی به دست می‌آید. همانطور که در فصل ۳ خواهید دید، این کار با آزمایش پیچش انجام می‌شود. نمودار حاصل مشابه است با نمودار تنش گرنش قائم که از آزمایش کشش به دست می‌آید. ولی، استقامت تسلیم برشی، استقامت نهایی کششی و تقریباً نصف استقامت تسلیم کششی، استقامت نهایی کششی و غیره است. همانطور که در پرسی گرنش‌ها و تنش‌های قائم داشتیم، قسمت اولیه نمودار تنش گرنش برشی یک خط راست است. در مواد همگن و همسانگرد و در حالتی که مقدار تنش برشی از حد تناسب برش بیشتر نیست، داریم:

$$\tau_{xy} = G\gamma_{xy} \quad (۳۹-۲)$$

این رابطه را قانون هوک برای تنش و گرنش برشی، و ثابت  $G$  را مدول صلابت یا مدول برشی ماده می‌گویند. گرنش زاویه‌ای  $\gamma_{xy}$  بر حسب رادیان و بی بعد است مدول  $G$ ، که مانند  $\tau_{xy}$  بر حسب پاسکال بیان می‌شود، برای هر ماده‌ای کمتر از نصف مدول الاستییته  $E$  آن ماده و بیشتر از یک سوم آن است.\*



(a)



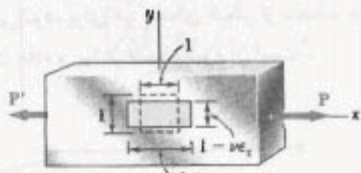
(b)

شکل ۳-۲

مثال ۱۵-۲

## ۱۵-۲ توضیح بیشتر درباره تغییر شکل ها در بارگذاری محوری: رابطه بین $E$ ، $G$

فرض کنید میله باریکی تحت بار کششی  $P$ ، واقع در جهت  $x$  قرار می‌گیرد. در قسمت ۱۱-۲ دیدیم که این میله در جهت  $x$  کشیده می‌شود و در جهت‌های  $y$  و  $z$  منقبض می‌شود. اگر  $\epsilon_x$  کرنش محوری باشد، کرنش‌های جانبی با  $\epsilon_y = \epsilon_z = \gamma$  بیان می‌شوند، که در آن نسبت پواسون است. لذا، یک جزء ممکنی، به ضلع واحد (شکل ۵۳-۲الف) به صورت مکعب مستطیل با اضلاع  $\epsilon_x + 1 - \nu\epsilon_y$ ،  $\epsilon_y + 1 - \nu\epsilon_x$  و  $1 - \nu\epsilon_z$  در می‌آید. فقط یک وجه این جزء در شکل نشان داده شده است. از سوی دیگر، اگر این جزء تحت زاویه  $45^\circ$  نسبت به محور بار قرار داشته باشد (شکل ۵۳-۲ب)، وجه نشان داده شده در شکل به صورت لوپی در می‌آید. یعنی، بار محوری  $P$  باعث می‌شود کرنش برشی  $\gamma$ ، برابر با افزایش یا کاهش هر یک از زوایای نشان داده شده در شکل ۵۳-۲ب، در این جزء به وجود آید.



(الف)



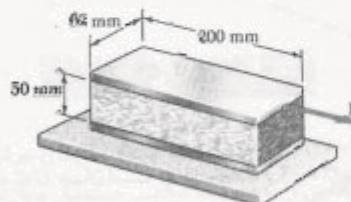
(ب)

شکل ۵۳-۲

کرنش‌های برشی نیز، همانند کرنش‌های قائم، از بارگذاری محوری ناشی می‌شوند زیرا در انتهای قسمت ۱۲-۱ دیدیم که بار محوری  $P$  تنش‌های برشی با مقدار برابر را در چهار وجهی که تحت زاویه  $45^\circ$  با محور عرضی قرار دارند به وجود می‌آورد. این موضوع در شکل ۵۴-۱  $40^\circ - 1$  نشان داده شد، و برای سهولت مجدداً در اینجا نشان داده شده است. همچنین در قسمت ۱۱-۱ دیدیم که تنش برشی روی صفحه‌ای که با محور بار زاویه  $45^\circ$

\* توجه کنید که بار  $P$  باعث ایجاد کرنش‌های قائم در جزء نشان داده شده در شکل ۵۳-۲ب نیز می‌شود (به سمت ۷۴-۲ نگاه کنید).

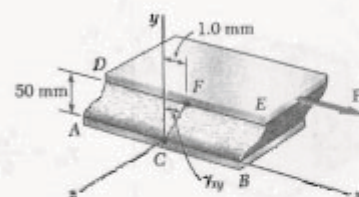
قطعه مستطیلی، که از ماده‌ای با مدول صلابت  $G = 630 \text{ MPa}$  ساخته شده است، به دو صفحه صلب افقی متصل است. صفحه پایین ثابت است و صفحه بالایی تحت تأثیر نیروی افقی  $P$  قرار دارد (شکل ۵۱-۲). صفحه بالایی تحت تأثیر این نیرو به اندازه  $1 \text{ mm}$  حرکت می‌کند. مطلوبست: (الف) کرنش برشی در ماده، (ب) نیروی  $P$  وارد بر صفحه بالایی.



شکل ۵۱-۲

(الف) کرنش برشی. محورهای مختصات را در جهت‌های نشان داده شده، و مبدأ را در نقطه میانی  $AB$  از ضلع  $AB$  در نظر می‌گیریم (شکل ۵۲-۲). طبق تعریف، کرنش برشی  $\gamma_{xy}$  با زاویه بین عمود و خط  $CF$ ، که نقاط میانی اضلاع  $AB$  و  $DE$  را به هم متصل می‌کند، برابر است. چون این زاویه کوچک است،

$$\gamma_{xy} \approx \tan \gamma_{xy} = \frac{1 \text{ mm}}{50 \text{ mm}} \Rightarrow \gamma_{xy} = 0.02 \text{ rad}$$



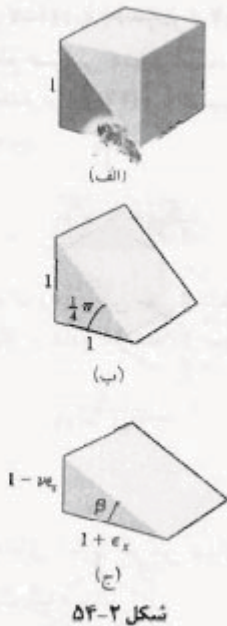
شکل ۵۲-۲

(ب) نیروی وارد بر صفحه بالایی، ابتدا، تنش برشی  $\gamma_{xy}$  را می‌یابیم. با استفاده از قانون هوك،

$$\tau_{xy} = G\gamma_{xy} = (630 \text{ MPa})(0.02 \text{ rad}) = 12.6 \text{ MPa}$$

نیروی وارد بر صفحه بالایی چنین است:

$$P = \tau_{xy} A = (12.6 \text{ MPa})(200 \text{ mm})(62 \text{ mm}) = 156.4 \text{ kN}$$



شکل ۵۴-۲

از شکل ۵۴-۲ ج،

$$\tan \beta = \frac{1 - \nu \varepsilon_x}{1 + \varepsilon_x} \quad (40-2)$$

عضوهای سمت راست (۳۹-۲) و (۴۰-۲) را مساوی هم قرار می‌دهیم و  $\gamma_m$  را می‌یابیم:

$$\gamma_m = \frac{(1 + \nu) \varepsilon_x}{1 + \frac{1 - \nu}{2} \varepsilon_x}$$

چون  $1 < \varepsilon_x$ ، مخرج عبارت بالا را می‌توان واحد گرفت.  
در نتیجه،

$$\gamma_m = (1 + \nu) \varepsilon_x \quad (41-2)$$

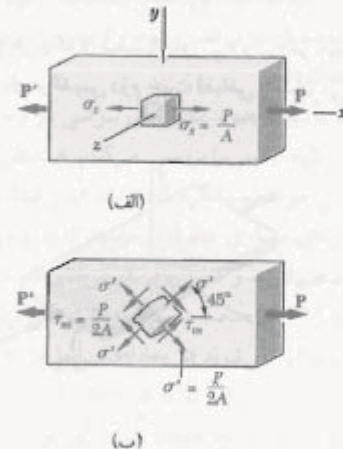
که رابطه دلخواه بین ماکزیمم کرنس برش  $\gamma_m$  و کرنس محوری  $\varepsilon_x$  است.

برای تعیین رابطه میان ثابت‌های  $E$ ،  $v$  و  $G$  از قانون هooke استفاده می‌کنیم. طبق این قانون،  $\gamma_m = \tau_m/G$  و در بارگذاری محوری،  $\sigma_x/E = \varepsilon_x = \tau_m/G$ . لذا، معادله (۴۱-۲) را به صورت زیر می‌نویسیم:

$$\frac{\tau_m}{G} = (1 + \nu) \frac{\sigma_x}{E}$$

$$\frac{E}{G} = (1 + \nu) \frac{\sigma_x}{\tau_m} \quad (42-2)$$

دارد دارای مقدار ماکزیمم است. طبق قانون هooke، کرنس برشی  $\gamma_m$  ب نیز ماکزیمم است؛ یعنی  $\gamma_m' = \gamma_m$ .



شکل ۴۰-۴ (تکراری)

مطالعه تبدیلات تش در فصل ۷ به تعویق می‌اندازیم، و در این قسمت فقط رابطه بین کرنس برشی ماکزیمم  $\gamma_m = \gamma_m'$  و کرنس قائم  $\varepsilon_x$  در جهت بار را بدست می‌آوریم. برای این منظور، جزء منشوری نشان داده شده در شکل ۵۴-۲ (الف) و ب را در نظر می‌گیریم. این جزء از طریق برش جزء مکعبی در شکل ۵۳-۲ (الف) توسط یک صفحه قطربندی ایجاد شده است. از شکل ۵۴-۲ (الف) نتیجه می‌شود که این جزء جدید به صورت نشان داده شده در شکل ۵۴-۲ (ج) در می‌آید، که وجوده افقی و عمودی آن، به ترتیب  $1 + \varepsilon_x$  و  $1 - \gamma_m$  است. اتساع زاویه بین وجوده مایل و افقی جزء شکل ۵۴-۲ ب دقیقاً نصف یکس از زوایای قائم جزء مکعبی نشان داده شده در شکل ۵۳-۲ (ب) است. لذا، تغییر زاویه فوق الذکر نصف  $\gamma_m = \pi/2 - \varepsilon_x$  است.

$$\beta = \frac{\pi}{4} - \frac{\gamma_m}{2}$$

با کاربرد فرمول تائزانت تفاضل زوایا، داریم

$$\tan \beta = \frac{\tan \frac{\pi}{4} - \tan \frac{\gamma_m}{2}}{1 + \tan \frac{\pi}{4} \tan \frac{\gamma_m}{2}} = \frac{1 - \tan \frac{\gamma_m}{2}}{1 + \tan \frac{\gamma_m}{2}}$$

چون  $\gamma_m/2$  خیلی کوچک است،

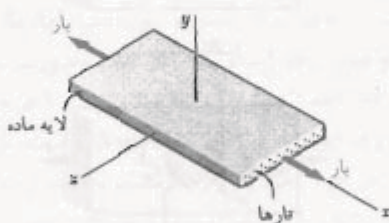
$$\tan \beta = \frac{1 - \frac{\gamma_m}{2}}{1 + \frac{\gamma_m}{2}} \quad (39-2)$$

RNUEB

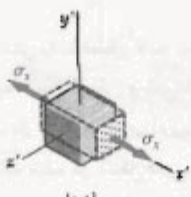
نسبت‌های پواسون متناظر دارای مقادیر متفاوت‌اند:

$$\nu_{xy} = -\frac{\epsilon_y}{\epsilon_x} \quad \nu_{yz} = -\frac{\epsilon_z}{\epsilon_x} \quad (44-2)$$

اندیس اول در هر یک از نسبت‌های  $\nu_{xy}$  و  $\nu_{yz}$  در معادله‌های (۴۴-۲) امتداد بار، و اندیس دوم جهت انقباض را نشان می‌دهد.



(الف)



55-۱

از بحث بالا نتیجه می‌شود که در حالت بارگذاری چند محوری یک لایه از ماده مرکب، برای توصیف رابطه تنش-کرنش می‌توان از معادله‌های مشابه با معادله‌های (۲۸-۲) استفاده کرد. ولی، در حال حاضر، با سه مدول الاستیتیه مختلف و شش نسبت پواسون متفاوت سر و کار داریم. می‌توسیم:

$$\begin{aligned} \epsilon_x &= \frac{\sigma_x}{E_x} - \frac{\nu_{yx}\sigma_y}{E_y} - \frac{\nu_{zx}\sigma_z}{E_z} \\ \epsilon_y &= -\frac{\nu_{xy}\sigma_x}{E_x} + \frac{\sigma_y}{E_y} - \frac{\nu_{yz}\sigma_z}{E_z} \\ \epsilon_z &= -\frac{\nu_{xz}\sigma_x}{E_x} - \frac{\nu_{yz}\sigma_y}{E_y} + \frac{\sigma_z}{E_z} \end{aligned} \quad (45-2)$$

معادله‌های (۴۵-۲) را به عنوان تبدیلات تنش-کرنش برای لایه داده شده می‌توان در نظر گرفت. از این تبدیلات نتیجه می‌شود که ضرایب مولفه‌های تنش متقابل هستند؛ یعنی،

$$\frac{\nu_{xy}}{E_x} = \frac{\nu_{yx}}{E_y} \quad \frac{\nu_{yz}}{E_y} = \frac{\nu_{zy}}{E_z} \quad \frac{\nu_{zx}}{E_z} = \frac{\nu_{xz}}{E_x} \quad (46-2)$$

با نوچه به شکل ۴۰-۱،  $A = P/2A$  و  $\sigma_x = P/A$ ، که در آن  $\tau_m = P/2A$  مساحت مقطع عرضی عضو است. لذا،  $\nu = \sigma_x/\tau_m = 2$ . یا جایگذاری این مقدار در (۴۶-۲) و با تقسیم عضوهای آن بر ۲، رابطه زیر را می‌توسیم:

$$\frac{E}{2G} = 1 + \nu \quad (43-2)$$

از رابطه بالا می‌توان برای تعیین یکی از ثابت‌های  $E$ ،  $G$  یا  $\nu$  از روی دو ثابت دیگر استفاده کرد. مثلاً، از معادله (۴۳-۲)،

$$G = \frac{E}{2(1+\nu)} \quad (43'-2)$$

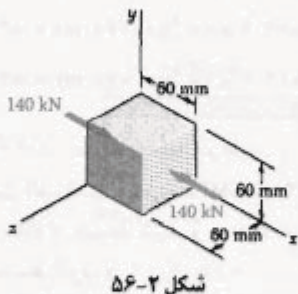
## ۱۶-۲\* رابطه‌های تنش-کرنش برای مواد مرکب تقویت شده با تار

در قسمت ۵-۲، مواد مرکب تقویت شده با تار به طور خلاصه بررسی شدند. در آن قسمت نشان دادیم که این مواد را با استقرار تارهای یک ماده محکم و سفت در داخل ماده ضعیفتر و ترمتری، به نام ماتریس، می‌سازند. همچنین، نشان دادیم که رابطه بین تنش قائم و کرنش قائم متناظر در یک لایه از ماده مرکب بستگی به جهت اعمال بار دارد. بنابراین، برای توصیف رابطه بین تنش قائم و کرنش قائم، مدول‌های مختلف الاستیتیه  $E_x$ ،  $E_y$  و  $E_z$  مورد نیازند (زیرا ممکن است بار به موازات تارها، در امتداد عمود بر لایه یا در جهت عرضی ولرد شود).

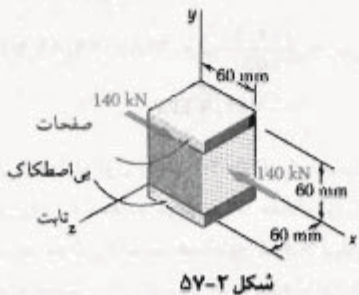
مجددأً لایه ماده مرکب توصیف شده در قسمت ۵-۲ را در نظر می‌گیریم و فرض می‌کنیم تحت بارگذاری تک محوری ترکار دارد. این بار به موازات تارهای لایه، یعنی در جهت  $x$  (شکل ۵۵-۲الف)، وارد می‌شود. برای سهولت، یک ماده خیالی همگن را که خواص آن از ترکیب خواص تارها و ماتریس بعدست آمده است درنظر می‌گیریم. حال، جزء کوچکی از این ماده را انتخاب می‌کنیم (شکل ۵۵-۲ب). تنش قائم متناظر را با  $\sigma_x$  نشان می‌دهیم. ملاحظه می‌کنیم که  $\sigma_y = \sigma_z = 0$ . همانطور که در قسمت ۵-۲ نشان داده شد، کرنش قائم متناظر در امتداد  $x$  عبارت است از  $\nu_{xy}/E_x = \epsilon_x$ ، که در آن  $E_x$  مدول الاستیتیه ماده مرکب در جهت  $x$  است.

همانطور که برای مواد همسانگرد دیدیم، کشیگری ماده در جهت  $x$  با انقباض در جهت‌های  $y$  و  $z$  همراه است. این انقباض‌ها به نحوه استقرار تارها در ماتریس بستگی دارد و معمولاً مقادیر مختلفی دارند. درنتیجه، کرنش‌های جاتی  $\nu_{xy}$  و  $\nu_{yz}$ ، و نیز

صفحه بی اصطکاک ثابت از انبساط آن در امتداد  $\perp$  جلوگیری کند (شکل ۵۷-۲).



شکل ۵۷-۲



شکل ۵۷-۲

(الف) انبساط آزاد در امتدادهای  $y$  و  $z$ . تش  $\sigma_x$  را در امتداد بارگذاری می‌باشم:

$$\sigma_x = \frac{P}{A} = \frac{-140 \times 10^3 \text{ N}}{(0.06 \text{ m})(0.06 \text{ m})} = -38,89 \text{ MPa}$$

چون مکعب در امتدادهای  $y$  و  $z$  بارگذاری نشده است و مقید نیست،  $\sigma_x = \sigma_y = \sigma_z$ . با جایگذاری داده‌ها در معادله‌های ۵۷-۲، داریم:

$$\epsilon_x = \frac{\sigma_x}{E_x} = \frac{-38,89 \text{ MPa}}{155,0 \text{ GPa}} = -250,9 \times 10^{-6}$$

$$\epsilon_y = -\frac{\nu_{xy}\sigma_x}{E_x} = -\frac{(0.248)(-38,89 \text{ MPa})}{155,0 \text{ GPa}} = +62,22 \times 10^{-6}$$

$$\epsilon_z = -\frac{\nu_{xz}\sigma_x}{E_x} = \frac{(0.248)(-38,89 \text{ MPa})}{155,0 \text{ GPa}} = +62,22 \times 10^{-6}$$

\* برای اطلاعات بیشتر درباره مواد مرکب تقویت شده با تار، نگاه کنید به Hyer, M. W., *Stress Analysis of Fiber-Reinforced Composite Materials*, McGraw-Hill, New York, 1998.

این معادله‌ها نشان می‌دهند که نسبت‌های پواسون  $\nu_{yz}$  و  $\nu_{zx}$  گرچه متفاوت‌اند اما از هم مستقل نیستند، و اگر مدول‌های الاستیتیتی مناظر معلوم باشند، هر یک از آنها را از دیگری می‌توان بدست آورد. همین موضوع برای  $\nu_{yz}$  و  $\nu_{zx}$  و برای  $\nu_{xy}$  صحت دارد.

حال، تأثیر وجود تش‌های برشی در وجود یک جزء کوچک از لایه ترکیبی را بررسی می‌کنیم. همانطور که در قسمت ۵۷-۲ برای مواد همسانگرد گفته شد، این تش‌ها به صورت زوج بردارهای مساوی مضادی هستند که بر وجود مقابل یک جزء ولزه می‌شوند و تأثیری بر کرنش‌های برشی باعث ایجاد معادله‌های (۵۴-۲) صحت دارند. البته، تش‌های برشی باعث ایجاد کرنش‌های برشی می‌شوند که معادله‌های آنها مشابه سه معادله آخر (۳۸-۲) است، با این تفاوت که در اینجا باید از سه مدول صلابت مختلف  $G_{xy}$ ،  $G_{yz}$  و  $G_{zx}$  استفاده کرد. به این ترتیب،

$$\gamma_{xy} = \frac{\tau_{xy}}{G_{xy}} \quad \gamma_{yz} = \frac{\tau_{yz}}{G_{yz}} \quad \gamma_{zx} = \frac{\tau_{zx}}{G_{zx}} \quad (47-2)$$

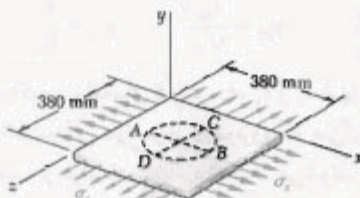
موادی را که میزلفه‌های کرنش  $\gamma_{xy}$ ،  $\gamma_{yz}$  و  $\gamma_{zx}$  آنها فقط به تش‌های قائم بستگی دارند مواد اورتوتروپیک می‌گویند و با همین خاصیت از مواد ناهمسانگرد تغییرکیم می‌شوند. همانطور که در قسمت ۵-۲ دیدیم، با ترکیب عددی لایه می‌توان یک پوسته تخت بدست آورد. اگر تارها در تمام لایه‌ها دارای وضعیت یکسان باشند، پوسته مقاومت بیشتری در برابر بارکشی محوری دارد و از نوع اورتوتروپیک خواهد بود. اگر بعضی از لایه‌های پوسته طوری قرار گیرند که تارهای آنها تحت زاویه عمود بر تارهای سایر لایه‌ها باشد، پوسته دارای پایداری جانبی بیشتری است و مجدداً از نوع اورتوتروپیک است. از سوی دیگر، اگر هر یک از لایه‌ها طوری قرار گیرند که تارهای آنها به موازات تارهای سایر لایه‌ها نباشد و عمود بر آنها نیز نباشد، پوسته اورتوتروپیک نخواهد بود.

## مثال ۱۱-۲

مکعبی به ضلع  $60 \text{ mm}$  از لایه‌های اپوکسی گرافیت، که تارهای آن در امتداد  $x$  است، ساخته شده است. این مکعب تحت بار فشاری  $140 \text{ kN}$  در امتداد  $x$  قرار دارد. خواص این ماده مركب عبارتند از:  $E_x = 155 \text{ GPa}$ ،  $E_y = 12,10 \text{ GPa}$ ،  $E_z = 12,10 \text{ GPa}$ ،  $\nu_{yz} = 0,248$ ،  $\nu_{zx} = 0,248$  و  $\nu_{xy} = 0,458$ . مطلوب است تغییر ابعاد مکعب، با این فرض که (الف) مکعب در امتدادهای  $y$  و  $z$  آزادانه منطبق شود (شکل ۵۶-۲)، (ب) مکعب در امتداد  $x$  آزادانه منطبق شود، اما در

با مقایسه نتایج قسمت‌های الف و ب، دیده می‌شود که اختلاف بین مقادیر  $\delta_z$  در امتداد تارها ناچیز است. ولی، اختلاف بین مقادیر تغییر شکل جانبی  $\delta_y$  ناچیز نیست. بدینه است که وقتی مکعب تواند در امتداد  $y$  تغییر شکل دهد، تغییر شکل جانبی  $\delta_y$  بیشتر خواهد بود.

مسئله نمونه ۵-۲  
سوراخی به قطر  $d = 225 \text{ mm}$  روی یک ورق بسیار نتش آلمینیم با ضخامت  $t = 18 \text{ mm}$  با سوزن خط‌کشی شده است. نیروهای وارد بر ورق باعث ایجاد تنش‌های قائم  $E = 70 \text{ GPa}$  و  $\sigma_x = 140 \text{ MPa}$  و  $\sigma_z = 84 \text{ MPa}$  شده‌اند. برای  $\nu_{xy} = 0.28$ ، مطابقت (الف) تغییر قطر  $AB$ ، (ب) تغییر قطر  $CD$ ، (ج) تغییر ضخامت ورق، (د) تغییر حجم ورق.



حل

قانون هوک در اینجا  $\sigma_y = 0$ . با استفاده از معادله‌های (۲۸-۲)، کرنش در هر یک از جهت‌های مختصاتی را می‌یابیم.

$$\begin{aligned}\epsilon_x &= +\frac{\sigma_x}{E} - \frac{\nu \sigma_y}{E} - \frac{\nu \sigma_z}{E} \\ &= \frac{1}{70 \text{ GPa}} \left[ (84 \text{ MPa}) - 0 - \frac{1}{3} (140 \text{ MPa}) \right] \\ &= +0.533 \times 10^{-7} \text{ mm/mm}\end{aligned}$$

$$\begin{aligned}\epsilon_y &= -\frac{\nu \sigma_x}{E} + \frac{\sigma_y}{E} - \frac{\nu \sigma_z}{E} \\ &= -\frac{1}{70 \text{ GPa}} \left[ -\frac{1}{3} (84 \text{ MPa}) + 0 - \frac{1}{3} (140 \text{ MPa}) \right] \\ &= -1.067 \times 10^{-7} \text{ mm/mm}\end{aligned}$$

$$\begin{aligned}\epsilon_z &= -\frac{\nu \sigma_x}{E} - \frac{\nu \sigma_y}{E} + \frac{\sigma_z}{E} \\ &= -\frac{1}{70 \text{ GPa}} \left[ -\frac{1}{3} (84 \text{ MPa}) - 0 + (140 \text{ MPa}) \right] \\ &= +1.900 \times 10^{-7} \text{ mm/mm}\end{aligned}$$

با ضرب کردن کرنش‌های متناظر در طول ضلع مکعب، تغییرات ابعاد مکعب بعدست می‌آیند:

$$\delta_x = \epsilon_x L = (-249.7 \times 10^{-7})(0.060 \text{ m}) = -15.0 \mu\text{m}$$

$$\delta_y = \epsilon_y L = (+0.28 \times 10^{-7})(0.060 \text{ m}) = +0.72 \mu\text{m}$$

$$\delta_z = \epsilon_z L = (+1.900 \times 10^{-7})(0.060 \text{ m}) = +11.4 \mu\text{m}$$

(ب) انساط آزاد در امتداد  $x$ ، مقید در امتداد  $y$ ، تنش در امتداد  $z$  مانند قسمت الف است، یعنی،  $\sigma_x = -38.84 \text{ MPa}$ ، مکعب می‌تواند در امتداد  $z$  منبسط شود، و  $\sigma_y = 0$ . مکعب نمی‌تواند در امتداد  $y$  منبسط شود، و  $\sigma_z = 0$ . لذا  $\delta_y = 0$ .  $\delta_x = -15.0 \mu\text{m}$ ،  $\delta_z = 11.4 \mu\text{m}$  را در معادله دوام (۴۵-۲) جایگذاری و  $\sigma_x$  را می‌یابیم، پس از جایگذاری داده‌ها،

$$\begin{aligned}\sigma_x &= \left( \frac{E_y}{E_x} \right) \nu_{xy} \sigma_y = \left( \frac{12/10}{155/10} \right) (-38.84 \text{ MPa}) \\ &= -752.4 \text{ kPa}\end{aligned}$$

اکنون از معادله اول و آخر (۴۵-۲) برای محاسبه متوجههای کرنش  $\epsilon_x$  و  $\epsilon_z$  استفاده می‌کنیم. اما معادله اول (۴۵-۲) شامل نسبت پواسون  $\nu_{xz}$  است. همانطور که قبله دیدیم، این نسبت با  $\nu_{yz}$  برابر نیست. برای تعیین  $\nu_{xz}$  از معادله اول (۴۶-۲) استفاده می‌کنیم و می‌نویسیم:

$$\nu_{xz} = \left( \frac{E_y}{E_x} \right) \nu_{xy} = \left( \frac{12/10}{155/10} \right) (0.248) = 0.1936$$

با قرار دادن  $\nu_{xz} = 0.1936$  در معادله‌های اول و سوم (۴۵-۲) و با جایگذاری مقادیر داده شده  $E_x = 155 \text{ GPa}$ ،  $E_y = 12 \text{ GPa}$  و  $\nu_{xy} = 0.28$ ، و تجزیه مقادیر حاصل برای  $\sigma_x$ ،  $\sigma_y$  و  $\sigma_z$  در این معادله‌ها، داریم:

$$\begin{aligned}\epsilon_x &= \frac{\sigma_x}{E_x} - \frac{\nu_{xy}\sigma_y}{E_y} = \frac{-38.84 \text{ MPa}}{155 \text{ GPa}} \\ &\quad - \frac{(0.1936)(-752.4 \text{ kPa})}{12 \text{ GPa}} = -249.7 \times 10^{-7} \\ \epsilon_z &= -\frac{\nu_{xz}\sigma_x}{E_x} - \frac{\nu_{yz}\sigma_y}{E_y} = -\frac{(0.1936)(-38.84 \text{ MPa})}{155 \text{ GPa}} \\ &\quad - \frac{(0.28)(-752.4 \text{ kPa})}{12 \text{ GPa}} = +0.72 \times 10^{-7}\end{aligned}$$

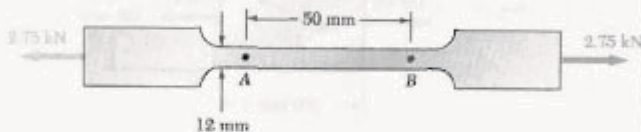
با ضرب کردن کرنش‌های متناظر در طول ضلع مکعب، تغییرات ابعاد مکعب بعدست می‌آیند:

$$\delta_x = \epsilon_x L = (-249.7 \times 10^{-7})(0.060 \text{ m}) = -14.98 \mu\text{m}$$

$$\delta_y = \epsilon_y L = (0)(0.060 \text{ m}) = 0$$

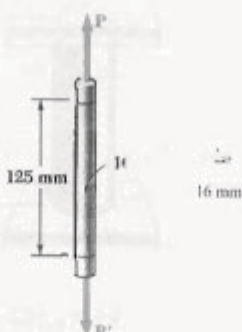
$$\delta_z = \epsilon_z L = (+0.72 \times 10^{-7})(0.060 \text{ m}) = +0.44 \mu\text{m}$$

- ۶۳-۲، مطلوب است: (الف) تغییر طول سنجه  $AB$ ،  
 (ب) تغییر عرض قسمت  $AB$ ، (ج) تغییر ضخامت قسمت  $AB$ ،  
 (د) تغییر مساحت مقطع عرضی  $AB$ .



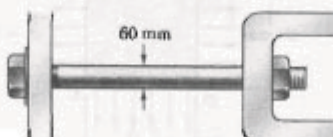
شکل ۶۳-۲

۶۳-۲ از آزمایش کشش استاندارد برای تعیین خواص یک پلاستیک آزمایشی استفاده می‌شود. نمونه آزمایشی میله‌ای به قطر  $16\text{ mm}$  است و تحت نیروی کششی  $2\text{ kN}$  قرار دارد. اگر کشیدگی  $11\text{ mm}$  و کاهش قطر  $6.25\text{ mm}$  را برای طول سنجه  $125\text{ mm}$  داشته باشیم، مدول الاستیپیته، مدول صلابت، و نسبت پواسون ماده را بیابیم.



شکل ۶۳-۲

۶۴-۲ تغییر قطر یک بیچ بزرگ فولادی، هنگام سفت شدن مهره، با دقت اندازه‌گیری می‌شود. اگر  $E = 200\text{ GPa}$  و  $\nu = 0.29$ ، نیروی داخلی در بیچ را برای کاهش قطر  $13\mu\text{m}$  بیابید.



شکل ۶۴-۲

الف. قطر  $AB$ . تغییر طول آن عبارت است از  
 $\delta_{B/A} = \epsilon_x d = +0.023 \times 10^{-7} \text{ mm/mm} (225 \text{ mm})$   
 $\delta_{B/A} = +0.12 \text{ mm}$

ب. قطر  $CD$   
 $\delta_{C/D} = \epsilon_z d = (+1.8 \times 10^{-7} \text{ mm/mm})(225 \text{ mm})$

$\delta_{C/D} = +0.18 \text{ mm}$

ج. ضخامت. با توجه به  $t = 18 \text{ mm}$

$\delta_t = \epsilon_y t = (-1.067 \times 10^{-7} \text{ mm/mm})(18 \text{ mm})$

$\delta_t = -0.0192 \text{ mm}$

د. حجم ورق. با استفاده از معادله (۳۰-۲)

$$\epsilon = \epsilon_x + \epsilon_y + \epsilon_z = (+0.023 - 1.067 + 1.8) \times 10^{-7}$$

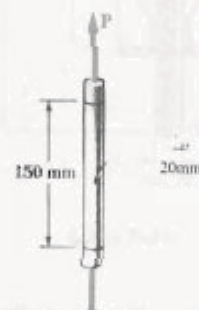
$$= +0.067 \times 10^{-7}$$

$\Delta V = \epsilon V = +0.067 \times 10^{-7} [(18 \times 10^3)(18 \times 10^3)(18 \text{ mm})]$

$\Delta V = +77777 \text{ mm}^3$

### مسائل

۶۱-۲ در آزمایش کشش استاندارد، یک میله فولادی به قطر  $20\text{ mm}$  تحت نیروی کششی  $17\text{ kips}$  قرار دارد. اگر  $E = 20\text{ GPa}$  و  $\nu = 0.35$ ، مطلوب است: (الف) کشیدگی میله با طول سنجه  $150\text{ mm}$ ، (ب) تغییر قطر میله.

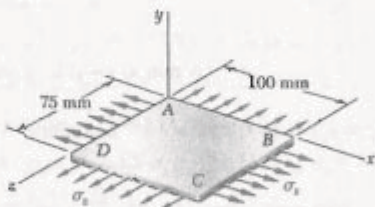


شکل ۶۱-۲

۶۲-۲ قطعه نشان داده شده از ورق تحت فولادی به ضخامت  $1.6\text{ mm}$  ساخته شده است. برای  $E = 200\text{ GPa}$  و

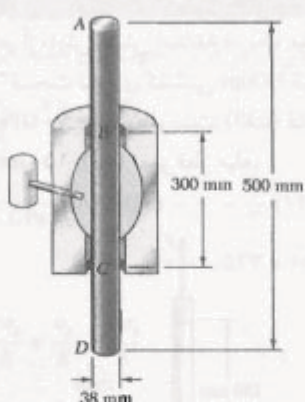
RuEB

۶۸-۲ یافته که در سازه‌های بادشو به کار می‌رود تحت بارگذاری دو محوری قرار دارد و نتش‌های قائم  $\sigma_x = 120 \text{ MPa}$  و  $\sigma_z = 160 \text{ MPa}$  در آن به وجود آمده است. اگر خواص یافته را به صورت  $E = 70 \text{ GPa}$  و  $v = 0.34$  تقریب بزنیم، مطلوب است تغییر طول: (الف) ضلع  $AB$ ، (ب) ضلع  $BC$ ، (ج) قطر  $AC$ .



شکل ۶۸-۲

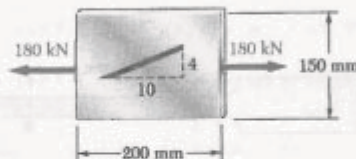
۶۹-۲ میله برنجی  $AD$  در زاکتی جازده شده است و فشار هیدروستاتیکی  $42 \text{ MPa}$  بر قسمت  $BC$  میله به طول  $300 \text{ mm}$  وارد شده است. اگر  $E = 70 \text{ GPa}$  و  $v = 0.36$ ، مطلوب است: (الف) تغییر طول کل  $AD$ ، (ب) تغییر قطر قسمت  $BC$  میله.



شکل ۶۹-۲

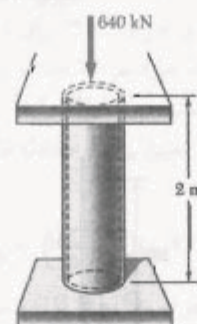
۷۰-۲ در مسئله ۶۹-۲، مطلوب است تغییر نیرویی که باید بر سر  $A$  و  $D$  وارد کرد تا: (الف) کرنش محوری در قسمت  $BC$  صفر بماند، (ب) طول کل  $AD$  تغییر نکند.

۶۵-۲ خط مایلی با شیب  $4^\circ$  روی پرچ زرد، به عرض  $150 \text{ mm}$  و ضخامت دیواره  $6 \text{ mm}$  حک شده است. با استفاده از پیوست ب، شیب این خط را تحت بار محوری  $180 \text{ kN}$  بیابید.



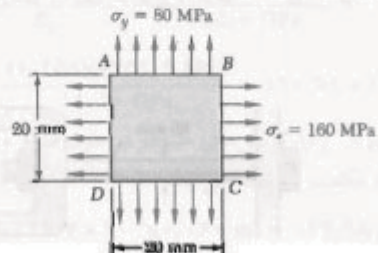
شکل ۶۵-۲

۶۶-۲ از یک لوله آلومینیمی به طول  $2 \text{ m}$  و با قطر خارجی  $240 \text{ mm}$  و با ضخامت دیواره  $10 \text{ mm}$  به عنوان یک ستون کوتاه استفاده می‌شود. این لوله، بار محوری مرکزی  $640 \text{ kN}$  را تحمل می‌کند. اگر  $E = 73 \text{ GPa}$  و  $v = 0.33$ ، مطلوب است: (الف) تغییر طول لوله، (ب) تغییر قطر خارجی، (ج) تغییر ضخامت دیواره آن.



شکل ۶۶-۲

۶۷-۲ مربعی به ضلع  $20 \text{ mm}$  روی مخزن فولادی بزرگی حک شده است. پس از این که مخزن تحت فشار قرار می‌گیرد، حالت نتش دو محوری نشان داده شده در مربع به وجود می‌آید. با استفاده از پیوست ب برای فولاد ساخته‌نامی، درصد تغییر شبکه قطر  $DB$  را بیابید.



شکل ۶۷-۲

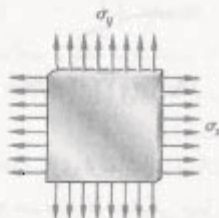
RNUEB

۷۴-۲ معمولاً، تش قائم در یک جهت معین صفر است؛ مثلاً، برای صفحه نازک نشان داده شده،  $\sigma_z = 0$ . در این حالت، که آن را تش صفحه‌ای می‌گویند، نشان دهد که اگر کرنش‌های  $\epsilon_x$  و  $\epsilon_y$  به طور آزمایشی تعیین شوند،  $\sigma_z = \sigma_x + \nu \epsilon_y$  را می‌توان به صورت زیر بیان کرد:

$$\sigma_z = E \frac{\epsilon_x + \nu \epsilon_y}{1 - \nu^2}$$

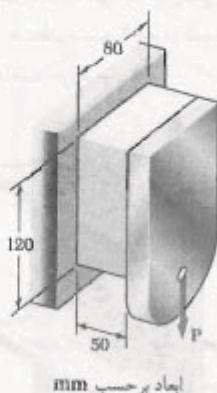
$$\sigma_y = E \frac{\epsilon_y + \nu \epsilon_x}{1 - \nu^2}$$

$$\epsilon_z = -\frac{\nu}{1 - \nu} (\epsilon_x + \epsilon_y)$$



شکل ۷۴-۲

۷۵-۲ قطعه پلاستیکی نشان داده شده به یک تکیه‌گاه صلب و صفحه قائم متصل است. بار  $P = 240 \text{ kN}$  بر قطعه وارد می‌شود. اگر برای پلاستیک  $G = 1050 \text{ MPa}$ ، انحراف صفحه را بباید.

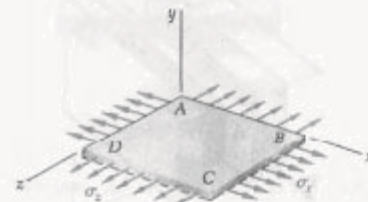


شکل ۷۵-۲

۷۶-۲ در متنه ۷۵-۲، مطلوب است بار  $P$  به طوری که انحراف  $1.0 \text{ mm}$  در قطعه بوجود آید.

۷۶-۳ برای عضوی که تحت بارگذاری محوری است، مطلوب است کرنش قائم  $\epsilon_z$  در جهتی که با محور بار زاویه  $45^\circ$  دارد برحسب کرنش محوری  $\epsilon_z$ : (الف) با مقایسه و تراهای مثلث‌های نشان داده شده در شکل ۷۴-۲ که، به ترتیب، یک جزء را در قبیل و بعد از تغییر شکل نشان می‌دهند، (ب) با استفاده از مقادیر تشنهای متضاد  $\sigma_x$  و  $\sigma_y$  نشان داده شده در شکل ۱.۴۰، و قانون عمومی هوک.

۷۶-۴ صفحه همگن ABCD تحت بارگذاری دو محوری نشان داده شده قرار دارد. می‌دانیم که  $\sigma_x = \sigma_z = 0$  و تغییر طول صفحه در جهت  $x$  باید صفر باشد، یعنی،  $\epsilon_x = 0$ . اگر مدول الاستیسیته را با  $E$  و نسبت پواسون را با  $\nu$  نشان دهیم، مطلوب است: (الف) مقدار موره نیاز  $\sigma_z$ ، (ب) نسبت  $\epsilon_x/\epsilon_z$ .



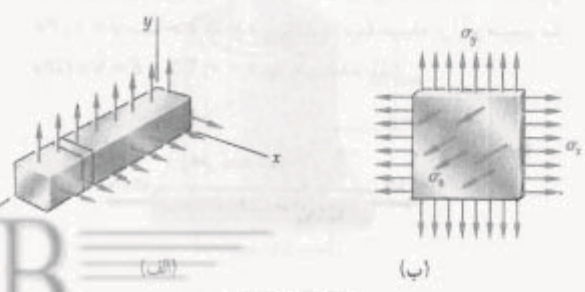
شکل ۷۶-۴

۷۳-۲ در اغلب موارد، قیدهای فیزیکی مانع ایجاد کرنش در جهت خاصی می‌شوند؛ مثلاً، در حالت نشان داده شده که در آن از حرکت طولی منشور یلندر جلوگیری می‌شود،  $\epsilon_x = 0$ . مقاطع صفحه‌ای عمود بر محور طولی به صورت صفحه‌ای می‌مانند و فاصله بین آنها تغییر نمی‌کند. نشان دهد که در این حالت، که آن را کرنش صفحه‌ای می‌گویند،  $\sigma_z = \sigma_x + \nu \epsilon_x$  را می‌توان به صورت زیر بیان کرد:

$$\sigma_z = \nu(\sigma_x + \sigma_y)$$

$$\epsilon_x = \frac{1}{E} [(1 - \nu^2) \sigma_x - \nu(1 + \nu) \sigma_y]$$

$$\epsilon_y = \frac{1}{E} [(1 - \nu^2) \sigma_y - \nu(1 + \nu) \sigma_x]$$

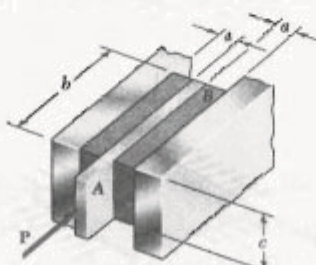


(ب)

شکل ۷۳-۲

۸۱-۲ در مسئله ۸۱-۲، فرض کنید  $b = 220\text{ mm}$  و  $a = 20\text{ mm}$ . مدول برشی  $G = 72\text{ GPa}$  و تنش برشی  $\sigma_y$  را برای ماسکرینم  $\delta = 12\text{ mm}$  بار جابجی  $P = 19\text{ kN}$  و ماسکرینم تغییر مکان  $\delta = 1.5\text{ mm}$  مشود، مدول صلابت لاستیک را بیابند.

۸۱-۳ دو قطعه لاستیکی با مدول صلابت  $G = 72\text{ MPa}$  به تکیه‌گاههای صلب و به ورق  $AB$  متصل‌اند. اگر  $c = 100\text{ mm}$  و  $P = 40\text{ kN}$ ، مطلوبست کمترین ابعاد مجاز  $a$  و  $b$  در صورتی که بخواهیم تنش برشی در لاستیک از  $4\text{ MPa}$  بیشتر نشود و کمترین انحراف ورق  $0\text{ mm}$  باشد.

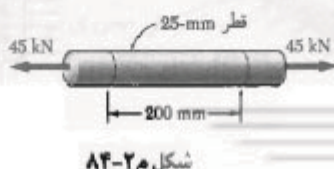


شکل ۸۱-۳ و ۸۲-۳

۸۲-۳ دو قطعه لاستیکی با مدول صلابت  $G = 10\text{ MPa}$  به تکیه‌گاههای صلب و به ورق  $AB$  متصل‌اند. اگر  $b = 200\text{ mm}$  و  $a = 125\text{ mm}$ ، مطلوبست بیشترین بار مجاز  $P$  و کمترین ضخامت مجاز  $a$  قطعات در صورتی که بخواهیم تنش برشی در لاستیک از  $1.5\text{ MPa}$  بیشتر نشود و حداقل انحراف ورق  $6\text{ mm}$  باشد.

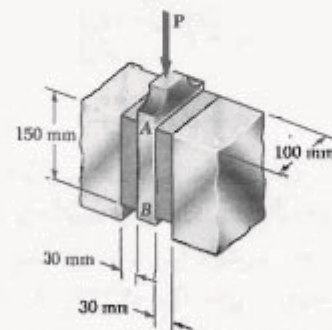
۸۳-۲ مطلوبست تغییر حجم قطعه  $AB$  با طول سنجه  $50\text{ mm}$  در مسئله ۶۸-۲ (الف) با مقایسه انساع ماده، (ب) با تغییر حجم از لیه قسمت  $AB$  از حجم نهایی آن.

۸۴-۲ مطلوبست انساع  $e$  و تغییر حجم میله به طول  $200\text{ mm}$  در صورتی که: (الف) میله از فولاد  $E = 200\text{ GPa}$  و  $v = 0.30$  ساخته شده باشد، (ب) میله از آلومینیم با  $E = 70\text{ GPa}$  و  $v = 0.35$  ساخته شده باشد.



شکل ۸۴-۲

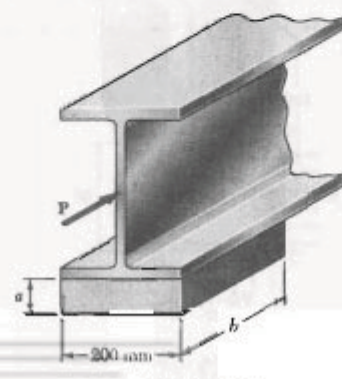
۷۷-۲ واحد جداولی ارتعاشات نشان داده شده مشکل است از دو قطعه سفت لاستیکی که به ورق  $AB$  و به تکیه‌گاههای صلب متصل است. اگر نیروی  $P = 24\text{ kN}$  باعث انحراف  $\delta = 1.5\text{ mm}$  مشود، مدول صلابت لاستیک را بیابند.



شکل ۷۷-۲ و ۷۸-۲

۷۸-۲ واحد جداولی ارتعاشات نشان داده شده مشکل است از دو قطعه سفت لاستیکی با مدول صلابت  $G = 19\text{ MPa}$  که به ورق  $AB$  و به تکیه‌گاههای صلب متصل است. اگر  $P$  مقدار نیروی وارد و  $\delta$  انحراف متناظر باشد، ثابت فریت مجموعه را بیابند.

۷۹-۲ برای انعطاف‌پذیری در ضمن زلزله، مطابق شکل از یاتاقان الاستومتریک ( $G = 9\text{ MPa}$ ) برای نگهداری شاه‌تیر پل استفاده شده است. تیر تحت بار جابجی  $22\text{ kN}$  باید بیشتر از  $10\text{ mm}$  تغییر مکان دهد. اگر ماسکرینم تنش برشی  $\sigma_y$  را  $420\text{ kPa}$  باید، مطلوبست: (الف) کمترین بُعد مجاز  $b$ ، (ب) کمترین ضخامت موردنیاز  $a$ .



شکل ۷۹-۲

۸۸-۲<sup>\*</sup> یک نکه‌گاه ایزولاسیون ارتعاشات مشکل است از میله A با شعاع  $R_A = 10 \text{ mm}$  و لوله B با شعاع داخلی  $R_b = 25 \text{ mm}$  که به یک استوانه لاستیکی تو خالی به طول  $80 \text{ mm}$  و با مدول صلابت  $G = 12 \text{ MPa}$  متصل است. مطلوبست ماکریم نیروی جگاز  $P$  که بر میله A می‌توان وارد کرد در صورتی که بخواهیم انحراف از  $2.5 \text{ mm}$  بیشتر نشود.

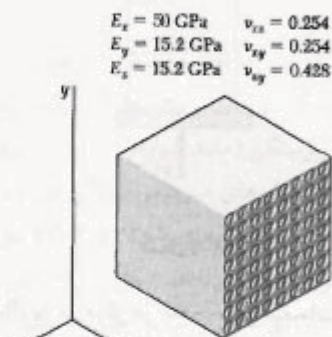
۸۹-۲<sup>\*</sup> ثابت‌های  $E$ ,  $G$ ,  $k$ ,  $v$  یک ماده با معادله‌های (۴۳-۲) و (۴۴-۲) به هم ارتباط داده می‌شوند. نشان دهد که:

$$(a) k = GE / (9G - 2E)$$

$$(b) v = (3k - 2G) / (6k + 2G)$$

۹۰-۲<sup>\*</sup> نشان دهد که، برای تمام مواد، نسبت  $G/E$  (نسبت مدول الاستیسیته به مدول صلابت) همواره کمتر از  $\frac{1}{2}$  و بیشتر از  $\frac{1}{3}$  است (راهنمایی: به معادله (۴۳-۲) و به قسمت ۱۳-۲ مراجعه کنید).

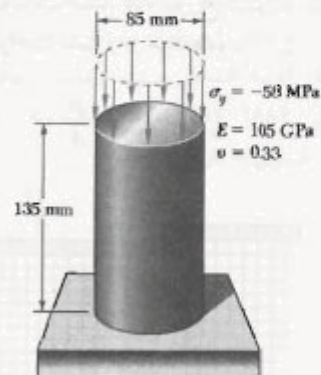
۹۱-۲<sup>\*</sup> مکعبی به ضلع  $40 \text{ mm}$ ، از تارهای پلیمر شیشه که در امتداد  $x$  هستند ساخته شده است. مکعب نمی‌تواند در جهت‌های  $y$  و  $z$  تغییرشکل دهد و تحت بار کششی  $65 \text{ kN}$  در امتداد  $x$  قرار دارد. مطلوبست: (الف) تغییر طول مکعب در جهت  $x$ ، (ب) تنش‌های  $\sigma_x$ ,  $\sigma_y$ ,  $\sigma_z$ ، و  $\tau_{xy}$ .



شکل ۹۱-۲

۹۲-۲<sup>\*</sup> مکعب مرکب مسئله ۸۹-۲ نمی‌تواند در جهت  $z$  تغییرشکل دهد و با اعمال بار کششی در جهت  $x$  به اندازه  $35 \text{ mm}^2$  در جهت  $x$  کشیده می‌شود. مطلوبست: (الف) تنش‌های  $\sigma_x$ ,  $\sigma_y$  و  $\sigma_z$ . (ب) تغییر بعد در جهت  $x$ .

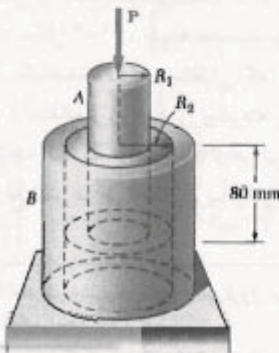
۸۵-۲<sup>\*</sup> (الف) برای بارگذاری محوری نشان داده شده، تغییر ارتفاع و تغییر حجم استوانه برنجی نشان داده شده را بیابید. (ب) قسمت (الف) را با این غرض حل کنید که بارگذاری به صورت هیدروستاتیکی با  $\sigma_x = \sigma_y = \sigma_z = -70 \text{ MPa}$  باشد.



شکل ۸۵-۲

۸۶-۲<sup>\*</sup> کره فولادی توپری به قطر  $150 \text{ mm}$  را در دریا تا عمق ۵ کیلومتری پایین می‌برند (فشار در این نقطه  $50 \text{ MPa}$  است). اگر  $E = 200 \text{ GPa}$  و  $\nu = 0.25$ ، مطلوبست: (الف) کاهش قطر کره، (ب) کاهش حجم کره، (ج) درصد افزایش چگالی کره

۸۷-۲<sup>\*</sup> یک نکه‌گاه ایزولاسیون ارتعاشات مشکل است از میله A با شعاع  $R_A$  و لوله B با شعاع داخلی  $R_b$  که به یک استوانه لاستیکی تو خالی به طول  $80 \text{ mm}$  و با مدول صلابت  $G = 10.93 \text{ MPa}$  متصل است. اگر نیروی  $P$  با مقدار  $10 \text{ kN}$  باعث انحراف میله A به مقدار  $2 \text{ mm}$  شود، مقدار نسبت  $R_b/R_A$  را بیابید.

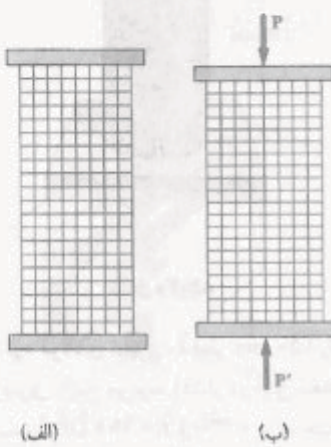


شکل ۸۷-۲ و ۸۸-۲



کرنش در تمام عضو به صورت یکنواخت خواهد بود، به عبارت دیگر، کرنش محوری  $\epsilon_y$  و کرنش جانبی  $\gamma_{xy} = \gamma_{yx}$  ثابت‌اند. اگر تنش‌ها از حد تابع فراور نفوند، با استفاده از قانون هooke می‌توان رابطه  $E\epsilon_y = \sigma_y$  را نوشت. از این رابطه نتیجه می‌شود که تنش قائم  $\epsilon_y$  ثابت است. لذا، توزیع تنش در تمام عضو به صورت یکنواخت است و در هر نقطه،

$$\sigma_y = (\sigma_y)_{ave} = \frac{P}{A}$$



شکل ۵۹-۲ (الف) (ب)

شکل ۵۹-۲

از طرف دیگر، اگر بارها متصرفکر باشند (شکل ۶۰-۲)، اجزای موجود در مجاورت نقاط اثر بارها تحت تنش‌های بزرگی قرار می‌گیرند، در حالی که سایر اجزای نزدیک انتهای عضو تحت تأثیر بارگذاری قرار نمی‌گیرند؛ این موضوع را با مشاهده تغییرشکل‌های بزرگ در نزدیک نقاط اثر بارها، و نبود تغییرشکل در گوشها می‌توان دید. هر چه اجزا از انتهای عضو دورتر می‌شوند، تغییرشکل‌ها یکنواخت‌تر می‌شوند؛ یعنی، توزیع کرنش و تنش در مقطع عرضی عضو یکنواخت‌تر است (شکل ۶۱-۲). در شکل ۶۱-۲، نتیجه محاسبه توزیع تنش‌ها در مقاطع مختلف یک صفحه نازک مستطیلی، که تحت بارهای متصرفکر قرار دارد، با استفاده از روش‌های پیشرفت‌های ریاضی نشان داده شده است. توجه کنید که در فاصله  $a$  از هر انتها (به عرض صفحه است)، توزیع تنش در هر مقطع تقریباً یکنواخت است و

## ۲-۱۷-۲ توزیع تنش و کرنش در بارگذاری محوری: اصل سنت-ونانت

تا به حال، در یک عضو با بارگذاری محوری فرض می‌کردیم تنش‌های فائم در مقاطع عمود بر محور عضو به طور یکنواخت توزیع می‌شوند. در قسمت ۱-۵ دیدیم که چنین فرضی در نواحی مجاور نقاط اثر بارها اشتباه است، و برای تعیین تنش‌های واقعی در یک مقطع باید یک مسئله نامعین استاتیکی را حل کرد.

در قسمت ۹-۲، برای تعیین نیروها در مسائل نامعین استاتیکی از تغییرشکل‌های ناشی از این نیروها استفاده شد. لذا، می‌توان گفت برای تعیین تنش‌ها در یک عضو با یکنواختی حاصل از این تنش‌ها را تحلیل کرد. در کتاب‌های پیشرفت‌های تعیین توزیع تنش‌های متناظر با شرایط مختلف اعمال بار در انتهای عضوها، از روش مذکور و نظریه الاستیتیه استفاده می‌شود. برای تحلیل تنش‌ها می‌توان حالتی را در نظر گرفت که در آن از دو صفحه صلب برای انتقال بار به یک عضو ساخته شده از ماده همسانگرد استفاده شده است (شکل ۵۸-۲).



شکل ۵۸-۲

با اعمال بار در مرکز هر صفحه، این صفحات<sup>\*</sup> به طرف  $\pm$  نزدیک می‌شوند بدون اینکه بچرخدند. درنتیجه، عضو کوتاه<sup>\*\*</sup> می‌شود و عرض و ضخامت آن افزایش می‌یابد. می‌توان فرض کرد عضو به طور مستقیم می‌ماند، مقاطع صفحه‌ای آن به صورت صفحه‌ای می‌مانند و تمام اجزای آن به طور یکسان تغییرشکل می‌دهند (این فرض با شرایط انتهایی داده شده سازگار است). شکل ۵۹-۲ یک مدل لاستیکی واقعی و بعد از بارگذاری نشان می‌دهد<sup>\*\*\*</sup>. با تغییرشکل یکسان اجزاء، توزیع

\* به عبارت دقیق‌تر، خط اثر مشترک بارها از مرکزوار مقطع هندسی بگذرد (به قسمت ۵.۱ مراجعه کنید).

\*\* عقرهای باریک و بلندی که تحت بار زیاد قرار می‌گیرند ممکن است کند. اگر این موضوع در فصل ۱۵ بررسی می‌شود.

بارگذاری نشان می‌دهد<sup>\*\*\*</sup>. با تغییرشکل یکسان اجزاء، توزیع

برای محاسبه تشن در یک عضو، با استفاده از اصل سنت-ونات می‌توان بارگذاری داده شده را با بارگذاری ساده‌تری جایگزین کرد. گفتنی است که هنگام کاربرد اصل مذکور به دو نکته مهم باید توجه داشت:

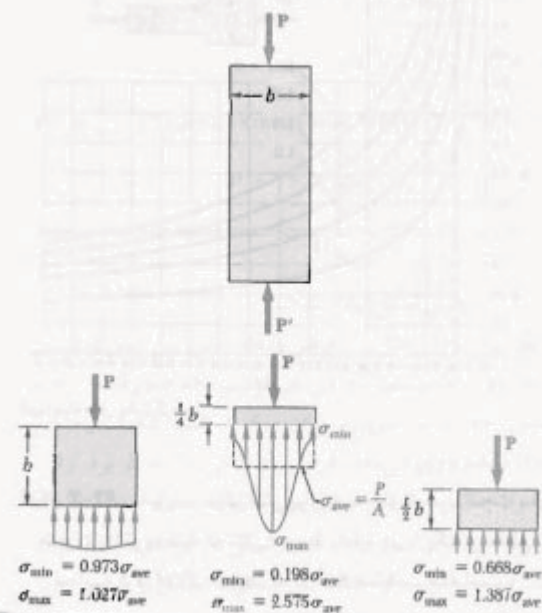
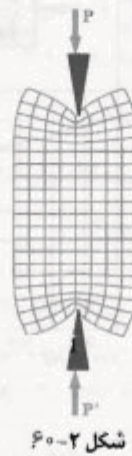
- ۱- بارگذاری واقعی و بارگذاری مورد استفاده در محاسبه تشها باید از نظر استاتیکی هم ارز باشند.
- ۲- یا این روش نمی‌توان تشها را در مجاورت نقاط اثر بار محاسبه کرد، و برای این منظور باید از روش‌های پیشرفته نظری یا تجربی بهره گرفت.

صفحاتی که برای تعیین توزیع تشن یکنواخت در عضو شکل ۵۹-۲ به کار رفته‌اند نباید مانع انبساط آزاد جانی عضو شوند. لذا، صفحات نمی‌توانند به صورت صلب به عضو متصل شوند و فرض می‌شود که آنها فقط با عضو تماس دارند و آنقدر صاف‌اند که مانع انبساط جانبی عضو نمی‌شوند. در عمل، این شرایط برای یک عضو فشاری برقرار می‌شوند، ولی برای عضو کشی برقرار نمی‌شوند. البته، این که نتوانیم فیکچری را به عنوان عضوی بگیریم که توزیع تشها در آن یکنواخت است موضوع مهمی نیست. مهم این است که مدلی را تصوید کنیم که توزیع تش در آن یکنواخت است، و سپس این مدل را با شرایط واقعی بارگذاری مقایسه کنیم.

## ۱۸-۲ تمرکز تش

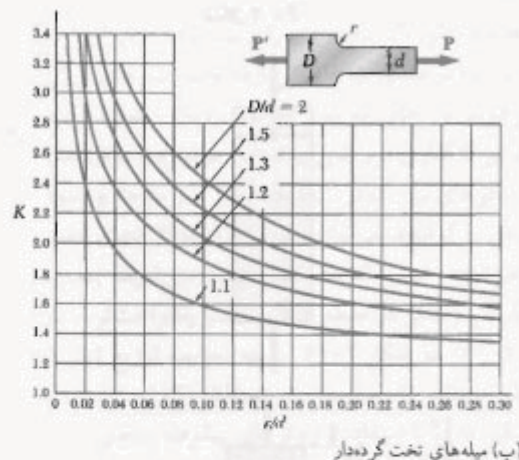
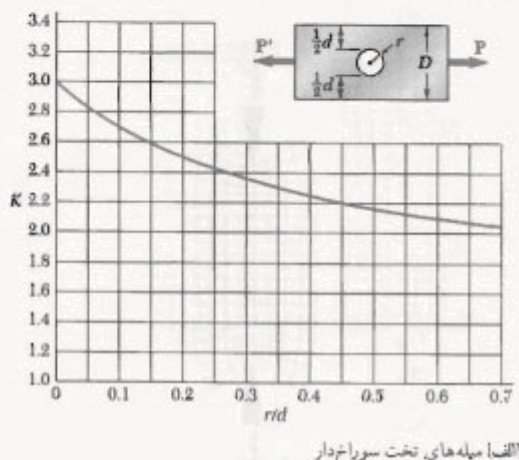
در قسمت قبل دیدید که تش در نزدیک نقاط اثر بارهای متتمرکز ممکن است خیلی بزرگتر از مقدار متوسط آن باشد. وقتی عضوی دارای یک ناپیوستگی (مانند سوراخ یا تغییر ناگهانی مقطع عرضی است)، تشهای موضعی بزرگی در نزدیک ناپیوستگی به وجود می‌آید. شکل‌های ۶۲-۲ و ۶۳-۲ توزیع تش در مقاطع بحرانی را نشان می‌دهند. شکل ۶۲-۲ برای میله تخت با یک سوراخ دایره‌ای است و توزیع تش در یک مقطع گذر از مرکز سوراخ را نشان می‌دهد. شکل ۶۳-۲ برای یک میله تخت است که از دو قسمت با عرض‌های متفاوت، که با گرده (ماهیچه) به هم متصل‌اند، تشکیل شده است؛ این شکل، توزیع تش در بارگذاری‌کردن قسمت اتصال را نشان می‌دهد. در این فهمت، تش بزرگی ایجاد می‌شود.

مقدار تش  $\sigma$  در هر نقطه از آن مقطع را می‌توان با مقدار متوسط  $P/A$  برابر گرفت. لذا، در فاصله برابر با عرض عضو یا در فاصله بیشتر از آن، توزیع تش در عرض یک مقطع به طور یکنواخت است، خواه عضو مانند شکل ۵۸-۲ بارگذاری شده باشد خواه مانند شکل ۶۰-۲. به عبارت دیگر، به جز در نواحی مجاور نقاط اثر بارها، توزیع تش را می‌توان مستقل از حالت اعمال بار دانست. این اصل را، به افتخار سنت-ونات ریاضی دان و مهندس فرانسوی (۱۷۹۷-۱۸۸۶)، همی سنت-ونات می‌گویند و برای هر نوع بارگذاری به کار می‌رود.



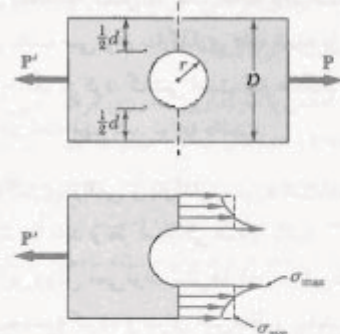
شکل ۶۱-۲

تمرکز تنش را می‌توان بر حسب نسبت‌های پارامترهای هندسی موجود محاسبه، و نتایج حاصل را به صورت جدول یا نمودار بیان کرد (شکل ۶۴-۲). برای تعیین تنش ماکریم در نزدیک نایپوستگی عضوی که تحت بار محوری  $P$  قرار دارد، طراح فقط باید تنش متوسط  $\sigma_{ave} = P/A$  را در مقطع بحرانی محاسبه کند، و نتیجه حاصل را در ضرب تمرکز تنش  $K$  ضرب کند. این روش تا وقتی صحت دارد که  $\sigma_{max}$  از حد تناسب ماده فراتر نرود، زیرا منحنی‌های شکل ۶۴-۲ با فرض رابطه خطی بین تنش و کرنش به دست آمده‌اند.

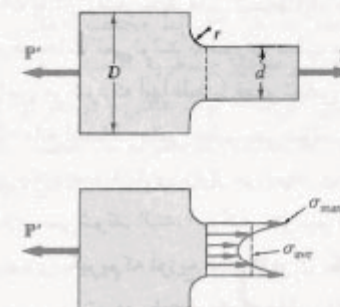


شکل ۶۴-۲ ضرباب تمرکز تنش برای میله‌های تخت تحت بار محوری<sup>\*</sup> (نوجه کنید که تنش متوسط را باید در باریکترین مقطع محاسبه کرد:  $\sigma_{ave} = P/td$ ، که در آن  $t$  ضخامت میله است).

\* W. D. Pilkey, *Peterson's Stress Concentration Factors*, 2<sup>nd</sup> ed., John Wiley & Sons, New York, 1997.



شکل ۶۴-۲ توزیع تنش در نزدیک سوراخ دایره‌ای در میله تخت تحت بار محوری.



شکل ۶۴-۲ توزیع تنش در نزدیک گرده‌ها در میله تخت تحت بار محوری.

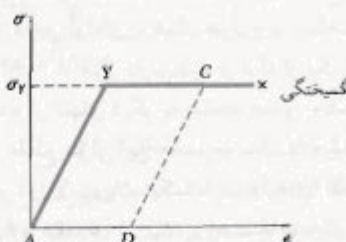
این نتایج، با استفاده از روش فوتولاستیک، به طور تجربی بعدست آمدند. نتایج مذکور مستقل از اندازه و جنس عضو هستند و فقط بستگی به نسبت پارامترهای هندسی عضو دارند،  $D/d$ ,  $r/d$ ,  $t/d$ ، نسبت‌های ۱.۱، ۱.۲، ۱.۳ و ۱.۵، نسبت  $D/d$  در سوراخ دایره‌ای، رنیت‌های در گرده‌ها، به علاوه، طراح بیشتر مایل است مقدار ماکریم تنش را در مقطع معینی بیابد، نه توزیع واقعی تنش در آن مقطع را، زیرا می‌خواهد برسی کند که آیا، تحت بارگذاری داده شده، این مقدار ماکریم از تنش مجاز بیشتر است یا نه، و موضوع مکان این مقدار ماکریم برای او اهمیتی ندارد. به این دلیل، نسبت زیر را تعریف می‌کیم:

$$K = \frac{\sigma_{max}}{\sigma_{ave}} \quad (48-2)$$

عبارت است از نسبت تنش ماکریم به تنش متوسطی که در مقطع بحرانی (باریکترین مقطع) محاسبه می‌شود، و آن را ضرباب تمرکز تنش برای نایپوستگی داده شده می‌گویند. ضرباب

قسمت‌های قبل صحت خود را از دست می‌دهند. در این صورت، باید از یک تحلیل پیچیده‌تر، مبتنی بر رابطه غیرخطی بین تنش و کرنش، استفاده کرد.

تحلیل مبتنی بر رابطه واقعی بین تنش و کرنش فراتر از این کتاب است. ولی، با در نظر گرفتن یک ماده الاستوپلاستیک ایده‌آل که نمودار تنش-کرنش آن از دو پاره خط مستقیم تشکل می‌شود (شکل ۶۵-۲)، رفتار پلاستیک را به خوبی می‌توان درک کرد. لفظی است که نمودار تنش-کرنش فولاد متوسط در نواحی الاستیک و پلاستیک با این ایده‌السازی مشابه است. تنش و قدرت  $\sigma$  کمتر از استقامات تسلیم  $\sigma_0$  است، ماده دارای رفتار الاستیک است و از قانون هooke،  $\sigma = E\varepsilon$ ، پیروی می‌کند. وقتی به مقدار  $\Delta\varepsilon$  منسوب شود، ماده شروع به تسلیم می‌کند و تغییر شکل پلاستیک خود را تحت یک بار ثابت ادامه می‌دهد. با حذف بار، این بار برداری در امتداد پاره خط مستقیم  $CD$  به موازات قسمت اولیه  $AY$  منحنی بارگذاری روی می‌دهد. پاره خط  $AD$  در محورافقی، کرنش متناظر با تغییر شکل پلاستیک دائم را که حاصل از بارگذاری و باربرداری نمونه است نشان می‌دهد. گرچه هیچ ماده واقعی دقیقاً مانند شکل ۶۵-۲ رفتار نمی‌کند، ولی این نمودار در بحث تغییر شکل‌های پلاستیک مواد چکش خوار، مانند فولاد متوسط، مفید واقع می‌شود.



شکل ۶۵-۲

میله‌ای به طول  $L = ۵۰۰ \text{ mm}$  و با مساحت مقطع عرضی  $A = ۶۰ \text{ mm}^2$  از یک ماده الاستوپلاستیک ساخته شده است. این ماده در ناحیه الاستیک دارای مدول الاستیک  $E = ۲۰۰ \text{ GPa}$  است و نقطه تسلیم آن،  $\sigma_0 = ۳۰ \text{ MPa}$ . این میله تا کشیدگی  $7 \text{ mm}$  تحت بار محوری قرار می‌گیرد و می‌تواند حذف می‌شود. تغییر شکل پلاستیک حاصل چقدر است؟

## مثال ۱۲-۲

یک میله تحت فولادی از دو قسمت با عرض‌های  $۴۰ \text{ mm}$  و  $۶۰ \text{ mm}$ ، هر یک به ضخامت  $۱۰ \text{ mm}$ ، تشکیل شده است. این دو قسمت توسط گردهای با شاعع  $r = ۸ \text{ mm}$  به هم متصل شده‌اند. ماکریم بار محوری را که می‌توان با اطمینان بر این میله وارد کرد بیاید. تنش قائم مجاز را  $165 \text{ MPa}$  بگیرید. ابتدا نسبت‌های زیر را تشکیل می‌دهیم:

$$\frac{D}{d} = \frac{۶۰ \text{ mm}}{۴۰ \text{ mm}} = ۱,۵ \quad \frac{r}{d} = \frac{۸ \text{ mm}}{۴۰ \text{ mm}} = ۰,۲$$

با استفاده از معنی شکل ۶۴-۲ ب متناظر با  $D/d = ۱,۵$  و  $r/d = ۰,۲$  را می‌باییم:

$$K = ۱,۸۲$$

با جایگذاری این مقدار در معادله (۴۸-۲) و با حل  $\sigma_{ave}$

$$\sigma_{ave} = \frac{\sigma_{max}}{1,۸۲}$$

اما  $\sigma_{max}$  نمی‌تواند از تنش مجاز  $165 \text{ MPa}$  بیشتر شود. با جایگذاری این مقدار برای  $\sigma_{max}$ ، دیده می‌شود تنش متوسط در بارگذاری این میله  $(d = ۴۰ \text{ mm})$  باید از مقدار زیر بیشتر شود:

$$\sigma_{ave} = \frac{165 \text{ MPa}}{1,۸۲} = ۹۰,۷ \text{ MPa}$$

اما  $A \cdot \sigma_{ave} = P/A$ . درنتیجه،

$$P = A\sigma_{ave} = (۴۰ \text{ mm})(۱۰ \text{ mm})(۹۰,۷ \text{ MPa}) = ۳۶,۳ \times ۱۰^۷ \text{ N}$$

$$P = ۳۶,۳ \text{ kN}$$

## مثال ۱۳-۲

نتایج قسمت‌های قبل را از فرض رابطه خطی بین تنش و کرنش به دست آوریدیم. یعنی، فرض می‌کردیم ماده هیچ‌وقت از حد تناوب خود فراتر نمی‌رود. برای مواد شکننده، که گیختگی بدون تسلیم روی می‌دهد، فرض بالا را می‌توان به کار برد. ولی، در مواد چکش خوار این فرض می‌رساند که ماده از حد استقامات تسلیم خود فراتر نمی‌رود، تغییر شکل در محدوده الاستیک است و عضو، پس از حذف بار، شکل اولیه‌اش را باز می‌باید. ولی، اگر تنش در هر قسمت عضو از استقامات تسلیم ماده بیشتر شود، تغییر شکل پلاستیک روی می‌دهد و اغلب نتایج

ابتدا، نیروی داخلی و کشیدگی میله را تا شروع تسلیم تعیین می‌کنیم:

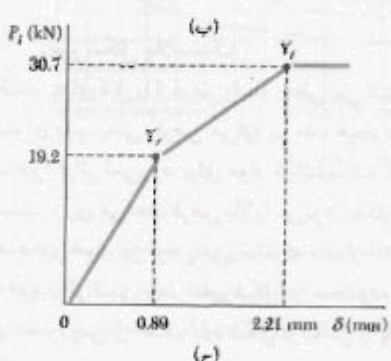
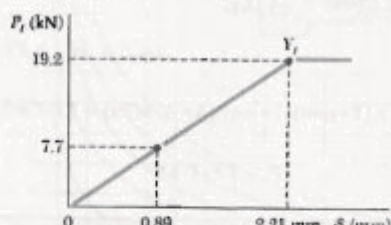
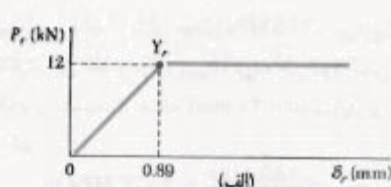
$$(P_r)_Y = (\sigma_r)_Y A_r = (250 \text{ MPa})(48 \text{ mm}^2) = 12 \text{ kN}$$

$$(\delta_r)_Y = (\varepsilon_r)_Y L = \frac{(\sigma_r)_Y}{E_r} L = \frac{250 \text{ MPa}}{210 \text{ GPa}} (0.75 \text{ m}) = 0.89 \text{ mm}$$

چون ماده الاستوپلاستیک است، نمودار نیرو-کشیدگی میله تنها از یک خط مستقیم مایل و یک خط مستقیم افقی تشکیل می‌شود (شکل ۶۷-۲). با استفاده از همین روش برای لوله،

$$(P_r)_Y = (\sigma_r)_Y A_t = (310 \text{ MPa})(62 \text{ mm}^2) = 19.2 \text{ kN}$$

$$(\delta_r)_Y = (\varepsilon_r)_Y L = \frac{(\sigma_r)_Y}{E_t} L = \frac{310 \text{ MPa}}{105 \text{ GPa}} (0.75 \text{ m}) = 2.21 \text{ mm}$$



شکل ۶۷-۲

از شکل ۶۵-۲، کرنش ماکریسم (که با طول نقطه C نشان داده می‌شود) چنین است:

$$\epsilon_C = \frac{\delta_C}{L} = \frac{Y \text{ mm}}{0.75 \text{ mm}} = 1.4 \times 10^{-3}$$

کرنش تسلیم، که با طول نقطه Y نشان داده می‌شود، چنین است:

$$\epsilon_Y = \frac{\sigma_Y}{E} = \frac{300 \times 10^6 \text{ Pa}}{200 \times 10^9 \text{ Pa}} = 1.5 \times 10^{-3}$$

کرنش پس از بار برداری با طول  $\epsilon_D$  نشان داده می‌شود. از شکل ۶۵-۲،

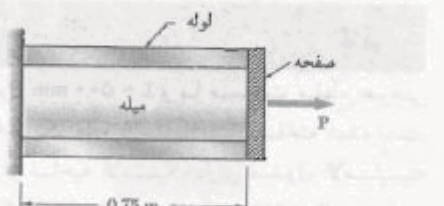
$$\begin{aligned} \epsilon_D &= AD = YC = \epsilon_C - \epsilon_Y \\ &= 1.4 \times 10^{-3} - 1.5 \times 10^{-3} = 12.5 \times 10^{-4} \end{aligned}$$

تغییر شکل پلاستیک  $\delta_D$  متناظر با کرنش  $\epsilon_D$  است:

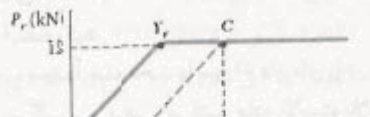
$$\delta_D = \epsilon_D L = (12.5 \times 10^{-4})(0.75 \text{ m}) = 9.25 \text{ mm}$$

مثال ۱۴-۲

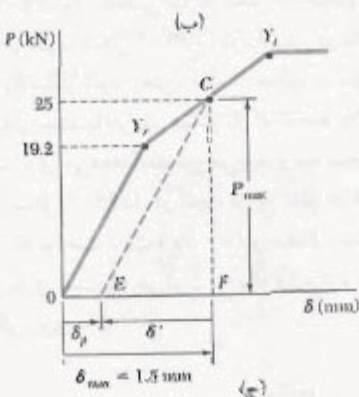
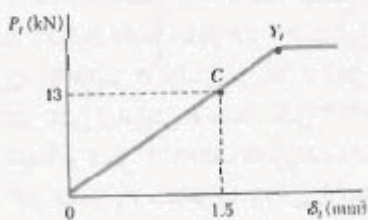
میله استوانه‌ای به طول ۰.۷۵ m و با مساحت مقطع عرضی  $A_r = 48 \text{ mm}^2$  داخل لوله‌ای با همان طول و با مساحت مقطع عرضی  $A_t = 62 \text{ mm}^2$  قرار دارد. میله و لوله از یک انتهای به تکیه‌گاه صلب و از انتهای دیگر به صفحه صلبی متصل‌اند؛ در شکل ۶۶-۲، مقطع طولی این مجموعه نشان داده شده است. میله و لوله هر دو الاستوپلاستیک، با مدول‌های الاستیتیکی  $E_r = 105 \text{ GPa}$  و  $E_t = 210 \text{ GPa}$ ، و استقامات‌های تسلیم  $(\sigma_r)_Y = 310 \text{ MPa}$  و  $(\sigma_t)_Y = 250 \text{ MPa}$  هستند. بار P بر صفحه میله وارد می‌شود. نمودار نیرو-کشیدگی مجموعه میله-لوله را رسم کنید.



شکل ۶۶-۲



(الف)



شکل ۶۸-۲

باره خط  $FE$  در شکل ۶۸-۲ ج تغیرشکل  $\delta'$  مجموعه را در ضمن باربرداری نشان می‌دهد، و باره خط  $0E$  تغیرشکل دائمی  $\delta$  را پس از حذف بار  $P$  نشان می‌دهد. از مثلث  $CEF$ ،

$$\delta' = -\frac{P_{max}}{m} = -\frac{25 \text{ kN}}{21.3 \text{ kN/mm}} = -1.174 \text{ mm}$$

لذا، تغیرشکل دائمی چنین است:

$$\begin{aligned} \delta_p &= \delta_{max} + \delta' = 1.5 \text{ mm} - 1.174 \text{ mm} \\ &= 0.326 \text{ mm} \end{aligned}$$

در قسمت  $CE$ ، تعریف تنش را با فرض رابطه خطی بین تنش و گرفتنش بررسی کردیم. بنابراین، در تغیرشکل پلاستیک که مقدار  $\sigma_{max}$  حاصل از شکل‌های ۶۲-۲ و ۶۳-۲ از استقامت

نمودار نیرو-کشیدگی لوله تههاد را در شکل ۶۷-۲ ب نشان داده شده است. نیرو و کشیدگی مجموعه میله-لوله عبارتند از

$$P = P_r + P_f \quad \delta = \delta_r = \delta_f$$

با جمع کردن عرض نمودارهای میله و لوله (شکل ۶۷-۲)، نمودار نیرو-کشیدگی به دست می‌آید. نقاط  $Y_r$  و  $Y_f$  به ترتیب، متناظر با شروع تسلیم در میله و در لوله هستند.

مثال ۱۵-۲

اگر بار وارد بر مجموعه میله-لوله مثال ۱۴-۲ از صفر تا  $25 \text{ kN}$  افزایش یابد و پس به صفر برگرد، مطابویست: (الف) ماکریم کشیدگی مجموعه، (ب) تغیرشکل پلاستیک پس از حذف بار.

(الف) ماکریم کشیدگی. از شکل ۶۷-۲ ج دیده می‌شود که بار  $P_{max} = 25 \text{ kN}$  متناظر است با نقطه‌ای که روی پاره خط  $Y_r Y_f$  در نمودار نیرو-کشیدگی مجموعه قرار دارد. لذا، میله به ناحیه پلاستیک، با  $P_r = (P_r)_y = 12 \text{ kN}$  و  $\sigma_r = (\sigma_r)_y = 250 \text{ MPa}$  و سیله است ولی لوله هستوز در ناحیه الاستیک است. منویسیم:

$$P_f = P - P_r = 25 \text{ kN} - 12 \text{ kN} = 13 \text{ kN}$$

$$\sigma_f = \frac{P_f}{A_f} = \frac{13 \text{ kN}}{92 \text{ mm}^2} = 210 \text{ MPa}$$

$$\delta_f = \varepsilon_f L = \frac{\sigma_f}{E_f} L = \frac{210 \text{ MPa}}{20.5 \text{ GPa}} (0.75 \text{ m}) = 1.5 \text{ mm}$$

ماکریم کشیدگی مجموعه عبارت است از:

$$\delta_{max} = \delta_f = 1.5 \text{ mm}$$

(ب) تغیرشکل پلاستیک (دائمی). وقتی بار  $P$  از  $25 \text{ kN}$  تا صفر کاهش می‌یابد، نیروهای داخلی  $P_r$  و  $P_f$  هر دو در امتداد یک خط مستقیم کاهش می‌یابند (شکل‌های ۶۸-۲ و ۶۸-۲ ب). نیروی  $P_r$  در امتداد خط  $CD$  به موازات قسمت اویله منحنی بارگذاری کاهش می‌یابد، و نیروی  $P_f$  در امتداد منحنی بارگذاری اویله کاهش می‌یابد زیرا تنش در لوله از مقدار تسلیم بیشتر نشده است. بنابراین، مجموع  $P$  آنها در امتداد خط  $CE$  به موازات قسمت  $0Y$  منحنی نیرو-کشیدگی مجموعه کاهش می‌یابد (شکل ۶۸-۲ ج). از شکل ۶۷-۲ ج دیده می‌شود که شبیه  $0Y$  و نیز شبیه  $CE$ ، چنین است:

$$m = \frac{19.7 \text{ kN}}{0.9 \text{ m}} = 21.3 \text{ kN/mm}$$

اکنون، مقدار ماکریم  $P_Y$  بار را که به ازای آن تغییر شکل دائمی در میله به وجود نمی آید با مقدار  $P_U$  که باعث گیختگی می شود مقایسه می کنیم. با توجه به تعریف تنش متوسط،  $K = \sigma_{ave} = P/A$  و تعریف ضریب تمرکز تنش،  $\sigma_{max} = \sigma_{ave}/\sigma_{ave}$  برای هر مقدار  $\sigma_{ave}$  که از  $\sigma_Y$  بیشتر نباشد، می نویسیم:

$$P = \sigma_{ave} A = \frac{\sigma_{max} A}{K} \quad (49-2)$$

وقتی  $\sigma_Y = \sigma_{max}$  (شکل ۴۹-۲ ب)،  $P = P_Y$ ؛ از معادله (۴۹-۲)،

$$P_Y = \frac{\sigma_Y A}{K} \quad (50-2)$$

وقتی  $P_U = \sigma_{ave}$  (شکل ۴۹-۲ ب)،  $\sigma_{ave} = \sigma_Y$

$$P_U = \sigma_Y A \quad (51-2)$$

با مقایسه معادله های (۵۰-۲) و (۵۱-۲)،

$$P_Y = \frac{P_U}{K} \quad (52-2)$$

#### ۴۹-۲ تشن های باقیمانده

در مثال ۱۳-۲، میله ای را در نظر گرفتیم که فراتر از نقطه تسلیم خود کشیده می شود. میله، پس از حذف بار، شکل اوله اش را باز نمی یافته و دستخوش تغییر شکل دائمی می شد؛ ولی، تمام تشن ها از بین می رفتند. اما واقعاً اینطور نیست. در حقیقت، وقتی فقط بعضی از اجزای یک سازه نامعین استاتیکی دستخوش تغییر شکل های پلاستیک می شوند (مانند مثال ۱۵-۲)، یا وقتی اجزای مختلف سازه تغییر شکل های پلاستیک متفاوت می دهند، آنچه که تشن های باقیمانده نامیده می شود پس از حذف بار در اجزای مختلف سازه بر جای ماند.

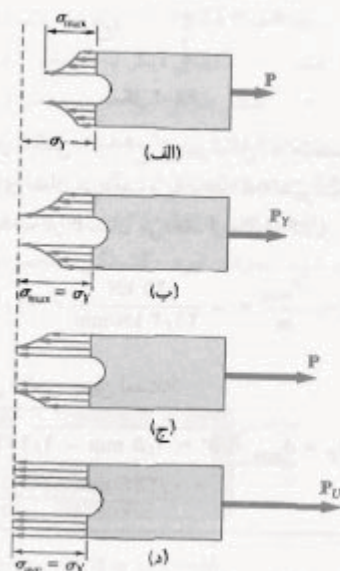
محاسبه تشن های باقیمانده در یک سازه واقعی معمولاً مشکل است، و با مثال زیر می خواهیم یک دیدگذلی درباره محاسبه این تشن ها بددست آوریم.

#### مثال ۱۶-۲

در مثال های ۱۴-۲ و ۱۵-۲، فرض کنید بار  $P$  از صفر تا  $25 \text{ kN}$  افزایش یافته و سپس به صفر می رسد. تشن های باقیمانده در میله و لوله را بیابیم.

تسلیم  $\sigma_Y$  بیشتر می شود، نمی توان از توزیع تنش داده شده در شکل های ۶۲-۲ و ۶۳-۲ و ضرایب تمرکز تنش در شکل ۶۴-۲ استفاده کرد.

حال، مجدداً میله تحت با سوراخ دایره ای را در شکل ۶۲-۲ در نظر می گیریم و فرض می کنیم ماده الاستوپلاستیک است؛ یعنی، نمودار تنش - کرنش آن مانند شکل ۶۵-۲ است. تا وقتی تغییر شکل پلاستیک روی نداده است، توزیع تنش مانند قیست ۱۸-۲ است (شکل ۶۹-۲ الف). سطح زیر منحنی توزیع تنش، انتگرال  $\int \sigma dA$ ، با بار  $P$  برابر است. این ماحت، و مقدار  $\sigma_{max}$ ، با افزایش  $P$  افزایش می یابد. تا وقتی  $\sigma_{max} \leq \sigma_Y$  توزیع تنش ناشی از افزایش  $P$  مانند شکل ۶۲-۲ است (ابن شکل، مجدداً در شکل ۶۹-۲ الف تکرار شده است). وقتی مقدار  $P$  از مقدار  $P_Y$  متناظر با  $\sigma_{max} = \sigma_Y$  بیشتر می شود (شکل ۶۹-۲ ب)، منحنی توزیع تنش در مجاورت سوراخ صاف تر می شود (شکل ۶۹-۲ ج)، زیرا تنش در ماده نمی تواند از مقدار  $\sigma_Y$  بیشتر شود. یعنی، ماده در مجاورت سوراخ در حال تسلیم شدن است. با افزایش بیشتر بار  $P$ ، ناحیه پلاستیک که در آن تسلیم روی می دهد گسترش می یابد و به لمبه های صفحه می رسد (شکل ۶۹-۲ د). در آنجا، توزیع تنش در عرض صفحه به طور یکنواخت است ( $\sigma = \sigma_Y$ ) و مقدار متاظر  $P_U = P = P_Y$  بیشترین باری است که می توان بر میله وارد کرد بدون اینکه گیختگی روی دهد.



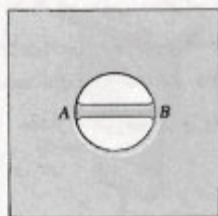
شکل ۶۹-۲ توزیع تنش در ماده الاستوپلاستیک که تحت بار افزایشی قرار دارد

با ترکیب تنش‌های ناشی از بارگذاری و تنش‌های معکوس ناشی از بار برداری، تنش‌های باقیمانده بدست می‌آیند:

$$(\sigma_r)_{res} = \sigma_r + \sigma'_r = 250 \text{ MPa} - 329.7 \text{ MPa} = -79.7 \text{ MPa}$$

$$(\sigma_t)_{res} = \sigma_t + \sigma'_t = 210 \text{ MPa} - 164.9 \text{ MPa} = +45.1 \text{ MPa}$$

تغییر شکل‌های پلاستیک ناشی از تغییرات دما نیز می‌توانند تنش‌های باقیمانده به وجود آورند. مثلاً، تویی کوچکی را در نظر بگیرید که می‌خواهیم آن را به ورق بزرگی جوش دهیم. تویی را به صورت میله کوچک فولادی  $AB$  می‌گیریم که قرار است در عرض سوراخ کوچک داخل ورق جوش داده شود (شکل ۷۱-۲). در ضمن جوشکاری، دمای میله به بیش از  $1000^{\circ}\text{C}$  می‌رسد و در این دما مدول الاستیته میله، و نیز سفتی و تنش، تقریباً صفر هستند. چون ورق بزرگ است، دمای آن خیلی بیش از دمای اتاق ( $20^{\circ}\text{C}$ ) نخواهد شد. لذا، هنگام جوشکاری، میله  $AB$  میله‌ای است با دمای  $T = 1000^{\circ}\text{C}$  و فاقد تنش که به ورق با دمای  $20^{\circ}\text{C}$  متصل است.



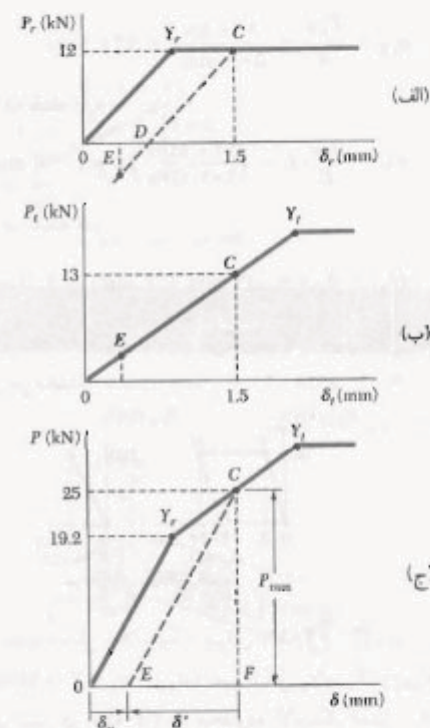
شکل ۷۱-۲

وقتی میله خنک می‌شود، مدول الاستیته آن افزایش می‌یابد و در  $500^{\circ}\text{C}$  به مقدار معمولی تقریباً  $200 \text{ GPa}$  می‌رسد. با کاهش بیشتر دمای میله، حالتی داریم که در قسمت ۱۵-۲ برش می‌رسد و در شکل ۳۵-۲ نشان داده شد. با حل  $\Delta T$  از معادله (۲۳-۲) و با قراردادن  $\sigma_y = 300 \text{ MPa}$  و  $\sigma_z = 12 \times 10^{-9} / ^\circ\text{C}$ ، تغییر دمایی را که باعث تسلیم میله می‌شود می‌یابیم:

$$\Delta T = -\frac{\sigma}{Ea} = -\frac{300 \text{ MPa}}{(200 \text{ GPa})(12 \times 10^{-9} / ^\circ\text{C})} = -125^{\circ}\text{C}$$

یعنی، میله در دمای تقریباً  $375^{\circ}\text{C}$  شروع به تسلیم می‌کند و وقتی تا دمای اتاق خنک می‌شود، این تسلیم را با یک مقدار تنش تقریباً ثابت حفظ می‌کند. به این ترتیب، تنش باقیمانده‌ای بر اثر جوشکاری در تویی و در جوش ایجاد می‌شود که تقریباً با استقامت فولاد به کار رفته برابر است.

از نمودارهای شکل ۷۰-۲ دیده می‌شود که پس از صفر شدن بار  $P$ ، نیروهای داخلی  $P_r$  و  $P_t$  برابر با صفر نیستند و مقدار آنها، به ترتیب، با نقطه  $E$  در قسمت‌های (الف) و (ب) شکل نشان داده شده است. یعنی، تنش‌های متناظر پس از بارگذاری مجموعه نیز صفر نیستند. برای تعیین این تنش‌های باقیمانده، تنش‌های معکوس  $\sigma_r$  و  $\sigma'_r$  ناشی از بارگذاری را محاسبه می‌کنیم و آنها را به تنش‌های ماکریم  $\sigma_r = 250 \text{ MPa}$  و  $\sigma_t = 210 \text{ MPa}$ ، که در قسمت الف مثال ۱۵-۲ بدست آمدند، اضافه می‌کنیم.



شکل ۷۰-۲

کرنش حاصل از بارگذاری در لوله و میله، دارای مقدار یکسان است و برابر است با  $E/L$ ، که در آن  $\delta'$  تغییر شکل مجموعه در ضمن بارگذاری است و آن را در مثال ۱۵-۲ بدست آوردیم. می‌نویسیم:

$$\epsilon' = \frac{\delta'}{L} = \frac{-1/174 \text{ mm}}{1/75 \text{ m}} = -1.57 \times 10^{-9} \text{ mm/mm}$$

تش‌های معکوس متناظر در میله و لوله عبارتند از:

$$\sigma'_r = \epsilon' E_r = (-1.57 \times 10^{-9})(210 \text{ GPa}) = -329.7 \text{ MPa}$$

$$\sigma'_t = \epsilon' E_t = (-1.57 \times 10^{-9})(105 \text{ GPa}) = -164.9 \text{ MPa}$$

حد الاستیک. ماکزیمم مقدار  $Q$  و ماکزیمم انحراف الاستیک نقطه  $A$  وقتی روی می‌دهد که در میله  $AD$   $\sigma = \sigma_y$ .

$$(P_{AD})_{\max} = \sigma_y A = (200 \text{ MPa})(400 \text{ mm}^2) = 120 \text{ kN}$$

$$Q_{\max} = \gamma (P_{AD})_{\max} = \gamma(120 \text{ kN}) \quad Q_{\max} = 240 \text{ kN} \quad \blacktriangleleft$$

$$\delta_{A1} = \frac{\sigma_y}{E} L = \frac{(200 \text{ MPa})}{(200 \text{ GPa})} \times 2 \text{ m} = 2 \text{ mm}$$

چون  $P_{CE} = P_{AD} = 120 \text{ kN}$ , تنش در میله  $CE$  چنین است:

$$\sigma_{CE} = \frac{P_{CE}}{A} = \frac{120 \text{ kN}}{500 \text{ mm}^2} = 240 \text{ MPa}$$

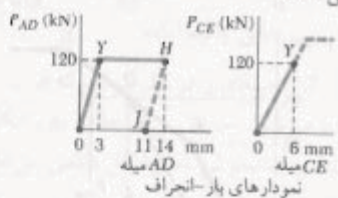
انحراف نقطه  $C$ ,

$$\delta_{C1} = \frac{\sigma_{CE}}{E} L = \frac{(240 \text{ MPa})}{(200 \text{ GPa})} \times 5 \text{ m} = 6 \text{ mm}$$

انحراف نقطه  $B$ ,

$$\delta_{B1} = \frac{1}{2}(\delta_{A1} + \delta_{C1}) = \frac{1}{2}(2 \text{ mm} + 6 \text{ mm}) = 4 \text{ mm}$$

چون  $\delta_B = 10 \text{ mm}$ , نتیجه می‌گیریم که تغییرشکل پلاستیک روی می‌دهد.



تغییرشکل پلاستیک. برای  $Q = 240 \text{ kN}$ , در میله  $AD$  با  $\sigma_{AD} = \sigma_y = 200 \text{ MPa}$ ) تغییرشکل پلاستیک روی می‌دهد. چون تنش در میله  $CE$  در محدوده الاستیک است,  $\delta_C = 6 \text{ mm}$  است. انحراف  $\delta_B$  را, که به ازای آن  $\delta_B = 10 \text{ mm}$  مطابق است: به صورت زیر می‌یابیم:

$$\delta_{B1} = 10 \text{ mm} = \frac{1}{2}(\delta_{A1} + 6 \text{ mm}) \Rightarrow \delta_{A1} = 14 \text{ mm}$$

بار برداری. چون نیروی  $Q$  به تدریج حذف می‌شود، نیروی در امتداد خط  $HJ$  به موازات قسمت اولیه نمودار بار-انحراف میله  $AD$  کاهش می‌یابد. انحراف نهایی نقطه  $A$  چنین است:

$$\delta_{A2} = 14 \text{ mm} - 3 \text{ mm} = 11 \text{ mm}$$

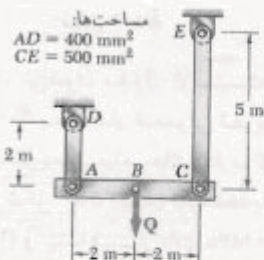
چون تنش در میله  $CE$  در محدوده الاستیک است، انحراف نهایی نقطه  $C$  صفر است.

فلزاتی که ریخته‌گری یا نوردگرم می‌شوند، هنگام سرمایش دستخوش تنش‌های باقیمانده می‌شوند. در این موارد، لایه‌های خارجی سریع‌تر از هسته داخلی خنک می‌شوند. در نتیجه، لایه‌های خارجی سفتی خود را سریع‌تر از هسته داخلی به دست می‌آورند. وقتی تمام نمونه به دمای اتاق می‌رسد، هسته داخلی بیشتر از لایه‌های خارجی منقبض می‌شود. در نتیجه، تنش‌های باقیمانده کششی در هسته داخلی و تنش‌های باقیمانده فشاری در لایه‌های خارجی به وجود می‌آید.

تش‌های باقیمانده ناشی از جوشکاری، ریخته‌گری و نورد گرم ممکن است خیلی بزرگ، و با استقامت تسیلم قابل مقایسه باشد. در صورت لزوم، با بازگرمایش نمونه در دمای تقریباً  $600^\circ\text{C}$  و سپس با خنک کردن آهسته آن در مدت ۱۲ تا ۲۴ ساعت می‌توان این تنش‌ها را حذف کرد.

## مسثله نمونه ۶-۲

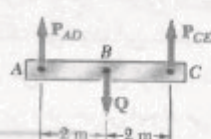
تیر صلب  $ABC$  از دو میله  $AD$  و  $CE$  تشکیل شده است و ابتدا به صورت افقی است. با اعمال آهسته نیروی  $Q$ ، نقطه میانی  $B$  به اندازه  $10 \text{ mm}$  به طرف پایین منحرف می‌شود. سپس، بار به تدریج حذف می‌شود. اگر فولاد میله‌ها از نوع الاستوپلاستیک با  $\sigma_y = 200 \text{ MPa}$  و  $E = 200 \text{ GPa}$  باشد، مطلوب است: (الف) مقدار ماکزیمم  $Q$  و وضعیت متناظر تیر، (ب) وضعیت نهایی تیر.

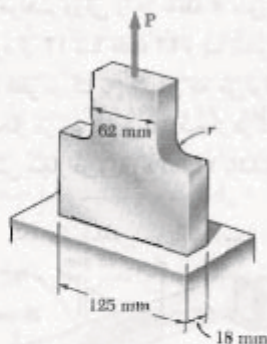


حل

استاتیک. چون  $Q$  در نقطه میانی تیر وارد می‌شود،

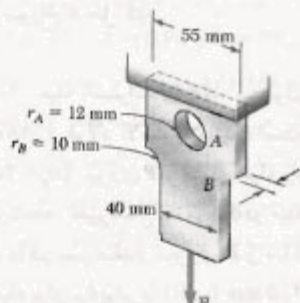
$$P_{AD} = P_{CE} \quad \text{و} \quad Q = 2P_{AD}$$





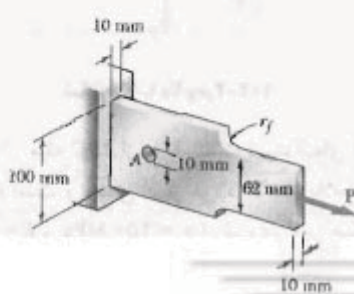
شکل م ۹۵-۲ و ۹۶-۲

۹۷-۲ برای  $P = 35 \text{ kN}$ ، مطلوبست مینیمم ضخامت  $t$  ورق در صورتیکه تنش مجاز  $125 \text{ MPa}$  باشد.

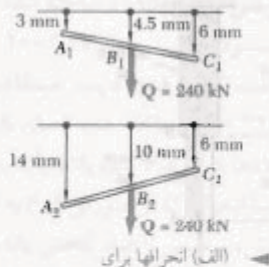


شکل م ۹۷-۲

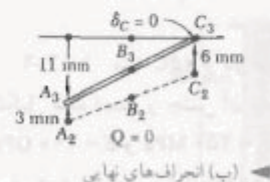
۹۸-۲ اگر قطر سوراخ نشان داده شده  $10 \text{ mm}$  باشد، مطلوبست: (الف) شعاع رگره (مادیجه) که به ازای آن ماکریسم تنش در سوراخ  $A$  و در گردها با هم برابرند، (ب) بار ماکریسم مجاز منتظر  $P$  در صورتی که تنش مجاز  $105 \text{ MPa}$  باشد.



شکل م ۹۸-۲



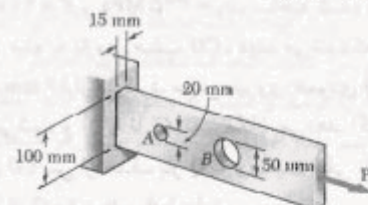
(الف) انحرافها برای



(ب) انحرافها نهایی

### مسائل

۹۳-۲ اگر  $\sigma_{all} = 120 \text{ MPa}$  باشد، ماکریسم مقدار مجاز بار محوری مرکزی  $P$  را باید.

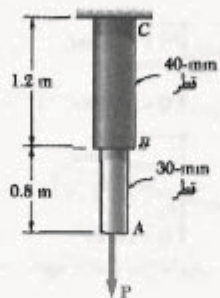


شکل م ۹۴-۲ و ۹۵-۲

۹۴-۲ در یک میله بلند فولادی که تحت بار محوری مرکزی قرار دارد دو سوراخ تعییه شده است. برای  $P = 32 \text{ kN}$ ، مطلوبست ماکریسم مقدار تنش: (الف) در  $A$ ، (ب) در  $B$ .

۹۵-۲ اگر  $P = 40 \text{ kN}$ ، مطلوبست ماکریسم تنش وقتی: (الف)  $r = 15 \text{ mm}$ ، (ب)  $r = 12 \text{ mm}$ .

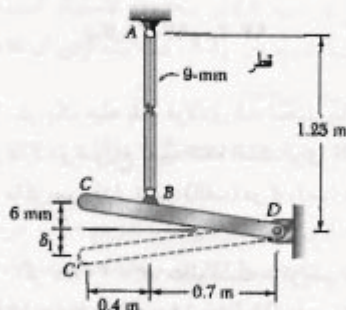
۹۶-۲ اگر تنش مجاز ورق نشان داده شده  $110 \text{ MPa}$  باشد، مطلوبست ماکریسم مقدار مجاز  $P$  وقتی: (الف)  $r = 18 \text{ mm}$ ، (ب)  $r = 14 \text{ mm}$ .



شکل ۱۰-۴-۲ و ۱۰-۳-۶

۱۰-۴-۲ میله  $ABC$  از دو قسمت استوانه‌ای  $AB$  و  $BC$  تشکیل شده است و جنس آن از فولاد الاستوپلاستیک است. نیروی  $P = 250 \text{ MPa}$  بر میله وارد می‌شود. در نتیجه، میله به اندازه  $\delta_m = 5 \text{ mm}$  کشیده می‌شود. ماکریم مقدار نیروی  $P$  و تغییرشکل دائمی در میله را پس از حذف این نیرو بباید.

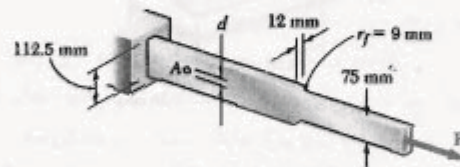
۱۰-۵-۲ میله  $AB$  از فولاد متوسط الاستوپلاستیک، با  $E = 200 \text{ GPa}$  و  $\sigma_y = 245 \text{ MPa}$ ، ساخته شده است. پس از اتصال میله به بازوی صلب  $CD$ ، دیده می‌شود که انتهای  $C$  به ارتفاع  $6 \text{ mm}$  قرار می‌گیرد. سپس، نیروی عمودی  $Q$  بر انتهای  $C$  وارد می‌شود و آن را تا  $C'$  تغییر مکان می‌دهد. اگر بخواهیم بازوی  $CD$  پس از حذف بار  $Q$  به وضعیت افقی بازگردد، مقدار مورد نیاز  $Q$  و انحراف  $\delta$  را بباید.



شکل ۱۰-۵-۲

۱۰-۶-۲ متن ۱۰-۵-۲ را با این فرض حل کنید که نقطه تسلیم فولاد متوسط  $250 \text{ MPa}$  باشد.

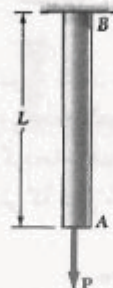
۹۹-۲ می خواهیم ورقی را در نقطه  $A$  سوراخ کنیم. قطر منتهای موجود از  $12 \text{ mm}$  تا  $24 \text{ mm}$  و با نمو  $3 \text{ mm}$  است. (الف) مطلوبست قطر بزرگترین متهای که می‌توان به کار برد به طوری که بار مجاز در سوراخ از بار مجاز در گردها بیشتر باشد. (ب) اگر تنش مجاز در ورق  $14 \text{ MPa}$  باشد، بار مجاز  $P$  را بباید.



شکل ۱۰-۶-۲ و ۹۹-۲

(الف) برای  $P = 58 \text{ kN}$  و  $d = 12 \text{ mm}$ ، ماکریم تنش را در ورق نشان داده شده بباید. (ب) قسمت الف را با فرض نبود سوراخ  $A$  حل کنید.

۱۰-۱-۲ میله استوانه‌ای  $AB$ ، به طول  $L = 1,5 \text{ mm}$  و  $E = 200 \text{ GPa}$ ، از فولاد الاستوپلاستیک است ( $\sigma_y = 250 \text{ MPa}$ ). نیروی  $P$  بر انتهای میله وارد و سپس حذف می‌شود. در نتیجه، تغییرشکل دائمی  $\delta$  در میله به وجود می‌آید. مطلوبست ماکریم مقدار نیروی  $P$  و ماکریم مقدار  $\delta$  کشیدگی میله برای  $\delta$  برابر با: (الف)  $2,5 \text{ mm}$ ، (ب)  $5 \text{ mm}$ .



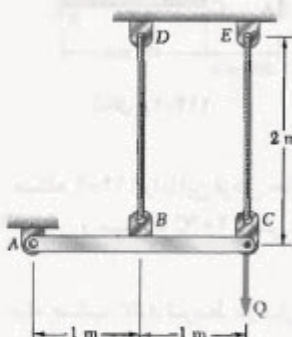
شکل ۱۰-۱-۲ و ۱۰-۴-۲

۱۰-۳-۲ میله  $ABC$  از دو قسمت استوانه‌ای  $AB$  و  $BC$  تشکیل شده است و جنس آن از فولاد الاستوپلاستیک است. نیروی  $P = 250 \text{ MPa}$  بر میله وارد و سپس حذف می‌شود. در نتیجه، تغییر شکل دائمی  $\delta_m = 2 \text{ mm}$  در میله به وجود می‌آید. ماکریم مقدار  $P$  و ماکریم مقدار کشیدگی  $\delta$  میله را بباید.

متصل شده‌اند. این میله مرکب تحت بار محوری مركبی  $P$  قرار دارد. هر دو فولاد از نوع الاستوپلاستیک، با  $E = 200 \text{ GPa}$ ، سخته شده است. استقامت تسلیم برای فولادهای آبدیده و متوسط، به ترتیب  $245 \text{ MPa}$  و  $69 \text{ MPa}$  است. بار  $P$  به تدریج از صفر افزایش می‌یابد تا اینکه تغییرشکل میله به مقدار ماکزیمم مطلوبست: (الف) ماکزیمم مقدار  $P$ ، (ب) ماکزیمم تشنج در میله‌های فولادی آبدیده، (ج) تغییرشکل دائمی پس از حذف بار.

۱۱۰-۲ برای میله مرکب ۱۱۰-۲، اگر  $P$  به تدریج از صفر تا  $436 \text{ kN}$  افزایش و سپس تا صفر کاهش یابد، مطلوبست (الف) ماکزیمم تغییرشکل میله، (ب) ماکزیمم تشنج در میله‌های فولادی آبدیده، (ج) تغییرشکل دائمی پس از حذف بار.

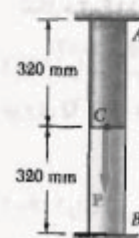
۱۱۱-۲ مساحت مقطع عرضی هر یک از کابل‌ها  $100 \text{ mm}^2$  است. کابل‌ها از فولاد الاستوپلاستیک ساخته شده‌اند ( $E = 200 \text{ GPa}$  و  $\sigma_y = 345 \text{ MPa}$ ). نیروی  $Q$  در نقطه  $C$  بر میله حلب  $ABC$  وارد می‌شود و مقدار آن به تدریج از صفر تا  $50 \text{ kN}$  افزایش می‌یابد و مجدداً به صفر می‌رسد. اگر کابل‌ها در ابتدا کشیده باشند، مطلوبست: (الف) ماکزیمم تشنج در کابل  $BC$ ، (ب) ماکزیمم انحراف نقطه  $C$ ، (ج) تغییرمکان نقطه  $C$ . (راهنمایی: در قسمت ج، کابل  $CE$  کشیده نیست).



شکل ۱۱۱-۲

۱۱۲-۲ مسئله ۱۱۱-۲ را با این فرض حل کنید که به جای کابل از میله‌هایی با همان مقطع عرضی و از همان جنس استفاده شرد. همچنین، فرض کنید که میله‌ها مهار شوند به طوری که بتوانند نیروهای فشاری را بدون کمایش تحمل کنند.

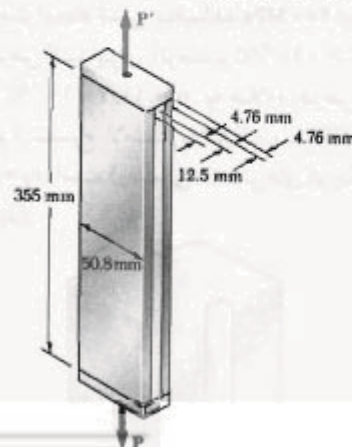
۱۱۰-۲ میله  $AB$  از دو قسم استوانه‌ای  $AC$  و  $BC$ ، هر یک با مساحت مقطع عرضی  $295 \text{ mm}^2$ ، ساخته شده است. قسم  $AC$  از فولاد متوسط،  $E = 200 \text{ GPa}$  و  $\sigma_y = 250 \text{ MPa}$ ، و قسم  $BC$  از فولاد پر استقامت، با  $E = 200 \text{ GPa}$  و  $\sigma_y = 345 \text{ MPa}$ ، ساخته شده است. بار  $P$  در  $C$  وارد می‌شود. اگر فولادها از نوع الاستوپلاستیک باشند، مطلوبست: (الف) ماکزیمم انحراف  $C$  در صورتی که  $P$  به تدریج از صفر تا  $1625 \text{ kN}$  افزایش، و سپس تا صفر کاهش یابد، (ب) ماکزیمم تشنج در هر قسم میله، (ج) انحراف دائمی  $C$ .



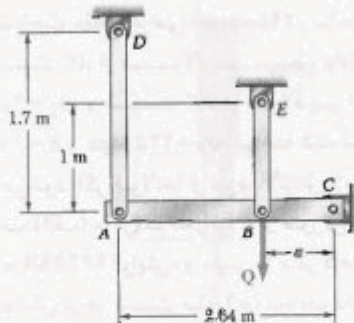
شکل ۱۱۰-۲

۱۱۰-۳ برای میله مرکب مسئله ۱۱۰-۲، اگر  $P$  به تدریج از صفر افزایش یابد، انحراف نقطه  $C$  به مقدار ماکزیمم  $\delta_m = 0.5 \text{ mm}$  برسد و سپس تا صفر کاهش یابد، مطلوبست: (الف) ماکزیمم مقدار  $P$ ، (ب) تشنج ماکزیمم در هر قسم میله،

۱۱۰-۴ دو میله فولادی آبدیده، هر یک به ضخامت  $12.5 \text{ mm}$ ، به میله‌ای از فولاد متوسط به ضخامت  $4.76 \text{ mm}$



شکل ۱۱۰-۴

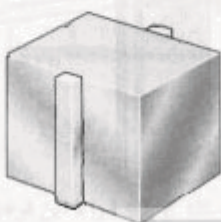


شکل ۱۱۶-۲

۱۱۷-۲ مسئله ۱۱۶-۲ را با این فرض حل کنید که  $a = 1.76\text{ m}$  و مقدار نیروی  $Q$  وارد در  $B$  به تدریج از صفر تا  $135\text{ kN}$  افزایش یابد.

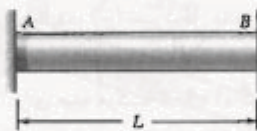
۱۱۸-۲ مسئله ۱۱۶-۲ را با این فرض حل کنید که مقدار نیروی  $Q$  وارد در  $B$  به تدریج از صفر تا  $260\text{ kN}$  افزایش یابد و سپس مجدداً به صفر برسد. اگر  $a = 0.64\text{ m}$ ، مطلوبست: (الف) تنش باقیمانده در هر میله، (ب) انحراف نهایی نقطه  $B$ . فرض کنید میله‌ها مهار شده‌اند به طوری که نیروی فشاری را بدون کمایش تحمل می‌کنند.

۱۱۹-۲ یک میله باریک آلومینیمی، مطابق شکل، به یک طرف ورق ضخیم فولادی متصل است. ابتداء، در  $T_i = 21^\circ\text{C}$ ، تمام تنش‌ها صفر هستند. اگر دما به تدریج تا  $T_f = 40^\circ\text{C}$  افزایش و سپس تا  $T_c = 20^\circ\text{C}$  کاهش یابد. مطلوبست: (الف) پیشترین دمایی که باعث ایجاد تنش‌های باقیمانده نمی‌شود، (ب) دمایی که باعث ایجاد تنش باقیمانده نمی‌شود، (c) در آلومینیم  $T_f = 40^\circ\text{C}$  برای فرض کنید برای آلومینیم  $\sigma_y = 23.6 \times 10^7\text{ MPa}$  و  $\alpha_a = 23.6 \times 10^{-6}/^\circ\text{C}$ ، برای فولاد  $\sigma_y = 11.7 \times 10^7\text{ MPa}$  و  $\alpha_y = 11.7 \times 10^{-6}/^\circ\text{C}$ . به علاوه، فرض کنید که آلومینیم از نوع الاستوپلاستیک، با  $E = 75\text{ GPa}$  و  $G = 20\text{ GPa}$ ، است. (راهنمایی: از تنش‌های کوچک در ورق صرفنظر کنید).



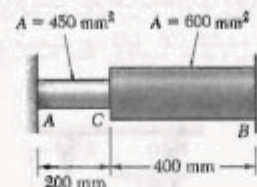
شکل ۱۱۹-۲

۱۱۳-۲ میله فولادی یکتاخت با مساحت مقطع عرضی  $A$  به تکیه‌گاههای صلب متصل است و در دمای  $7^\circ\text{C}$  بی‌تش است. فولاد از نوع الاستوپلاستیک، با  $\sigma_y = 250\text{ MPa}$  و  $G = 200\text{ GPa}$ ، است. اگر  $\alpha = 11.7 \times 10^{-6}/^\circ\text{C}$  و مطلوبست تنش در میله: (الف) وقتی دما تا  $16^\circ\text{C}$  افزایش می‌یابد، (ب) پس از اینکه دما مجدداً تا  $7^\circ\text{C}$  کاهش می‌یابد.



شکل ۱۱۳-۲

۱۱۴-۲ میله فولادی  $ABC$  به تکیه‌گاههای صلب متصل است و در دمای  $20^\circ\text{C}$  در حالت بی‌تش است. فولاد از نوع الاستوپلاستیک، با  $\sigma_y = 250\text{ MPa}$  و  $G = 200\text{ GPa}$ ، است. اگر دمای هر دو قسمت میله تا  $120^\circ\text{C}$  افزایش می‌یابد. اگر  $\alpha = 11.7 \times 10^{-6}/^\circ\text{C}$  و مطلوبست: (الف) تنش در قسمت  $AC$ ، (ب) انحراف نقطه  $C$ .



شکل ۱۱۴-۲

۱۱۵-۲ مسئله ۱۱۴-۲ را با این فرض حل کنید که دمای میله تا  $120^\circ\text{C}$  افزایش و سپس تا  $20^\circ\text{C}$  کاهش یابد.

۱۱۶-۲ میله صلب  $ABC$  توسط در بازوی  $AD$  و  $BE$  نگه داشته شده است. این دو بازو دارای مقاطع عرضی یکتاخت مستطیلی  $37.5\text{ mm} \times 6\text{ mm}$  و از فولاد متوسط الاستوپلاستیک، با  $E = 200\text{ GPa}$  و  $\sigma_y = 250\text{ MPa}$ ، هستند. مقدار نیروی  $Q$  وارد در  $B$  به تدریج از صفر تا  $260\text{ kN}$  افزایش می‌یابد. اگر  $a = 0.64\text{ m}$ ، مطلوبست: (الف) مقدار تنش قائم در هر بازو، (ب) ماکزیمم انحراف نقطه  $B$ .

شکل ۱۱۶-۲

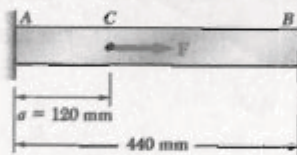


۱۲۱-۲ مسئله ۱۲۰-۲ را با فرض  $a = 180 \text{ mm}$  حل کنید.

۱۲۲-۲ برای میله مرکب مسئله ۱۰۹-۲، اگر  $P$  به تدریج از صفر تا  $436 \text{ kN}$  افزایش و سپس تا صفر کاهش یابد، انحراف دائمی نقطه  $C$ ، (ب) تنش باقیمانده در میله.

۱۲۳-۲ برای میله مرکب مسئله ۱۰۹-۲، اگر  $P$  به تدریج از صفر افزایش یابد تا تغییر شکل میله به مقدار ساکزیسم  $\delta_m = 10 \text{ mm}$  باقیمانده را در میله های فولادی آبدیده بیابید.

۱۲۰-۲ میله  $AB$  دارای مساحت مقطع عرضی  $1200 \text{ mm}^2$  و از فولاد استوپلستیک، با  $E = 200 \text{ GPa}$  و  $\sigma_y = 250 \text{ MPa}$ ، است. اگر نیروی  $F$  به تدریج از صفر تا  $520 \text{ kN}$  افزایش و سپس تا صفر کاهش یابد، مطلوب است: (الف) انحراف دائمی نقطه  $C$ ، (ب) تنش باقیمانده در میله.



شکل ۱۲۰-۲

## مرور و خلاصه فصل ۲

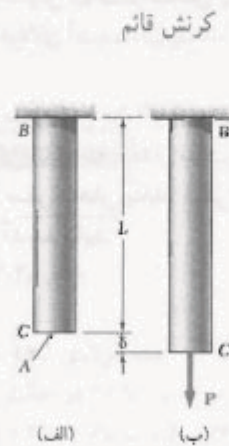
در این فصل، مفهوم کرنش و رابطه بین تنش و کرنش را در مواد مختلف مورد بحث قرار دادیم و تغییرشکل‌های اجزای ساخته‌مانی را تحت بارگذاری محوری تعیین کردیم.

میله‌ای به طول  $L$  و با مقطع عرضی یکنواخت را در نظر گرفتم و تغییرشکل آن را تحت بار محوری  $P$  با  $\delta$  نشان دادیم (شکل ۱-۲). کرنش قائم  $\epsilon$  را در میله به عنوان تغییرشکل طول و اخذ تعریف کردیم [قسمت ۲-۲]:

$$\epsilon = \frac{\delta}{L} \quad (1-2)$$

در میله‌ای با مقطع عرضی متغیر، کرنش قائم در نقطه معین  $Q$  را با در نظر گرفتن جزء کوچکی از میله در نقطه  $Q$  تعریف کردیم. طول این جزء را با  $\Delta x$  و تغییرشکل آن را تحت بار داده شده با  $\Delta\delta$  نشان دادیم و رابطه زیر را نوشیم:

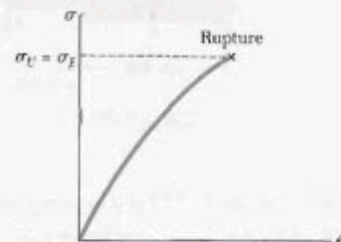
$$\epsilon = \lim_{\Delta x \rightarrow 0} \frac{\Delta\delta}{\Delta x} = \frac{d\delta}{dx} \quad (2-2)$$



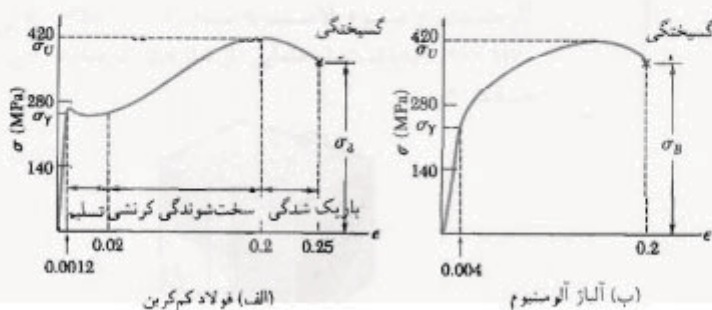
شکل ۱-۲ نمودار تنش-کرنش

با ترسیم تنش  $\sigma$  بر حسب کرنش  $\epsilon$ ، نمودارتنش-کرنش را بدست آوردیم [قسمت ۲-۳]. از این نمودار، توانستیم میان مواد شکننده (ثرد) و چکش خوار (نرم) تمایز زیر را قائل شویم: نمونه‌ای که از ماده شکننده ساخته شده است گیخته می‌شود بدون اینکه آهنگ کشیدگی آن قبل از گیختگی تغییر قابل توجهی داشته باشد (شکل ۱۱-۲)، ولی نمونه چکش خوار پس از اینکه تنش آن به مقدار بحرانی  $\sigma_u$ ، به نام استقامت شلیم، می‌رسد تسلیم می‌شود؛ یعنی، نمونه قبل از اینکه گیخته شود، با افزایش نسبتاً کوچک بار وارد (شکل ۲-۲) تغییرشکل قابل توجهی می‌دهد. بنابراین یکی از موادی است که خواص آن در کشش و فشار کاملاً متفاوت است.

نمودار تنش-کرنش



شکل ۱۱-۲



شکل ۹-۲

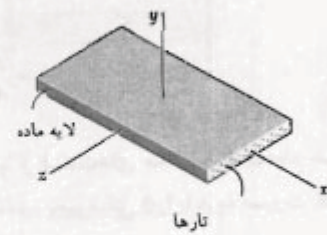
قانون هوک: مدول الاستیسیته

در قسمت ۲-۵ دیدیم که قسمت اولیه نمودار تشن-کرنش یک خط مستقیم است. یعنی، برای تغییر شکل های کم، تشن با کرنش به طور مستقیم متناسب است:

$$\sigma = E\varepsilon$$

این رابطه را قانون هوک، و  $E$  را مدول الاستیسیته می گویند. ماکریسم تشن را که معادله  $\sigma = E\varepsilon$  برای آن به کار می رود حد تابع ماده می گویند.

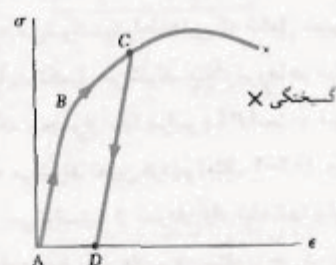
مواد تحت بررسی، همانگرد (دارای خواص مستقل از جهت) بودند. در قسمت ۵-۲، دسته ای از مواد ناهمانگرد را نیز بررسی کردیم؛ یعنی، موادی که خواص آنها به جهت بستگی دارد و آنها را مواد مرکب تقویت شده باشند می گویند. این مواد از تارهای محکم و سفتی که در لایه ضعیفتر و نرمتر قرار دارند ساخته شده اند (شکل ۲-۱۷). دیدیم که، بر حسب جهت بارگذاری، از مدول های الاستیسیته مختلف باید استفاده کرد.



شکل ۲-۱۷

اگر کرنش هایی که با اعمال بار معین در نمونه ای به وجود می آیند با حذف بار از بین بروند، می گویند ماده رفتار الاستیکی دارد و ماکریسم تشن را که به ازای آن این حالت روی می دهد حد الاستیک ماده می گویند [۶-۲]. اگر ماده از حد الاستیک خود فراتر رود، با حذف بار، تشن و کرنش به صورت خطی کاهش می یابند و کرنش به صفر نمی رسد (شکل ۲-۱۸). یعنی، یک تغییر شکل دائمی (پلاستیک) در ماده به وجود می آید.

حد الاستیک . تغییر شکل پلاستیک



شکل ۲-۱۸

در قسمت ۷-۲، پدیده خستگی را بررسی کردیم. در این پدیده، عضوهای ساخته ای یا مکانیکی پس از تعداد زیادی بارگذاری تکراری گیخته می شوند، حتی اگر تشن ها در محدوده الاستیک باشند. در آزمایش استاندارد خستگی، تعداد ۱۰ سبکل بارگذاری-باربرداری موره نیاز برای گیختگی یک نمونه برای هر مقدار تشن ماکریسم  $\varepsilon$  تعیین و منحنی  $\sigma-\varepsilon$  رسم می شود. مقدار  $\varepsilon$  را که به ازای آن، حتی برای تعداد نامحدودی سبکل، گیختگی روی نمی دهد حد دوام ماده می گویند.

خستگی . حد دوام

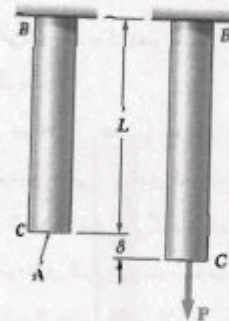
تغییر شکل الاستیک در  
بارگذاری محوری

در قسمت ۸-۲، تغییر شکل های الاستیک انواع مختلف عضوهای ساختمانی و مکانیکی را در شرایط مختلف بارگذاری محوری تعیین کردیم. دیدیم اگر میله ای به طول  $L$  و با مساحت مقطع عرضی  $A$  در انتهای خود تحت بار محوری مرکزی  $P$  قرار گیرد (شکل ۲۲-۲)، تغییر شکل متاظر چنین است:

$$\delta = \frac{PL}{AE} \quad (V-2)$$

اگر میله در نقاط مختلف بارگذاری شود یا از قسمت های مختلف با مقاطع عرضی مختلف و از مواد مختلف تشکیل شده باشد، تغییر شکل  $\delta$  را باید به صورت مجموع تغییر شکل های اجزای آن بیان کرد [مثال ۱-۲]:

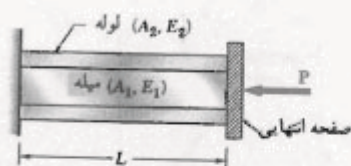
$$\delta = \sum_i \frac{PL_i}{AE_i} \quad (A-2)$$



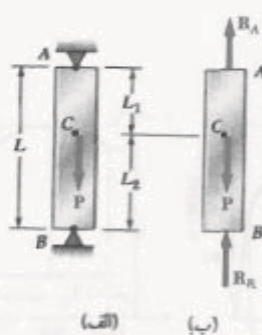
شکل ۲۲-۲

در قسمت ۹-۲، مسائل نامعین استاتیکی را حل کردیم؛ یعنی، مسائلی را که در آنها واکنش ها و نیروهای داخلی رانمی توان صرفأً با استاتیک تعیین کرد. معادله های تعادل، که با توجه به نمودار آزاد عضو نوشته می شوند، با رابطه هایی که شامل تغییر شکل ها هستند و از هندسه مسئله بدست می آیند تکمیل می شوند. مثلاً، نیروها در میله و لوله شکل ۲۵-۲الف را با توجه به اینکه مجموع آنها برابر با  $P$  است و نیز باعث تغییر شکل های مساوی در میله و لوله می شوند تعیین کردیم [مثال ۲-۲]. واکنش در تکیه گاه های میله شکل ۲۶-۲ را نیز نمی توانستیم از نمودار آزاد میله تنها بیایم [مثال ۲-۳]؛ لذا، کشیدگی کلی میله را مساوی صفر قرار دادیم و مسئله را حل کردیم.

مسائل نامعین استاتیکی



شکل ۲۵-۲



شکل ۲۶-۲



در قسمت ۱۰-۲، مساله را که با تغییرات دما سر و کار دارند بررسی کردیم. ابتدا دیدیم که اگر دمای میله آزاد  $AB$  به طول  $L$  به اندازه  $\Delta T$  افزایش یابد، کشیدگی آن چنین است:

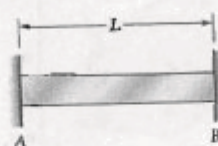
$$\delta_T = \alpha(\Delta T)L \quad (21-2)$$

که در آن  $\alpha$  ضریب انبساط گرمایی ماده است. دیدیم که کرنش متناظر، به نام کرنش گرمایی، چنین است:

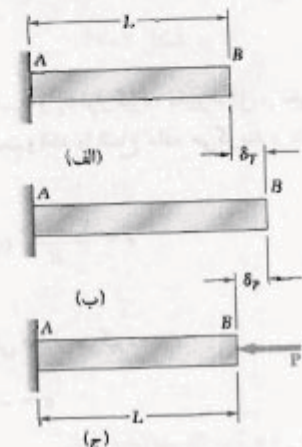
$$\varepsilon_T = \alpha \Delta T \quad (22-2)$$

هیچ تنشی وابسته به این کرنش نیست. ولی، اگر میله  $AB$  توسط تکیه‌گاه‌های ثابت مقدّشده باشد (شکل ۳۵-۲الف)، با افزایش دمای میله، تنش‌هایی در آن به وجود می‌آید و این ناشی از واکنش در تکیه‌گاه‌هاست. برای تعیین مقدار  $P$  واکنش‌ها، میله را از تکیه‌گاه جدا کردیم (شکل ۳۶-۲) و دو تغییر شکل زیر را به طور جداگانه بررسی کردیم: یکی  $\delta_T$  هنگام انبساط آزاد بر اثر تغییر دما و دیگری  $\delta$  ناشی از نیروی  $P$ ، که برای برگرداندن میله به طول اوّلی‌اش نیاز است به طوری که میله مجدداً قابل اتصال به تکیه‌گاه  $B$  باشد. تغییر شکل کلی  $\delta_T + \delta = \delta_T = \delta$  را مساوی صفر قرار دادیم، و با حل آن  $P$  را تعیین کردیم. گرچه کرنش نهایی در میله  $AB$  صفر است، ولی برای میله‌های متشکل از قسمت‌هایی که مقاطع عرضی یا جنس مختلف دارند چنین نیست، زیرا تغییر شکل اجزای مختلف معمولاً صفر نیست [مثال ۳۶-۲].

مسائل تغییر دما



شکل ۳۵-۲الف



شکل ۳۶-۲

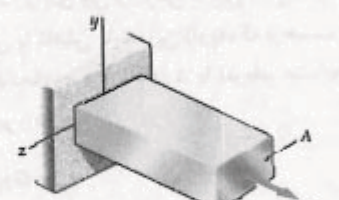
با اعمال بار محوری  $P$  بر میله همگن و باریک (شکل ۳۹-۲الف)، در آن کرنش‌های محوری و جانبی (عرضی) به وجود می‌آید [قسمت ۱۱-۲]. نسبت کرنش جانبی به کرنش محوری را نسبت پواسون می‌گویند و با  $\nu$  نشان می‌دهند:

$$\frac{\text{کرنش جانبی}}{\text{کرنش محوری}} = \nu \quad (25-2)$$

لذا، با توجه به کرنش محوری  $\sigma_x/E = \epsilon_x = \nu \epsilon_z$  در بارگذاری محوری، کرنش‌های جانبی را به صورت زیر بیان کردیم:

$$\epsilon_y = \epsilon_z = -\frac{\nu \sigma_x}{E} \quad (27-2)$$

کرنش جانبی، نسبت پواسون



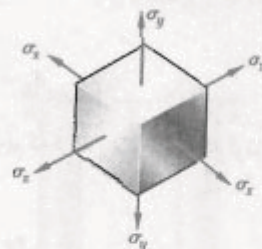
شکل ۳۹-۲الف

در قسمت ۱۲-۲، نتیجه بالا را برای بارگذاری چند محوری، که تنش‌های شکل ۴۲-۲ را به وجود می‌آورد، بسط داده و قانون عمومی هوک را به صورت زیر بیان

کردیم:

$$\begin{aligned}\epsilon_x &= + \frac{\sigma_x}{E} - \frac{\nu \sigma_y}{E} - \frac{\nu \sigma_z}{E} \\ \epsilon_y &= - \frac{\nu \sigma_x}{E} + \frac{\sigma_y}{E} - \frac{\nu \sigma_z}{E} \\ \epsilon_z &= - \frac{\nu \sigma_x}{E} - \frac{\nu \sigma_y}{E} + \frac{\sigma_z}{E}\end{aligned}\quad (۲۸-۲)$$

بارگذاری چندمحوری



شکل ۴۲-۲

اگر جزئی از ماده‌ای تحت تنش‌های  $\sigma_x$ ,  $\sigma_y$  و  $\sigma_z$  قرار گیرد، تغییرشکل و تغییرحجم می‌دهد [قسمت ۱۳-۲]. تغییرحجم برای حجم واحد را اتساع ماده می‌گویند و با اتساع ماده می‌شود. دیدیم که:

$$\epsilon = \frac{1 - 2\nu}{E} (\sigma_x + \sigma_y + \sigma_z) \quad (۳۱-۲)$$

وقتی ماده‌ای تحت فشار هیدروستاتیکی  $P$  قرار می‌گیرد،

$$\epsilon = - \frac{P}{k} \quad (۳۴-۲)$$

که را مدول کپه‌ای ماده می‌گویند:

$$k = \frac{E}{3(1 - 2\nu)} \quad (۳۳-۲)$$

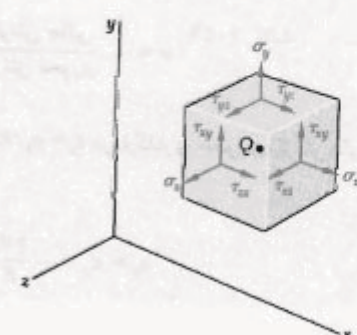
مدول کپه‌ای

در فصل ۱ دیدیم که یک ماده تحت بارگذاری کلی شامل تنش‌های قائم و برشی قائم است (شکل ۴۵-۲). تنش‌های برشی گرایش دارند یک جزء مکعبی از ماده را به صورت متوازی السطوح مابیل درآورند [قسمت ۱۴-۲]. مثلاً، تنش‌های  $\tau_{xy}$  و  $\tau_{yz}$  در شکل ۴۷-۲ (که دارای مقدار برابرند)، باعث می‌شوند زوایای بین وجوهی که این تنش‌ها بر آنها اثر می‌کنند به اندازه زاویه کوچک  $\gamma_{xy}$  گرفایش یا کاهش یابند؛ این زاویه، که بر حسب رادیان بیان می‌شود، کرنش برشی متناظر با امتدادهای  $x$  و  $y$  نام دارد. با تعریف مشابه برای کرنش‌های برشی  $\gamma_{yz}$  و  $\gamma_{zx}$ ، رابطه‌های زیر را داریم:

$$\tau_{xy} = G \gamma_{xy}$$

$$\tau_{yz} = G \gamma_{yz} \quad \tau_{zx} = G \gamma_{zx} \quad (۳۷-۳۶-۲)$$

کرنش برشی . مدول صلابت



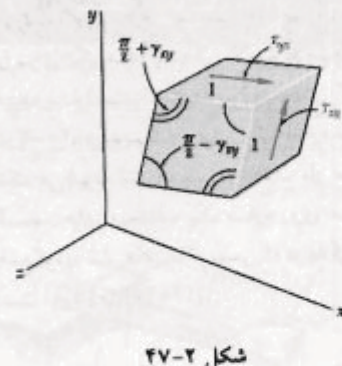
شکل ۴۵-۲

این رابطه‌ها برای هر ماده همانگردی که تحت برش با مقدار کمتر یا مساوی حد تناسب قرار دارد صحت دارند. ثابت  $G$  را مدول صلابت ماده می‌گویند و رابطه‌های حاصل را قانون هوک برای تنش و کرنش برشی می‌گویند. این رابطه‌ها، همراه با معادله‌های (۲۸-۲)، دیجزر عهای از معادله‌ها را تشکیل می‌دهند که به آنها قانون عمومی هوک برای یک ماده همگن همانگرد می‌گویند.

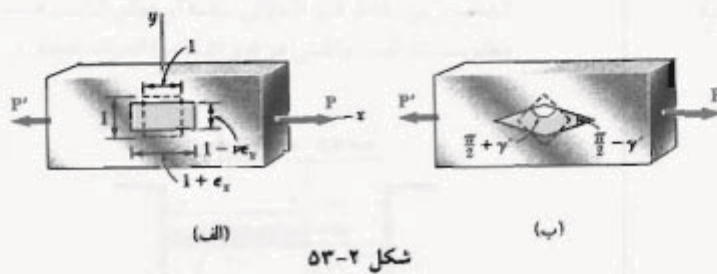
در قسمت ۱۵-۲ دیدیم که بار محوری وارد بر یک میله باریک فقط کرنش‌های قائم محوری و عرضی را در جزئی از ماده که در امتداد محور میله است به وجود می‌آورد. ولی، جزئی که تحت زاویه  $45^\circ$  قرار دارد (شکل ۲-۳) تحت کرنش‌های قائم و برشی، قرار می‌گیرد. همچنین، دیدیم که سه ثابت  $E$ ,  $v$  و  $G$  مستقل از هم نبودند. رابطه زیر را داشتیم:

$$\frac{E}{\sqrt{G}} = \dots + v \quad (43-2)$$

از رابطه بالا برای تعیین هر یک از سه ثابت فوق الذکر از دو ثابت دیگر می‌توان استفاده کرد.



شکل ۲-۲



شکل ۲-۳

مواد مرکب تقویت شده با تار شدن. معادله‌های مشابه با ۲۸-۲ و ۳۶-۲ (۳۷) برای این مواد استنتاج شدند، و برای این متنظور از مدل‌های صلابت، نسبت‌های پواسون و مدل‌های الاستیته مختلف استفاده گردید.

مواد مرکب تقویت شده با تار

در قسمت ۱۷-۲، درباره مدل سنت-وانات بحث کردیم. طبق این اصل، توزیع تش در یک عضو در نزدیکی نقاط اثر بارها مستقل از حالت واقعی اعمال بار است. طبق این اصل می‌توان توزیع تش در عضوی را که تحت بار محوری متعرک است یکنواخت گرفت، به جز در نزدیکی نقاط اثر بار که تمرکز تش روی می‌دهد.

اصل سنت-وانات

در عضوهای ساختمانی در نزدیکی نایپوستگی، مانند سوراخ یا تغییر ناگهانی مقطع عرضی، تمرکز تش روی می‌دهد [قسمت ۱۸-۲]. نسبت مقدار ماکریم تشی که در نزدیک نایپوستگی روی می‌دهد به تش متوسط محاسبه شده در مقطع بحرانی را ضرب تمرکز تش می‌گویند و با  $K$  نشان می‌دهند:

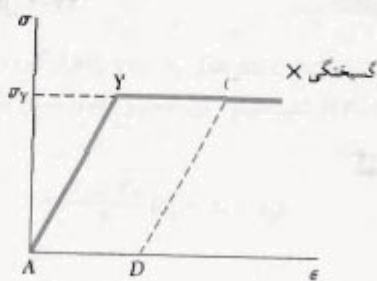
تمرکز تش

$$K = \frac{\sigma_{\max}}{\sigma_{\text{ave}}} \quad (48-2)$$

مقادیر  $K$  برای سوراخ‌های دایره‌ای و گردیدهای در میله‌های تحت در شکل ۲-۴ داده شده‌اند.

## تفیر شکل پلاستیک

در قسمت ۱۹-۲، درباره تغیر شکل پلاستیک بحث کردیم و دیدیم که در عضوهای ساختمانی چکش خوار هنگامی روی می‌دهد که تنش در قسمتی از عضو بیشتر از استقامت تسلیم ماده شود. این تحلیل را برای یک ماده ایده‌آلی الاستوپلاستیک، که نمودار تنش-سکرنش آن در شکل ۶۵-۲ داده شده است، انجام دادیم (مثال‌های ۱۳-۲، ۱۴-۲ و ۱۵-۲). سرانجام، در قسمت ۲۰-۲، دیدیم که وقتی یک سازه نامعین استاتیکی دستخوش تغیر شکل پلاستیک می‌شود، تنش‌ها پس از حذف بار معمولاً از بین نمی‌برند. تنش‌هایی را که در قسمت‌های مختلف یک سازه روی می‌دهند تنش‌های باقیمانده می‌گویند و آنها را از جمع کردن تنش‌های ماکریسمی که در بارگذاری و بارگذاری به وجود می‌آیند می‌توان به دست آورد (مثال ۱۶-۲).



شکل ۶۵-۲